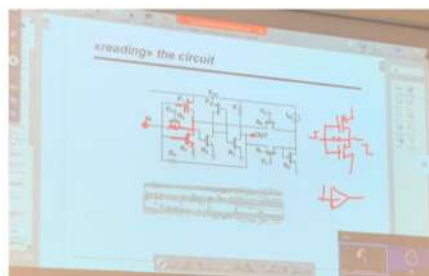




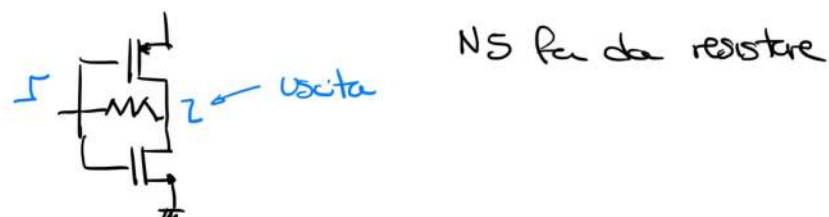
Vogliamo portare il mondo analogico in quello digitale. Filtra e amplifica il segnale.

Facciamo amplificatori ad alto guadagno perché nel feedback ne perdiamo un po'. Usiamo le strutture differenziali per amplificare segnali che non per forza sono isolati a terra (è così vogliamo il common mode).

La base dei filtri in pratica è un integratore.



Vediamo che il primo stage è un inverter



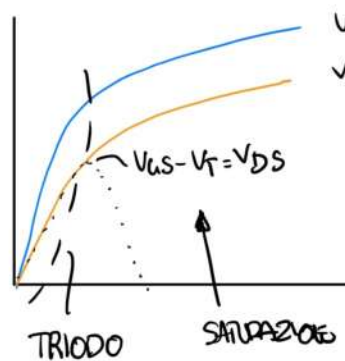
notiamo che P2 è sempre in saturazione (P2 fa da generatore di corrente) abbiano quindi un common source dc inverte il circuito (perciò abbiamo uno stage uguale)

Copriamo che la retroazione è negativa (gli' input abbiano una terra virtuale) quindi tutta la corrente va sul ramo d'feedback e quindi ci so già la tensione d'uscita

$$V_{out} = -R_f i_{in}$$

### Leczione 1: MOSFET OPERATION

Ricordarsi le curve tensione corrente



$$V_{GS} = 1$$

$$V_{GS} = 0.5$$

- IN SAT  $I_{DS} = K(V_{GS} - V_T)^2$

$$\text{con } K = \frac{1}{2} \mu C_{ox} \left( \frac{W}{L} \right) = K' \left( \frac{W}{L} \right)$$

- IN TRIODO

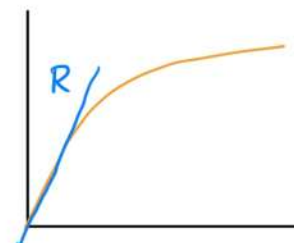
$$I_{DS} = K \underbrace{\left[ 2(V_{GS} - V_T)V_{DS} - V_{DS}^2 \right]}_{V_{OV}}$$

Quando siamo molto vicini all'origine approssimiamo con una resistenza d'uscita finita.

Visto che abbiamo il più alto abbondanza di conseguente abbiamo la conduttanza d'uscita go e quindi la resistenza d'uscita ro

La resistenza vicino all'origine (in triodo) è calcolabile come l'opposto della conduttanza

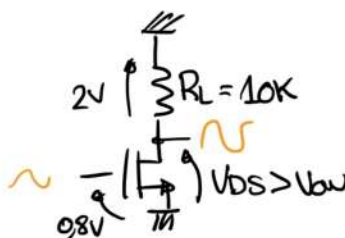
$$\frac{I_{DS}}{V_{DS}} = \frac{1}{R} = K 2(V_{GS} - V_T) \quad \text{e quindi} \quad R = \frac{1}{K 2(V_{GS} - V_T)}$$



## MOS IN SAT

Lo vedo come un generatore di corrente con cui carica la resistenza  $R_o$

### Common Source



$$V_T = 0.6$$

$$V_{GS} - V_T = 0.2$$

zere  $V_{DS} > V_{BN}$  dipende dalla corrente e della resistenza  
In pratica io imposto  $V_{DS}$  e calcolo la corrente per  
zere questa caduta

Sappiamo poi che la conduttanza è

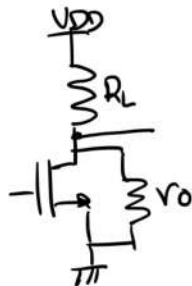
$$\frac{\partial I_{DS}}{\partial V_{GS}} = 2K' \left( \frac{W}{L} \right) (V_{GS} - V_T) = g_m = 2 \sqrt{K I_{DS}} = \frac{2 I_{DS \text{ sat}}}{V_{ov}}$$

Questo perché il segnale AC varia il bias del transistor.

Lo swing d'uscita è  $\Delta I \cdot R_o$  e noi sappiamo che  $I_{DS} = g_m V_{GS}$   
quindi

$$V_{out} = R_o \cdot g_m V_{GS} \quad (\text{con il meno dato che è un common source ed è invertente})$$

se abbriamo  $R_o$  la faccenda cambia momentaneamente



Consideriamo  $R_L // R_o$  che è la resistenza d'uscita. da poi usiamo nel guadagno.

Visto che zere de questo abbriamo che il transistor ince de un limite massimo al guadagno.  
Se zero  $R_o$  a stessa non mi crese il guadagno più.

FUN FACT: più faccio i mos piccoli più il guadagno cede

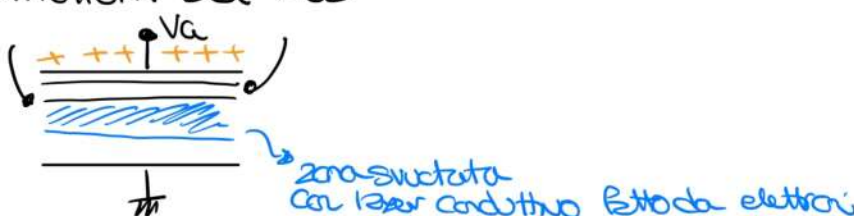
## FIGURE DI MERITO DEL TRANSISTOR

- Trasconduttenza  $g_m$
- Massimo guadagno  $\mu = g_m R_o$
- Banda BN

## CHARGE SHEET MODEL

Ci serve per sapere come migliorare il maximum gain

### STRUTTURA DEL MOS

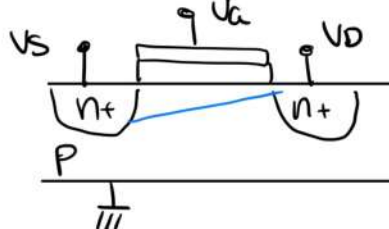


La carica che abbriamo all'interfaccia segue le leggi degli elettroni sotto  $V_T$  la carica è praticamente 0, dopo abbriamo

$$Q_n = C_{ox} (V_G - V_T)$$



## • STRUTTURA DEL MOSFET



$$dV_C = I_{DS} \cdot dR = I_{DS} \cdot \frac{dx}{q\mu n \Delta W}$$

abbiamo  $dR$  perché c'è un resistore controllato.

14.09.2021

lezione 2

Prossimo lunedì pomeriggio lezione aggiuntiva su analogia tripla.

Venerdì pomeriggio delle 14 è in ufficio.

Quando superiamo la tensione di threshold noi aggiungiamo abbondanza elettronica nel canale del mosfet che abbiano la zona conduttrice.

Quindi noi approssimiamo con  $\sigma$  carica prima della threshold e poi con una retta (ricordiamo  $Q = Cox(V_G - V_T)$ )

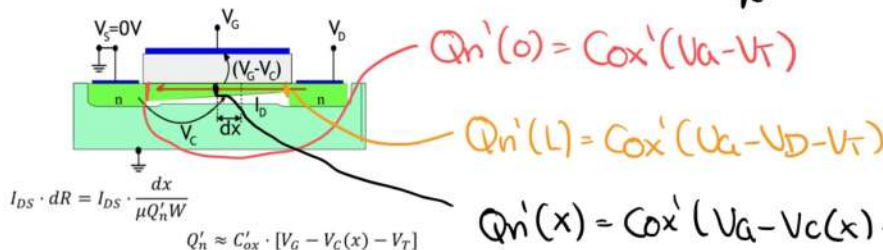
La conduttricità del canale non è costante ovunque ma al centro varia e dipende da  $V_{GS} - V_T$  e  $V_{DS} - V_T$  (+ detta è la tensione maggiore è il canale)

Dato che la resistenza non è costante noi facciamo la legge di Ohm differenziale

$$dV_C = I_{DS} \cdot dR = I_{DS} \cdot \frac{dx}{q\mu n \Delta W}$$

ove  $n$  è la carica sul volume,  $\Delta W$  è la profondità del canale e  $dx$  la lunghezza.

Usando questi valori ( $q, n, \Delta W$ ) ottieniamo la  $Q'_n$  = carica per cubic area



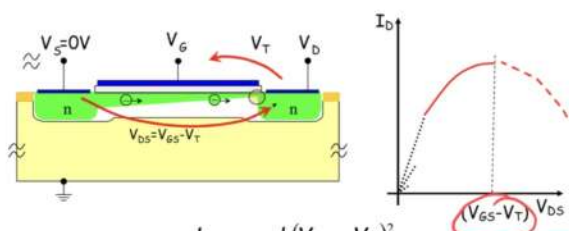
mettiamo la formula calcolata della carica al posto di  $Q'_n$  nella legge di Ohm  
Ottieniamo un'equazione differenziale

$$dV_C = I_{DS} \cdot dR = I_{DS} \cdot \frac{dx}{\mu W C'_ox [V_G - V_C - V_T]} \quad \text{OTTENUTO} \rightarrow \mu C'_ox \int_0^{V_{DS}} [V_G - V_T - V_C] dV_C = \frac{I_{DS}}{W} \cdot \int_0^L dx$$

L'integrale useremo

$$\mu C'_ox [(V_G - V_T)V_{DS} - \frac{V_{DS}^2}{2}] = I_{DS} \frac{L}{W} \quad \text{ecc..}$$

Questa formula arriva dalla approssimazione che sotto soglia non abbiamo elettroni liberi. (nella realtà non è così, più nello specifico nel caso del pinch off)

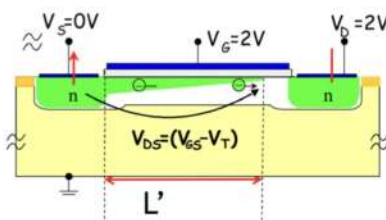


Usando solo questa espressione diremmo che dopo la tensione di pinch off la corrente calerebbe (cosa non vera)

(Questo perché non ha carica sull'interfaccia bolo drain)

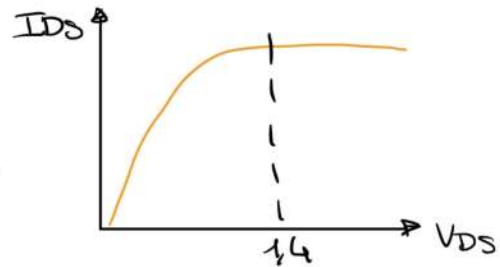
Tensione di pinch off

Dobbiamo dunque studiare questa nuova zona.



Bras dopo il pinch off

Per un motivo fisico sicuro scorre corrente. Perché il drain è tensione maggiore del source



$$\mu C_{ox} \int_0^{V_G - V_T} (V_{GS} - V_c - V_T) dV_c = \frac{I_{DS}}{W} \int_0^L dx$$

$$I_{DS} = \frac{1}{2} \mu C_{ox} \frac{W}{L} (V_{GS} - V_T)^2$$

Per le nostre zone ci seppiamo che

$Q_n = Cox [V_G - V_c(x) - V_T]$  e dopo il pinch off questa non funziona

Allora dividiamo in 2 zone, prima e dopo il pinch off

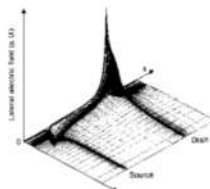
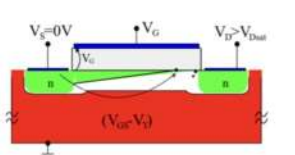
In realtà a noi non ci interessa sapere cosa succede dopo il pinch off perché

Seppiamo che la caduta nel canale è  $V_{DS} - V_T$  e allora ricavo la corrente

Integriamo l'equazione d'prima tra  $V_S$  e  $V_{DS} - V_T$ .

Ma otteniamo dell'altra parte della uguale non seppiamo la lunghezza del canale (per colpa del pinch off, allora mettiamo la lunghezza  $L' < L$ )

ma dato che nella formula della corrente so che  $L$  è il denominatore allora se  $L'$  diminuisce allora la corrente aumenta.



$$I_D \approx n \cdot v \quad F \approx (V_{DS} - V_{DS}^{sat})/d$$

$$L' \approx L$$

noi seppiamo che la corrente è proporzionale al prodotto densità di carica e velocità.

Seppiamo che la densità cala e allora la velocità deve aumentare.

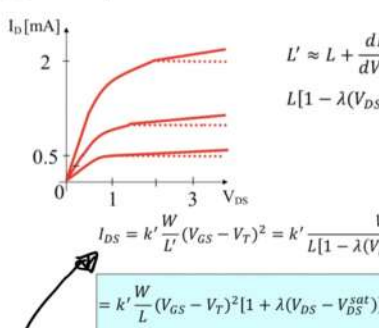
Se la velocità aumenta allora il campo elettrico aumenta a sua volta.

Se consideriamo la zona del pinch off abbiamo densità di elettroni molto bassa e allora il campo elettrico aumenta a stecca. Questo campo elettrico si può calcolare come

$$\frac{\Delta V}{d} = \frac{V_{DS} - V_{DS}^{sat}}{L - L'}$$

Ci spieghiamo che la  $\Delta V$  dipende dalla lunghezza del canale

Ora possiamo scrivere che  $L'$  dipende da  $V_{DS}$  allora possiamo fare un espansione di taylor



Possiamo scrivere

$$L'(V_{DS}) = L'(V_{DS}^{sat}) + \frac{\partial L'}{\partial V_{DS}} \Big|_{V_{DS}=V_{DS}^{sat}} (V_{DS} - V_{DS}^{sat}) + \dots$$

Consideriamo solo il primo ordine

Visto che la lunghezza coda allora nei chiamiamo  $\frac{\partial L'}{\partial V_{DS}} = \lambda$  e c' mettiamo il meno.

Ottieniamo che

$$L' = L [1 - \lambda (V_{DS} - V_{DS}^{sat})]$$

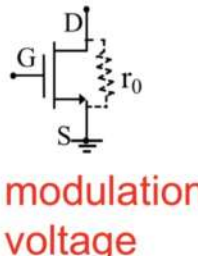
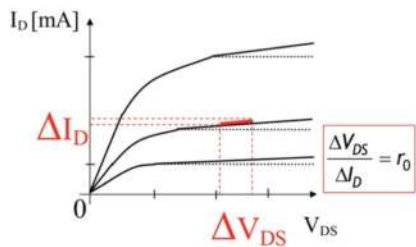
quando  $\lambda$  è 0 ottengo solo  $L$

e rimetto questa formula in quella della corrente

Dato che abbiamo una forma del tipo  $\frac{1}{1-x}$  se  $x$  piccola possiamo fare Taylor e espanderla a  $1+x$  e otteniamo l'equazione finale

Ricordare che  $\lambda = \frac{1}{L} \left| \frac{\partial I_D}{\partial V_{DS}} \right|_{V_{DS}=V_{DS,SAT}}$  =  $\frac{1}{V_A} = \frac{1}{\alpha L}$

Tensore di modulazione del mos.



$$I_{DS} = I_{DS,sat} \left[ 1 + \lambda(V_{DS} - V_{DS,sat}) \right]$$

$$r_0 = \frac{dV_{DS}}{dI_{DS}} = \frac{1}{\lambda I_{DS,sat}} = \frac{1}{\left| \frac{dI_D}{dV_{DS}} \right| I_{DS,sat}} = \frac{\alpha L}{I_{DS,sat}}$$

Dato che la curva non è piatta abbiamo una resistenza (o conduttanza)

$$g_o = \frac{\partial I_{DS}}{\partial V_{DS}} = \lambda I_{DS,SAT} = \frac{I_{DS,SAT}}{V_A} = \frac{I_{DS,SAT}}{\alpha L}$$

Dipende dalla lunghezza del canale

$$r_0 = \frac{1}{g_o}$$

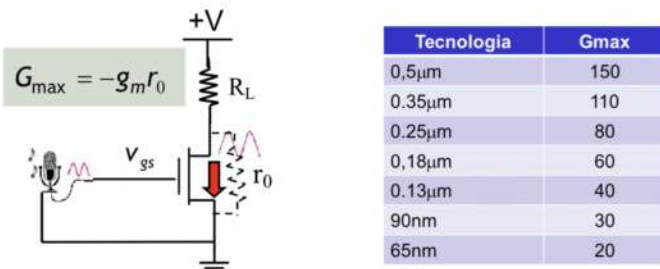
Poi usiamo MOS a 0,35um e la tensore di modulazione è 7V  
Questa è l'unica il guadagno.

Sappiamo che ( $i_{max}$  gain è)

$$m = \frac{2I_{DS}}{V_{DD}} \cdot \frac{V_A}{I_{DS}} = \frac{2V_A}{V_{DD}}$$

Se usiamo  $L = 0.35\mu m \rightarrow V_A = 9.7$  e  $V_{DD} = 0.1$ , allora  $m = 160$

**IMPORTANTE:** Notiamo che il gain della formula  $m$  non dipende dalla corrente e quindi se  $V_{DD}$  va a 0 il gain va a +infinity. C'è un problema!



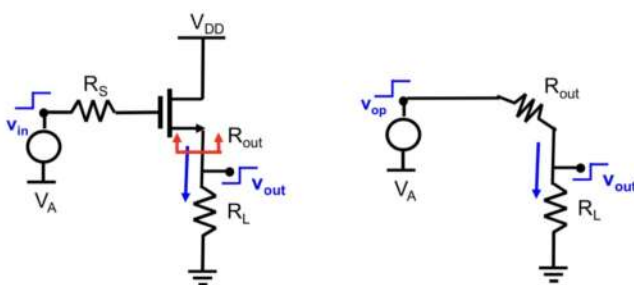
Notiamo che a partire da  $V_{DS}-V_T$  la  $G_{max}$  cesa al crescere delle dimensioni.

$$G \rightarrow g_m r_0 = \frac{2I_{DS,sat}}{(V_{GS} - V_T)} \cdot \frac{\alpha L}{I_{DS,sat}} = \frac{\alpha L}{(V_{GS} - V_T)}$$

Independent of current

Calcolare il guadagno nelle configurazioni mos

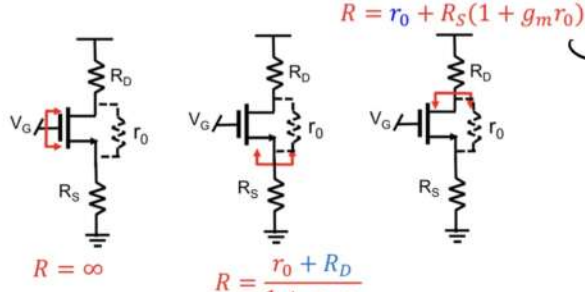
Follower – Thevenin equivalent



Prima calcoliamo la resistenza vista dall'ant  
Poi calcoliamo l'uscita con il carico da  
 $i = g_m V_{DS}$   
ma s'è flattante allora  $i = 0$  e quindi  
non passa corrente allora in uscita ho esattamente  
 $V_{OUT} = V_{IN}$

Se abbiranno in ro la seconda cambia

### Resistance values - real case



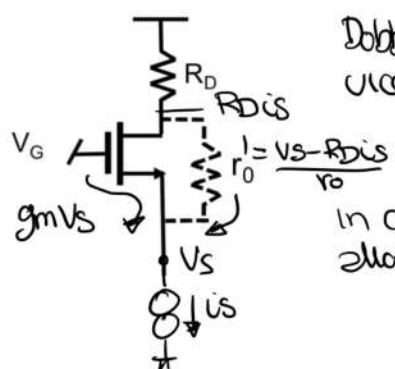
Queste sono le resistenze viste da source gate e drain.

Se  $R_S \gg r_0 \Rightarrow R_S \ll \text{max gain}$

$$\text{Se } r_0 \rightarrow \infty \Rightarrow \frac{1}{gm}$$

$$\text{Se } R_D \gg r_0 \Rightarrow \frac{R_D}{\mu} \ll \text{Max gain}$$

resistenza vista dal source



Dobbiamo attaccare in gen d' corrente e calcolare la tensione o viceversa.

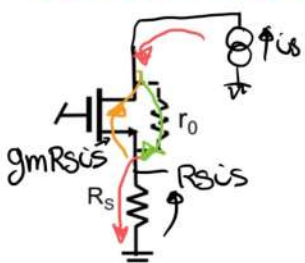
$$\frac{VS}{IS} = R$$

In questo caso conviene usare il gen d' corrente allora

$$IS = gm * VS + \frac{VS - RD * IS}{r_0}$$

$$\Rightarrow \frac{VS}{IS} = \frac{gm + \frac{1}{r_0}}{1 + \frac{RD}{r_0}} = \frac{r_0 + RD}{1 + gm * r_0}$$

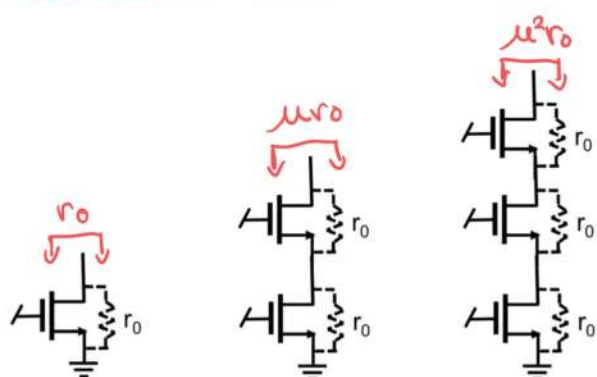
Resistenza vista dal Drain



$$IS + gm * RS * IS = \frac{VS - RS * IS}{r_0}$$

$$\frac{VS}{IS} = r_0 (1 + gm * RS) + RS$$

Cascaded Mirror

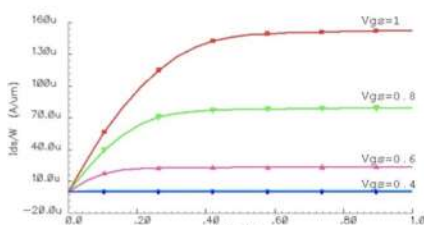


Impilare mos è un modo per aumentare la resistenza d'uscita

Svantaggi:

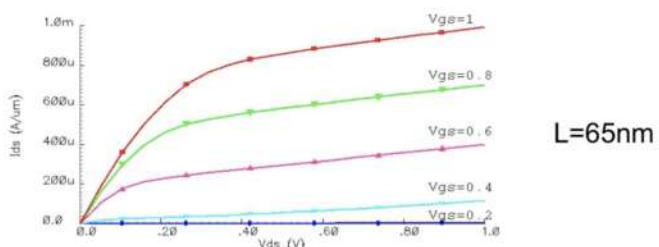
numero di transistor e maggiore tensione per tenerli tutti in sat

$\lambda = \frac{1}{VA}$  dipende dalla channel length quindi in base ad L che sceglieremo abbiamo un valore diverso.  
quindi anche  $I_D$  dipende dalla channel length.



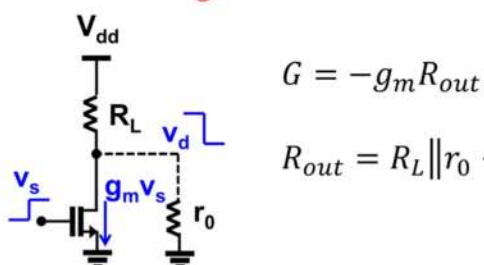
(praticamente ideale)

L=0.5 μm



(si vede bene che Id non è costante)

## Maximum gain



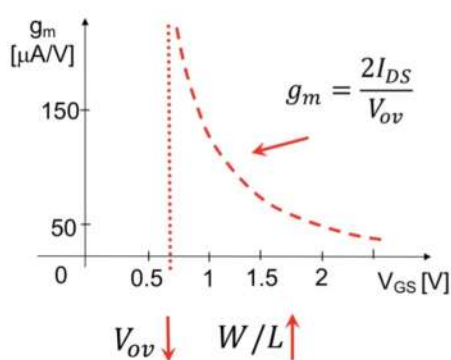
$$G = -g_m R_{out}$$

$$R_{out} = R_L \parallel r_0 \rightarrow r_0 \quad g_m = \frac{2I_{DS}}{V_{ov}}$$

$$G_{MAX} = -g_m r_0 = -\frac{2I_{DS}}{V_{ov}} \cdot \frac{V_A}{I_{DS}} = -\frac{2V_A}{V_{ov}}$$

Notiamo che per  $G_{MAX}$  possiamo cancellare la dipendenza della corrente. Potremo usare corretti piccissime allora (MHH!?) in più se  $V_{ov}$  tende a 0 allora  $G_{MAX}$  tende a  $+\infty$

Questi fatti impossibili derivano da approssimazioni



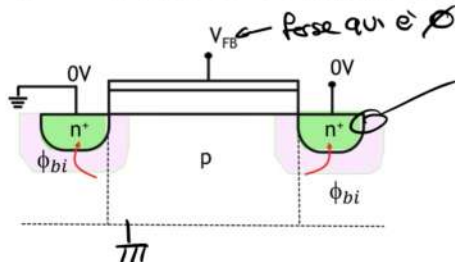
Settranno la corrente e il bias point del nostro MOS e poi pensi di ridurre  $V_{ov}$  (mantenendo la corrente costante)

$$I_{DS} = K \left( \frac{W}{L} \right) (V_{GS})^2$$

Allora se  $V_{ov}$  si riduce  $W/L$  deve aumentare

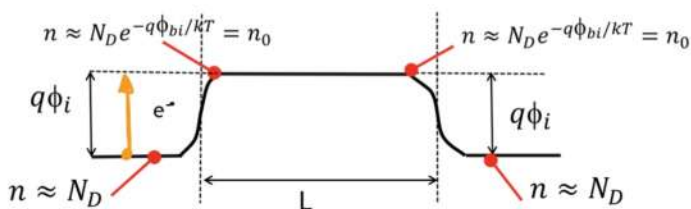
Analizziamo cosa succede al transistor vicino alla threshold

Supponiamo di essere sotto  $V_T$ . studiamo la zona di flat band (Gate a una tensione e Source e Drain a massa)



$$\text{Potenziale di built-in } \phi_{Bi} = \frac{kT}{q} \ln \left( \frac{N_{A,N}}{n_i^2} \right)$$

gli elettroni che sono nelle sponde n+ devono superare il potenziale di built-in per entrare nella zona p. Quindi c'è spettro di gli elettroni vediamo che benvenuti i potenziali prima di entrare in zona p (la zona p ha energia maggiore rispetto a quella della sponda n+)



Graphico che evidenzia l'andamento del potenziale

Quanti sono gli elettroni che possono passare la barriera di potenziale (calcolo boltzmann)

$$N_{De} = \frac{N_D}{kT} e^{-\frac{q(\phi_{bi}-\psi_s)}{kT}} = n^{\circ} \text{ elettroni da passare}$$

Ricordiamo che  $\Phi_{bi} = \frac{kT}{q} \ln \left( \frac{N_{A,N}}{n_i^2} \right)$ , allora posso scrivere

$$\begin{aligned} n^{\circ} \text{ elettroni} &= N_D e^{-\frac{q}{kT} \frac{kT}{q} \ln \left( \frac{N_{A,N}}{n_i^2} \right)} \\ &= N_D e^{-\alpha \left( \frac{N_{A,N}}{n_i^2} \right)} = \frac{N_D n_i^2}{N_A} = \frac{n_i^2}{N_A} \end{aligned}$$

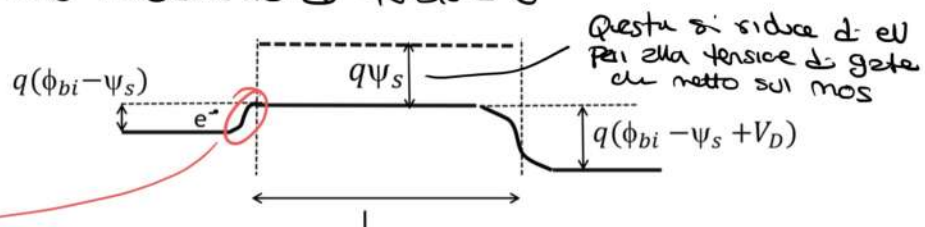
Cosa succede se aumento ancora la tensione d'gate (sempre sotto V<sub>t</sub>)



La ddp tra drain e zona p viene ridotta perché ho aumentato la tensione d'gate

Abbiamo una caduta di potenziale qui

Perciò l'andamento di tensione è

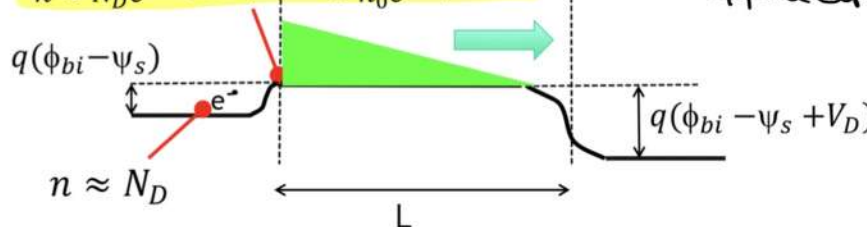


La barriera si riduce così molti più elettroni possono riuscire a passare

Quale sarà la densità di elettroni dopo la barriera di potenziale?

$$n \approx N_D e^{-q(\phi_{bi}-\psi_s)/kT} = n_0 e^{+q\psi_s/kT}$$

Formula molto importante, numero di elettroni appena dopo la barriera di potenziale.



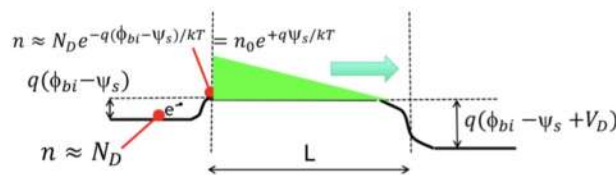
Il potenziale di barriera del drain è maggiore rispetto a quello del source perché ho 1 volt in più quindi il potenziale di barriera sarà > 1V rispetto a quello del source

Noi chiamiamo di transistor è off ma abbiamo comunque molti elettroni nel canale e abbiamo anche una densità triangolare di elettroni, allora dato che all'egresso termico abbiamo una corrente da dal source va verso il drain (per diffusione) (dati che sono messi in modo triangolare)

Abbiamo dunque una corrente di diffusione

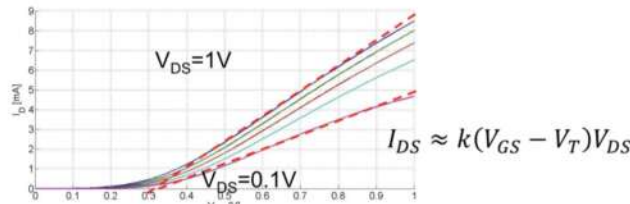
$$J = q D_n \frac{n(0)}{L}$$

è dato da  $n(0)$  n° elettroni in  $x=0$  dipende esponenzialmente dalla tensione di superficie.

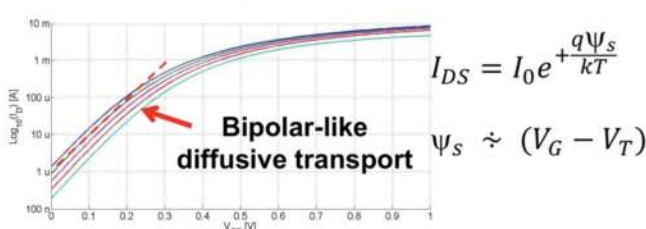


$$I_{DS} \approx \frac{q D_n}{L} n_0 e^{+\frac{q \psi_s}{kT}} = I_0 e^{+\frac{q \psi_s}{kT}} \sim I_0 e^{\frac{q(V_G - V_t)}{kT}}$$

$I_0$  è la corrente di scorrere nel drain quando l'esponente è elevato alla  $\infty$  per cui l'abbiamo definita  $I_0$  è la corrente di scorrere nel mos sulla threshold

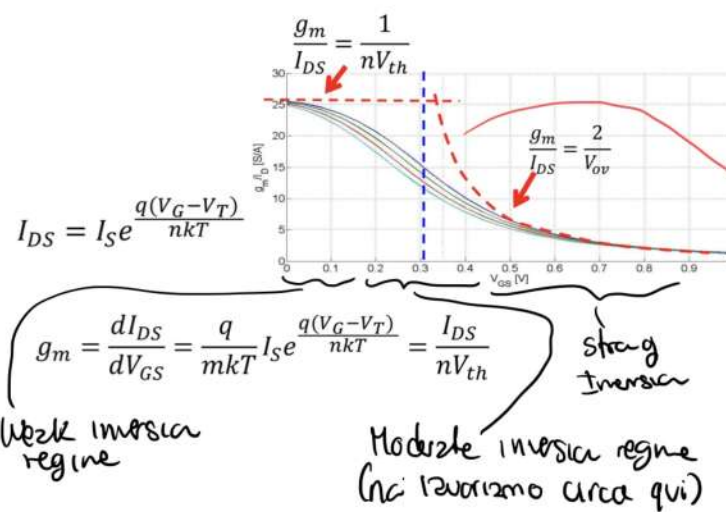


Nel C' aspetteremo un comportamento esponenziale ma notiamo da sotto  $V_T$  la corrente ha comportamento esponenziale.



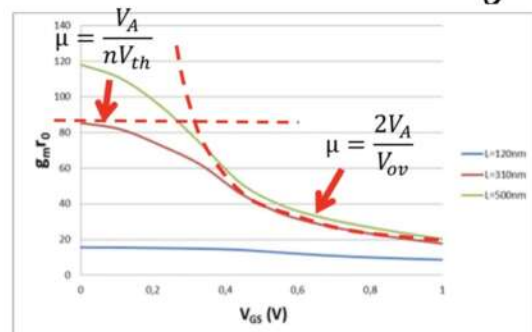
Se variamo la tensione  $V_D$  quanto varia  $\psi_S$ ?  
In realtà è facile perché posso vedere il gate come 2 condensatori, perciò trovo  $\psi_S$  facendo un parallelo capacitivo.

Con queste nuove formule reale della corrente potremo ricalcolare  $g_m$



Noi lavoriamo in Moderate inversion regime ma qui non possiamo usare la  $g_m$  solita perché siamo nel mezzo.

Asintoticamente i massimi  $g_m$  nelle 2 regole di funzionamento opposte sono



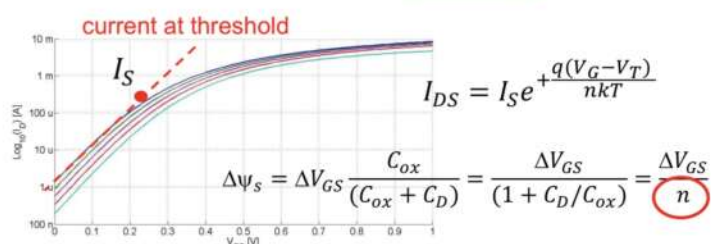
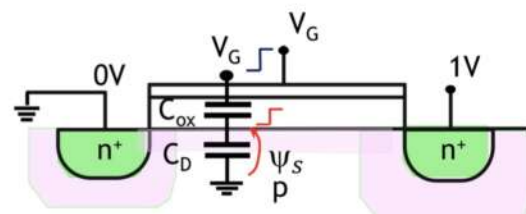
Dai vediamo che il massimo guadagno è dato da quello della Weak inversion regime al e' :

$$\mu = g_m r_0 = \frac{I_{DS}}{nV_{th}} \cdot \frac{V_A}{I_{DS}} = \frac{V_A}{nV_{th}} \quad \text{does not diverge anymore}$$

Nella zona di Moderate inversion regne dobbiamo calcolare la giusta  $g_m$ .

$$g_m = \frac{I_{DS}}{nV_{th}} \cdot \frac{2}{1 + \sqrt{1 + 4IC}} \quad \leftarrow g_m \text{ in zona di Moderate inversion con fattore correttivo.}$$

$$IC = \frac{I_{DS}}{I_S} = \frac{I_{DS}}{4nk'(W/L)V_{th}^2} \quad \leftarrow \text{è il rapporto tra corrente a cui uso il mos fatto la corrente di ho sulla threshold.}$$



Capriamo da dopo  $V_T$   $g_m = \frac{2I_{DS}}{V_{GS}}$

Artefatto della nostra approssimazione

A bassissime  $V_{GS}$   $g_m$  è praticamente una retta. Per  $V_{GS}$  vicine a  $V_T$  allora  $g_m$  è nel mezzo.

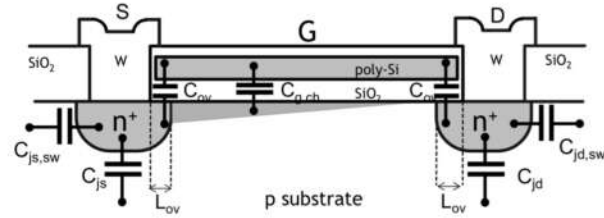
## Taxonomy

## Bias range

Weak inversion	$V_{GS} \leq V_T - 0.1V$	
Moderate inversion	$V_T - 0.1V < V_{GS} < V_T + 0.1V$	Usiamo quelle leggi more modificate
Strong inversion	$V_{GS} \geq V_T + 0.1V$	Usiamo le formule classiche

## Banda del transistor MOS

Per calcolare la banda del mos dobbiamo considerare tutte le capacità



Capacitance	Ohmic	Saturation
$C_{gs}$	$C_{ov} + (1/2)C'_{ox}WL$	$C_{ov} + (2/3)C'_{ox}WL$
$C_{gd}$	$C_{ov} + (1/2)C'_{ox}WL$	$C_{ov}$
$C_{sb}$	$C_{js} + C_{js,sw}$	$C_{js} + C_{js,sw}$
$C_{db}$	$C_{jd} + C_{jd,sw}$	$C_{jd} + C_{jd,sw}$

Capacitance	Ohmic	Saturation
$C_{gs}$	$C_{ov} + (1/2)C'_{ox}WL$	$C_{ov} + (2/3)C'_{ox}WL$
$C_{gd}$	$C_{ov} + (1/2)C'_{ox}WL$	$C_{ov}$
$C_{sb}$	$C_{js} + C_{js,sw}$	$C_{js} + C_{js,sw}$
$C_{db}$	$C_{jd} + C_{jd,sw}$	$C_{jd} + C_{jd,sw}$

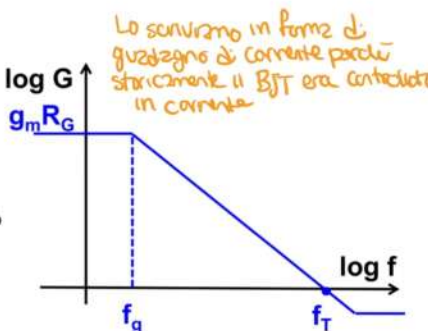
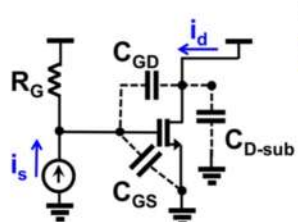
Per ric valori tipici sono

$$C'_{ox} \approx 5 \text{ fF}/\mu\text{m}$$

$$C_{ov} \approx 0.01 \text{ fF}/\mu\text{m}$$

$$C_{js} + C_{js,sw} \approx 0.1 \text{ fF}/\mu\text{m}$$

## Banda



$$f_g = \frac{1}{2\pi R_g (C_{GS} + C_{GD})} \rightarrow f_g = \frac{g_m}{2\pi (C_{GS} + C_{GD})}$$

$$f_T = \frac{g_m}{2\pi(C_{GS} + C_{GD})} \approx \frac{g_m}{2\pi C_{ox}} = \frac{2K' \frac{W}{L} V_{ov}}{2\pi C_{ox} \frac{W}{L}}$$

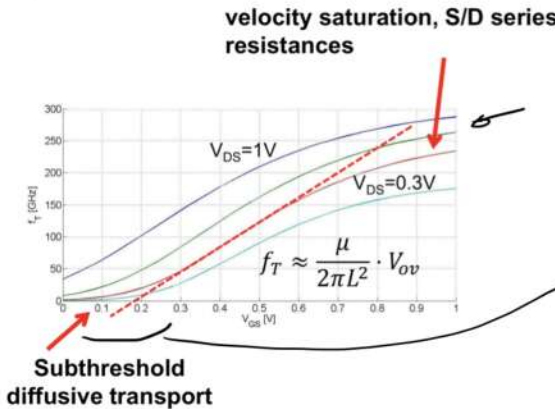
$$= \frac{\mu C'_{ox} \cdot W/L \cdot V_{ov}}{2\pi C'_{ox} WL} = \frac{\mu \cdot V_{ov}}{2\pi L^2} = \frac{\mu \cdot F}{2\pi L} = \frac{1}{2\pi t_{TR}}$$

Campo elettrico medio

Il campo elettrico medio per la molalità mida la velocità media la quale divisa per L m-1 dà il tempo di attraversamento

Capacità di cut-off frequency migliora + riducendo la lunghezza del transistor (tipo in pinch-off).

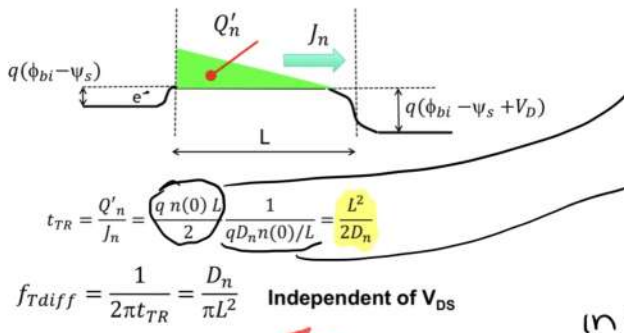
## Dipendenza di $f_T$ da $V_{DS}$ - $V_{AS}$



Ad alte frequenze ha una saturazione della velocità

Qui si riduce perché in pratica il canale va riempicciolendosi

## Transient time in weak inversion

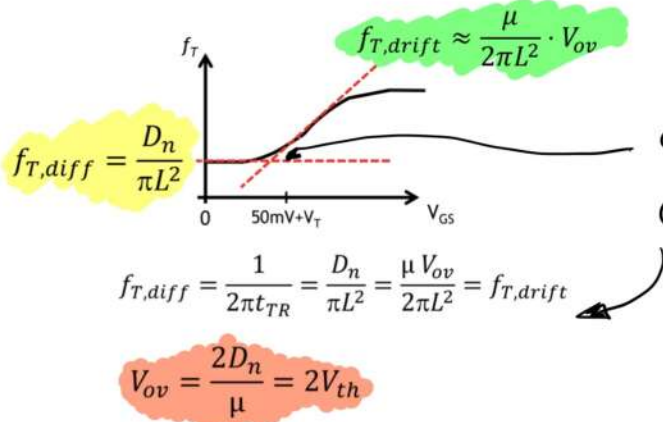


è l'area del triangolo verde che manda la carica

Questa è la densità di carica? [Dn, costante di diffusione]

In weak inversion non vale più la formula vista ieri ma gestisce (che è indipendente da  $V_{DS}$ )

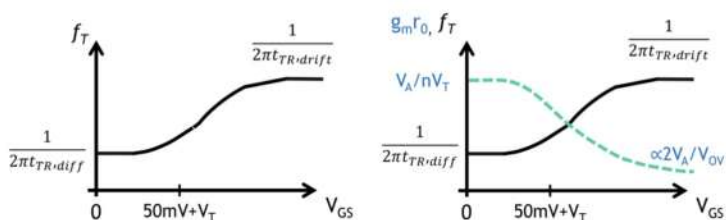
Se plottiamo l'andamento di  $f_T$  in funzione di  $V_{AS}$  ottieno



Cerciamo ora di capire a che velocità di  $V_{AS}$  ottengo il cross over tra gli andamenti asymptotici dei 2 valori di  $f_T$

Questi sono i valori e ottieno

Capiamo dunque che abbiamo un trade-off tra il guadagno e la banda



Se vogliamo un gain grande dobbiamo andare in weak inversion ma così perdiamo in banda

## RUMORE

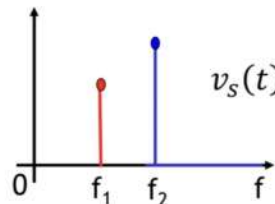
è dato dall'agitazione termica degli elettroni nei device

Non possiamo sapere la giusta ampiezza del rumore perché è un processo statistico, non possiamo considerare solo la varianza. Allora l'SNR è ampiezza su 0

Il rumore setta il numero di "quanti" massimi che ha senso prendere come informazione

Molte volte il rumore può avere distribuzione gaussiana

**IN FREQUENZA SI HA CHE**



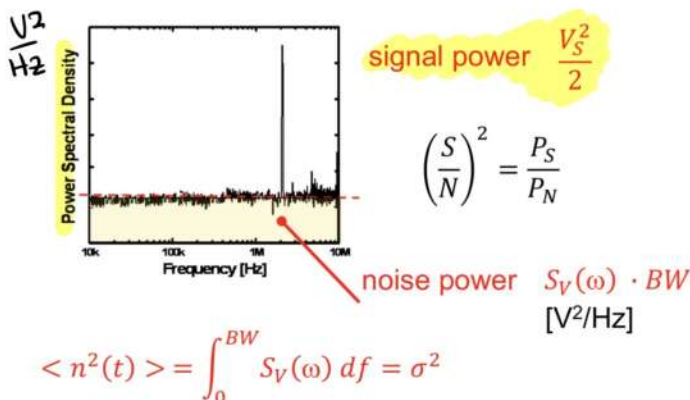
$$v_s(t) = A \sin(\omega_1 t) + B \sin(\omega_2 t + \phi)$$

$$\begin{aligned} v_s^2 &= A^2 \sin^2(\omega_1 t) + B^2 \sin^2(\omega_2 t + \phi) \\ &\quad + 2AB \sin(\omega_1 t) \sin(\omega_2 t + \phi) \end{aligned}$$

$$\langle v_s^2(t) \rangle = [A \sin(\omega_1 t) + B \sin(\omega_2 t + \phi)]^2$$

$$\langle v_s^2(t) \rangle = \frac{A^2}{2} + \frac{B^2}{2} \quad \text{Power is additive}$$

Vediamo che la potenza del quadrato è data dalla somma del quadrato delle 2 ampiezze diviso 2.



$$\langle n^2(t) \rangle = \int_0^{BW} S_V(\omega) df = \sigma^2$$

In pratica questo ci dice che la potenza del rumore è data dalla somma di tutte le componenti delle ampiezze, perciò per calcolare la potenza del rumore possiamo calcolare l'integrale dell'integrale dello spettro sulla banda.

Coprendo a noi ci interessa principalmente la varianza  $\sigma$  del rumore

e quindi anche

$$\sigma = \sqrt{\int S_V(\omega) df}$$

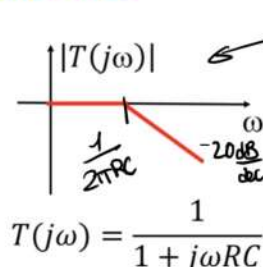
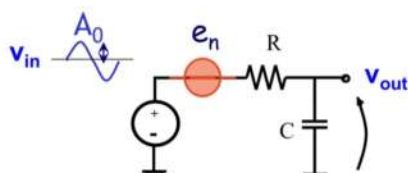
Come consideriamo il rumore nei circuiti? Come un piccolo segnale. Tipicamente verrà generato con veloci di tensione o corrente al quadrato.

In particolare

$$e_n^2 = S_V(\omega) \Delta f \quad \text{è il range di tensioni (banda) in cui siamo interessati}$$

Il rumore termico può essere calcolato mettendo in serie questo generatore e una resistenza

**Esempio di rumore su una resistenza**

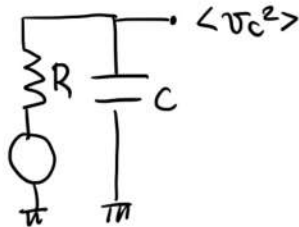


Dato che la rete RC fa da passabasso

$$\left(\frac{S}{N}\right)^2 = \frac{A_0^2/2}{\int_0^{+\infty} S_V(\omega) |T(j\omega)|^2 df} \quad \text{Questo è ovvio è la potenza del segnale}$$

**Rumore nei resistori**

Boltzmann si è accorto che il circuito è un circuito termodinamico dove il resistore può fare stocche di energia



In questo circuito l'energia è legata unicamente alla tensione ai capi del condensatore.  
Boltzmann dice che

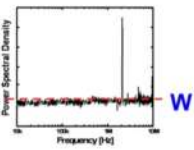
$$\frac{1}{2}C\langle V_C^2 \rangle = \frac{kT}{2} \quad \text{perciò } \langle V_C^2 \rangle = \frac{kT}{C}$$

Perciò velocemente possiamo dire che il segnale rumore è

$$SNR = \frac{A_0^2/2}{kT/C}$$

← non abbiamo fatto bisogno di calcolare l'integrale

### Thermal noise PSD

$$\int_0^{+\infty} S_V(\omega) |T(j\omega)|^2 df = \frac{kT}{C}$$


$$= W \int_0^{+\infty} |T(j\omega)|^2 df = W \int_0^{+\infty} \frac{df}{1 + \omega^2 R^2 C^2} = W \cdot \frac{1}{4RC}$$

$$W = 4kTR$$

voltage noise PSD  
[V²/Hz]

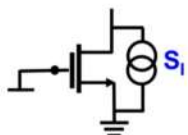
Da come è fatto il rumore molti picchi allora possiamo considerare lo spettro costante (bianco) [Fourier di tanti delta = costante], allora lo chiamo  $W$  e lo tiro fuori dall'integrale

Se vogliamo lo spettro di corrente:

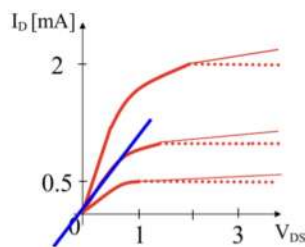
$$i = \frac{v}{R} \rightarrow S_I = \frac{S_V}{R^2} \leftarrow \text{x è potenza} = \frac{4kTP}{R}$$

### Rumore termico nel MOSFET (in triodo)

ohmic



$$S_I = \frac{4kT}{R_{ch}}$$



$$R_{ch} = \frac{1}{2k(V_{GS} - V_T)} = \frac{1}{g_m}$$

$$S_I = 4kT g_m$$

Perciò

Vediamo il mos come una resistenza, in particolare studiamo la resistenza di channel.

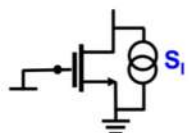
Noi conosciamo la curva  $ID/VDS$  e sappiamo che

$$ID = K [2(V_{GS} - V_T)V_{DS} - V_{DS}^2]$$

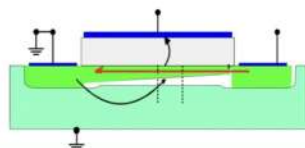
vicino all'origine  
QUESTO È IL

$$ID = 2K(V_{GS} - V_T)V_{DS}$$

E per quanto riguarda la saturazione?



$$S_I = 4kT \gamma g_m$$



$$\gamma = \begin{cases} 1 & \text{ohmic} \\ \frac{2}{3} & \text{saturation long ch.} \\ \approx 2 & \text{saturation short ch.} \end{cases}$$

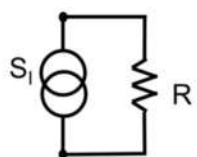
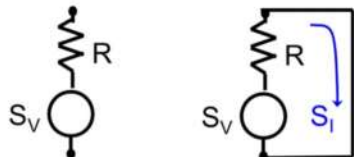
Non cambia rete, mettiamo solo un fattore correttivo  $\gamma$

The higher the transconductance the higher the current noise

Il rumore è una fluttuazione ed è un piccolo segnale. Del rumore siamo interessati al valore RMS  $\sigma = \sqrt{\langle S_m(t) \rangle}$  perché la media del rumore è 0 dato che è un processo statistico.

$$\langle V_{out}^2 \rangle = \int_0^{+\infty} S_V(f) |T(j\omega)|^2 df$$

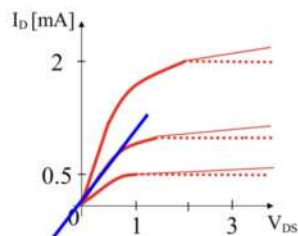
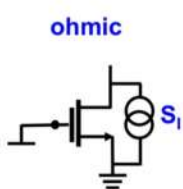
Anche con il rumore possiamo fare le trasformazioni di Thvenin e Norton.



Calcoliamo la corrente di cortocircuito  
(dove esse il valore al quadrato dato da sto lavorando con un rumore)

$$S_I = \frac{S_V}{R^2} = \frac{4kTR}{R^2} = \frac{4kT}{R}$$

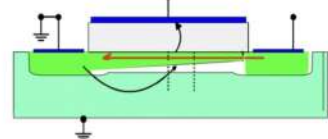
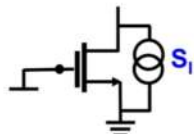
### Rumore termico nei MOSFET



$$S_I = \frac{4kT}{R_{ch}}$$

$$R_{ch} = \frac{1}{2k(V_{GS} - V_T)} = g_m$$

$$S_I = 4kTg_m$$



$$S_I = 4kT\gamma g_m$$

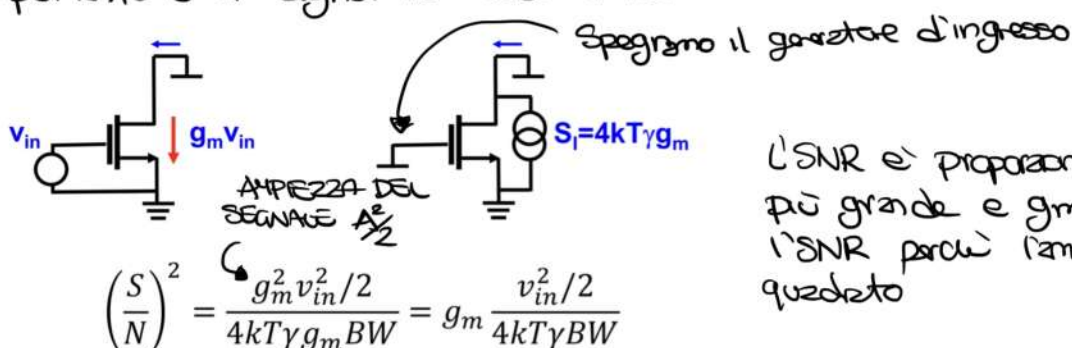
$$\gamma = \begin{cases} \frac{1}{2} & \text{ohmic} \\ \frac{2}{3} & \text{saturation long ch.} \\ \approx 2 & \text{saturation short ch.} \end{cases}$$

The higher the transconductance the higher the current noise

Aumentando la corrente di passo nel transistor (e quindi aumentando  $g_m$ ) allora anche il rumore di corrente aumenta.

Ma come per l'SNR aumentare o no la corrente?

L'importante è il Signal to Noise ratio



L'SNR è proporzionale a  $g_m$ , allora più grande è  $g_m$  maggiore sarà l'SNR perché l'ampliamento dipende dal quadrato

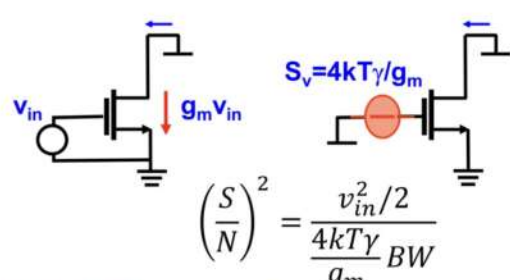
The higher the transconductance the better the (S/N) since The signal power increases more than the current noise power

Possiamo fare gli stessi conti riferiti all'ingresso facciamo quindi l'SNR riferito all'input.

Notiamo che

$$\frac{4kT\gamma g_m}{g_m^2} \cdot g_m^2 = 4kT\gamma g_m$$

Quello calcolato precedentemente

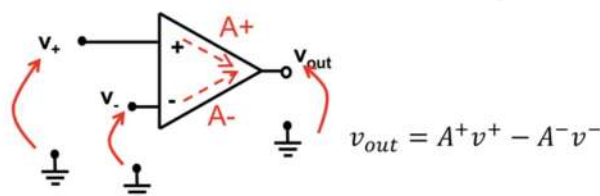


The higher the transconductance the lower the INPUT referred noise.

Noise requirements set the minimum transconductance and the minimum current needed.

Bipolo: è un doppio bipolo dove la caratteristica comune tensore dipende solo dalla tensione differenziale tra le 2 porte d'ingresso e uscita.

L'OPAMP è una rete a 3 porte



$$v^+ = v_{cm} + \frac{v_d}{2}$$

$$v^- = v_{cm} - \frac{v_d}{2}$$

$$v_{out} = A^+ \left( v_{cm} + \frac{v_d}{2} \right) - A^- \left( v_{cm} - \frac{v_d}{2} \right)$$

Possiamo risolvere queste equazioni usando la tensione di riferimento degli ingressi e la tensione  $V_{ref}$  riferita a terra, allora

$$V_{cm} - \frac{V_d}{2} = V^-$$

$V_{cm}$  media delle tensioni

$V_d$ : tensione differenziale

Allora si ricava che

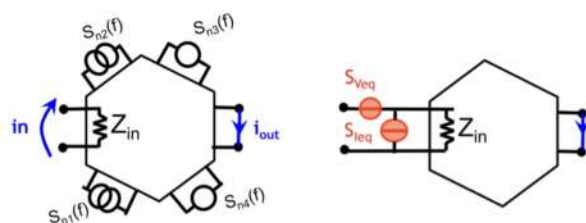
$$V_{out} = (A^+ - A^-) V_{cm} + \left( \frac{A^+ + A^-}{2} \right) V_d$$

ho un link ingresso uscita sotto riferito al comune modo e alla tensione di riferimento.

Sotto la approssimazione che l'amplificazione di modo comune sia trascurabile allora possiamo per ridurre l'OPAMP come un bipolo

$$V_{out} = \left( \frac{A^+ + A^-}{2} \right) V_d \quad (\text{l'output dipende solo dalla tensione differenziale})$$

Sotto l'ipotesi che una rete è un bipolo possiamo scrivere la corrente in modo input referred



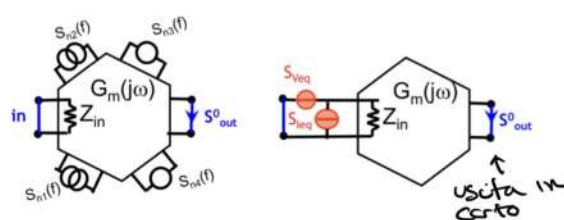
### COSA IMPORTANTESSIMA

i generatori di rumore all'input non dipendono dell'impedenza d'ingresso

Cosa estremamente importante per semplificare il modello.

For a two-port network the noise can be represented by input-referred noise sources independent of the source resistance

Definiamo ora un modo per ricavare queste input referred current.



Dobbiamo ricavare il valore dell'uscita

1) Mettiamo in corto l'uscita (facciamo tipo l'equivalente di Norton) e misuriamo il rumore d'uscita

Consideriamo dei casi specifici

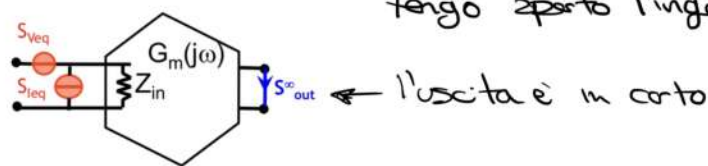
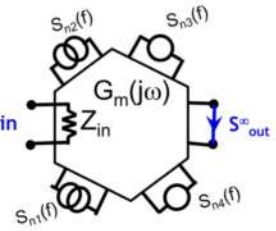
$Z_{in} = \emptyset$  ho un cortocircuito in ingresso e quindi quando ho questo caso in uscita ho solo il rumore di tensione

$$S_{out}^0 = S_{veq} |G_m(j\omega)|^2 \xrightarrow{\text{Guadagno della rete si quodato}}$$

PERCIÒ

$$S_{veq} = \frac{S_{out}^0}{|G_m(j\omega)|^2}$$

Faccendo esattamente l'opposto riceviamo il trasferimento di corrente



tengo aperto l'ingresso e computo l'uscita.

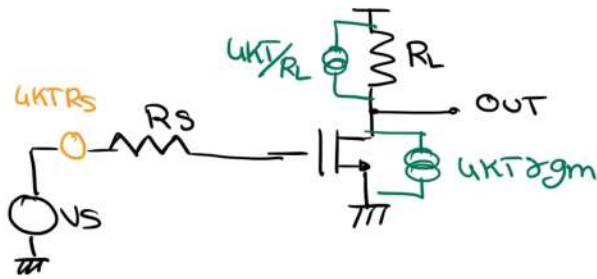
l'uscita è in corto

$$S_{OUT}^\infty = S_{Ieq} |Z_{in}(j\omega)G_m(j\omega)|^2$$

$$S_{Ieq} = \frac{S_{out}^\infty}{|Z_{in}(j\omega)G_m(j\omega)|^2}$$

Adesso quando avremo una resistenza in input saremo in grado di calcolare l'uscita.  
Tutti e 2 i generatori entrano in questa componente d'uscita.

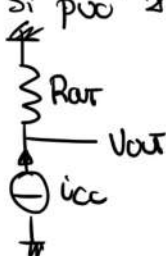
### ESEMPIO Common Source structure



Celculiamo  $S_{out}^\infty$  nel modo classico considerando i vari trasferimenti per ogni rumore

$$\begin{aligned} \text{Compote di } R_S &: 4kTg_m^2 R_L^2 \\ \text{compote del MOS} &: 4kTg_m R_L^2 \\ \text{compote da } R_L &: 4kT R_L \end{aligned}$$

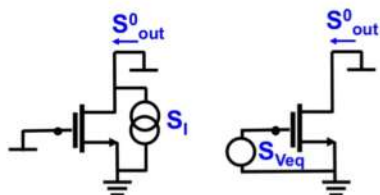
Al posto di fare questo si può anche fare un'altra procedura, rappresentare la rete con l'equivalente di Norton.



Posso poi calcolare gli input referred noise sources come faccio?  
Togliamo il source con la sua  $R_S$  (visto che i generatori devono essere indiposti)

Caso A : cortocircuito dell'input (l'unico compone che farà ruote sarà il gen di tensione)

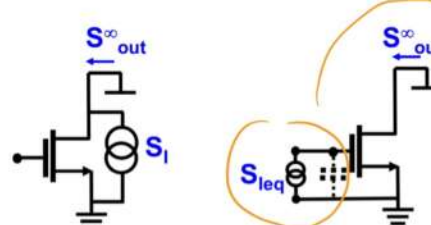
• Caso B : facciamo l'opposto per la corrente



$$S_{OUT}^0 = 4kTg_m = S_{Veq}g_m^2$$

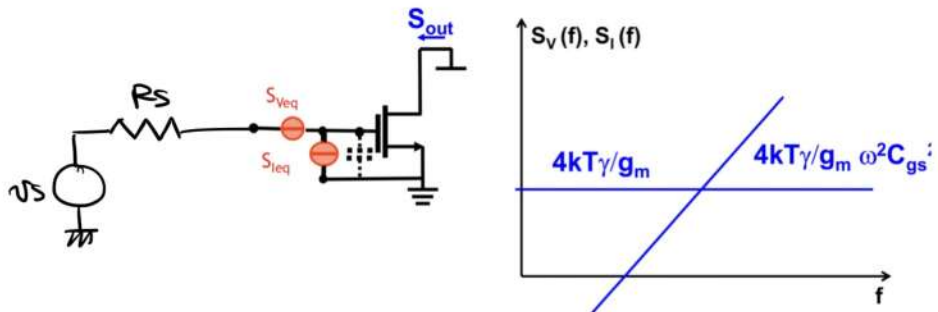
$$S_{Veq} = 4kT\gamma/g_m$$

$$4kT\gamma g_m = S_{Ieq} \frac{g_m^2}{\omega^2 C_{gs}^2} \quad S_{Ieq} = \frac{4kT\gamma}{g_m} \omega^2 C_{gs}^2$$



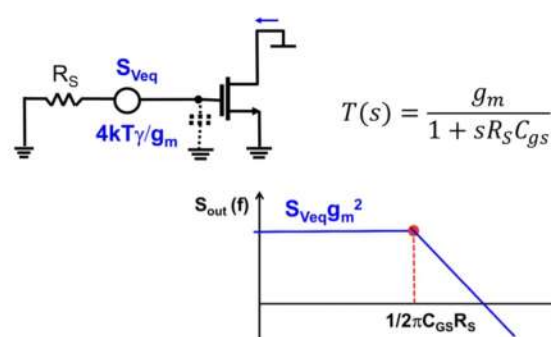
Dobbiamo tenere in considerazione che nella rete ci sono anche un condensatore d'input e non è ∞

Abbiamo ricavato i generatori input referred di rumore (stanno bene)

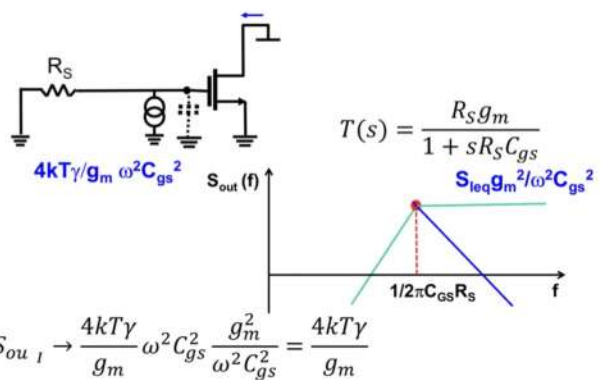


BE CAREFUL: Different dimensions.  
Not immediately comparable !!

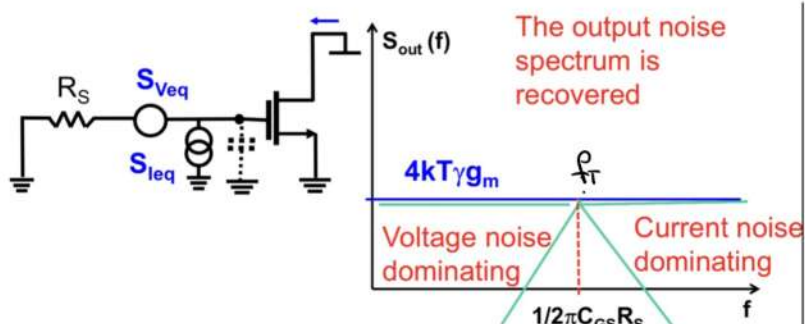
Andiamo a controllare se il circuito funziona veramente con tutti i valori di  $R_S$ .



$$T(s) = \frac{g_m}{1 + sR_s C_{gs}}$$



$$S_{out} \rightarrow \frac{4kT\gamma}{g_m} \omega^2 C_{gs}^2 \frac{g_m^2}{\omega^2 C_{gs}^2} = \frac{4kT\gamma}{g_m}$$



$$f^* = \frac{1}{2\pi C_{GS} R_S} = \frac{g_m}{2\pi C_{GS} g_m R_S} = \frac{f_T}{g_m R_S}$$

$\nwarrow$   
Moltiplicazione  
e divisione per  $g_m$

Frequenza d'Cut-off del transistor (tipicamente 100 GHz)  
Questa formula ci fa capire a che frequenze entra in gioco il rumore di corrente. Dato che  $f_T$  è molto alta allora noi tipicamente trascuriamo sempre lo input current noise (perché tanto non dovrebbe essere rilevante)

Se vogliamo calcolare l'SNR

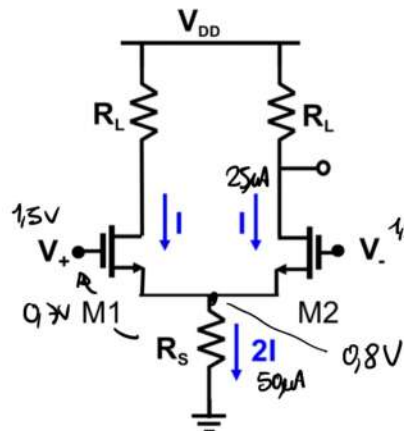
Sommozzi le 2 componenti del rumore e le andiamo a integrare sulla banda.

Per non sommare troppo la input noise dobbiamo cercare di avere sempre queste condizioni

$$g_m > \frac{1}{R_s}$$

## Differential stage

• Con canale resistivo



Topologia fondamentale, iniziamo studiando il bias.  
Se  $V_+$  e  $V_-$  sono identici allora avrà una corrente iguale sui 2 resistori che si andrà a raddoppiare su  $R_s$ .

Supponiamo di avere  $V_B = 0,1$  per avere la massima  $g_m$

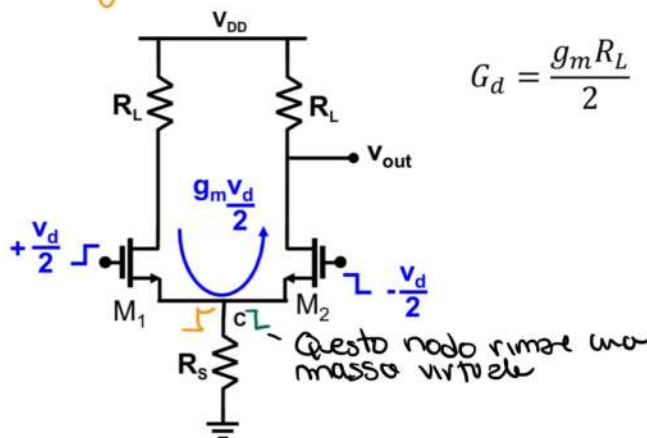
Una volta che supponiamo  $I$ , sapute le tensioni dei transistor inceremo il valore di  $R_L$ . Il valore minimo che posso avere sul drain per avere il MOS in sat è 0,9V  
(dobbiamo tenere un margine per il piccolo segnale, noi prendiamo la ceduta su  $R_L$  di 1,5V per avere  $V_B = 1,5V$ )

Perciò  $R_L = 30\text{ k}\Omega$ . Per la resistenza di source vale la stessa idea cosa, calcoliamo  $R_s$  per avere  $V_x = 0,8\text{ V}$  (valori a caso scelti da noi)

Con questi valori otteniamo

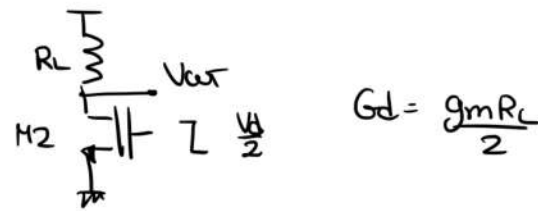
$$g_m = \frac{2 \cdot I}{V_B} = \frac{2 \cdot 25\mu\text{A}}{0,1}$$

## Graeffe d'efferenza



$$G_d = \frac{g_m R_L}{2}$$

Dato che  $V_x$  è una terra virtuale posso vedere il circuito così



$$G_d = \frac{g_m R_L}{2}$$

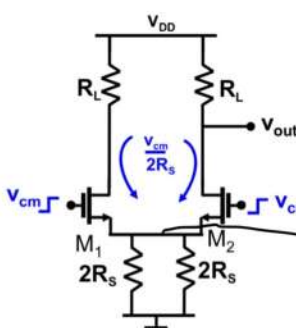
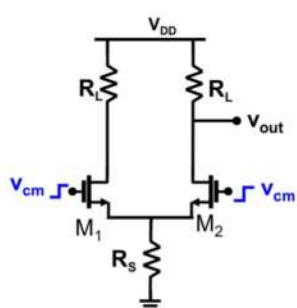
quanto può essere grande il gain

$$G_d = \frac{g_m R_L}{2} = \frac{2 I R_L}{2 V_B}$$

Unite dato della ddp e capo di  $R$  che non può essere troppo alto  
Sarà mando in tristeza il mos

Il massimo assoluto nel nostro caso è 2I  
troppo basso!!!

## COMMON MODE GAIN



Uniamo tutt'e 2 gli input alla stessa tensione

Per semplicità dividiamo i circuiti in 2 detti  
che per simmetria qui non può passare tensione.

Allora  $\bar{V}_{out} = R_L \cdot \bar{I}_S$

$$\bar{V}_{out} = R_L \frac{V_{cm}}{2R_s}$$

In pratica anche qui ho  $V_{cm}$

$$\approx V_{cm} - \frac{V_{cm}}{2R_s}$$

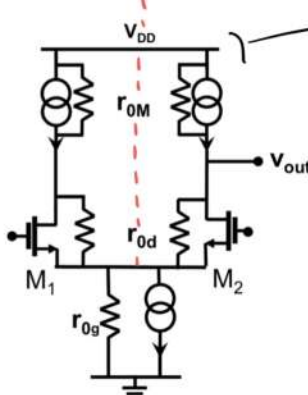
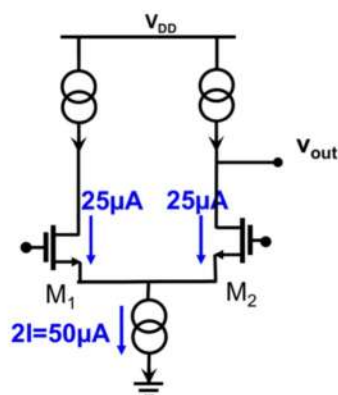
Allora il guadagno di common mode è:  $G_m = \frac{R_o I}{2R_{ST}} = \frac{DVL}{DVS} \approx 2$

Che è troppo basso per un common mode.

Common mode rejection ratio:  $CMRR = \frac{G_d}{G_m} \approx 8 \leftarrow$  che è troppo basso.

e' indipendente dal valore della corrente

Usare questa struttura base è decisamente troppo limitante.  
Possiamo sostituire le resistenze con un generatore di corrente che ha etissima resistenza e bassissimo voltage drop ai suoi capi:



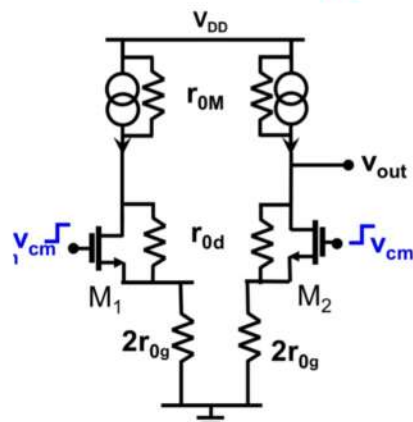
Il Guadagno di differenziale è

$$G_d = \frac{g_m (r_{0M} || r_{0d})}{2} \approx \frac{\mu}{4}$$

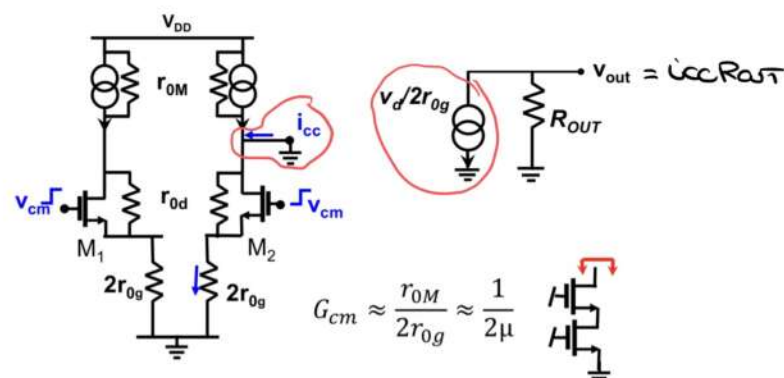
(Si ricalca dividendo in 2 il circuito come prima)

Ma seppiamo che  $g_m/\mu = \frac{1}{2}$  (max gain) allora supposte le 2  $r_0$  uguali incurso che il guadagno differenziale è  $\mu/4$ . Tipicamente  $\mu$  vale 100 / 200 quindi siamo molto meglio di prima.

### Common Mode gain

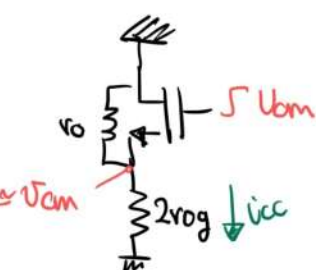


Indice qua dividiamo il circuito in 2. Ma è più difficile calcolare il trasmettore. Usiamo l'equivalente Norton



$$G_{cm} \approx \frac{r_{0M}}{2r_{0g}} \approx \frac{1}{2\mu}$$

Calcolo  $i_{cc}$



Se  $g_m \ll (2r_0g/r_0)$ , allora sotto questa ipotesi possiamo dire che la tensione sul source è  $\approx V_{cm}$   
Allora la corrente sarà

$$i_{cc} = \frac{V_{cm}}{2r_{0g}}$$

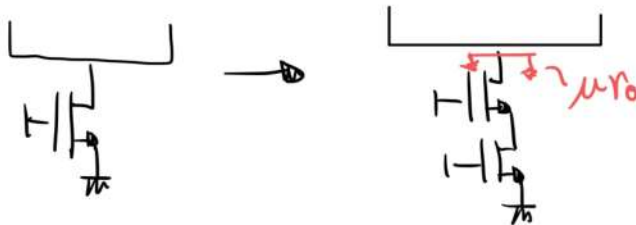
La resistenza di output è  $R_{out} = r_{0d} (1 + g_m 2r_{0g}) // r_{0M} \approx \mu 2r_{0g} // r_{0M} \approx r_{0M}$

Perciò il guadagno di common mode è:

$$G_{cm} = \frac{r_{0M}}{2r_{0g}} = \frac{1}{2}$$

incarico esterno!

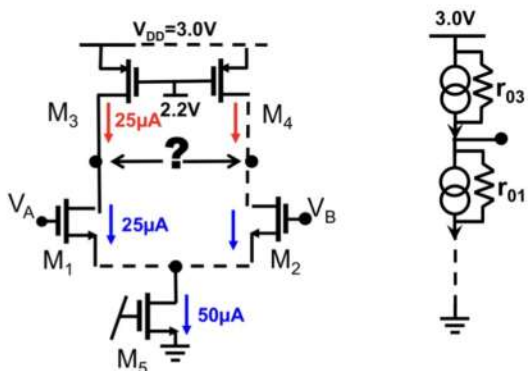
Un modo per migliorare la common mode (cioè abbassarla) è usare al posto di un singolo mos alla base usare una struttura cascata per migliorare (ridurre) il voto della resistenza.



Peghiamo più in tensione perché perché ci sono il bias giusto per i MOS.

Con la struttura cascata abbiamo che la  $CMRR \approx \mu^2$  (Molto bene!)

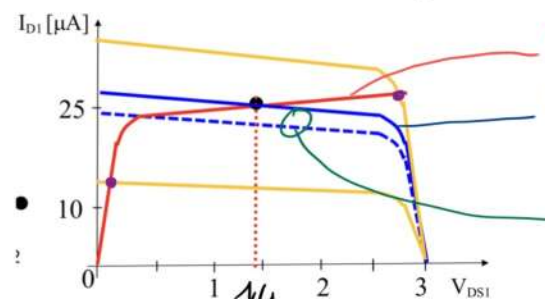
Ma il problema principale della struttura è il bias.



Il problema è di abbaziono 2 generatori di corrente indipendenti (sopra e sotto) da basso verso alto complementari.

Se il gen superiore da  $25\mu A$  al posto di  $25\mu A$  non sono più matchati ed è un bordello.  
Se abbaziono fluctuazioni è un bordello  
e quello che succede è che i transistor sopra o sotto zero in modo.

Plotiamo la corrente  $I_{D1}$  in dipendenza della  $V_{DS1}$  (la  $V_{GS}$  è settata e costante).



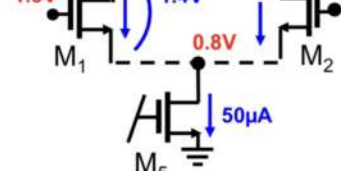
Corrente di ho su M3 sempre relativamente a  $V_{DS}$ .  
In pratica se  $V_{DS1}$  è 3 allora non può passare corrente su M3.

Mettere la  $V_{GS}$  di M3 circa al di fuori di  $V_{DS1}$  per incoccare le 2 cure alla giusta tensione, in questo caso 1.4V.

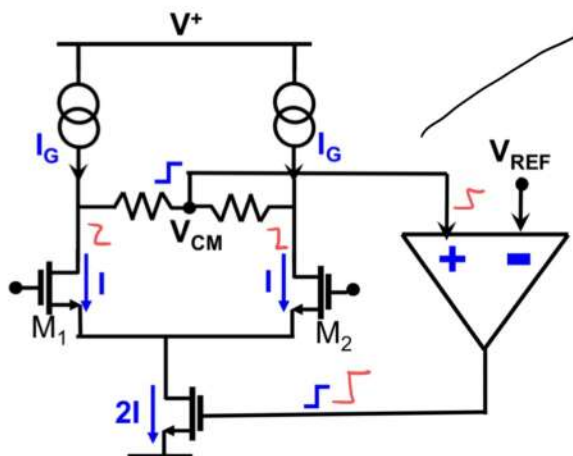
Però noi abbaziono variabilità e quindi il punto di funzionamento si sposta. (Variabilità p.t.) e quindi potremo trarre uno dei 2 mos in trordo.

Cosa facciamo?

Facciamo un sensing e applichiamo un feedback.



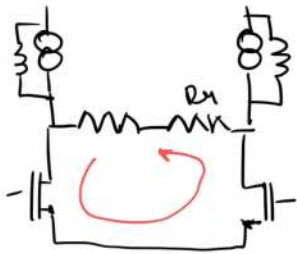
Facciamo il circuito per il feedback.



Prendiamo la tensione media tra i 2 punti e la contrattino su un  $V_{ref}$ .

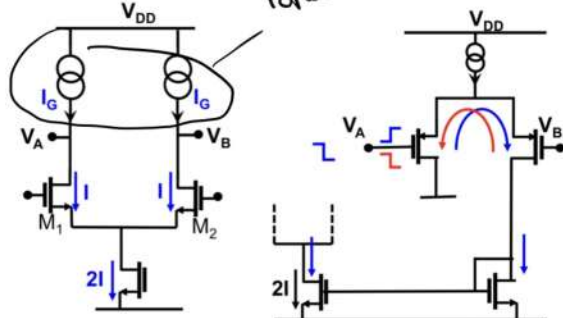
Se  $V_{ref}$  è > di  $V_{ref}$  dato da entrambi i punti positivo allora l'out è + positivo e il mos porta più corrente che fa muovere la tensione di common mode giù, non un feedback negativo.

Quando abbiamo un segnale differenziale abbiamo che la corrente fa lo stesso giro



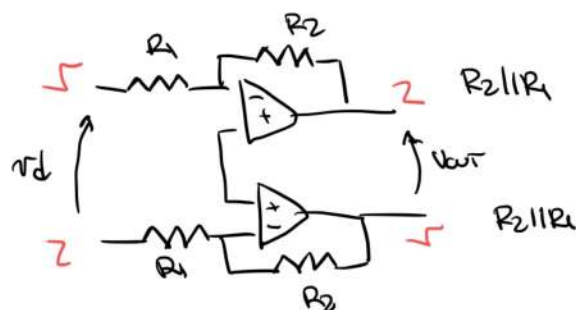
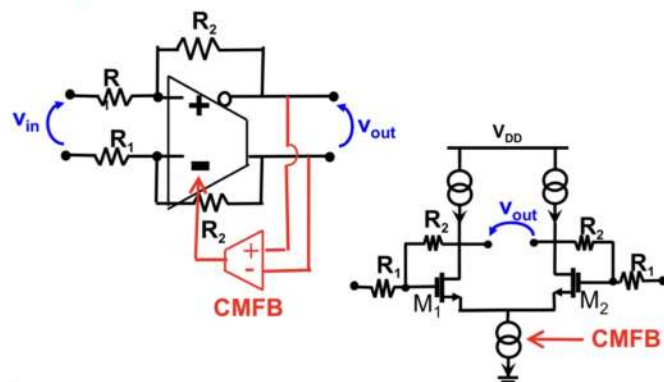
Quindi il guadagno dipenderà dalle resistenze  $R_2$  e  $R_3$  più che da  $r_o$ .

Potrai ricevere sempre il problema di prima



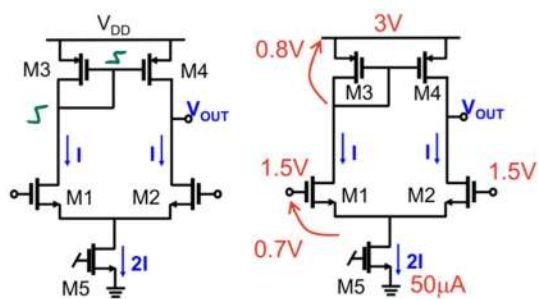
→ Esempio di implementazione pratica su cui il prof ha detto che non funziona

### Fully differential structure



Non ci ho capito niente

### Single ended structure usiamo uno specchio.

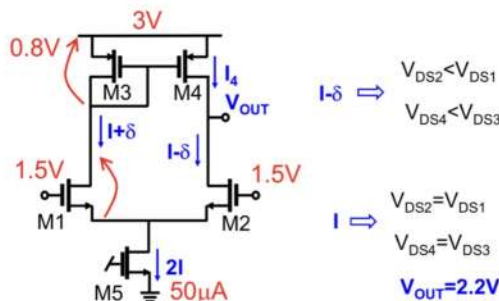


Attenzione!!! Il circuito non è più simmetrico, da un lato ho un trasduttore dell'altro un generatore di corrente. Infatti



non ha impedenza di  $Y_{gm}$ .

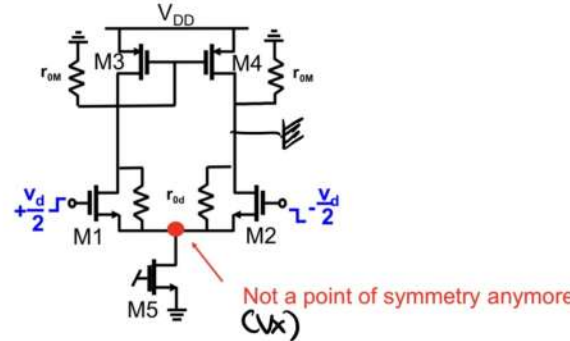
Anche qui dobbiamo settare correttamente il bias. Decido la corrente su M5 e so che la corrente si divide a metà precisa. Setto M3 in modo che porti 25μA. In questo modo risolviamo il problema dei generatori di tensione. (questo è vero quando abbiamo  $M_3 = M_4$  e  $M_1 = M_2$  perfettamente)



Se sul drain di M1 passa una corrente  $I + \delta$  e su M2 non una corrente  $I - \delta$  allora dovrà avere che doppia la stessa  $V_{DS}$  tra M2 e M1 allora ho che  $V_{DS2}$  deve essere minore di  $V_{DS1}$ .

Poi devo che ho lo specchio solo in modo che per avere questo è che  $V_{DS4} < V_{DS3}$  ma attenzione se andiamo avanti così non si trova il punto di

equilibrio. Perciò l'unico modo in cui il circuito possa funzionare è che la corrente nei 2 rammi sia uguale.



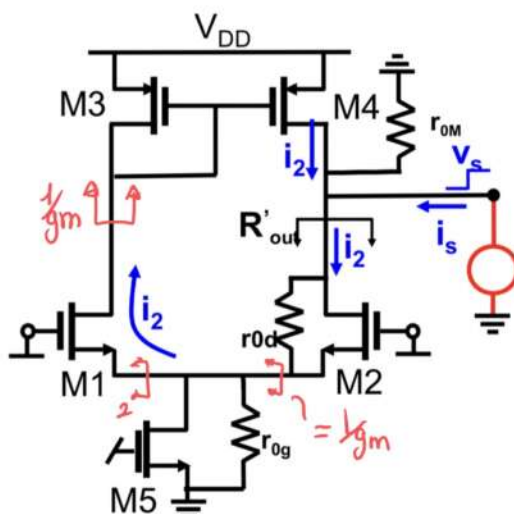
Non possiamo più dire che le 2 correnti possano essere uguali perché non c'è più simmetria.

Facciamo Norton

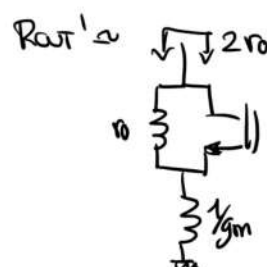
$$i_{oc} = g_m v_{sd}$$

questo perché arriva corrente dalla sorgente  $\frac{g_m v_d}{2}$  e altri  $\frac{g_m v_d}{2}$   
che arrivano da M2

Faccendo il trasformatore notziano di  $V_x$  c'è un punto di terra virtuale) e per quale riguarda  $R_{out}$ ?



$$R_{out} = \frac{r_o + g_m r_o}{1 + g_m r_o} \sim \frac{1}{g_m}$$

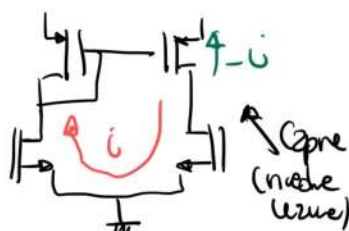


$$r_o(1 + g_m \cdot \frac{1}{g_m}) = 2r_o$$

$$\text{Perciò } R_{out}^x = r_{0M} / 2r_{0d}$$

NO!!

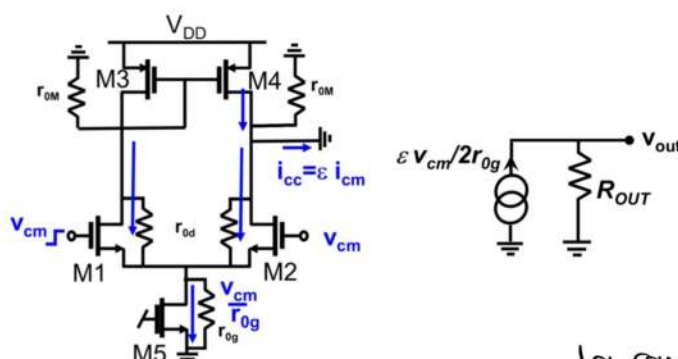
Abbiamo un feedback dato dello specchio di corrente e che il Gloop vale -1 perciò



Perciò la vera  $R_{out}$  è

$$R_{out} = \frac{R_{out}^x}{1 + 1} \quad \text{corretto !!?}$$

Common Mode gain.



a vedere c'è che la corrente di cortocircuito è doppia di quella nei 2 canali nei vari sono identiche. Tuttavia abbiamo degli errori, infatti se abbiamo uno specchio con una resistenza di output, queste resistenze ruberanno della corrente di cui verrà spezzata dal mos

La corrente di uscita è:  $i_{out} = \frac{i_{specchio}}{r_{0M} + g_m}$

quindi abbiamo un errore quindi non batte la corrente ma batte l'uscita. Quindi la corrente di cortocircuito è data da questo errore di corrente

Perciò il guadagno di Common Mode è  $G_{cm} = i_{oc} R_{out} = \frac{E}{r_{0g}} \cdot \frac{r_o}{2} \approx \frac{1}{g_m}$

dato che  $\epsilon$  è tipicamente  $\frac{1}{\mu}$ .

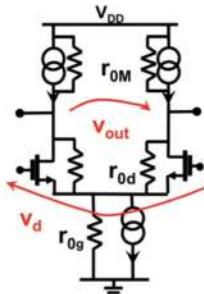
Se al posto di MOS usi 2 MOS cascode allora posso partire dalla  $G_m$

## CONFRONTO TRA LE VARIÉ CONFIGURAZIONI

	$G_d$	$G_{cm}$	CMRR
Prototypical	$\Delta V_{RL}/V_{ov}$	$\Delta V_{RL}/\Delta V_{RS}$	$\Delta V_{RS}/V_{ov}$
Active loads	$\frac{\mu}{2}$	$\frac{1}{2\mu}$	$\mu^2$
w /mirror	$\frac{\mu}{2}$	$\frac{1}{2\mu^2}$	$\mu^3$

04.10.2021

2h



$$G_d = 2 \frac{g_m}{2} (r_{0M} \parallel r_{0d}) \approx \frac{g_m r_0}{2}$$

Conviene prendere l'output differenziale perché abbiano un guadagno migliore.

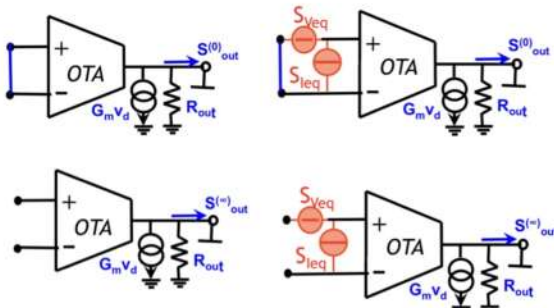
Inoltre abbiano anche un vantaggio assurdo sul comune mode gain, perché per l'output è un modo comune.

## Vogliamo progettare un OP-AMP

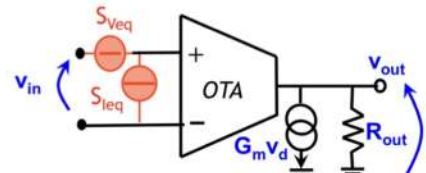
$G_d = 80-90 \text{ dB}$

$\text{CMRR} = 90 \text{ dB}$

Come ricaviamo i valori del rumore?

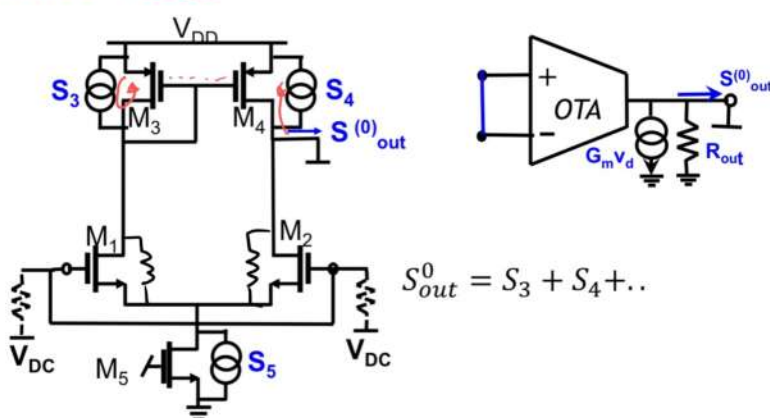


$$S_v = 5nV/\sqrt{\text{Hz}}$$



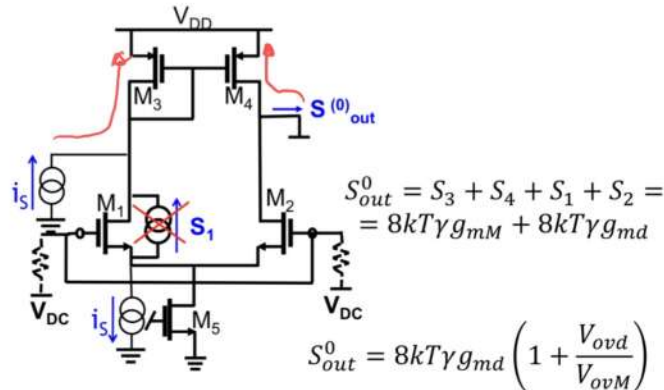
Facciamo lo stesso lavoro da zero fatto la sorsa voltaggio

## OUTPUT NOISE



In generale la corrente di SB ricorda sull'  $k_{Bm}$  del mosfet (dato che  $\epsilon \ll r_0$ ) e poi grazie allo specchio su  $M_5$  la corrente va sulla uscita, (stessa roba creata per  $S_4$ )

Per  $S_1$  e  $S_2$  è molto più difficile



splitterino in 2 il generatore

$i_s$  sopra va su  $M_3$  e specchiato poi su  $M_4$  e out

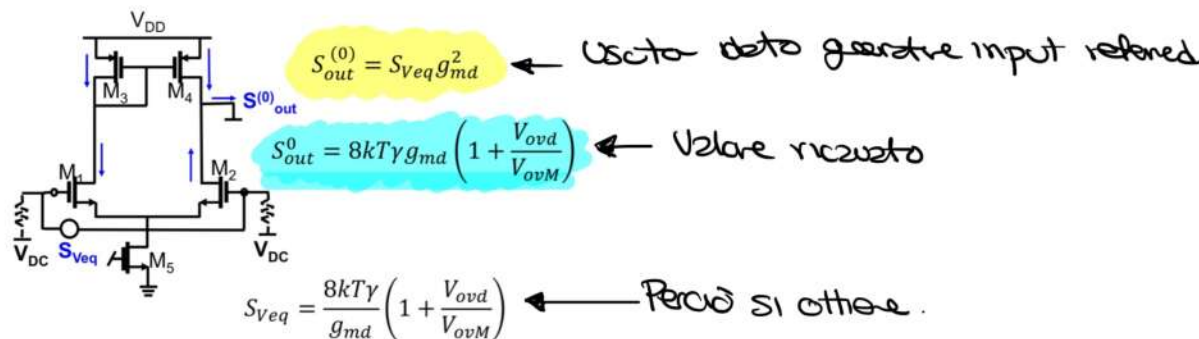
$i_s$  sopra possiamo approssimare come divise a metà tra  $M_1$  e  $M_2$  allora  $M_2$  va all'out e anche  $M_3$  viene specchiato su  $M_1$  tale che le 2 componenti della corrente si sommano.

Perciò ho che  $M_5$  dà in uscita tutto il rumore (visto il primo trasferimento di  $i_s$ )  
Tutti i MOS danno rumore tranne  $M_5$ .

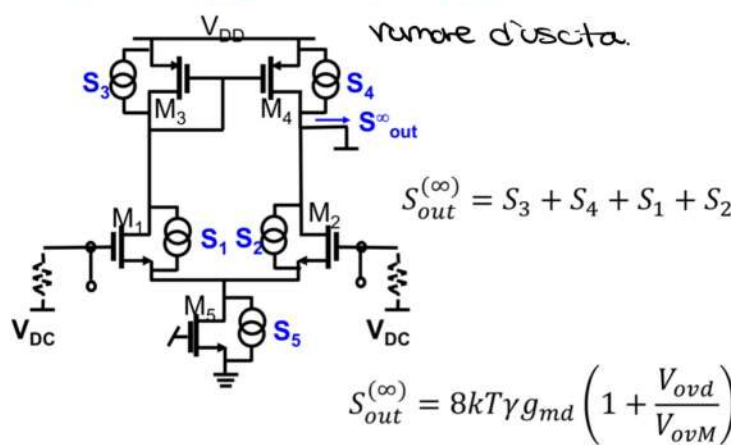
il rumore totale è

$$S_{out} = 8kT\gamma g_{md} \left( 1 + \frac{V_{ovd}}{V_{ovM}} \right)$$

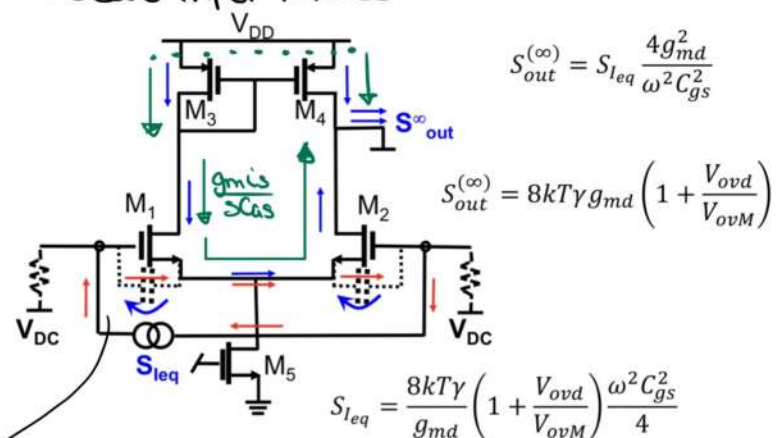
Adesso dobbiamo modellizzare il circuito all'ingresso



### OUTPUT NOISE INPUT OPEN



### Modello input referred

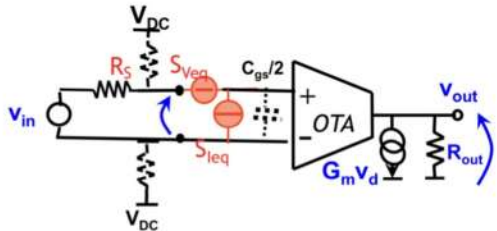


Nei supponiamo che ci sia il condensatore in ingresso e quindi la tensione  $V_{in}$  è calcolabile come

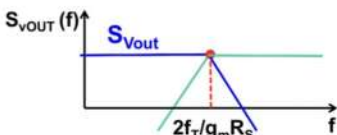
$$V_{gm} = i_s \frac{1}{SC_{AS}}$$

Poi La corrente va a dividere, il "problema" è che le 2 componenti all'output si sommano a somme diventando il doppio. Una volta calcolato questo si può ricevere il valore esatto del generatore di rumore di corrente all'input.

Il generatore di corrente di input di corrente deve essere dipendente dalla frequenza, in particolare proporzionale al quadrato di  $\omega$  così da bilanciare il fatto che il condensatore varia come  $1/\omega^2$



$$f^* = \frac{1}{2\pi R_s C_{gs}/2} = \frac{2f_T}{g_{md} R_s}$$

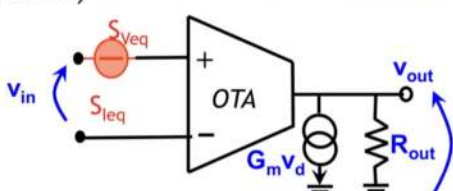


Se noi sappiamo che il sistema funziona a freqcc di questo polo ( $f^*$ ) allora possiamo considerare nullo il contributo del generatore di rumore di corrente.

Supponiamo di trovarci in questa situazione e ricavare che

- $G_d$  80-90 dB
- CMRR 90dB
- $S_V = (5 \text{nV}/\sqrt{\text{Hz}})$

For BW <  $2f_T/g_m R_s$



$$S_{Veq} = \frac{8kT\gamma}{g_{md}} \left( 1 + \frac{V_{ovd}}{V_{ovM}} \right)$$

Ricordiamo che  $g_m = \frac{2I}{V_{ov}}$

se vogliamo migliorare l'SNR aumentiamo il  $g_m$ .

Se noi vogliamo  $S_V = 5 \text{nV}$  quanta corrente serve? (Dato che nella formula abbiamo sia  $g_m$  che  $V_{ov}$ )

$$S_{Veq} = \frac{8kT\gamma}{g_{md}} \left( 1 + \frac{V_{ovd}}{V_{ovM}} \right) = (5 \text{nV}/\sqrt{\text{Hz}})^2$$

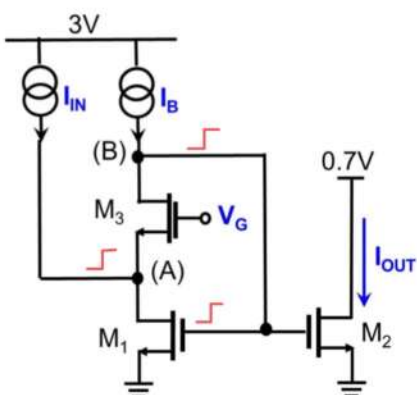
•  $(4.7 \text{nV}/\sqrt{\text{Hz}})^2 @ 1 \text{mA/V} \leftarrow$  Numero da Ricordare è sempre questo

$g_{md} \approx 1.5 \text{ mA/V} \leftarrow$  Si ottiene

$$\underline{2I} = g_{md} V_{ov} = 150 \mu\text{A} \leftarrow$$
 perciò

perciò considera il Mosfet sulla coda dello stadio differenziale.

### Tutoring



Ideal  $i_{out}/i_{in} = 1$

Ideal  $R_{in} = \infty$

Ideal  $R_{out} = r_{o2}$

$G_{loop}(0)$

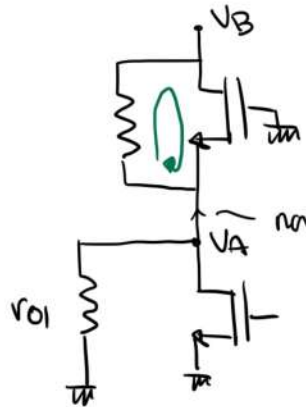
Real  $R_{in}$

Real  $R_{out}$

Dato che qui  $C_{gs}$  di  $M_1$  ha molto più ddp che su  $M_3$  allora tutta la corrente va su  $M_1$  mentre l'erroneo scorre su  $M_3$

$$\frac{i_{out}}{i_{in}} = 1$$

Gloop: 2 primo sul gate di  $M_1$



$$V_A = g_m r_{O1} V_t$$

$$V_B = g_m r_{O1} V_t + g_m r_{O1} V_i$$

non passa corrente ma la corrente di H2 ricorda su V<sub>B</sub> e quindi ho coniuge varianze di tensione tra V<sub>A</sub> e V<sub>B</sub>

Rivedere sta roba

$$R_{IN} = \frac{r_{O1}}{1 - G_{loop}}$$

05.10.2021

2h

Nel poi seppiamo che

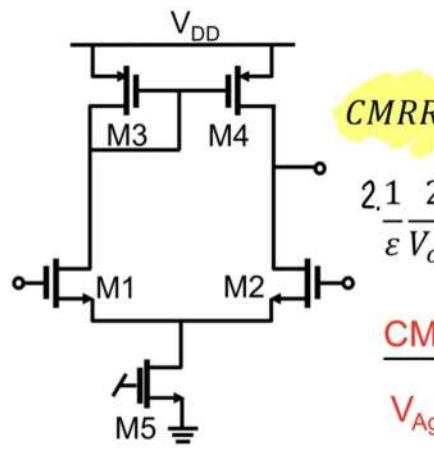
$$G_d = g_m (r_{om} \parallel r_{od})$$

$$\frac{1}{G_d} = \frac{2I}{V_{ovd}} \cdot \frac{V_A}{2I} = \frac{V_A}{V_{ovd}} \leftarrow \text{questa l'avevamo imposta prima perciò abbiamo calcolato } V_A \text{ dato un guadagno.}$$

$$\text{per } G_d = 15dB \rightarrow 178 \text{ allora } V_A > 17.8 \rightarrow L > 0.89\mu m$$

questa la ricevo sapendo che  $L_0 = 7$  per  $L = 0.35\mu m$

Possiamo per ora cominciare refection ratio



$$CMRR = \frac{2g_m r_{og}}{\epsilon}$$

$$2.1 \frac{2I}{\epsilon} \frac{V_{Ag}}{V_{ovd}} = \frac{V_{Ag} \times 2}{V_{ovd}}$$

s'era dimenticato un 2

equazione semplificata

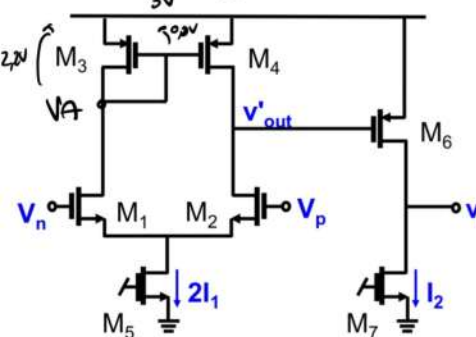
Nel abbiamo già settato il mirror gain  $\mu_M = 200$

$$CMRR = 90dB \rightarrow 3.17 \cdot 10^4$$

$$V_{Ag} > \frac{15.8}{2} \rightarrow L_g > \frac{0.79\mu m}{2}$$

riceviamo la modulation voltage

Second stage, mettiamo in serie al differential stage in secondo amplificatore



$$G_2 = g_m (r_{o6} \parallel r_{o7})$$

$$\frac{2I_2}{V_{ov6}} \cdot \frac{V_{A6-7}}{2I_2} = \frac{V_{A6-7}}{V_{ov6}}$$

45dB perché ne avevamo 90dB e  $\frac{1}{2}$   
il primo stage ne faceva circa 45dB.

$$G_2 = 45dB \rightarrow 178$$

Cos'è  $V_{ov6}$ ? Si perché io cresco  
 $V_A$  de  $\epsilon$  è  $V_{DD} - V_{SD}$ , allora anche  
 $V_B$  è allo stesso valore

$$V_{A6-7} > 35.6 \rightarrow L > 1.78\mu m$$

da qui si dice che  $V_{DS} = 0.2V$  e ricava che  $L > 1.78 \mu m$ .

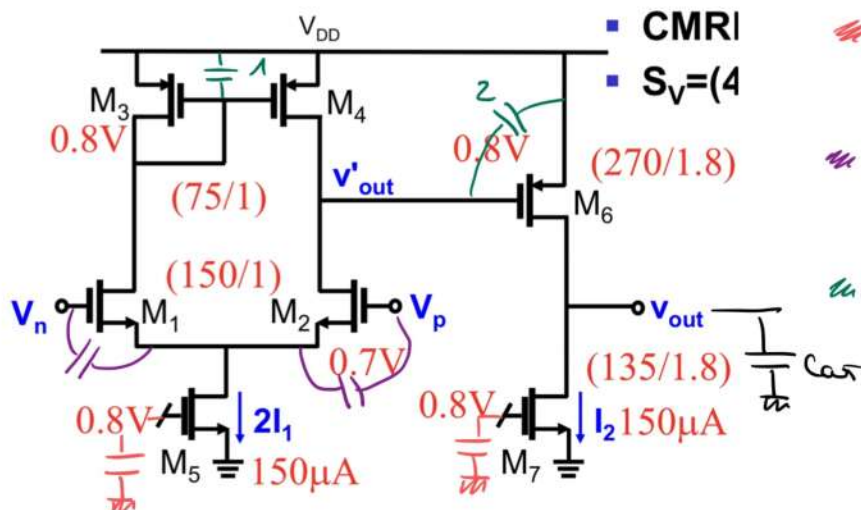
Dopo aver dimensionato l'architettura dobbiamo dare un occhio alle frequency response.

Computiamo i valori delle capacità parassite

$$C_{AS} = \frac{2}{3} C_{ox}^2 \cdot WL \rightarrow \text{per noi } 5 \text{ fF}/\mu m^2$$

	I [μA]	V <sub>ov</sub> [V]	g <sub>m</sub> [μA/V]	(W/L)	L [μm]	W [μm]	r <sub>o</sub> [kΩ]	μ	C <sub>gs</sub> [pF]	f <sub>T</sub> [MHz]
M1-M2	75	0.1	1500	150	1	150	267	400	0.50	478
M3-M4	75	0.2	750	75	1	75	267	200	0.25	478
M5	150	0.2	1500	75	1	75	133	200	0.25	955
M6	150	0.2	1500	150	1.8	270	240	360	1.62	147
M7	150	0.2	1500	75	1.8	135	240	360	1.62	147

Allora ho le capacità



Queste capacità non hanno effetti, non passa il segnale

Queste 2 capacità sono legate all'input, vanno considerate

Capacità da cui interessano

La capacità 1 seppiamo che da un polo ad alta freq visto che si vede su sua capi  $g_{m1}$

$$f_1 = \frac{g_m}{2.2\pi C_{GS}}$$

quindi questo polo è ad estrema freq qua ci interessa poco.

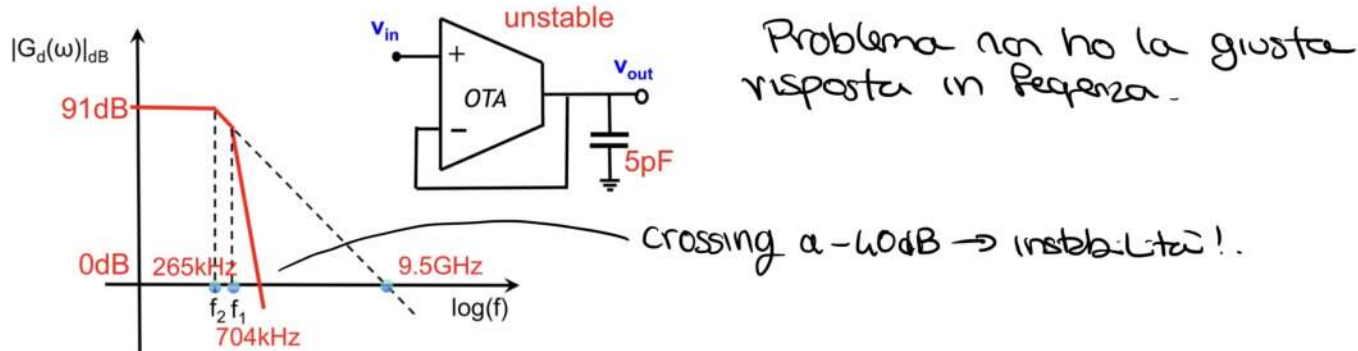
f<sub>2</sub> vede la resistenza  $r_{o6}/(V_{O2})$  che è un valore abbastanza alto.

$$f_2 = 704 \text{ kHz}$$

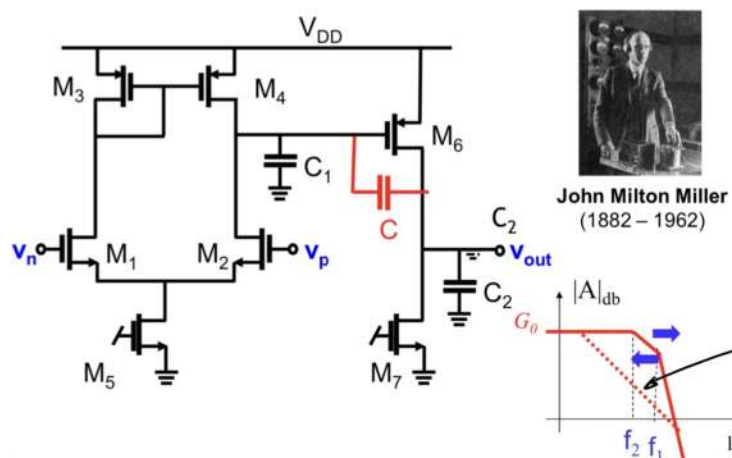
Poi possiamo aspettare un C<sub>AS</sub> d'uscita allora dobbiamo calcolare anche quella capacità.

Suppongo C<sub>AS</sub> = 5 pF e  $r_{o6}/(V_{O7})$  è la resistenza che vede, allora  $f_2 = 265 \text{ kHz}$

Tutte le capacità sono isolate e non intersegnano



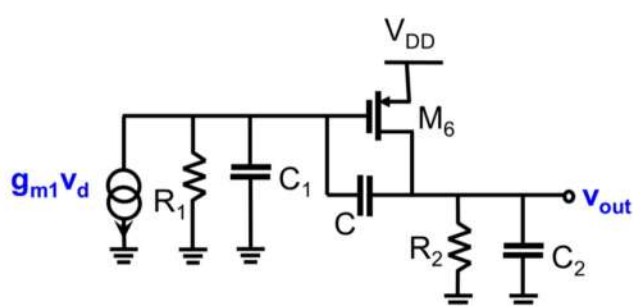
Come risolviamo il problema della banda? Usiamo il condensatore di Miller



il condensatore di Miller splitta i 2 poli uno di fronte all'altro.

no vogliamo questa forma, attaccando così a -20dB.

Circuito equivalente dell'amplificatore precedente.



Gli stage precedenti e successivi sono stati considerati con l'equivalente di Norton.

ho 3 condensatori ma non sono indipendenti infatti dopo che ho settato la tensore su 2 di loro l'altro ha la tensione su suoi capi settata.

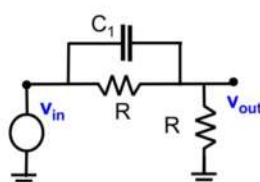
$$T(s) = T(0) \frac{a_2 s^2 + a_1 s + 1}{b_1 s^2 + b_2 s + 1}$$

Quanti zero ho? Setto l'output a 0 e quindi C2 ha 0 ad entrambi i suoi capi quindi non può fare zero.

Allora idealemente potrei avere 2 zeri detti uno da C e un altro da C2.

Possiamo trovare questi coefficienti? Sì, c'è una tecnica approssimata.

Metodo delle costanti d'istante

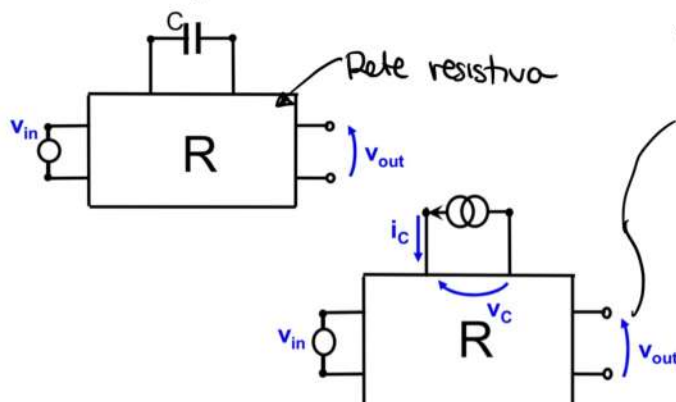


$$T(s) = \frac{1}{2} \cdot \frac{sRC + 1}{sRC/2 + 1}$$

Brute force approssimata.  
Per calcolare il polo vedo la resistenza vista dal condensatore spogliando i generatori.

Per avere lo zero devo avere che l'impedenza sia infinita tra v\_in e v\_out allora questo succede quando  $s = \frac{1}{RC}$

Ma noi vogliamo una formula generale.



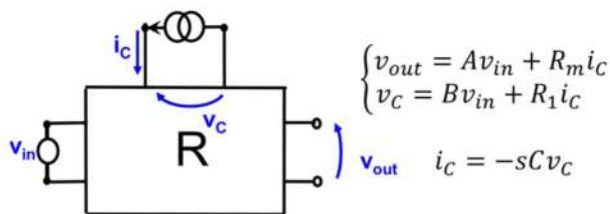
Rimpiazziamo il condensatore con un gen di corrente. A questo punto devo dire che c'è una rete di resistori allora v\_out deve essere dipendente dal valore del generatore v\_in, cioè.

Possiamo dire che  $v_{out} = A v_{in} + R_{eq}$

Ma posso fare la stessa cosa anche con  $v_c$

$$V_C = \beta V_{in} + R_C i_C$$

Allora:



$$\begin{cases} v_{out} = Av_{in} + R_m i_C \\ v_C = Bv_{in} + R_1 i_C \\ i_C = -sCv_C \end{cases}$$

$$v_C = Bv_{in} - sCR_1 v_C \quad v_C = \frac{Bv_{in}}{(1 + sCR_1)}$$

Secondo questo ora possiamo calcolare che:  
ed esprimendo il valore di  $V_{out}/V_{in}$

$$v_{out} = v_{in} \frac{A + sCR_1 A - sCR_m B}{1 + sCR_1} = \\ = A v_{in} \frac{1 + sC \left( R_1 - \frac{R_m B}{A} \right)}{1 + sCR_1}$$

DC gain da in  
a out.

1° capacità  
quando 1 polo

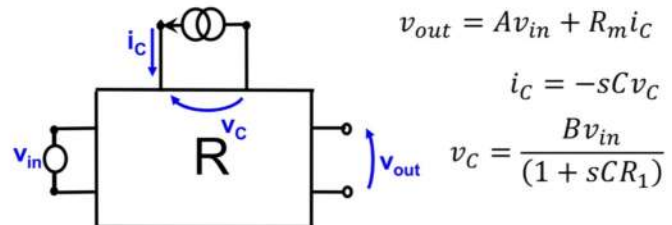
Pt è la ratio tra  
 $v_C$  e  $v_{in}$  quando  $v_{in} = 0$

secondo che la corrente di un condensatore  
è:

$$i_C = -sCv_C$$

cioè lega la corrente in a  $v_C$

Allora possiamo calcolare  $v_C$  in funzione di  $v_{in}$



$$v_{out} = Av_{in} + R_m i_C$$

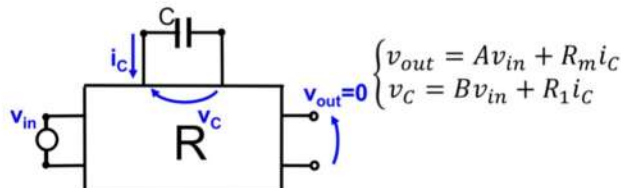
$$i_C = -sCv_C$$

$$v_C = \frac{Bv_{in}}{(1 + sCR_1)}$$

$$v_{out} = Av_{in} - sCR_m v_C = v_{in} \left( A - \frac{sCR_m B}{1 + sCR_1} \right)$$

è una resistenza ma è complicata.  
cosa significa questa resistenza?

Sappiamo che questo è uno zero quindi poniamo a mettere l'out a Ø e vediamo cosa succede alle eq.



$$\begin{cases} 0 = Av_{in0} + R_m i_{c0} \\ v_{c0} = Bv_{in0} + R_1 i_{c0} \end{cases}$$

Resistance across C  
when  $v_{out}=0$

$$\begin{cases} v_{in0} = -\frac{R_m}{A} i_{c0} \\ v_{c0} = \left( R_1 - \frac{BR_m}{A} \right) i_{c0} \\ = \frac{v_{c0}}{i_{c0}} \quad \text{quando l'output è } \emptyset \end{cases}$$

è la propria  $V_{in}$  da dar l'output a Ø.  
Inoltre è la guista  $i_C$  per dare output a Ø.

$$v_{out} = Av_{in} \frac{1 + sCR_{0C}}{1 + sCR_C}$$

DC gain

Resistance across C  
when  $v_{out}=0$

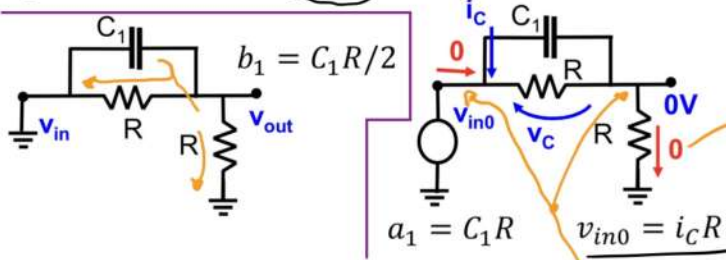
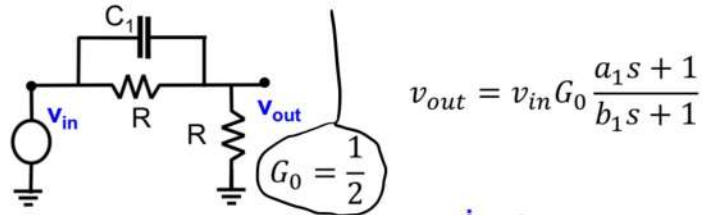
Resistance across C  
with  $v_{in}=0$

Attention de l'input è zéro!!

Ora vediamo la resistenza ai  
capi di C quando l'output è a zero.

Per calcolare il DC gain noi sappiamo i condensatori e calcoliamo il guadagno.

Esempio: DC gain



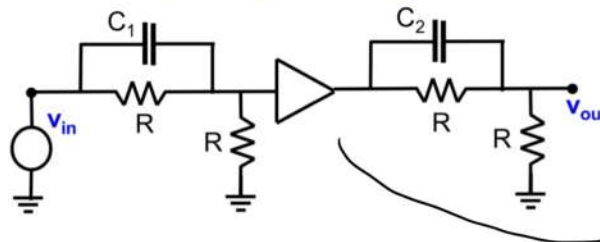
$$a_1 = C_1 R$$

$$v_{in0} = i_C R$$

Non puo scorrere corrente perché att è zero  
e dato che qui ha scorrere corrente tra le scorrere  
neanche qua

dobbiamo anche trovare il valore  
esatto di  $v_{in0}$  per avere  $v_{out} = 0$ .  
dobbiamo calcolarlo.

Cosa succede quando passiamo al secondo ordine?



Buffer che separa i 2 circuiti.

$$T(s) = \frac{1}{4} \cdot \frac{1 + sC_1R}{1 + sC_1R/2} \cdot \frac{1 + sC_2R}{1 + sC_2R/2}$$

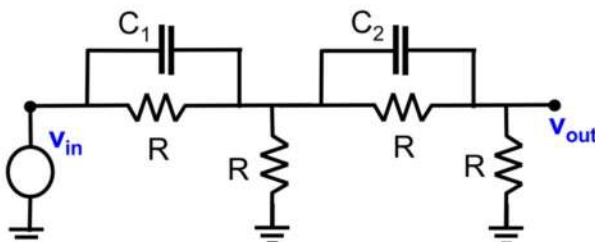
$\frac{1}{2} \cdot \frac{1}{2}$  moltiplicazione tra i 2 DC gain

possiamo espandere  $T(s)$ , allora:

$$T(s) = \frac{1}{4} \cdot \frac{1 + sC_1R}{1 + sC_1R/2} \cdot \frac{1 + sC_2R}{1 + sC_2R/2}$$

$$T(s) = \frac{1}{4} \cdot \frac{s^2 C_1 C_2 R^2 + s(C_1 R + C_2 R) + 1}{sC_1 C_2 R^2/4 + s(C_1 R/2 + C_2 R/2) + 1}$$

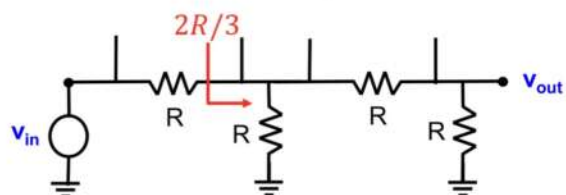
E se togliessimo il buffer? Disastro!



$$T(s) = G_0 \cdot \frac{s^2 C_1 C_2 \alpha_{12} + s(C_1 \alpha_1 + C_2 \alpha_2) + 1}{s^2 C_1 C_2 \beta_{12} + s(C_1 \beta_1 + C_2 \beta_2) + 1}$$

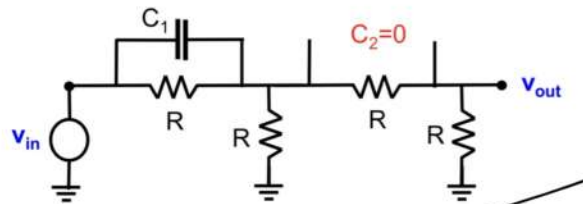
Quello che cambia sono i coefficienti resistivi.

Perturbazione del DC gain



$$G_0 = \frac{2}{5} \cdot \frac{1}{2} = \frac{1}{5}$$

Passiamo poi a calcolare la FDT della rete di primo ordine da abbiamo

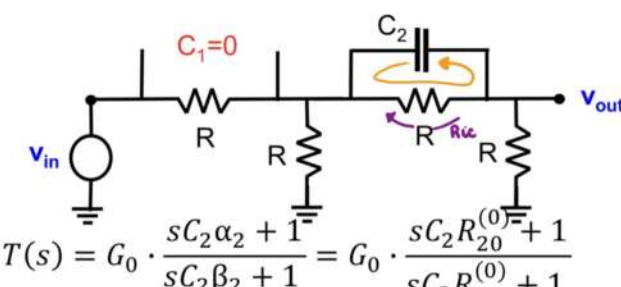


$$T(s) = G_0 \cdot \frac{sC_1\alpha_1 + 1}{sC_1\beta_1 + 1} = G_0 \cdot \frac{sC_1R_{10}^{(0)} + 1}{sC_1R_1^{(0)} + 1}$$

$$\alpha_1 = R_{01}^{(0)} \quad \beta_1 = R_1^{(0)}$$

e facciamo uguali con C\_2

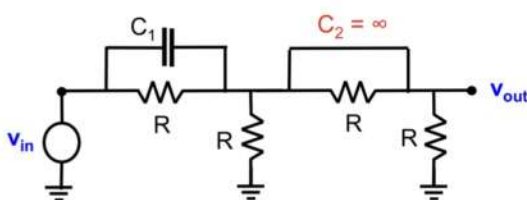
Resistenza con  $v_{out} = 0$  e  $C_2 = \infty$  (nel senso totale)



$$T(s) = G_0 \cdot \frac{sC_2\alpha_2 + 1}{sC_2\beta_2 + 1} = G_0 \cdot \frac{sC_2R_{20}^{(0)} + 1}{sC_2R_2^{(0)} + 1}$$

$$\alpha_2 = R_{02}^{(0)} \quad \beta_2 = R_2^{(0)}$$

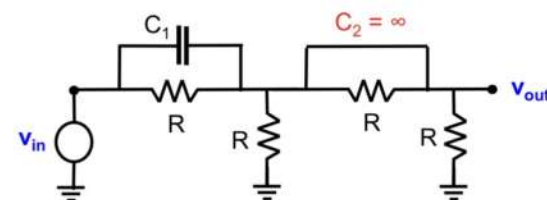
Assumiamo ora un ulteriore caso d'imitazione, calcoliamo i coefficienti



$$T(s) = G_0 \frac{s^2C_1C_2\alpha_{12} + s(C_1\alpha_1 + C_2\alpha_2) + 1}{sC_1C_2\beta_{12} + s(C_1\beta_1 + C_2\beta_2) + 1} \rightarrow G_0 \frac{s^2C_1C_2\alpha_{12} + sC_2\alpha_2}{sC_1C_2\beta_{12} + sC_2\beta_2 + 1}$$

$$\rightarrow G_0 \frac{sC_1\alpha_{12}/\alpha_2 + 1}{sC_1\beta_{12}/\beta_2 + 1} \quad \frac{\alpha_{12}}{\alpha_2} = R_{01}^{(2)} \quad \alpha_{12} = R_{01}^{(2)}R_{02}^{(0)}$$

Con questa discussione abbiamo trovato solo i coefficienti al numeratore, ci mancano i beta al denominatore

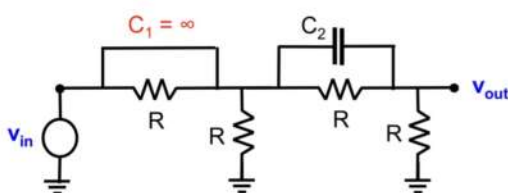


$$T(s) = G_0 \frac{s^2C_1C_2\alpha_{12} + s(C_1\alpha_1 + C_2\alpha_2) + 1}{sC_1C_2\beta_{12} + s(C_1\beta_1 + C_2\beta_2) + 1} \rightarrow G_0 \frac{s^2C_1C_2\alpha_{12} + sC_2\alpha_2}{sC_1C_2\beta_{12} + sC_2\beta_2 + 1}$$

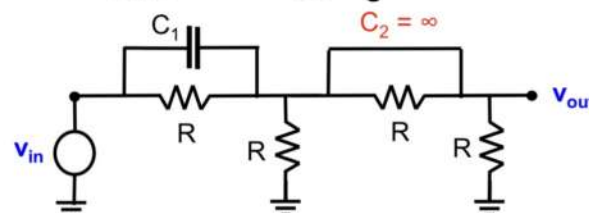
$$\rightarrow G_0 \frac{sC_1\alpha_{12}/\alpha_2 + 1}{sC_1\beta_{12}/\beta_2 + 1} \quad \frac{\beta_{12}}{\beta_2} = R_1^{(2)} \quad \beta_{12} = R_1^{(2)}R_2^{(0)}$$

Così riceviamo anche i coefficienti del denominatore

Esempio delle resistenze viste dai vari condensatori con gli altri in corto.



$$R_2^{(1)} = \frac{R}{2} \quad R_{20}^{(1)} = R$$



$$R_1^{(2)} = \frac{R}{3} \quad R_{10}^{(2)} = R$$

quando sbilamo il coefficiente di  $s^2$

$$T(s) = G_0 \frac{s^2C_1C_2R_{02}^{(0)}R_{01}^{(2)} + s(C_1R_{01}^{(0)} + C_2R_{02}^{(0)}) + 1}{sC_1C_2R_2^{(0)}R_{10}^{(2)} + s(C_1R_1^{(0)} + C_2R_2^{(0)}) + 1}$$

potrebbe cambiare in realtà non cambia niente perché se ho fatto i calcoli giusti questo deve venire sempre 1.

sbilamo una sequenza  $C_1C_2R_{02}^{(0)}R_{01}^{(2)}$  tuttavia questa può cambiare se invertiamo  $C_2C_1$ .

Perché dovo vedere le resistenze di C quando

questi due venire sempre 1.

Dobbiamo usare un 2° stage per zerro + guadagno. Ma facendo così mettiamo 2 poli  $\Rightarrow$  ego sistema instabile Allora dobbiamo compensare con Miller.

Possiamo vedere il circuito così: il primo stage lo semplifichiamo con Norton.

Il DC gain è ebbestanza uno ed è

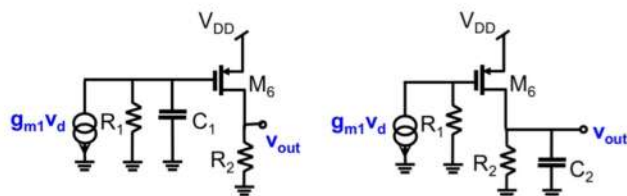
$$G(0) = g_{m1} R_1 g_{m6} R_2$$

In AC C' esistono 2 poli perché le capacità sono interagenti.

$$G_0 = g_{m1} R_1 g_{m6} R_2$$

Calcoliamo ora i coefficienti della FDT.

Primo dal denominatore e in particolare da b1



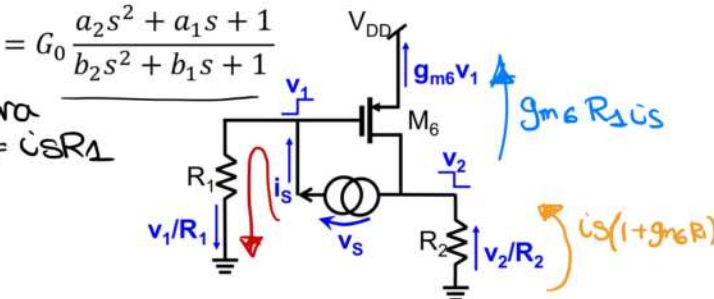
$$b_1 = C_1 R_1^{(0)} + C_2 R_2^{(0)} + C R_C^{(0)} = C_1 R_1 + C_2 R_2 + \dots$$

Devo perciò calcolare lo swing di tensione ai capi di is

$$V_S = i_S R_1 + i_S R_2 (1 + g_{m6} R_1)$$

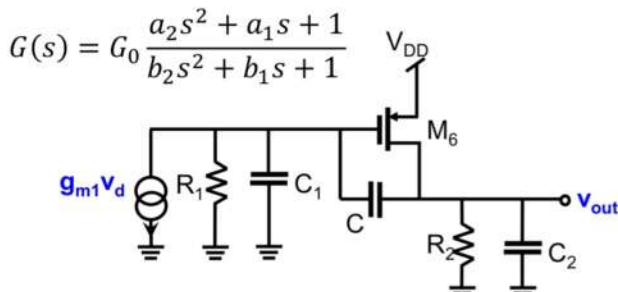
perciò

$$\frac{V_S}{i_S} = R_1 + R_2 (1 + g_{m6} R_1)$$



$$b_1 = C_1 R_1 + C_2 R_2 + C(R_1 + R_2 + g_{m6} R_1 R_2)$$

## • Calcoliamo b2)

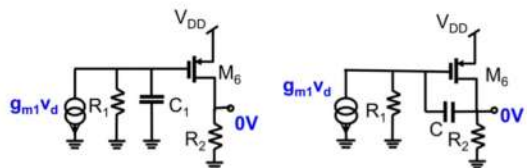


$$\begin{aligned} b_2 &= C_1 C_2 R_1^{(0)} R_2^{(1)} + C_1 C R_1^{(0)} R_C^{(1)} + C_2 C R_2^{(0)} R_C^{(2)} = \\ &= C_1 C_2 R_1 R_2 + C_1 C R_1 R_2 + C_2 C R_2 R_1 = \\ &= R_1 R_2 [C_1 C_2 + C(C_1 + C_2)] \end{aligned}$$

$R_1^{(0)}$  resistenza da C1 per tutte le capacità aperte  
 $R_2^{(1)}$  resistenza vista da C2 quando la capacità precedente (C1) è un corto e le altre 2 sono aperte  
 $R_C^{(2)}$  Resistenza vista da C quando C2 è un corto e C1 è un aperto

• Se per errore avessimo considerato 3 capacità non interagenti allora b3 c' sarebbe venuto 0 quindi nessun problema.

## • Passivo a calcolare $a_1$



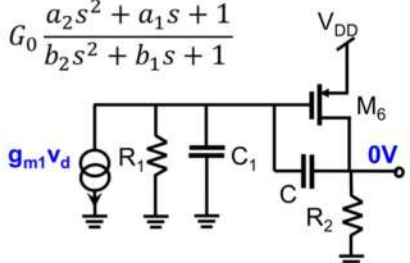
$$a_1 = C_1 R_{01}^{(0)} + C R_{0C}^{(0)} = -C_2 / g_{m6}$$

Dato che  $V_{out}$  è 0 allora la corrente su  $R_2$  è 0 e quindi la corrente di  $M_6$  è 0 e allora anche la tensione di gate di  $M_6$  è 0 perciò la resistenza vista da  $C$  è 0.

Per la resistenza ai capi di  $C$  mettiamo un gerente tensione ai capi di  $C$  e calcoliamo la corrente  $M_6$  ora una corrente  $g_{m6}v_d$  che non può scorrere su  $R_2$  ma scorre attraverso il gerente su  $R_1$ .

## • Calcolo per $a_2$

$$G(s) = G_0 \frac{a_2 s^2 + a_1 s + 1}{b_2 s^2 + b_1 s + 1}$$



$$a_2 = C_1 C R_{01}^{(0)} R_{0C}^{(1)} = 0$$

Abbiamo già visto che  $R_{01}^{(0)}$  è 0 ma **ATTENZIONE!**  
DOBBIANO SEMPRE CALCOLARE TUTTO PERCHÉ CI POTREBBE VENIRE  $\infty$  CHE È INDEFINITA.  
IN QUEI CASI DOBBIANO CAMBIARE L'ORDINE E PRENDERE QUELLO CHE NON DA INFINTO

Perciò ottieniamo de l'intera FDT è:

$$G_0 \frac{1 - s C / g_{m6}}{s^2 R_1 R_2 [C_1 C_2 + C(C_1 + C_2)] + s[C_1 R_1 + C_2 R_2 + C(R_1 + R_2 + g_{m6} R_1 R_2)] + 1}$$

Iniziamo calcolando i poli

Supponiamo  $f$  piccole perciò  $s$  è piccolo e quindi  $s^2$  è trascurabile e così calcoliamo  $f_L$

$$b_1 s^2 + b_1 s + 1 = 0$$

$$s^2 R_1 R_2 [C_1 C_2 + C(C_1 + C_2)] + s[C_1 R_1 + C_2 R_2 + C(R_1 + R_2 + g_{m6} R_1 R_2)] + 1$$

$$f_L \approx \frac{1}{2\pi b_1} = \frac{1}{2\pi [C_1 R_1 + C_2 R_2 + C(R_1 + R_2 + g_{m6} R_1 R_2)]} \quad \boxed{\frac{1}{2\pi [g_{m6} R_1 R_2 C]}}$$

$$f_H \approx \frac{b_1}{2\pi b_2} = \frac{[C_1 R_1 + C_2 R_2 + C(R_1 + R_2 + g_{m6} R_1 R_2)]}{2\pi R_1 R_2 [C_1 C_2 + C(C_1 + C_2)]}$$

$$\rightarrow \frac{g_{m6} R_1 R_2 C}{2\pi R_1 R_2 C (C_1 + C_2)} = \boxed{\frac{g_{m6}}{2\pi (C_1 + C_2)}}$$

$$2\pi f = -\frac{1}{b_1} \quad \text{zero sinistro!}$$

Ci aspettiamo questo termine dominante perché  $g_{m6} R_2$  è il gerente dello stage che è muto alto

Anche qui ci aspettiamo questo termine dominante.

Supponiamo  $C \gg C_1, C_2$  allora questo secondo termine diventa dominante.

Per  $f_H$  noi supponiamo che  $s$  è grande,  $s^2$  è ancora più grande e quindi 1 è trascurabile.

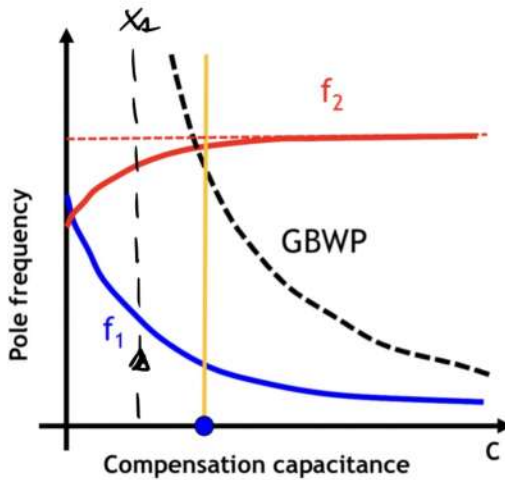
Rispetto al caso senza  $C$  notiamo che abbiamo il pole splitting, noi vogliamo mettere  $f_H$  dopo il GBWP. Perciò prima di calcolare  $C$  dobbiamo sapere il GBWP.

Noi supponiamo  $G(0)$  è il polo a  $f_L$ , se facciamo il prodotto tra i 2 ci viene che

$$\text{GBWP} = \frac{g_{m1}}{2\pi C}$$

Varia iperbolicamente in funzione di  $C$ .

Perciò che  $C$  dobbiamo sceglierlo?



Dobbiamo considerare questo grafico.  
Notiamo che  $X_s$  non va bene perché prendo  $f_1$ , perciò  $f_2$  è dopo il GBWP quindi sono instabili.  
La situazione top è quella della linea grigia dove ho il max GBWP con un margine di fase di  $45^\circ$ .

Perciò possiamo dire che

$$f_H = \text{GBWP}$$

quindi

$$C = \frac{g_{m1}}{g_{m6}} (C_1 + C_2)$$

MA ATTENZIONE, C'È ANCHE UNO ZERO!

Seppiamo che

$$f_Z = \frac{g_{m6}}{2\pi C}$$

Potremo pensare di porre  $f_Z$  alla GBWP perciò  $f_Z = \text{GBWP}$

$$\frac{g_{m6}}{2\pi C} = \frac{g_{m1}}{2\pi C} \quad \text{allora } g_{m6} = g_{m1}$$

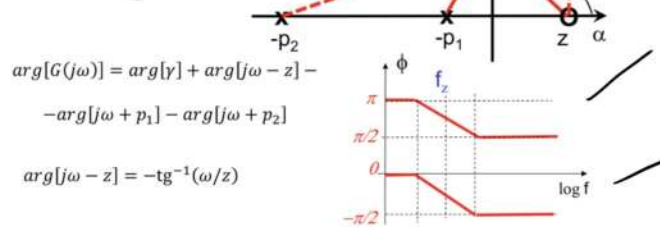
(nel nostro caso per calcolo è così)

Ma vediamo questo è uno zero sinistro!

e uno zero sinistro non dà un margine di  $+90^\circ$ . NOT ET AL, dà invece uno calo di fase fino a  $-90^\circ$

$$G(s) = G_0 \frac{1 - sC/g_{m6}}{b_2 s^2 + b_1 s + 1} = \gamma \frac{(s - z)}{(s + p_1)(s + p_2)}$$

$$\gamma = -G_0 \frac{p_1 p_2}{z}$$



Ricorda Bode

Zero zero destro (cavizzo perciò  $-1 + 90^\circ$ )

Zero zero sinistro (cavizzo perciò  $1 - 90^\circ$ )

Quindi questo zero c'è solo peggio, infatti ho  $0^\circ$  di margine di fase con lo zero sul GBWP. Non è accettabile.

Dobbiamo spostare in alto in frequenza il polo e lo zero.

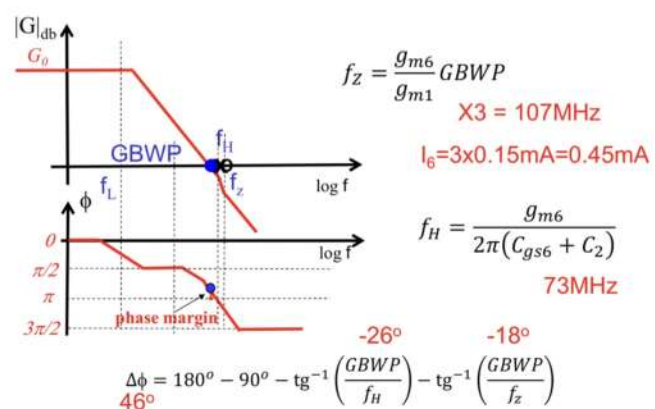
Seppiamo che lo zero dipende da  $g_{m6}$ . Allora possiamo usare la corrente del secondo stage allora  $g_m$  aumenta a  $f_Z$  va in su in frequenza.

Proviamo a usare il triplo della corrente nel secondo stage.

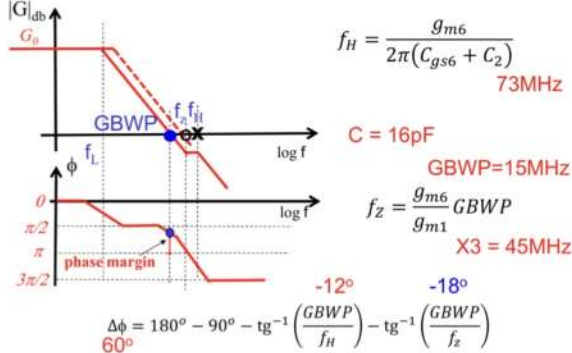
Anche il 2° polo dipende da  $g_{m6}$  ma il 2° polo dipende anche da  $C_S$  che è la Cas di  $M_6$ , allora anche la corrente aumenta in più.

Perciò il 2° polo non cresce di un fattore 3 ma un po' meno.

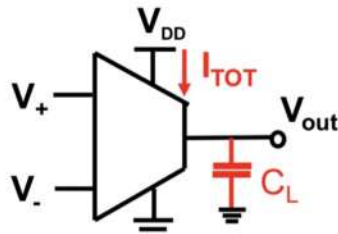
Come possiamo vedere entendo la corrente del 2° stage per 3 abbiamo guadagnato un margine di fase di  $46^\circ$ , buono ma non abbastanza.



Dovendo avere più f<sub>m</sub>, potremo zutte le + la conrete o variare la capacità C (aumentarla)



Possiamo definire il coefficiente fattore di merito come:

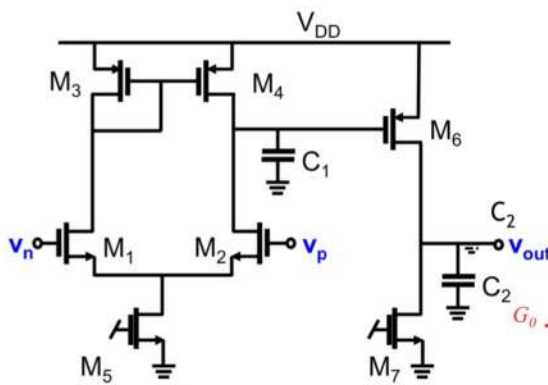


$$FoM = \frac{GBWP \cdot C_L}{I_{TOT}}$$

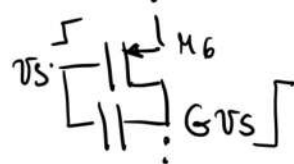
Maggiore è FOM migliore è il circuito.

12-10-2021

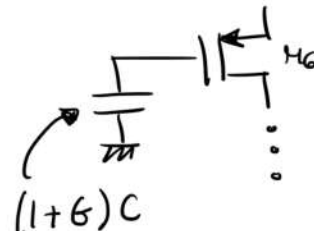
2h



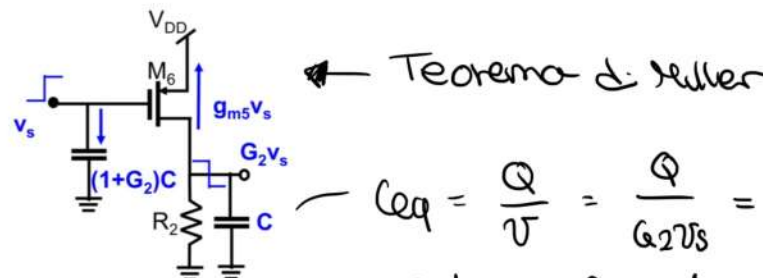
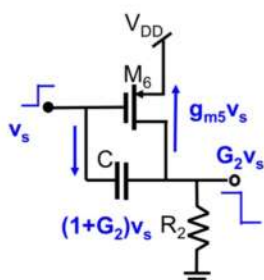
Miller aveva capito che dovevo spostare in basso uno dei 2 poli per avere stabilità. C<sub>2</sub> è praticamente la perdita del load e quindi posso farci tanto. Al contrario per abbassare l'altro polo posso zutte T1 e quindi C<sub>1</sub>. Ma C<sub>1</sub> sarebbe troppo grande da mettere G ma noi possiamo mettere un C tra gate e drain delle due sive capi zero.



Allora posso vedere la capacità core



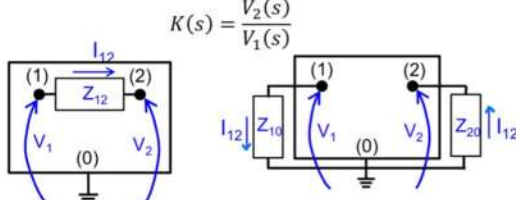
quindi è core se avessi amplificato la capacità.



$$C_{eq} = \frac{Q}{V} = \frac{Q}{G_2 v_s} = \frac{C(1+G_2)v_s}{G_2 v_s}$$

Dato che G<sub>2</sub> >> 1 allora

$$C_{eq} \approx C$$



$$Z_{10} = \frac{Z_{12}}{1-K}$$

$$Z_{20} = \frac{K}{K-1} Z_{12}$$

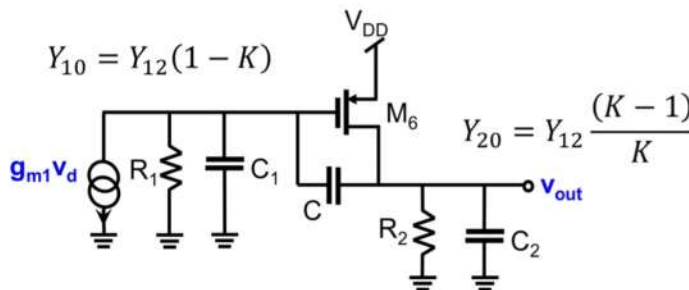
Allora due cose che

$$\frac{V_1}{Z_{10}} = \frac{V_1 - V_2}{Z_{12}} \quad \text{quindi}$$

$$Z_{10} = Z_{12} \frac{V_1}{V_1 - V_2} = Z_{12} \cdot \frac{1}{1 - \frac{V_2}{V_1}}$$

e la stessa cosa può essere scritta per  $Z_{20}$

$$\frac{V_1 - V_2}{Z_{12}} = -\frac{V_2}{Z_{20}} \rightarrow Z_{20} = -Z_{12} \frac{V_1 - V_2}{V_2} = -Z_{12} \left( \frac{1 - G}{G} \right)$$

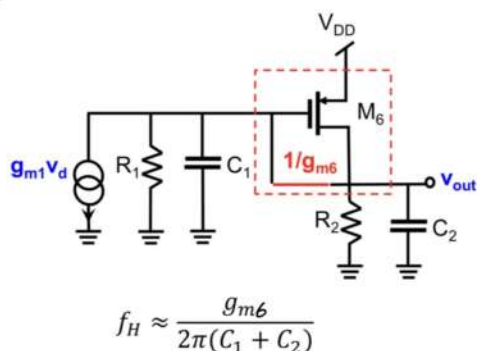


Possiamo quindi suddividere il condensatore

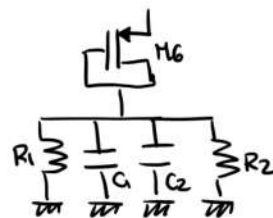
Possiamo calcolare facilmente il polo ad alta frequenza?

Noi sappiamo che per  $\omega \gg \frac{1}{RC}$  allora il condensatore è un corto

Perciò noi sappiamo che dopo il primo polo  $C$  è in corto perché ho questo circuito



non ha uno zero perché le 2 capacità sono in parallelo



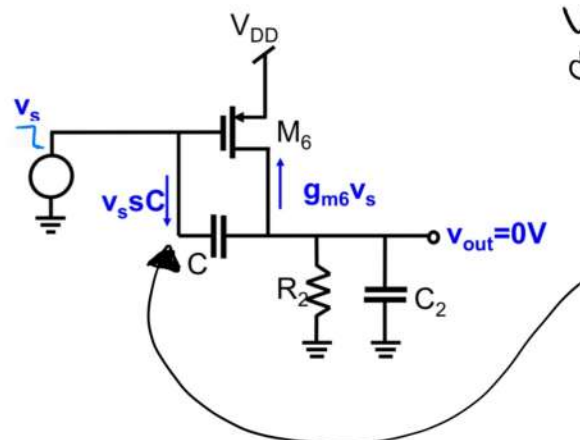
Abbiamo trovato in modo intuitivo i valori dei poli ecc...

Concordiamo con questa tecnica riducendo molto il GBWP, dobbiamo trovare in modo per levare delle palle lo zero sinistro.

Ricordiamo che la condizione di zero è

$V_{out}$  è imposto a 0, perciò tutta la corrente deve andare su M6

$$Z = \frac{g_{m6}}{C}$$

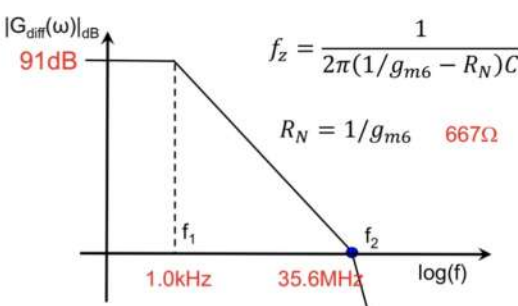


Potrei mettere qui in serie un resistore  $R_N$

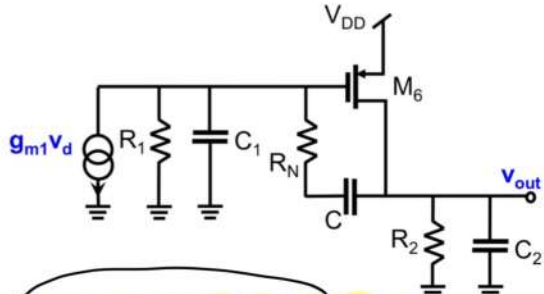
$$g_{m6} \omega_s = \frac{V_s}{R_N + \frac{1}{SC}} \rightarrow R_N + \frac{1}{SC} = \frac{1}{g_{m6}}$$

$$\text{Perciò } Z = \frac{1}{(1/g_{m6} - R_N)C}$$

mettendo la resistenza lo zero si sposta a  $\rightarrow \infty$   
Inoltre se  $R_N > 1/g_{m6}$  cambia il segno dello zero in modo che dia un contributo positivo al phase margin.



Abbiamo cambiato il GBWP a un valore + alto e guadagnato in margine di fase

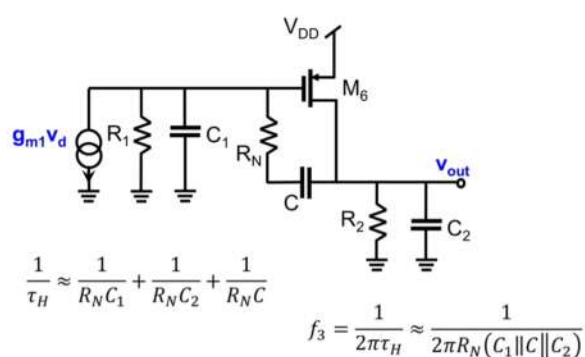


$$b_1 = R_1 C_1 + R_2 C_2 + \left( R_C^{(0)} + R_N \right)$$

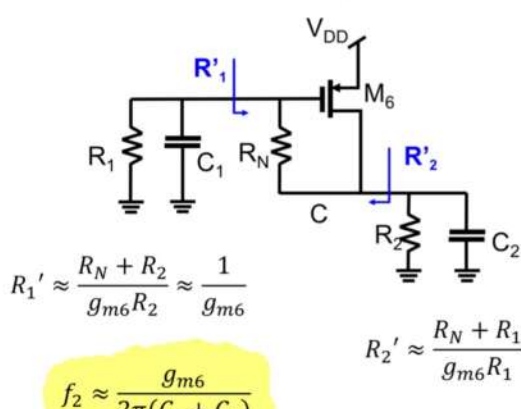
$$(R_1 + R_2 + g_{m6} R_1 R_2 + R_N)$$

resistenza vista da C senza  $R_N$

### • Calcolo polo dominante $b_3$



### • Calcolo polo all'intermedio



Addesso abbiamo 3 poli visto che le 3 condensatori non sono più dipendenti

Calcoliamo il polo dominante

$$s^3 b_3 + b_2 s^2 + b_1 s + 1$$

Questo è il polo dominante perché per  $s$  piccoli  $s^2$  e  $s^3$  sono ancora  $\ll$  piccoli

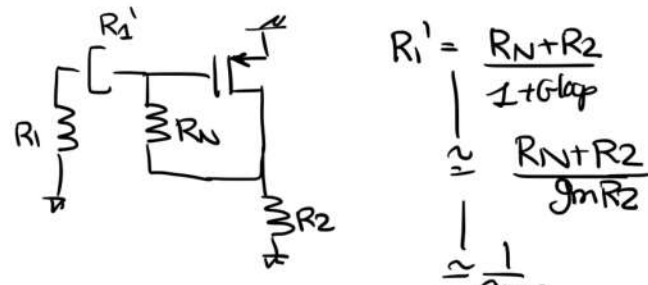
Vediamo che questo termine ha una venzione grande del valore rispetto a prima, visto che  $g_{m6} R_2$  è decisamente dominante.

Il polo ad alta frequenza è  $\omega_H = -\frac{b_2}{b_3}$

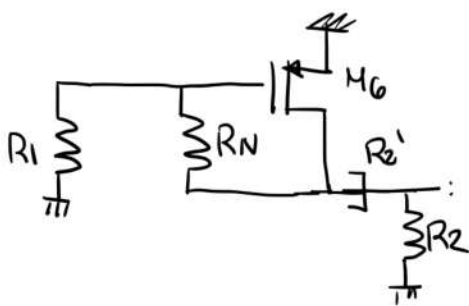
Potremmo considerare solo  $b_3 s^3 + b_2 s^2$  del polinomio. Per calcolare il polo ad alta frequenza sommiamo l'1/4 di ogni condensatore quando gli altri sono in corto.

Intuizione fisica, cioè consideriamo che C sia in corto perché stiamo lavorando a una frequenza maggiore del primo polo che è dato da C. Per calcolare il polo usiamo il metodo delle costanti di tempo

> Resistenza vista da  $C_2$  con  $C_1$  aperto



> Resistenza vista da  $C_1$  quando  $C_2$  è aperto



ho sempre un loop perciò  $R_2'$  è

$$R_2' = \frac{R_N + R_1}{1 + G_{loop}} \leftarrow \text{Cold resistance}$$

$$\approx \frac{R_N + R_1}{g_m R_1} \approx \frac{1}{g_m}$$

$$\text{Perciò } f = \frac{1}{2\pi \left( \frac{g_m}{g_{m6}} + C_2 \right)}$$

Perciò posso sapere che 2nde il 2° polo non cambia molto rispetto al caso standard.

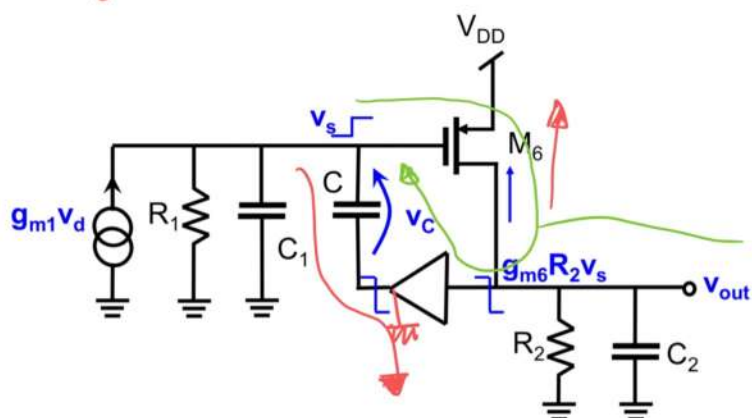
Quindi solo mettendo questo resistore abbiamo risolto il problema di  $C_m$  e non abbiamo nemmeno dovuto aumentare la corrente del secondo stadio.

### Altre metodologie di compensazione:

Dobbiamo killare lo zero e lo zero è dato dal bilanciamento tra la corrente che passa per  $C$  e  $M_6$ .

Possiamo killare questa balanza?

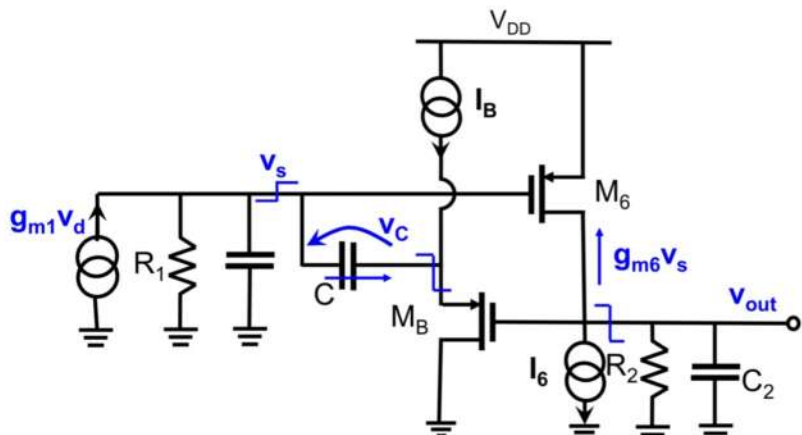
### Voltage buffer



Il buffer serve per tenere l'effetto di Miller buio, cioè per vedere la capacità  $C$  più grande, se mettiamo il buffer abbiamo da questa cosa è realizzata correttamente.

Giro della tensione per l'effetto di Miller per far sì di vedere  $C$  più grande.

Un buffer non è altro che un follower, perciò:



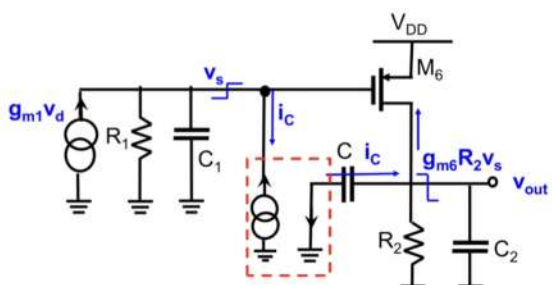
metto  $v_s$  quindi la tensione sul drain di  $M_6$  diminuisce se diminuisce dove sono le correnti su  $C$  e quindi scende corrente su  $M_B$

Abbiamo ancora l'effetto di Miller perché la corrente associata all'input è

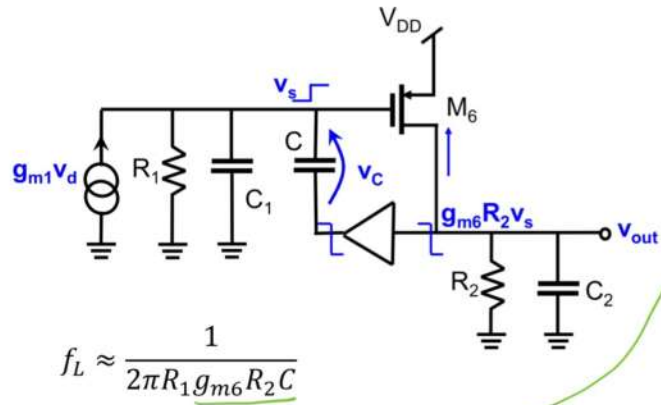
$sCR_2g_{m6}v_s$  ho un guadagno rispetto a  $sR_2g_{m6}v_s$  ed aveva solo il condensatore

Killiamo però la corrente bilancio perché la corrente che entra da  $M_6$  non può tornare all'ingresso perché se voglio  $V_{in} = 0$  allora darei duezze di impedimento - zero, impossibile (quasi non ho lo zero)

Qui si vede bene che se  $V_{in} = 0$  su  $C$  non può passare corrente



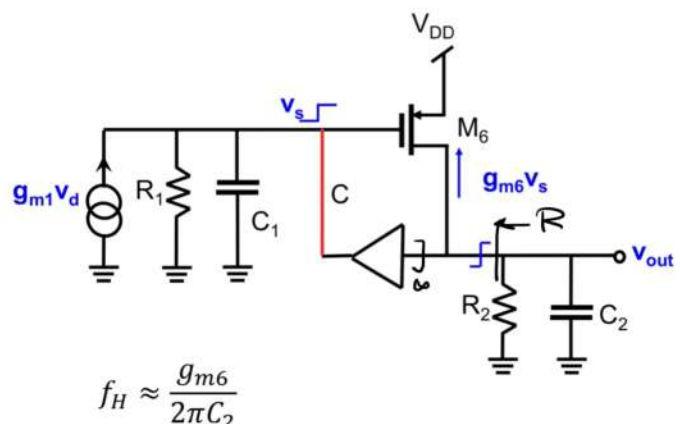
Siamo adesso bene il Voltage buffer supponendo il buffer ideale



$$f_L \approx \frac{1}{2\pi R_1 g_{m6} R_2 C}$$

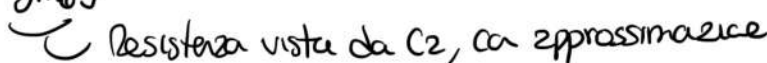
Non è altro che la capacità equivalente vista all'input, e per questa capacità vede solo R\_2.

Se il buffer è ideale abbiamo solo 2 poli

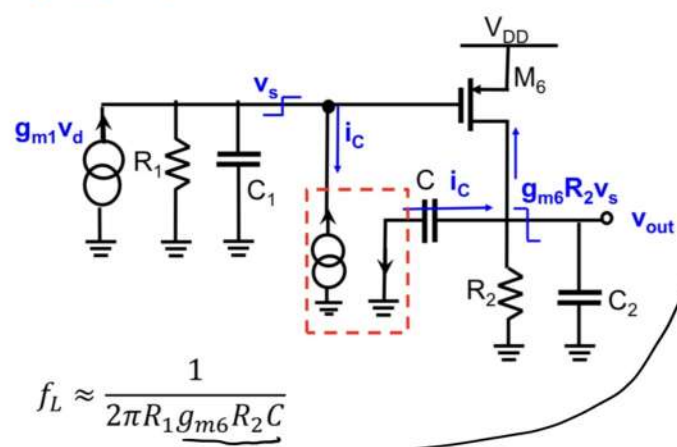


$$f_H \approx \frac{g_{m6}}{2\pi C_2}$$

Il 2° polo dipende dalla capacità di load



## Current buffer

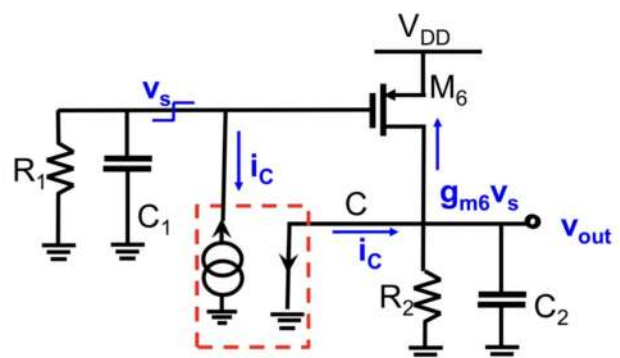


resistenza vista da C\_2 è  $\emptyset$  mentre quella da C\_1 è  $\frac{1}{g_m}$ .

Abbiamo un vantaggio rispetto a prima infatti il polo non dipende più della capacità del load ma solo da C\_1.

c'è sempre la capacità C vista all'input, per questa capacità vede solo la resistenza R\_1.

Per il polo ad ultra frequenza invece come al solito consideriamo C in corto

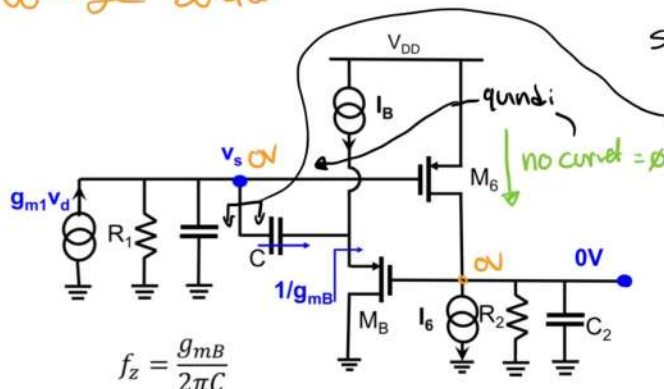


$$f_H \approx \frac{g_{m6}}{2\pi C_1}$$

Rispetto al caso del nulling resistor regli elettrici mettiamo + transistor e quindi aumentiamo la potenza dissipata.

Consideriamo poli e zero nella rete di implementazione

### Voltage Buffer



Si potrebbe usare il metodo delle costanti di tempo

Quando ho l'autozero e quindi anche l'invert è a 0 ho che vedo un'impedenza data da  $C$  e  $g_{mB}$   
allora ho uno zero o

$$\omega_2 = \frac{1}{C g_{mB}}$$

c'è uno zero negativo  
deve essere il margine di fase

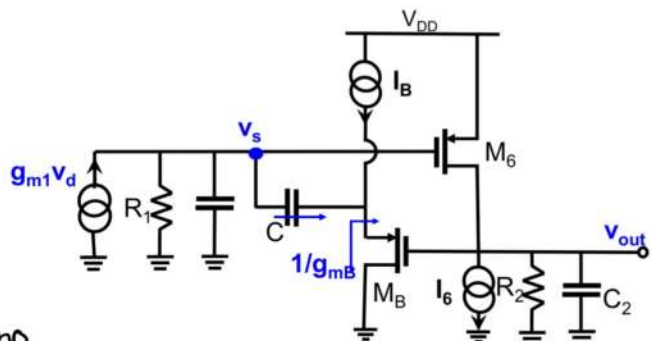
$$f_2 = \frac{g_{mB}}{2\pi C}$$

c'è per il resto della FDT?

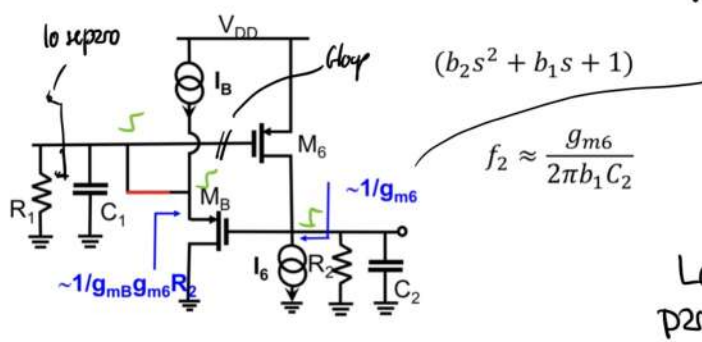
Raccolgiamo il polo dominante che è quello dato da  $C$

$$P_1 = -\frac{1}{R_1 C g_{m6} R_2}$$

Visto che andiamo a  $f > f_{P1}$  allora consideriamo  $C$  come in corto, mi aspetto 2 poli  
e usiamo il metodo delle costanti di tempo.



$$G = G_0 \frac{sC/g_{mB} + 1}{(s/p_1 + 1)(b_2 s^2 + b_1 s + 1)}$$



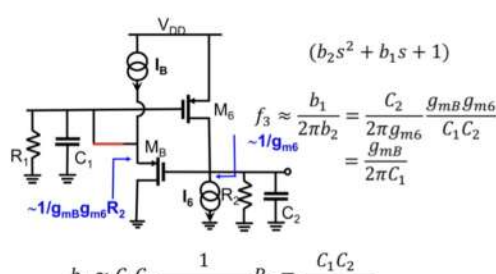
La resistenza vista da qui sarà  $g_{m6}$  perché ho  $\frac{V}{Vg_{m6}} = \frac{1}{g_{m6}}$

La resistenza vista da  $C_1$  è invece  $R_1$  in parallelo con la resistenza del loop.  
La cold resistance è  $g_{mB}$  mentre il Gloop è il Gloop è  $g_{m6}R_2$ , perché la resistenza vista da  $C_1$  è

$$R_1 // \frac{1}{g_{m6} R_2}$$

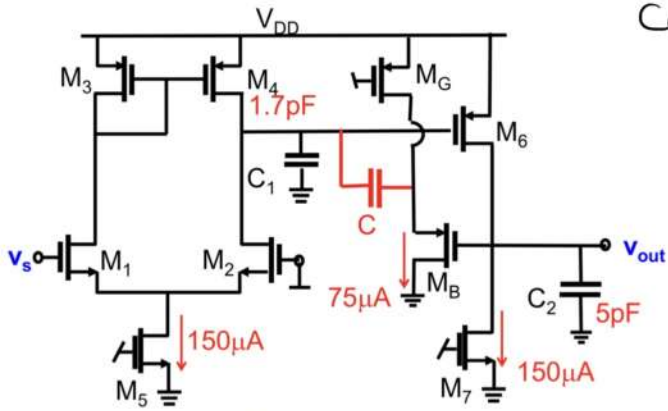
Possiamo più approssimare dicendo che  $b_1 \approx \frac{C_2}{g_{m6}}$  perché questo termine è il dominante

Calcoliamo adesso il valore di  $b_2$

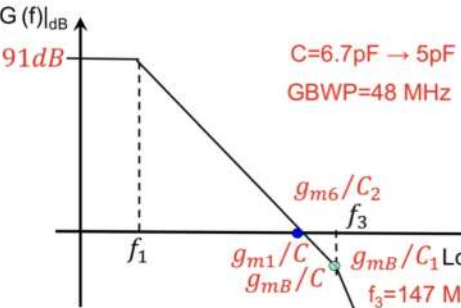


Quiabbiamo gli altri condensatori in corto.  
e calcoliamo le costanti di tempo.

$$b_2 \approx C_1 C_2 \frac{1}{g_{mB} g_{m6} R_2} R_2 = \frac{C_1 C_2}{g_{mB} g_{m6}}$$



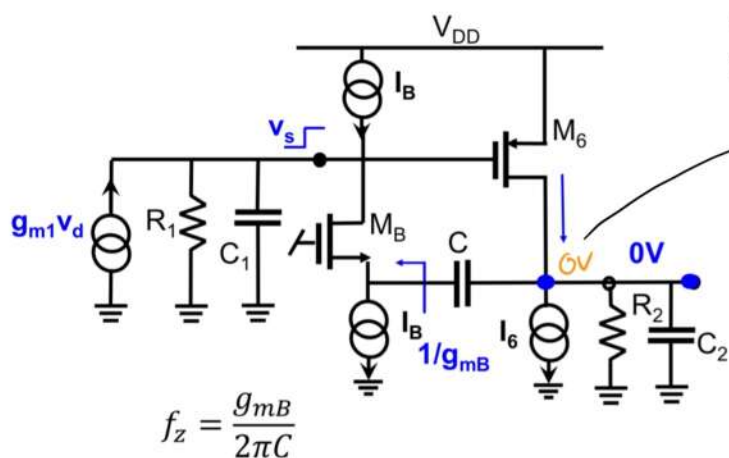
Con questa configurazione e bias  $g_{mb} = g_{mi}$



$f_m \approx 75^\circ$   
reatto buono

Abbiamo un po' più  
di consumo rispetto  
a prima.

### • Current Buffer



Abbiamo 3 poli perché c'è uno 3  
condensatori indipendenti e C non vede più  
impedenza infinita.

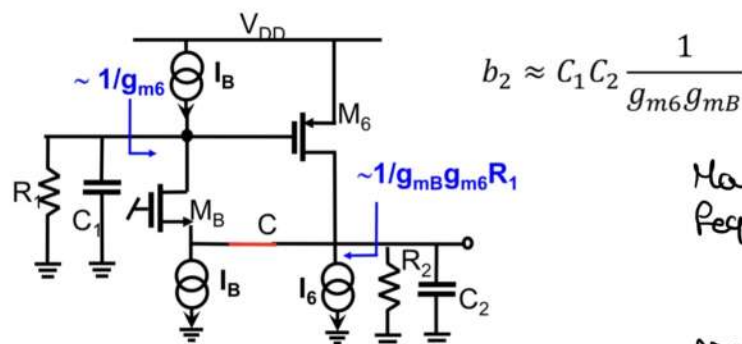
Perché questo sia  $\phi$  e perché c'è sia corrente  
su M6 allora devo fare in modo che l'impedenza sotto  
V<sub>dd</sub> sia zero ma non zero.

$$\text{Lo zero è } f_z = \frac{g_{mB}}{2\pi C} \quad \text{zero negativo OK per } f_m$$

Per i poli è la stessa storia di prima

In questo caso come sempre i condensatori sono  
degli spari

Per il polo ad alta frequenza abbiamo invece



$$b_2 \approx C_1 C_2 \frac{1}{g_{m6} g_{mB}}$$

$$f_3 \approx \frac{b_1}{2\pi b_2} = \frac{C_1}{2\pi g_{mB}} \frac{g_{mB} g_{m6}}{C_1 C_2} = \frac{g_{mB}}{2\pi C_2}$$

Ma  $f_2$  che è supposto essere quello a bassa  
freq è a

$$f_2 = \frac{g_{mB}}{2\pi C_1} \approx 1.7 \text{ pF}$$

Mentre  $f_3$  che dovrebbe essere quello ad alta freq  
è a

$$f_3 = \frac{g_{mB}}{2\pi C_2} \quad \text{Dovrebbe essere } = g_{m6}$$

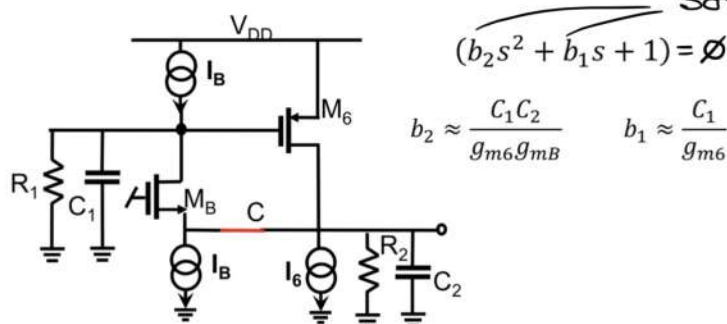
e quindi mi viene più piccolo! Come è possibile? Significa che c'è qualcosa che  
non va, la teoria non va bene.

L'approssimazione che facciamo per dire che  $b_2 s^2 + b_1 s + 1$  per dire che

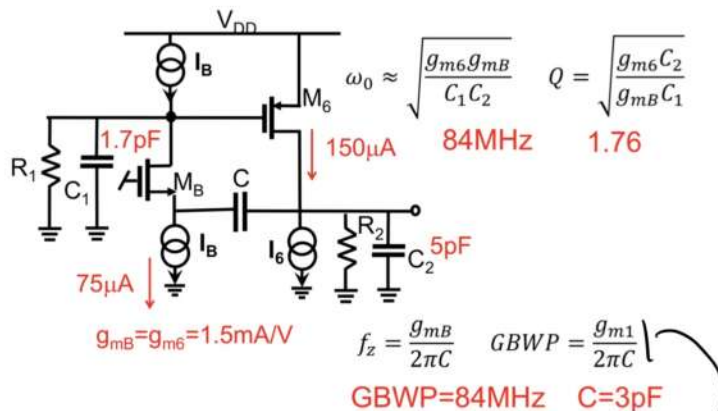
$$f_1 = -\frac{1}{b_2} \quad \text{e} \quad f_2 = -\frac{b_1}{b_2} \quad (\text{credo})$$

Questo non vale più perché  $f_1$  e  $f_2$  non sono  
molto lontani (almeno una decade)

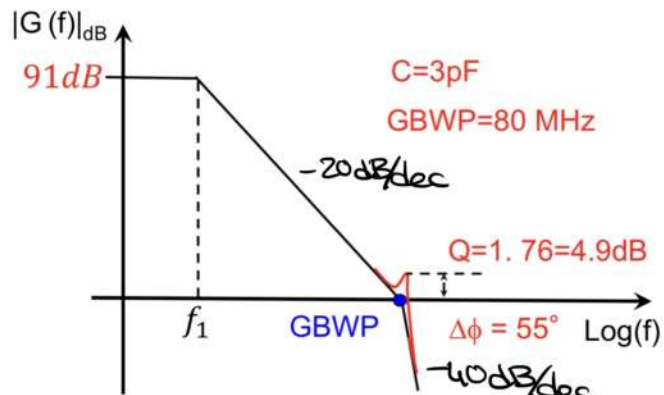
Per cui dobbiamo risolvere l'integrale eq d: 2° grado



$$(s^2/\omega_0^2 + s/\omega_0 Q + 1) = \emptyset \quad \omega_0 \approx \sqrt{\frac{g_{m6}g_{mB}}{C_1C_2}} \quad Q = \sqrt{\frac{g_{m6}C_2}{g_{mB}C_1}}$$

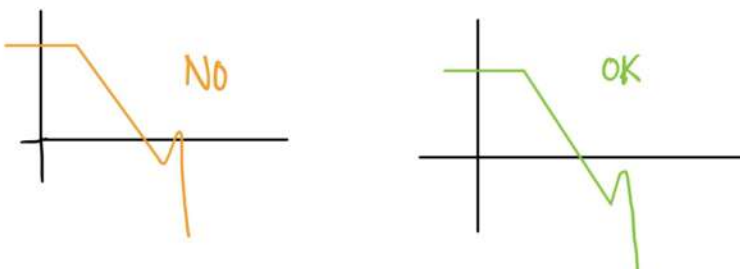


Sono quelli calcolati prima  
Avendo dei complessi e coniugati  
calcoliamo la retezza e il  
fattore di merito da cui da il  
veloce overshoot

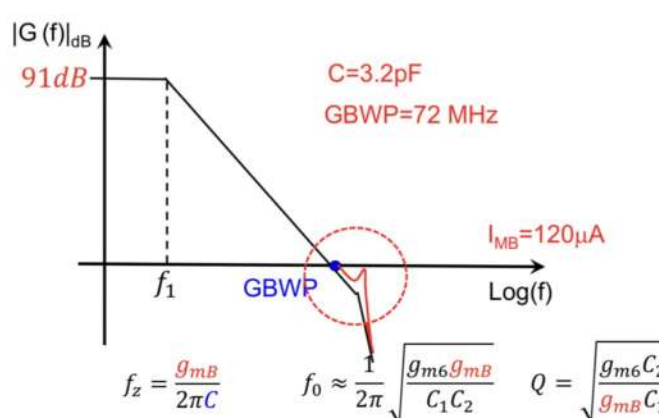


Impostiamo che il GBWP sia alla stessa retezza dei 2 poli, in più sopra questi 2 poli ci metta alla stessa retezza anche lo zero.

Calcoliamo il margine di fase  $\Phi_m = 55^\circ$  ma è obbligatorio, noi tipicamente vogliamo di per avere di + spostare il picco + altre retezzie e ottenere! il picco in questo caso non deve superare l'asse seno il margine di fase va calcolato in

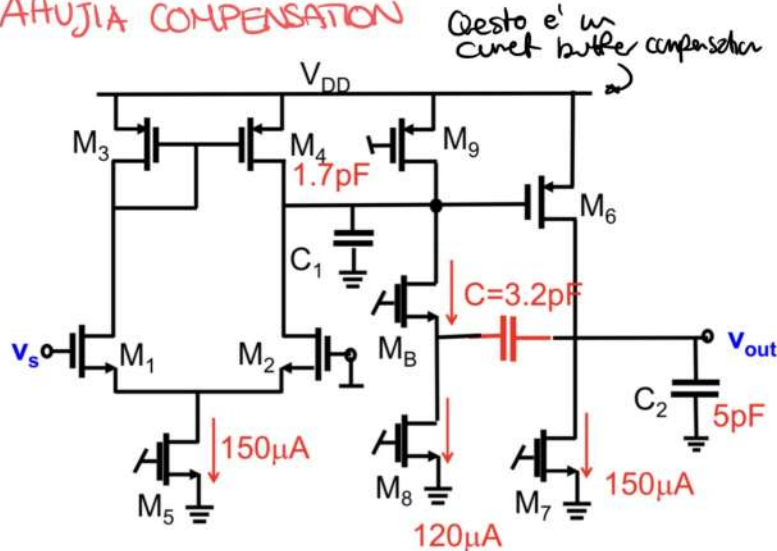


Per spostare il picco + ad altra rete  
dobbiamo ridurre la potenza sul  
buffer per ridurre  $g_{mB}$   
in questo caso otteniamo:



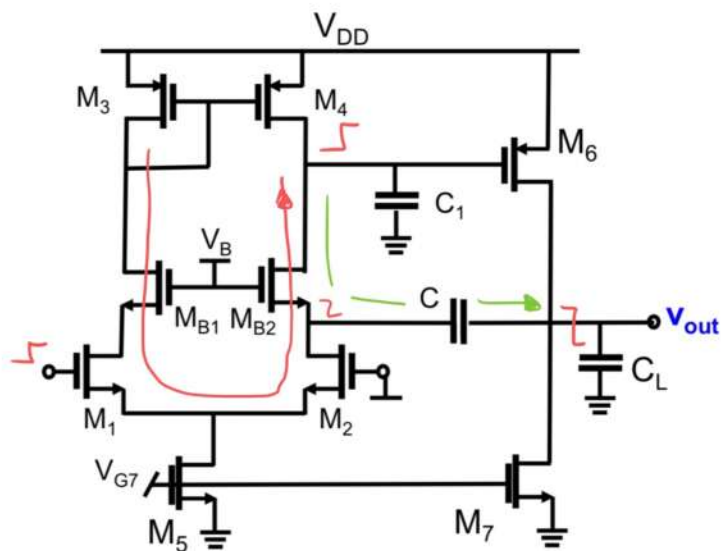
$$Q = \sqrt{\frac{g_{m6}C_2}{g_{mB}C_1}}$$

## AHTUJA COMPENSATION



Il lato negativo del current buffer e' che consenziamo corrente solo per un buffer, possiamo riuscire la corrente da scomme già nel circuito?

Se io muoessi M8 dietro la struttura differenziale non consumerei + corrente. Ottengo così un Cascaded Ahtuja.



$$G(s) = G_0 \frac{a_2 s^2 + a_1 s + 1}{b_3 s^3 + b_2 s^2 + b_1 s + 1}$$

$$G(s) = G_0 \frac{-|a_2|s^2 + |a_1|s + 1}{(1 + s/p_1)(s^2/\omega_0^2 + s/\omega_0 Q + 1)}$$

ho uno zero positivo e uno negativo

Abbiamo perso un grado di libertà perché non posso mettere il bias di M\_B2 come voglio

18.10.2021

en

Possiamo usare un solo stage e avere un gain di  $\mu^2$ ?

Noi sappiamo che il gen di uno stage e':

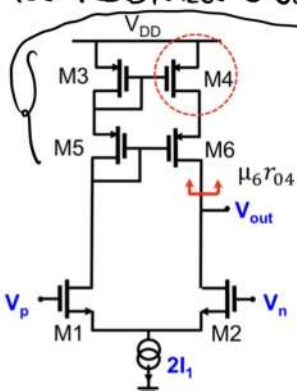
$$G_{do} \approx \frac{V_A}{V_{ov}} = V_{A,0} \cdot \frac{L}{L_0} \cdot \frac{1}{V_{ov}}$$

Potremo semplicemente aumentare L

Ma dobbiamo aumentare la L di tutti i transistor perché c'e' lo specchio ecc... ma se scalo L devo scalare W.

Ma noi sappiamo che la frequenza di taglio di questo sistema va come  $1/C$  e quindi se aumentano L allora facela di molto. Non va bene.

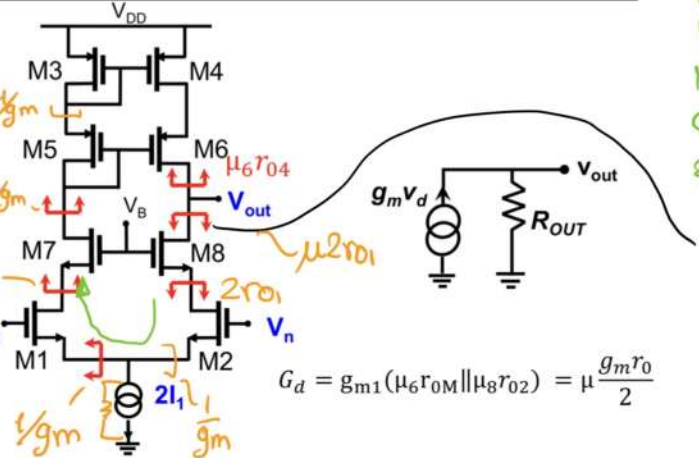
Tuttavia abbiamo alternative, possiamo usare la configurazione cascata con aumentare la resistenza d'uscita senza toccare R.



Funziona ancora come specchio perché qui vedo ancora bassa impedenza.

Ma non e' abbastanza, dobbiamo anche migliorare la resistenza nella parte bassa perché sono abbastanza scarsa ed e' troppo bassa.

Allora aggiungiamo un altro cascode



La corrente che fa così scorrere attraverso M7 perché è un common gate, per V\_B su M5, M3 che sono uno specchio, allora la corrente viene spostata su M6 che scorre attraverso M6 perché è un common gate.

È difficile da calcolare dobblizmo considerare tutte le resistenze. facendo tutto il giro antiorario partendo da M3 ottago che la resistenza è  $\mu_2 r_01$ . MA È SBAGLIATO!!!

Infatti la corrente che va in M3 e M5 viene ripartita su M5 e M6 perciò la vera resistenza vista al drain di M8

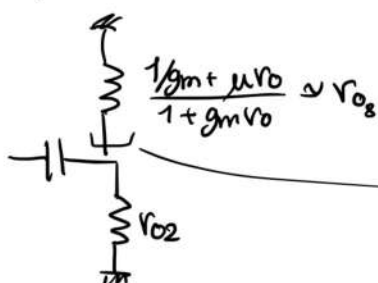
$$\frac{\mu_8 \cdot 2 \cdot r_01}{2} = \mu_8 \cdot r_01$$

La resistenza d'uscita è:  $\mu_6 r_{0M} \parallel \mu_8 r_{02}$

Nel seppremo che la risposta in freq è OK

$$f_L = \frac{1}{2\pi C_2 \mu \frac{r_0}{2}}$$

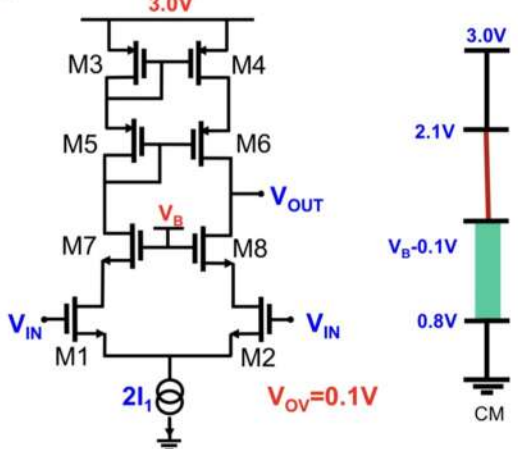
Ma dobblizmo controllare che le capacità di M6 M8 non introducano perciò una regenza. Quelli resistenze vedono la capacità di M8



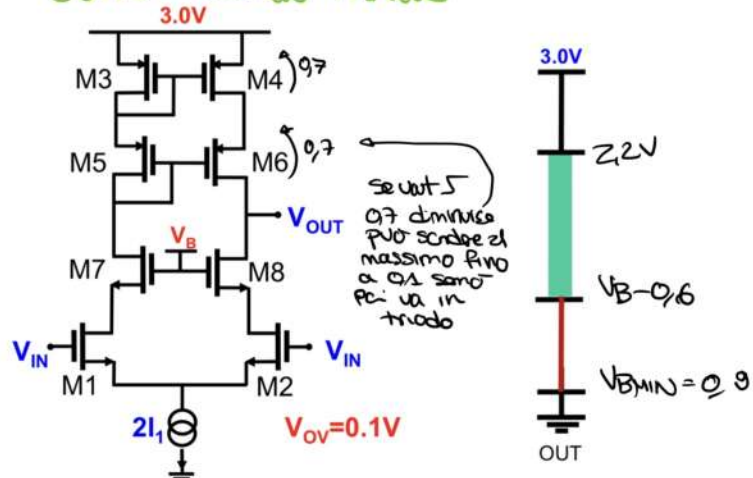
MA ATTENZIONE! QUI STIAMO PARLANDO DI POU AD ALTA FREQ QUINDI C2 RISULTA IN UN CORTO PERCIÒ NELLA REALTA' QUI VADO A gm.

Non c'è problema di bando perciò possiamo avere grandi gain senza bire Miller. Il problema di questa struttura è che no transistor uno sopra l'altro perciò dovo avere almeno 1 VDD

#### INPUT COMMON MODE VOLTAGE RANGE

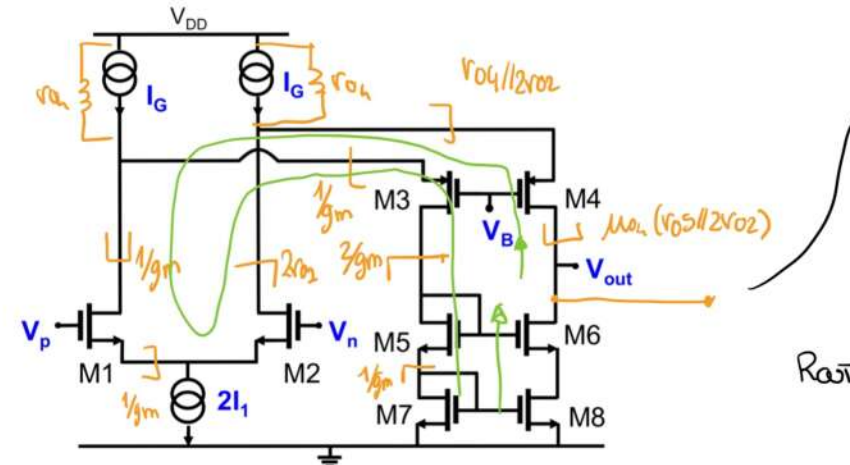


#### OUTPUT VOLTAGE RANGE



C'è un trade off se usare  $V_B$  per avere più input voltage range riduce la dinamica d'uscita.

Per evitare questa limitazione possiamo usare la struttura folded cascode.



Perciò la r<sub>out</sub> è ridotta di un fattore, ma in questo caso non c'è esponente un fattore 2.

In particolare c'è avere che

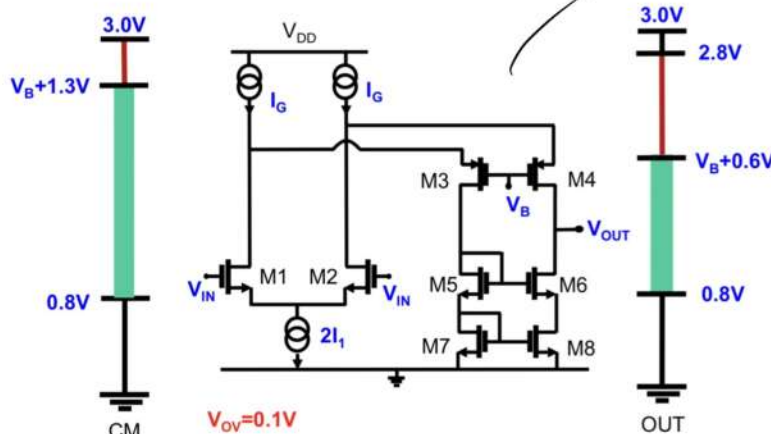
$$R_{out} = \frac{\mu (r_0 + 2r_0)}{1 + \frac{r_0}{r_0 + 2r_0}}$$

$$= \mu (r_0 / r_0) \leftarrow \text{che ottieniamo lo stesso risultato dell'esempio prima.}$$

Perciò il g<sub>m</sub> totale è:

$$G_d \approx \frac{\mu^2}{3}$$

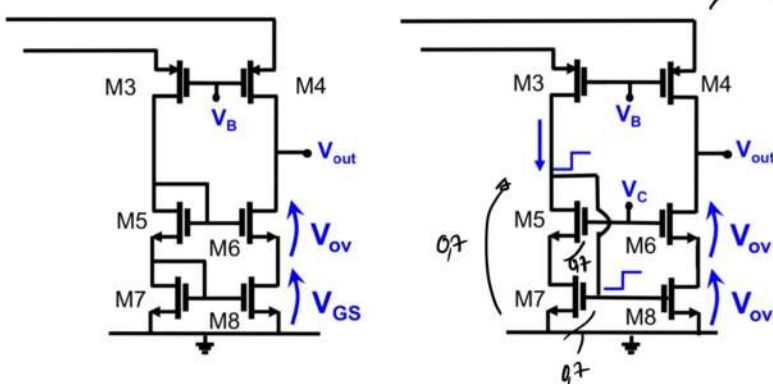
$$R_{out} = (g_m r_0^2 \| g_m r_0^2 / 2) \approx \frac{g_m r_0^2}{3}$$



Con la folded cascode possiamo avere più dinamica di tensione.

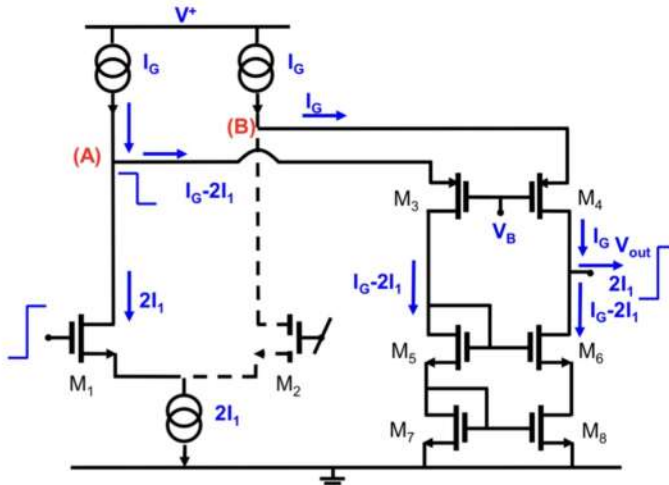
Con questa configurazione abbiamo più potenza dissipata perché dobbiamo dare il bias di 2 vedi.

## ENHANCED MIRROR STRUCTURE



In questa struttura M5 è usato come common gate visto che M5 non può essere in ON con due ore 0.7V tra source e gate se piazzato  $V_G = 0.8/0.9$  allora  $V_{DS} M7 = 0.1/0.2$  e zero di tensione tra il drain di M5 e il suo gate è  $0.1/0.2$  che è comunque OK.

Noi vogliamo guadagno grande perché vogliamo il feedback con loop gain grande.



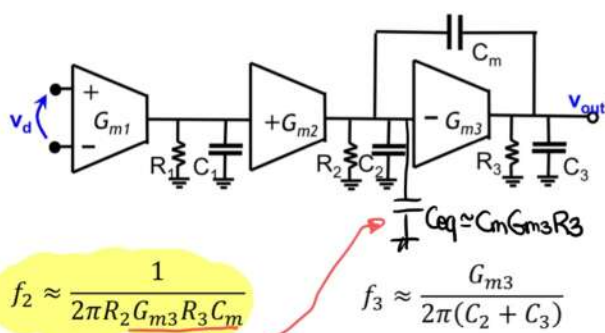
Nel caso estremo di differential voltage vogliamo che ci sia sempre corrente di corrente di corrente nella seconda parte del circuito cioè vogliamo che ci sia corrente che scorra in  $M_3$  e  $M_4$  quando siamo al limite.

Perciò la corrente deve essere doppia rispetto a quella del primo stage perché ho un consumo più potenza rispetto al cascode normale.

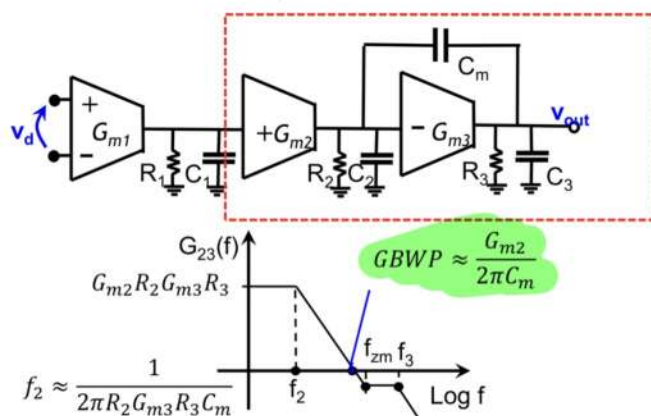
Nel mondo reale noi abbassiamo la tensione di alimentazione e diminuiamo le dimensioni dei MOS. Perciò nella realtà è difficile usare in folded cascode come circuito reale perché sono buoni piccoli voltage range.

Il problema è che scegliendo i MOS più piccole e quindi se mettiamo in serie 2 stage ottengo un guadagno di  $\mu^2$  di per sé non c'è più abbastanza.

Allora usiamo 3 stage. Ma abbassano 3 poi nelle stesse frequenze (basterà) dobbiamo quindi compensare. Iniziamo prendendo un Miller.

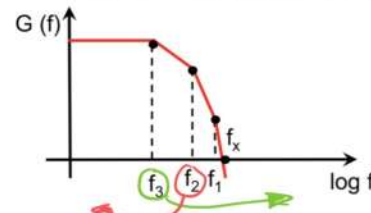


Perciò noi ci aspettiamo che



Prima compensazione di Miller

Perciò noi ci aspettiamo  $f_3$  portato ad alte frequenze e  $f_2$  a basse frequenze

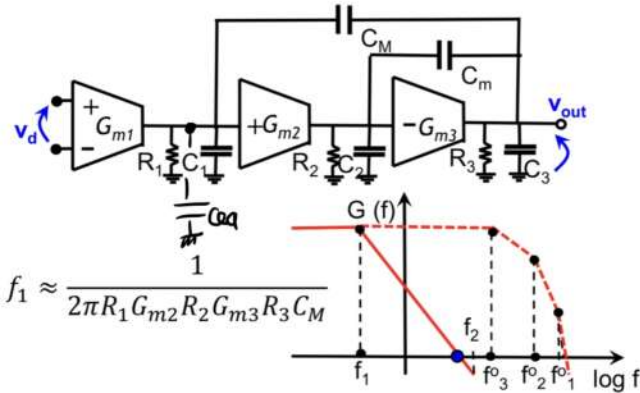


Dobbiamo ricordare che abbassando uno zero positivo  $a = \frac{C_{m3}}{2\pi C_m}$

ma noi sappiamo che  $GBWP = \frac{G_{m2}}{2\pi C_m}$

se noi prendiamo che  $C_{m3} \gg G_{m2}$  posso ottenere il giusto margine di fase.

Abbassiamo compensato la 2° parte della struttura ma abbassando ancora il polo del primo studio. Non va bene non siamo stabili, dobbiamo compensarla ancora.

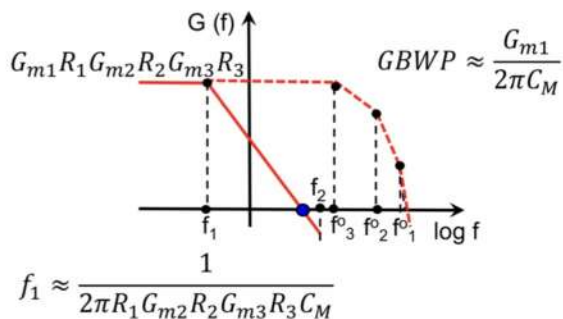


$f_1 \ll f_2$  calcolato prima perché la capacità equivalente è  
 $C_{eq} = C_M \cdot G_{m2}R_2 \cdot G_{m3}R_3$

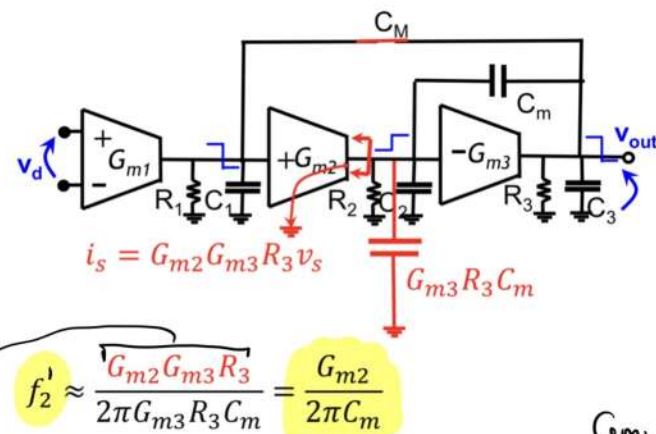
$f_2$  è CERTAMENTE il polo dominante.

Dovrò mettere  $G_m$  in modo che intere l'asse prima di avere il polo  $f_2$ .

Quel è il valore d'  $G_m$  che mi farà avere il 2° polo dopo il GBWP?



Quel è il valore d'  $f_2$  quando abbiamo messo znde la 2° capacità di compensazione?  
 Seppurro che  $f_1$  si trova molto prima in frequenza quindi  $C_M$  lo posso considerare un corto

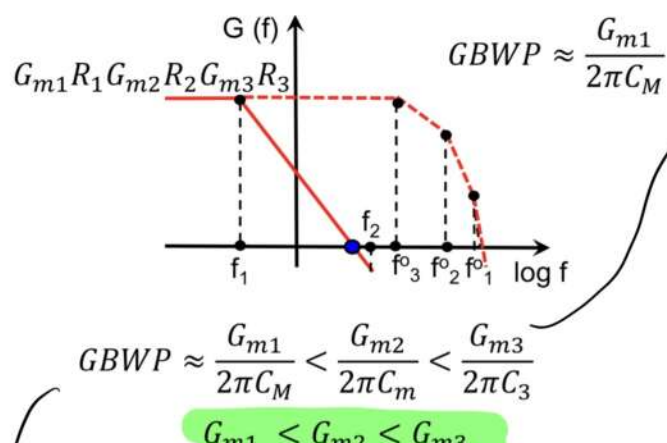


$G_m$  trasduttore del primo stadio

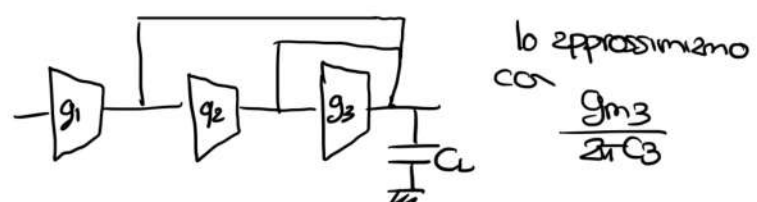
Dobbiamo calcolare la resistenza vista della capacità equivalente. Allora calcoliamo l'altra via che c'è e cioè anche l'input di  $G_{m2}$  perché deve scorrere una corrente dentro  $G_{m2}$ .  
 Resistenza di o Hugo (nesso perché non considera  $R_2$ , credo sia davanti al  $G_{m2}$ )  
 Però che  $R_2$  è grande in confronto al resto)

$$\text{Perciò il GBWP} = \frac{\mu^3}{2\pi C_M \mu^2 \cdot R_1} = \frac{\mu}{2\pi C_M R_1} = \underbrace{\frac{1}{G_{m1} R_1}}_{2\pi C_M R_1} = \frac{G_{m1}}{2\pi C_M}$$

Ricordiamo che noi vogliamo  $\text{GBWP} < f_{p2}$

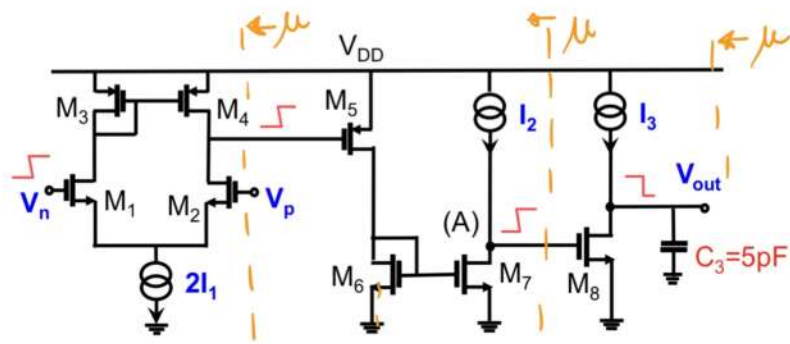


Vogliamo che il polo d'uscita sia alla frequenza più alta.  
 Dato che  $f_1$  e  $f_2$  sono molto più bassi allora li considero in corto



Mettendo in ordine le 3 condizioni riceviamo questo!

Circuitualmente possiamo vedere che:



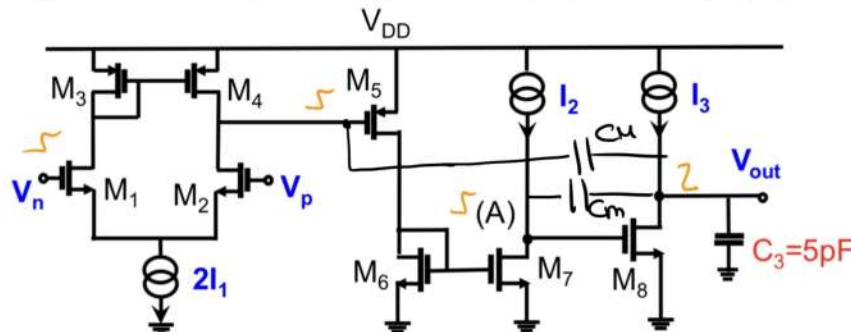
Mettiamo dei valori di corrente.

Dobbiamo stare attenti però, l'input referred noise è dato principalmente dal primo blocco, perciò prima mettiamo la corrente del primo stage in base alle Unitrac del rumore e poi scaliamo le altre correnti.

Possiamo anche fare dei trade off

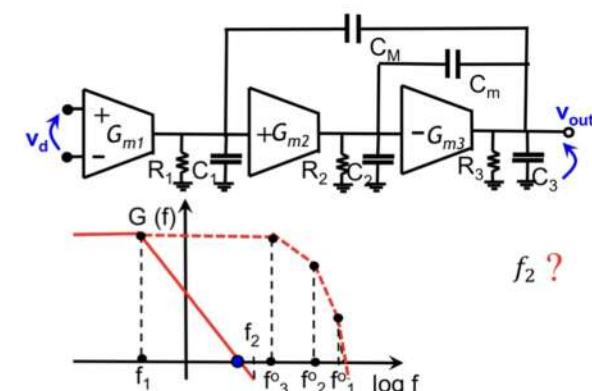
nel senso metto tanta corrente nel primo stage così ho  $G_m$  alto. Poi metto poco corrente sul secondo stage ma così  $G_m$  c'è e poi riuscirà a correggere per il 3° stage così  $G_m$  sarà. In questo caso devo fare una compensazione doppia.

Ma perché stacca uno specchio nel 2° stage e non collegano direttamente al source follower. Io faccio perciò per mettere nulla dobbiamo avere 2 guadagni opposti ai capi e quindi dare mettere le 2 capzietà.

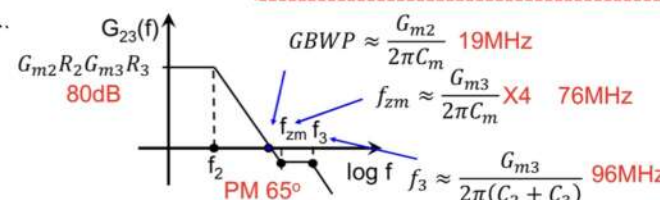
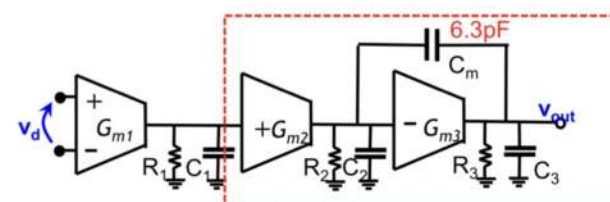


Quando facciamo il design mettiamo  $C_m$  come un standard 2 stage amplif. Vediamo che abbiamo  $\theta_m = 65^\circ$  di abbassamento.

Poi piazziamo la 2° capzietà di compensazione



Le 2 capzietà hanno entrambe il guadagno differenziale ai capi. Se nessuno tolto lo specchio non avremo separato due piazze cu. (NO, SIA ROBA NON È CHIARA!!!!)



Perciò dobbiamo avere che

$$\frac{G_{m1}}{2\pi C_m} \leq \frac{G_{m2}}{2\pi C_m} \quad ) - \quad \text{Questo è il calcolo approssimato con } C_m \text{ corta}$$

Possiamo calcolare il 2° polo in modo più tecnico con il metodo delle costanti di tempo

$$f_2' \approx \frac{1}{2\pi [C_2 R_2^{(0)} + C_m R_m^{(0)} + (C_3 + C_1) R_3^{(0)}]}$$

Celcel... otteniamo che il vero  $f_2 \approx \frac{C_m}{2\pi(C_m(1 - G_m^2/C_m))}$

Notiamo che  $f_2$  è doppia l'aria e  $f_{req}$  supera rispetto a quelle che avevamo perché non c'è un problema.

Noi dovranno avere che  $I_1 < I_2 < I_3$ , se per il rumore entrano le altre due mentre  $C_M$  per avere la stabilità.

Il problema è di quando simuliamo il circuito otteniamo che il GBWP è 2 volte più alto e che il 2° polo in realtà sono poli complessi e coniugati e questo mi sfalzizza il margine di fase. In pratica noi possiamo l'asse delle X ma per il picco dato dei poli complessi e coniugati risale sopra l'asse e quindi mi dà la non stabilità.

Questo succede perché abbiamo fatto delle semplificazioni, dovranno usare il metodo delle costanti di tempo per tutto.

25.10.2021

2h

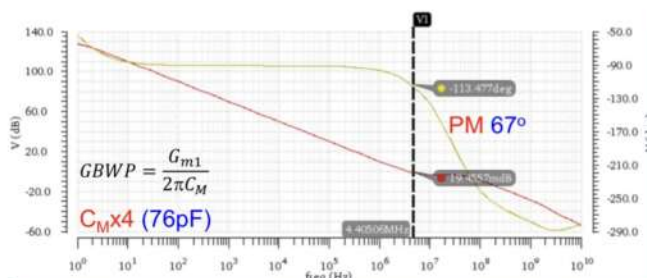
Ricordando quanto fatto nella settimana scorsa possiamo dire che

$$GBWP \approx \frac{G_{m1}}{2\pi C_M} < \frac{G_{m2}}{2\pi C_m} < \frac{G_{m3}}{2\pi C_3}$$

ho queste 2 tecniche per compensare

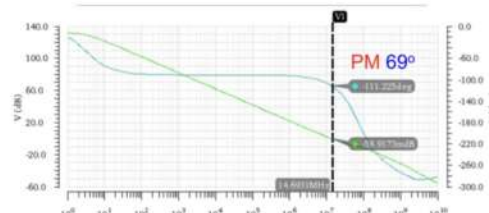
- 1) Reducing the GBWP at constant power. Increasing the compensation capacitance values. More silicon real estate.
- 2) Keeping the same GBWP and the compensation capacitance values, but increasing power dissipation

- 1) Aumento i valori delle capacità per spartire più tra loro i poli. Riducendo la banda del sistema ma non aumentando la dissipazione di potenza.



$$f_0 = \frac{1}{2\pi} \sqrt{\frac{G_{m2}G_{m3}}{C_L C_m}} \quad Q = \frac{1}{(G_{m3} - G_{m2})} \sqrt{\frac{G_{m3}G_{m2}}{C_m}} \\ C_{m2}x2 (12.5pF)$$

- 2) Aumento le trascondutture (IMPORTANTE! Dobbiamo ricordare che la prima trasconduttanza era già grande perché avevamo limiti sul rumore)



$$f_0 = \frac{1}{2\pi} \sqrt{\frac{G_{m2}G_{m3}}{C_L C_m}} \quad Q = \frac{1}{(G_{m3} - G_{m2})} \sqrt{\frac{G_{m3}G_{m2}}{C_m}} \\ G_{m2}x2 (150μA) \quad G_{m3}x4 (600μA) \quad I_{TOT} = 1.05mA$$

## Risposta nel dominio del tempo dell'OTA

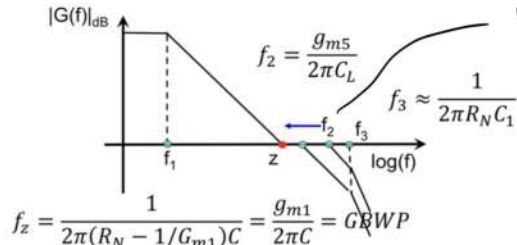
Se nel dominio del tempo mettiamo uno step in uscita cosa succede?

Possiamo approssimare la risposta con il polo dominante o NO?

Ma po siamo realmente sicuri che vogliamo gli altri poli dopo il GBWP.

Supponiamo di avere un Ampli Compensato con un rolling resistor

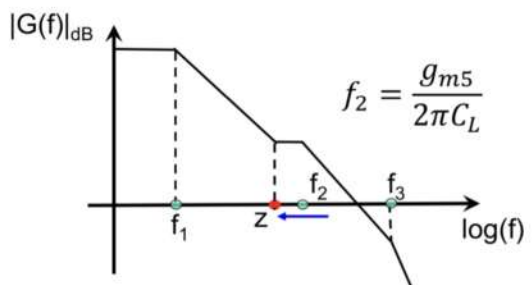
il polo  $f_2$  si sposta in base al valore di  $C_L$ .



$$\frac{g_{m1}}{2\pi C} = \frac{g_{m5}}{2\pi C_{Lmax}}$$

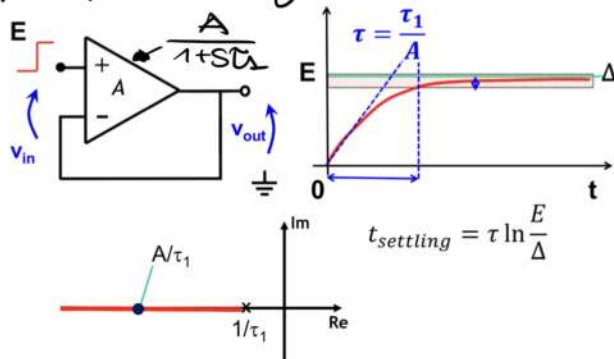
$$C_{Lmax} = \frac{g_{m5}}{g_{m1}} C$$

Potrei cercare di spostare lo zero sul valore di  $f_2$  così facendo potrei usare  $C_L$  molto grande che preggerà entrambi  $f_2$  prima del GBWP e abbiamo qui.



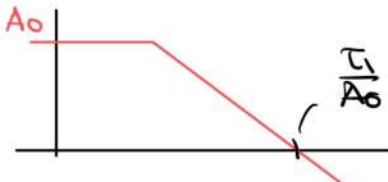
Confrontiamo le  $\tau$  di un ampli con un singolo polo dominante e quello con un doublet (zero-polo) in banda.

### I) Ampli a singolo polo



Abbiamo che c'è presente una costante di tempo al valore

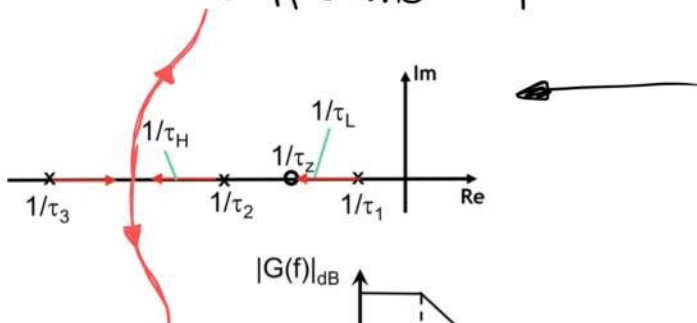
$$\tau = \frac{C_L}{A_O}$$



Se vogliamo calcolare il settling time dato il valore finale E e l'errore Δ allora vieni

$$t_s = \tau \ln\left(\frac{E}{\Delta}\right)$$

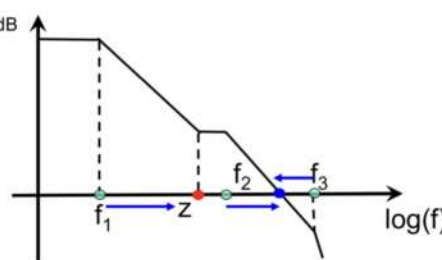
### • CASO 2 (supponiamo sempre di usarlo come buffer)

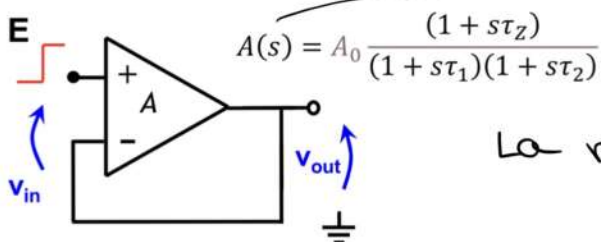


$$\frac{1}{\tau_H} \approx GBWP$$

$$\frac{1}{\tau_L} \leq \frac{1}{\tau_z}$$

Quando dividiamo l'ampli in feedback ci aspettiamo che i poli si muovano così. Per semplicità ne consideriamo  $f_3$  molto lontano perché consideriamo  $f_2$  che si muove verso il GBWP.





Risposta dell'opamp in aperto (non consideriamo il terzo polo)

La risposta ad anello chiuso l'aspettiamo a

$$H(s) = \frac{(1 + s\tau_z)}{(1 + s\tau_L)(1 + s\tau_H)}$$

$$\frac{1}{\tau_L} \leq \frac{1}{\tau_2} \quad \frac{1}{\tau_H} \approx GBWP.$$

è approssimazione della vera FDT  
che è  
 $T = \frac{A(s)}{1 + A(s)\beta}$

$$v_{out}(s) = \frac{E}{s} H(s) = \frac{E}{s} \left[ \frac{(1 + s\tau_z)}{(1 + s\tau_L)(1 + s\tau_H)} \right]$$

Calcoliamo la risposta del tempo partendo da Lpz

$$v_{out}(s) = \frac{E}{s} H(s) = \frac{E}{s} \left[ \frac{(1 + s\tau_z)}{(1 + s\tau_L)(1 + s\tau_H)} \right]$$

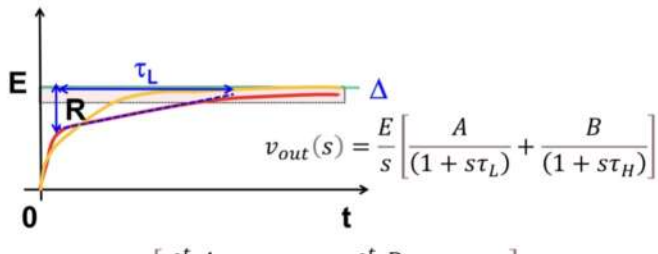
$$v_{out}(s) = \frac{E}{s} H(s) = \frac{E}{s} \left[ \frac{A}{(1 + s\tau_L)} + \frac{B}{(1 + s\tau_H)} \right]$$

Dobbiamo calcolare i valori di A e B in Lpz, usiamo il teorema del valore finale e iniziale (tipi).

$$A = \lim_{s \rightarrow -1/\tau_L} \frac{(1 + s\tau_z)}{(1 + s\tau_L)(1 + s\tau_H)} (1 + s\tau_L) = \\ = \lim_{s \rightarrow -1/\tau_L} \frac{(1 + s\tau_z)}{(1 + s\tau_H)} = \frac{(\tau_L - \tau_z)}{(\tau_L - \tau_H)}$$

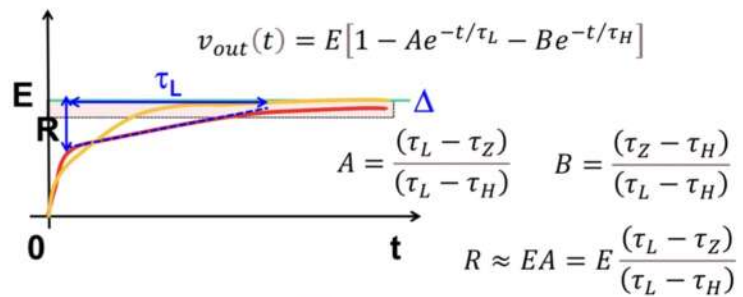
$$B = \lim_{s \rightarrow -1/\tau_H} \frac{(1 + s\tau_z)}{(1 + s\tau_L)(1 + s\tau_H)} (1 + s\tau_H) = \\ = \lim_{s \rightarrow -1/\tau_H} \frac{(1 + s\tau_z)}{(1 + s\tau_L)} = \frac{(\tau_H - \tau_z)}{(\tau_H - \tau_L)} = \frac{(\tau_z - \tau_H)}{(\tau_L - \tau_H)}$$

Però la linear response è:



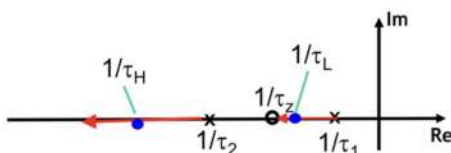
$$v_{out}(t) = E \left[ \int_0^t \frac{A}{\tau_L} e^{-t/\tau_L} dt + \int_0^t \frac{B}{\tau_H} e^{-t/\tau_H} dt \right]$$

$$v_{out}(t) = E [A(1 - e^{-t/\tau_L}) + B(1 - e^{-t/\tau_H})]$$



$$t_{settling} \approx \tau_H + \tau_L \ln \frac{R}{\Delta}$$

Per sapere che saranno i poli a circuito chiuso mettiamo il Gloop = 1 e computiamo



Compute the poles

$$G_{loop}(s) = -A_0 \frac{(1 + s\tau_z)}{(1 + s\tau_1)(1 + s\tau_2)} = 1$$

$$R \approx EA = E \frac{(\tau_L - \tau_z)}{(\tau_L - \tau_H)}$$

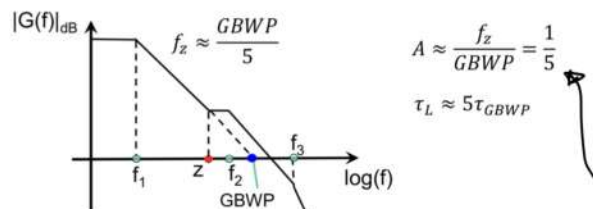
$$G_{loop}(s) = -A_0 \frac{(1 + s\tau_z)}{(1 + s\tau_1)(1 + s\tau_2)} = 1$$

$$s^2 \tau_1 \tau_2 + s(A_0 \tau_z + \tau_1 + \tau_2) + A_0 + 1 = 0$$

$$p_L = -\frac{1}{\tau_L} \approx -\frac{A_0 + 1}{(A_0 \tau_z + \tau_1 + \tau_2)} \approx -\frac{1}{\tau_z + \tau_1/A_0}$$

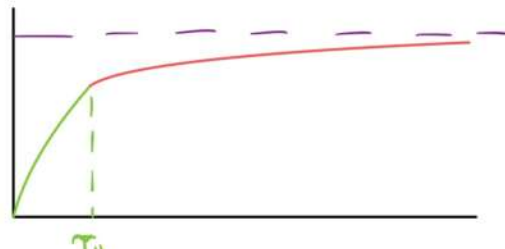
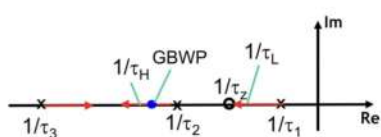
$$\tau_L \approx \tau_z + \tau_1/A_0$$

$$A = \frac{\tau_L - \tau_z}{\tau_L - \tau_H} \approx \frac{\tau_1/A_0}{\tau_L - \tau_H} \approx \frac{\tau_1/A_0}{\tau_z} = \frac{f_z}{GBWP}$$

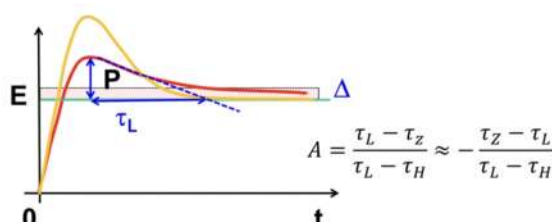
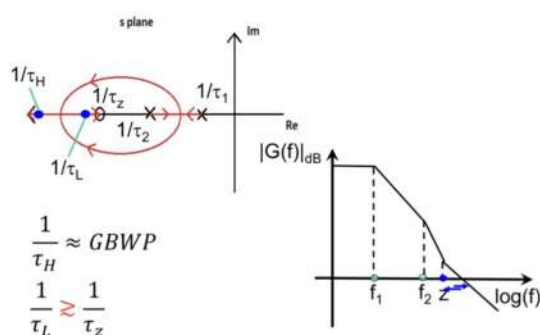


Quando abbiamo lo zero in banda possiamo considerare che il transient è rapido per un po' perché è dato unicamente dal polo.

Per la parte finale viene fatta con un  $T$  che è 5 volte minore di quello prima quindi no che la parte finale è molto più lenta



Nel caso di doublet inseritoabbiamo che



Abbiamo un overshoot

$$v_{out}(t) = E[1 - Ae^{-t/\tau_L} - Be^{-t/\tau_H}]$$

$$v_{out}(t^*) \approx E[1 - Ae^{-t/\tau_L}] \quad P \approx E|A| = E \frac{(\tau_z - \tau_L)}{(\tau_L - \tau_H)}$$

Copriamo quindi che non vogliamo doublet in banda perché fa sì che a metà tempo si arriva al valore finale.

26.10.2021

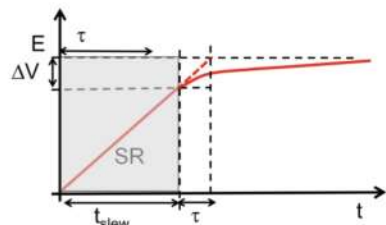
2h

### Slew rate

è un altro parametro legato al settling time, mi dice quanto è la massima rampa che può avere il segnale d'uscita.

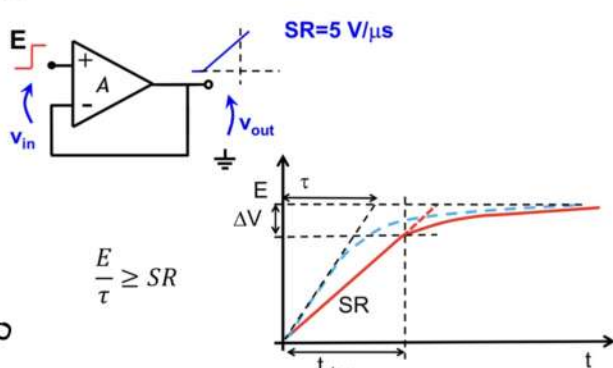
Quindi è l'impatto dello slew rate sulle performance?

Se comandiamo l'ampli con un segnale a gradino e sepettemo che l'uscita risponda come abbiamo detto ieri. But instead no, infatti se la risposta lineare è maggiore dello slew rate ho che nella realtà segue lo slew rate quindi la pendenza dei segnali non scende.



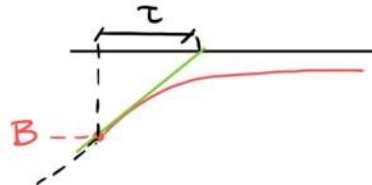
Il crossover lo abbiamo quando la curva lineare ha pendenza giusta in pelo minore dello slew rate.

$$\left. \frac{dv_{out}}{dt} \right|_{t_{slew^-}} = SR = \frac{\Delta V}{\tau} = \left. \frac{dv_{out}}{dt} \right|_{t_{slew^+}}$$

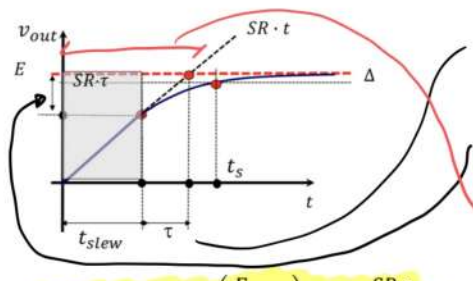


Abbiamo altre informazioni che possiamo ricavare. Infatti so che quando entro nel dominio lineare ho un esponentiale e so che la tangente dell'esponentiale è τ.

Allora so che B/τ deve essere uguale allo slew rate



Quanto sarà dunque il settling time?

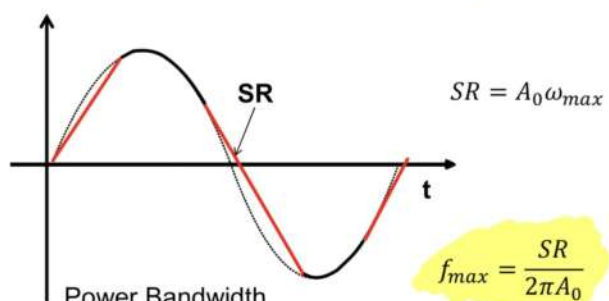


Questo intervallo di tempo è esattamente  $\tau$  (come abbiamo detto prima)  
Però questo valore è  $\Delta V = SR \cdot \tau$

Questa durata è  $E/SR - \tau$  (abbastanza ovvio se consideriamo che arriviamo a E immediatamente come  $E/SR$  ma abbiamo tolto la parte lineare)

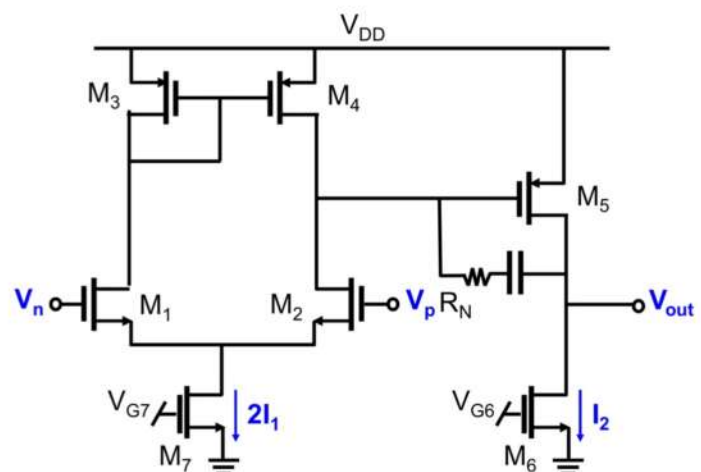
Abbiamo sempre rotto per avere grande GBWP per avere + banda e abbasso abbassando la slew rate da cui borsa il segnale. Quindi c'interessa veramente lo slew rate?  
Vedremo che i 2 valori sono relativi: quindi sì, il GBWP c'interessa.

## Distorsione e banda di potenza



GBWP 100MHz, SR=50V/μs  
PWBW ( $\pm 1$ V) = 8MHz

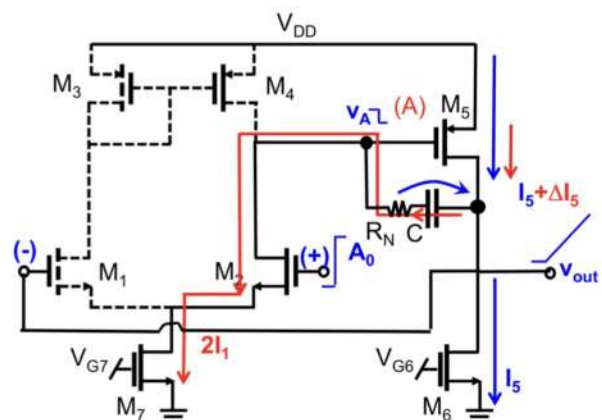
Banda di potenza: è definita partendo dal presupposto che l'opamp mi fornisca una forma d'onda nel range di tensioni d'uscita superiore onde sinusoidali  $A \cdot \sin(\omega t)$   
Ora noi sappiamo che la massima potenza del segnale è  $A \cdot \omega_0$ , se questo valore è > SR allora no ce ho distorsione.  
Esiste quindi una massima P<sub>eq</sub> d'uscita per non avere distorsione.



## OTA, slew rate

Ogni volta che abbasso un gen di corrente ce cerca un condensatore abbasso una unità sullo slew rate perché noi sappiamo che  $\text{SR} = \frac{I_{out}}{C}$

Nel nostro circuito accade questo perché sulla capacità di compensazione abbasso una massima corrente di presa che è data dalla corrente di M7.

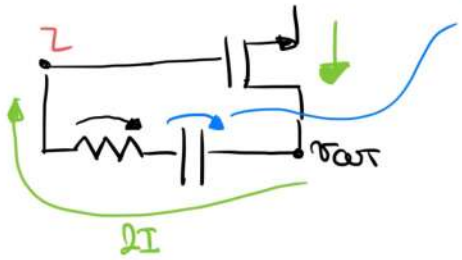


Se supponiamo solo di comandare il pin di M2 allora M1 è spento e M3 Mu è conseguente (fully switch) e abbassa tutta 2I su M2 e sulla capacità di compensazione. Non ho capito bene perché tutte 2I va su M5 e non su M6.

Ricavo poi che  $V_A = \frac{2I}{g_{ms}}$

Forse ho capito, M6 è un gen di corrente e noi supponiamo V<sub>os</sub> di essere abbassata alto da non compiere

In particolare abbasso che



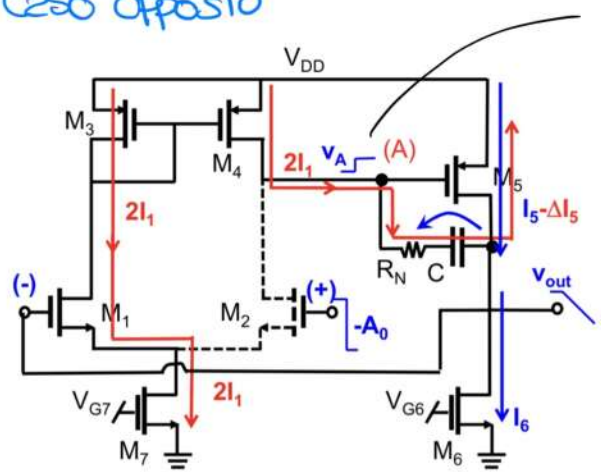
$$V_C = \frac{2I_1 t}{C} \quad \leftarrow \text{c'è una tensione a rampa da unità}\$$

l'uscita dell'opamp.

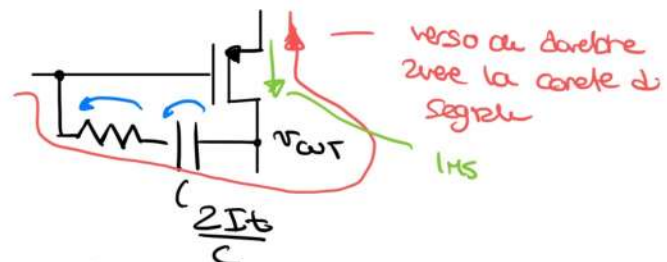
Perciò all'output posso aspettarmi di trovare uno step positivo con più una rampa

(capito poco)

Caso opposto

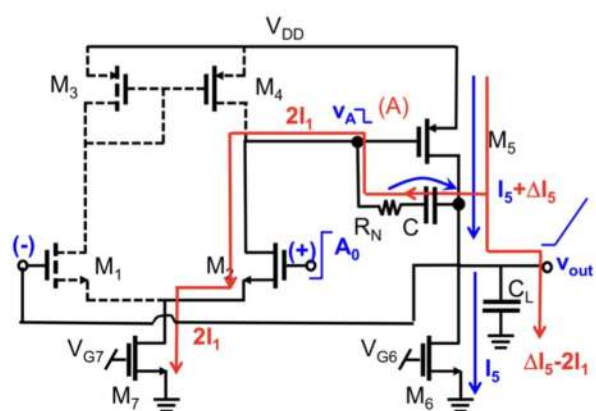


In questo caso questo nodo seleziona quando la corrente va verso  $R$  e  $C$ . In questo caso la carica su  $C$  è negativa rispetto a  $v_{out}$  e il nodo di  $v_{out}$  scende. Anche qui lo slew rate è  $\frac{2I_1 t}{C}$ .



MA ATTENZIONE! Qui  $I_S$  era basato con la corrente di scorrimento verso giù quindi deve essere che  $I_{DS} > 2I_1$  altrimenti il transistor va a spegnersi perché gli manca il bias

Basta? Ma neanche per il cazzo, c'è anche la capacità d'uscita da vivere controllata in corrente



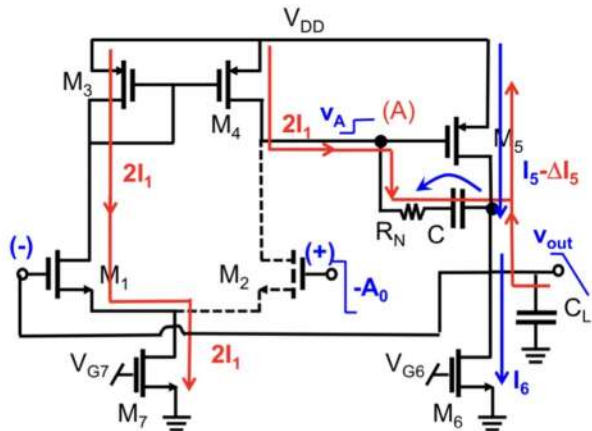
In aggiunta alla corrente che va sulla compensazione  $M_5$  deve dare corrente anche a  $C_L$ . La corrente che deve dare è:

$$C_L \frac{dV}{dt} \rightarrow I_L = C_L \frac{2I_1}{C}$$

perciò la corrente di segnale di  $M_5$  deve essere

$$I_{DS} = 2I_1 + C_L \cdot \frac{2I_1}{C}$$

In prima approssimazione questo non da problemi, basta solo aumentare la tensione di gate di  $M_5$ .

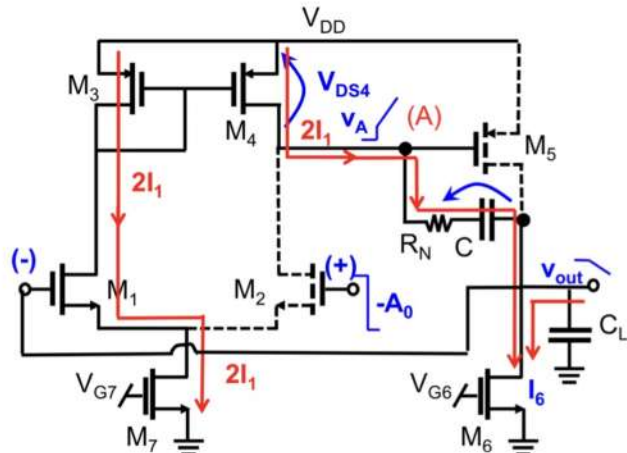


Sistema come prima, anche qui abbiamo che il slew rate è  $C_L \cdot 2I_1 / C$

Anche qui ho la unità che  $I_S$  deve essere > della corrente di segnale e qui ho + corrente di segnale.

$$I_S \geq 2I_1 + \frac{2I_1}{C} \cdot C_L$$

Cosa succede se il transistor M<sub>5</sub> si spegne?



Perciò la corrente passa su M<sub>6</sub> da imporre la corrente I<sub>6</sub>.

Perciò la corrente che va su C<sub>L</sub> è

$$I_6 - 2I_1 = I_{CL} \text{ che è più piccola perché lo slew rate dato da } C \text{ è}$$

$$\frac{I_{CL}}{C_L}$$

Al cointro su C ho sempre la stessa corrente quindi ho lo stesso slew rate che è più veloce di V<sub>out</sub> che ho lo slew rate piccolo. per avere V<sub>out</sub> al valore dato dallo slew rate di C allora dobbiamo aumentare perché  $V_A = V_{out} + V_C$  e noi sappiamo che solo  $V_C$  è più grande. Allora abbiamo che V<sub>A</sub> aumenta e riduce il bias di M<sub>5</sub> che farà sì che venga portato in zona omica.

Il limite dello slew rate dato dalla capacità d'uscita è chiamato external slew rate.

L'internal slew rate è legato alla GBWP, infatti:

$$SR_{INT} = \frac{2I_1}{C} \quad \text{e} \quad \text{il GBWP} = \frac{g_m I_1}{2\pi C} = \frac{2I_1}{2\pi V_{out} C}$$

Perciò sono legati alla stessa grandezza, se aumento il GBWP ando anche SR<sub>int</sub>.

02.11.2021

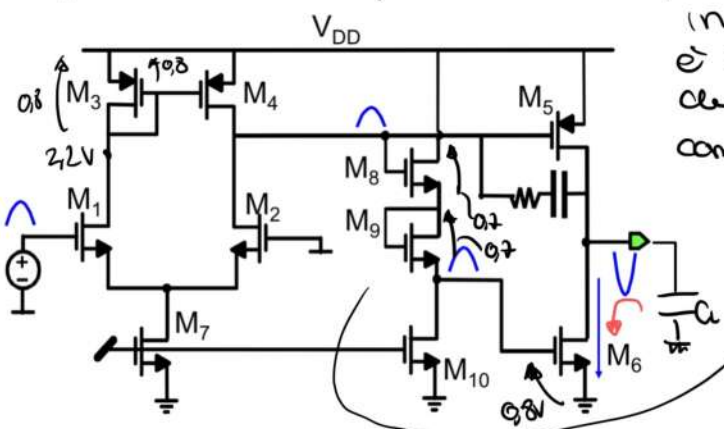
2h

Inventiamo una figura di merito per confrontare le varie performance

$$FOM_{SR} = \frac{SR \cdot C}{I_{DS}}$$

Una volta scelta la capacità massima è avuto che il SR lo slew rate è meglio è ma dobbiamo sempre proponerlo alla corrente.

Ma noi sappiamo che lo SR è legato al GBWP quindi non avrebbe senso introdurre un nuovo FOM. C'è un modo di fare un decoupling tra SR e GBWP. Nella rete ci si perde lo SR dipende dalla corrente in transistore e se noi buttiamo questa corrente solo nel transistore allora l'SR sarà migliore. Per fare questo usiamo questa configurazione:



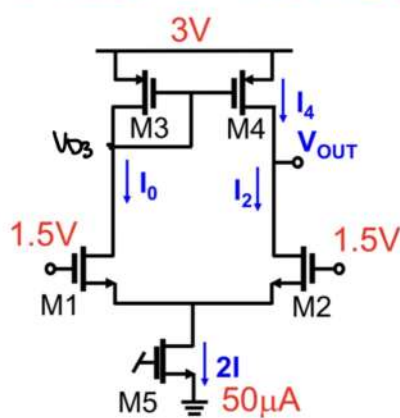
In un circuito normale avremo che M<sub>6</sub> è un grande conduttore costante. Noi vorremo che durante la discharge M<sub>6</sub> tire più corrente così non siamo più bloccati.

In pratica questo è un follower che è fatto così per fare un voltage switch e avere i bias ok.

Ho quindi che quando C si va scaricando tira in giù più corrente.

In questo modo separiamo le performance dello slew rate da quelle del GBNP.

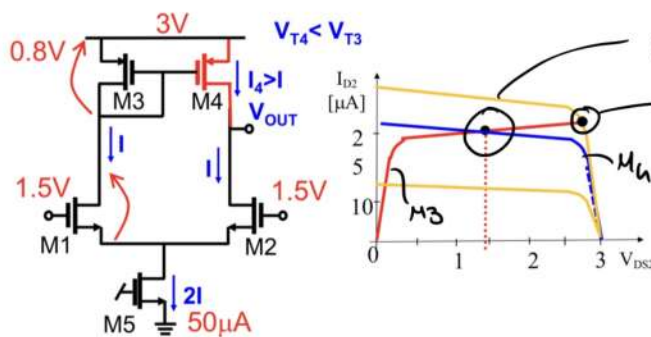
### OFFSET DI TENSIONE



Assumiamo che i transistor dello stesso plesso siano identici.  
Supponiamo che  $M_3$  abbia un  $V_{th}$  di 0,8 V quando su di lui scorrono  $25\mu A$ .  
Allora  $V_{DS}$  di  $M_3$  deve essere 0,8 V (trasdotto),  
so per le date che  $V_{GS3} = V_{th}$  avrà no che  
 $I_4 = I_3$  e  $V_{out} = V_{D3}$ , il nodo di output è allo stesso bias di quello di est.

Ma se i 2 MOS non sono perfettamente uguali?  
Supponiamo che  $V_{th4} < V_{th3}$ , questo fa sì che  $M_4$  sia tendente alla zona triodo e quindi porta meno corrente

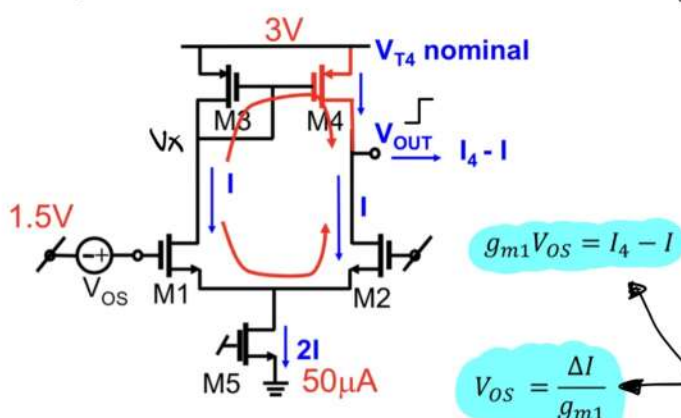
e questo porta sì che le 2 correnti vadano a metàcasi.



Quando sono tutte e 2 i mos con  $V_T$  uguali  
l'area nuova (giusta =  $M_4$ ) quando  $M_4$   
ha  $V_T$  minore.

Ma se  $M_4$  è in zona triodo allora  
l'impresa amplifica ma manda perché vuogli grande impedenza d'uscita.

Possiamo riportare  $M_4$  in saturazione? Si se faccio zero la varianza della tensione differenziale d'ingresso facendo in modo che  $M_4$  tra più corrente e di quindi  $M_4$  ritorni in saturazione.



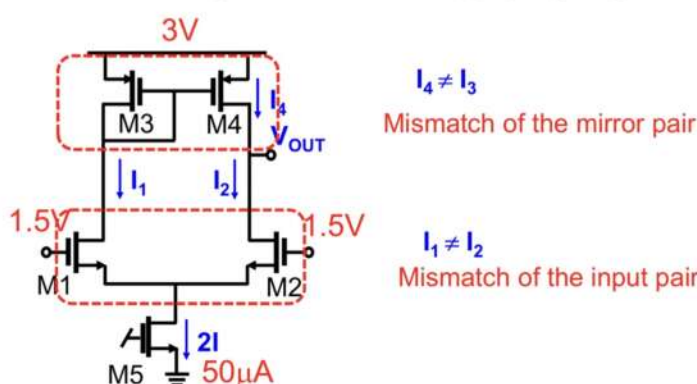
Come vediamo con un solo transistor con  $V_T$  diversa dobbiamo già usare una tensione non bilanciata in ingresso.

Possiamo vedere lo stage differenziale reale come vorebbe con un offset in ingresso.

Il link tra offset e tensione d'uscita è gesto.

In pratica impongo che  $V_{out} = V_x$  e vedo la differenza tra  $I_{out}$  e  $I$ . Dobbiamo vedere che la tensione d'offset sia in valore ragionevole rispetto alla dinamica del camp e dare anche vedere se posso rilevare gesto valore dell'offset. Ricordiamo che stiamo lavorando con processi statistici.

Contributi dell'offset.



Calcoliamo i diversi contributi

Supponiamo che M1 e M2 abbiano un mismatch delle loro tensioni di soglia. Facciamo poi i conti, considerando il quodato come somma tra  $V_{IN-IT}$  e la parte dell'errore come separate.

$$(I_4 - I_2) = k_{in} \left( V_{IN} - V_{T0} - \frac{\Delta V_{Tin}}{2} \right)^2 - k_{in} \left( V_{IN} - V_{T0} + \frac{\Delta V_{Tin}}{2} \right)^2$$

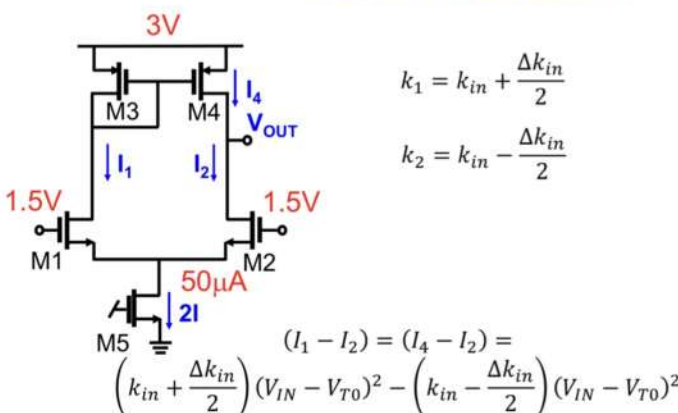
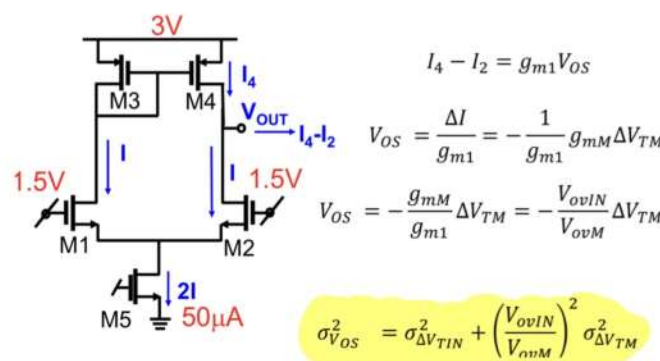
$$(I_4 - I_2) = k_{in} (V_{IN} - V_{T0})^2 - 2k_{in} (V_{IN} - V_{T0}) \frac{\Delta V_{Ti}}{2} + k_{in} \frac{\Delta V_{Ti}^2}{4}$$

$$- k_{in} (V_{IN} - V_{T0})^2 - 2k_{in} (V_{IN} - V_{T0}) \frac{\Delta V_{Tin}}{2} - k \frac{\Delta V_{Ti}^2}{4} =$$

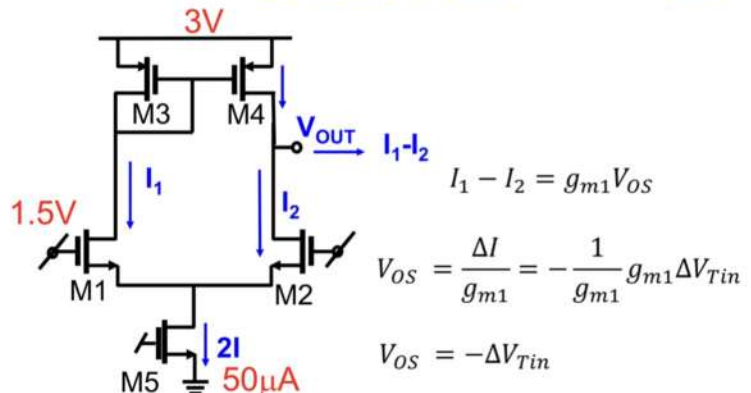
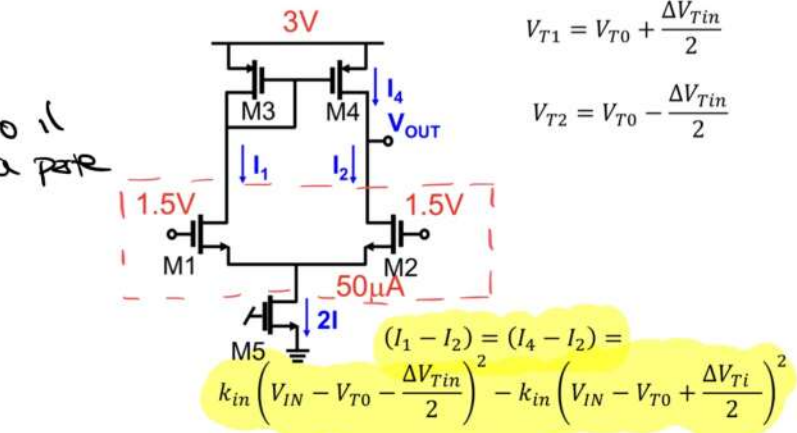
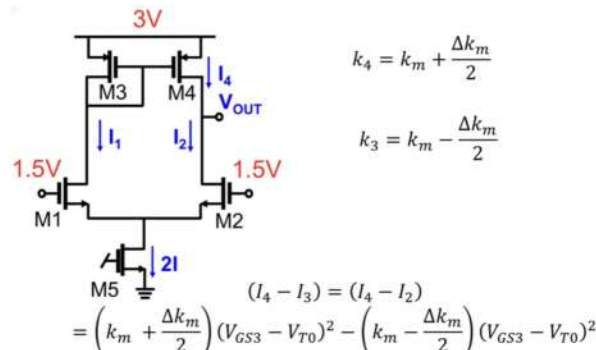
$$= -2k_{in} (V_{IN} - V_{T0}) \Delta V_{Tin} = -g_{m1} \Delta V_{Tin}$$

$V_{OS} = -\Delta V_{Tin} \rightarrow$  questo meno in realtà non ha nessun senso perché stiamo parlando di processi statici.

Dobbiamo per fare la stessa cosa con lo specchio, usiamo la stessa logica.



e stesso modo anche per la variazione di conduttorità dello specchio.



Non ho ripetuto i conti perché non ho certezza (se ho problemi andare sulle slide L16)

Che cos'è finita? Neanche per il caso perché anche la conduttorità può andare a galla.

$$(I_4 - I_2) = \left( k_{in} + \frac{\Delta k_{in}}{2} \right) (V_{IN} - V_{T0})^2 - \left( k_{in} - \frac{\Delta k_{in}}{2} \right) (V_{IN} - V_{T0})^2$$

$$(I_4 - I_2) = \Delta k_{in} (V_{IN} - V_{T0})^2 = I \cdot \frac{\Delta k_{in}}{k_{in}} = g_{m1} \frac{V_{ovin}}{2} \cdot \frac{\Delta k_{in}}{k_{in}}$$

$$V_{OS} = \frac{\Delta I}{g_{m1}} = \frac{V_{ovin}}{2} \cdot \frac{\Delta k_{in}}{k_{in}}$$

$$\sigma_{V_{OS}}^2 = \sigma_{\Delta V_{Tin}}^2 + \left( \frac{V_{ovin}}{V_{ovM}} \right)^2 \sigma_{\Delta V_{TM}}^2 + \left( \frac{V_{ovin}}{2} \right)^2 \sigma_{\Delta k_{in}/k_{in}}^2$$

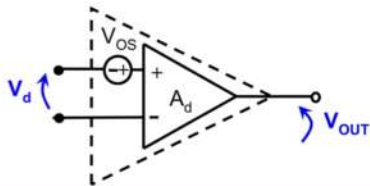
$$(I_4 - I_2) = \left( k_m + \frac{\Delta k_m}{2} \right) (V_{GS3} - V_{T0})^2 - \left( k_m - \frac{\Delta k_m}{2} \right) (V_{GS3} - V_{T0})^2$$

$$(I_4 - I_2) = \Delta k_m (V_{GS3} - V_{T0})^2 = I \cdot \frac{\Delta k_m}{k_m} = g_{m1} \frac{V_{ovin}}{2} \cdot \frac{\Delta k_m}{k_m}$$

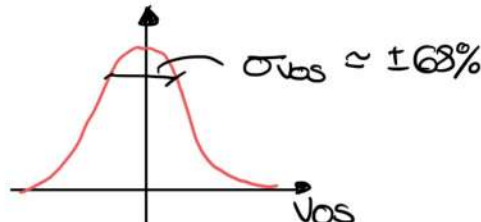
$$V_{OS} = \frac{\Delta I}{g_{m1}} = \frac{V_{ovin}}{2} \cdot \frac{\Delta k_m}{k_m}$$

$$\sigma_{V_{OS}}^2 = \sigma_{\Delta V_{Tin}}^2 + \left( \frac{V_{ovin}}{V_{ovM}} \right)^2 \sigma_{\Delta V_{TM}}^2 + \left( \frac{V_{ovin}}{2} \right)^2 \left[ \sigma_{\Delta k_{in}/k_{in}}^2 + \sigma_{\Delta k_m/k_m}^2 \right]$$

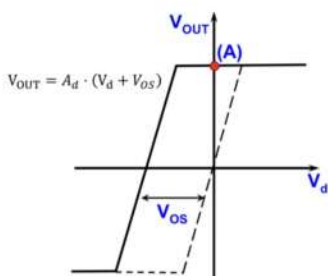
Ricordiamo quanto incavato ieri riguardo al rumore.



$$\sigma_{V_{OS}}^2 = \sigma_{\Delta V_{TIN}}^2 + \left( \frac{V_{OVIN}}{V_{OBM}} \right)^2 \sigma_{\Delta V_{TM}}^2 + \left( \frac{V_{OVIN}}{2} \right)^2 \left[ \sigma_{\Delta k_{in}/k_{in}}^2 + \sigma_{\Delta k_{m}/k_m}^2 \right]$$



Modellizziamo l'opamp come ideale con un generatore in più sull'input.

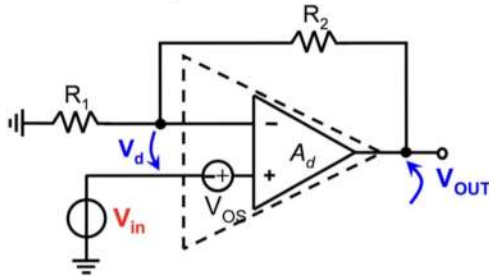


Andamento della tensione d'uscita con la tensione d'offset.

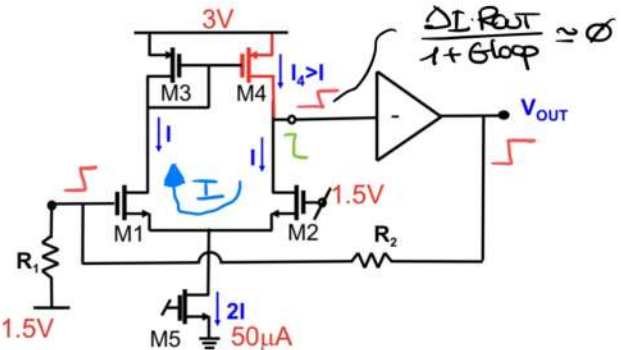
Vediamo che la caratteristica è shiftata in modo da lavorare nella zona lineare del circuito dobbiamo lavorare nei nuovi valori di VOS.

Lavoreremo sempre nella zona lineare perché il feedback fa sì che ciò accada.

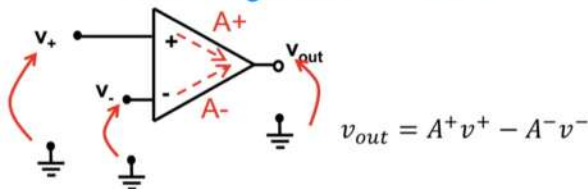
Infatti vediamo che con il feedback fanno sì che l'ammpli ritorni a lavorare in zona lineare.



$$V_{out} = V_{in} \left( 1 + \frac{R_2}{R_1} \right) + V_{OS} \left( 1 + \frac{R_2}{R_1} \right)$$



### Common Mode Rejection Ratio



$$\text{Seppremo che } V_{cm} = \frac{v^+ + v^-}{2}$$

$$v^+ = v_{cm} + \frac{v_d}{2} \quad v_{out} = A^+ \left( v_{cm} + \frac{v_d}{2} \right) - A^- \left( v_{cm} - \frac{v_d}{2} \right)$$

$$v^- = v_{cm} - \frac{v_d}{2}$$

$$v_{out} = A^+ \left( v_{cm} + \frac{v_d}{2} \right) - A^- \left( v_{cm} - \frac{v_d}{2} \right)$$

$$v_{out} = \left( \frac{A^+ + A^-}{2} \right) v_d + (A^+ - A^-) v_{cm}$$

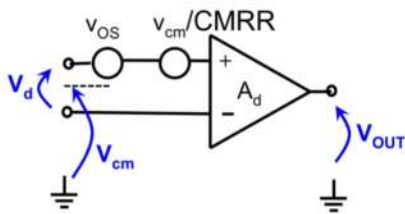
Guadagno d'elezione

Guadagno di modo comune

$$v_{out} = A_d v_d + A_{cm} v_{cm}$$

Come si figge il segnale la CMRR?

Possiamo vederlo come un offset dipendente dall'input.



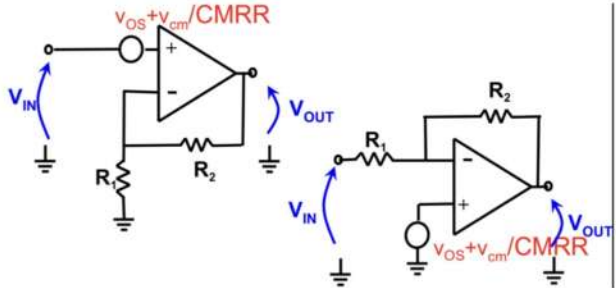
$$v_{out} = A_d v_d + A_{cm} v_{cm} = A_d \left( v_d + \frac{A_{cm}}{A_d} v_{cm} \right) = A_d \left( v_d + \frac{v_{cm}}{CMRR} \right)$$

Signal dependent offset

Tipicamente VOS è dell'ordine dei mV

$V_{cm}/CMRR$  dipende da CMRR  
(se  $V_{cm} = 1V$  e CMRR =  $10^5 \rightarrow$  dunque trascurabile rispetto a VOS).

ATTENZIONE PERO !! La CMRR dipende dalla frequenza e calo, quindi devo vedere il valore di questa offset alla fine della mia banda.

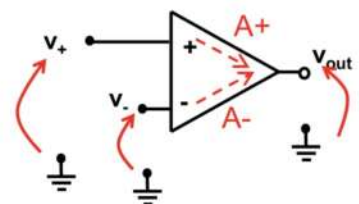


Nel caso di 2mPL non invertente ha una gradissima CMRR (non ho capito perché)

Nel caso di Ampli invertente la Vcm è piccola quindi in tesa non c'è un problema.

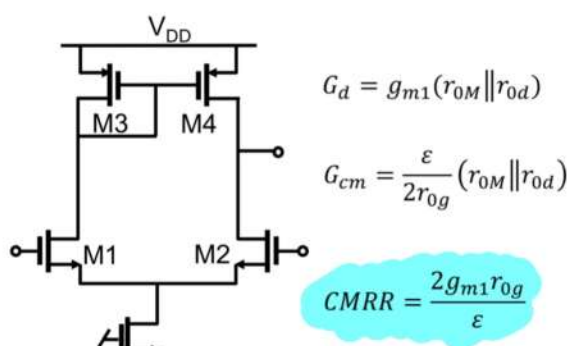
- Deterministic
  - Asymmetries ( $A^+/A^-$ )

- Statistical
  - Mismatches



Abbiamo 2 contributi che danno la CMRR.

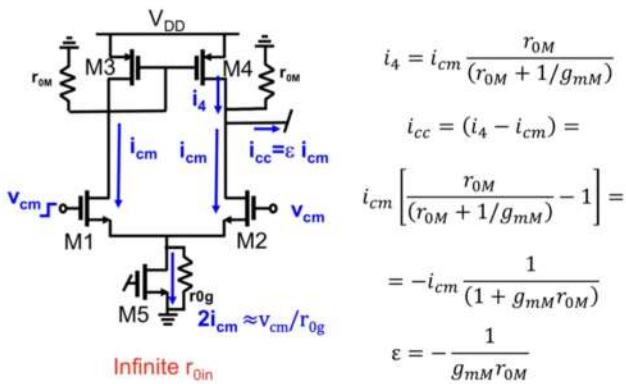
Partiamo dai contributi deterministici:



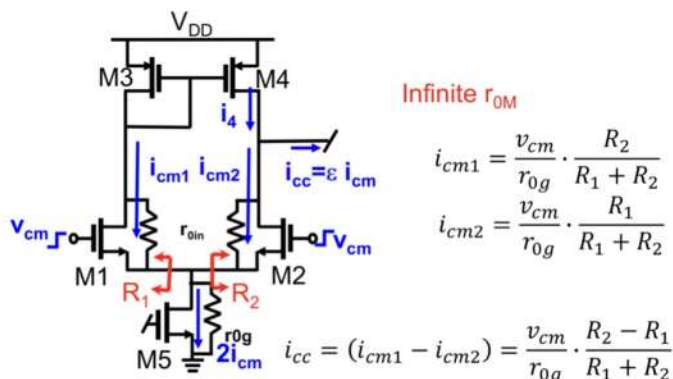
per migliorare la CMRR o lavoriamo sull'errore  $\epsilon$  (cioè regolare la grandezza di  $V_{os}$ , la voglio più grande  $\rightarrow$  aumentare la channel length di M3 o M4)

Attenzione qui c'è un'approssimazione:  
la corrente su M5 è abbastanza forte da si sposta perfettamente tra M2 e M4 ma non è così gesto perché sul drain di M2 ha un carico netto su quello di M4 non  $r_{0M}$ .

Quindi le correnti non sono uguali, lo sarebbe solo se le  $r_{0d}$  di M2 e M4 fossero  $\infty$ .



Dobbiamo considerare anche questo effetto. Nei supponiamo  $r_{0d}$  infinito e prendiamo i transistori d'ingresso come deterministic



$$i_{cc} = (i_{cm1} - i_{cm2}) = \frac{v_{cm}}{r_{0g}} \cdot \frac{R_2 - R_1}{R_1 + R_2}$$

$$R_1 = \frac{r_{0in} + 1/g_{mM}}{1 + g_{mIN}r_{0in}}$$

$$R_2 = \frac{r_{0in}}{1 + g_{mIN}r_{0in}}$$

$$i_{cc} \approx -\frac{v_{cm}}{r_{0g}} \cdot \frac{1/g_{mM}}{2r_{0in}} = -\frac{v_{cm}}{2r_{0g}} \cdot \frac{1}{g_{mM}r_{0in}}$$

La CMRR deterministica sarà quindi:

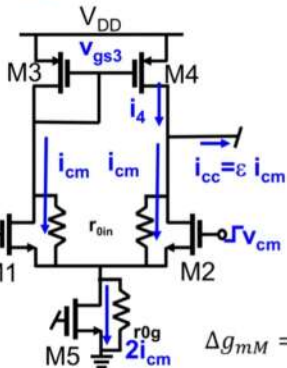
Usando valori tipici ottengo che  
 $CMRR_{det} \approx 80\text{dB}$

$$CMRR = \frac{2g_{m1}(r_{0g} \parallel r_{0in}/2)}{\epsilon_{det}}$$

$$\epsilon_{det} \approx -\left[ \frac{1}{g_{mM}r_{0M}} + \frac{1}{g_{mM}r_{0in}} \right]$$

$$CMRR_{det} = \frac{2g_{m1}r_{0g}}{\left[ \frac{1}{g_{mM}r_{0M}} + \frac{1}{g_{mM}r_{0in}} \right]}$$

Pero c'è anche la statistica contribuzione dell'input alla CMRR.



$$i_4 = g_{m4} v_{gs3} = g_{m4} \frac{i_{cm}}{g_{m3}}$$

$$i_{cc} = \left( \frac{g_{m4}}{g_{m3}} - 1 \right) \cdot i_{cm}$$

$$i_{cc} \approx \frac{\Delta g_{mM}}{g_{mM}} \cdot i_{cm}$$

$$\Delta g_{mM} = 2\Delta k_M (V_{GS3} - V_{TM}) - 2k_M \Delta V_{TM}$$

$$\varepsilon_{stat} \approx \frac{\Delta g_{mM}}{g_{mM}} + \dots = \frac{\Delta k_M}{k_M} + \frac{\Delta V_{TM}}{V_{ovM}} + \dots$$

Consideriamo che  $g_{m3} \neq g_{m4}$   
questo significa che lo specchio non è più bilanciato

$$g_m = 2k(V_{AS} - VT)$$

Perciò

$$\Delta g_m = 2(V_{AS} - VT) \Delta k - 2k \Delta VT$$

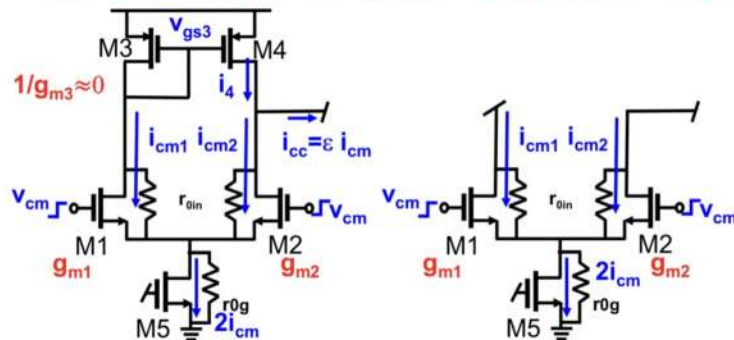
$$(\Delta g_m = \frac{\partial g_m}{\partial k} \Delta k + \frac{\partial g_m}{\partial V} \Delta V)$$

Perciò  $\frac{\Delta g_m}{g_m} = \frac{\Delta k}{k} - \frac{\Delta V}{V}$

Questo sarebbe un meno ma lavoriamo in ambiente statistico (calo varianza) perciò dovremo mettere in +

$$\sigma_{\frac{\Delta g_m}{g_m}}^2 = \sigma_{\frac{\Delta k}{k}}^2 + \sigma_{\frac{\Delta V}{V}}^2$$

Sistema simile si può fare anche con l'input per.



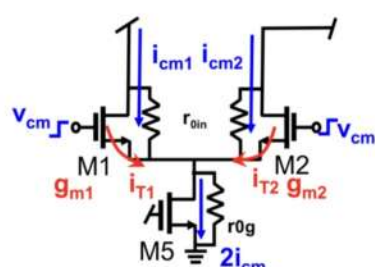
Un modo intelligente per calcolare la corrente è trasformare il circuito in questo.

Ho foldato i 2 mos in uno

Calcolo la corrente di presa nel mos e so da

$$2VT = VT_1 + VT_2$$

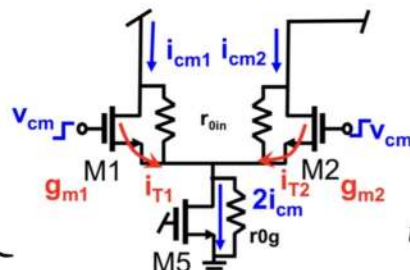
Dobbiamo vedere come la corrente si divide tra i 2 mosfet.



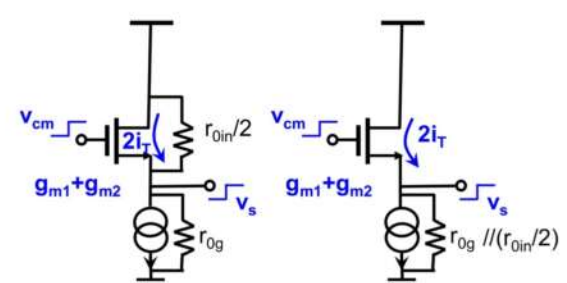
$$i_{T1} \approx 2i_T \frac{1/g_{m2}}{1/g_{m1} + 1/g_{m2}} = 2i_T \frac{g_{m1}}{g_{m1} + g_{m2}}$$

Consideriamo stesso lo specchio ideale  
L'unica differenza che prendiamo è che

$$g_{m1} \neq g_{m2}$$



$$i_{cm1} - i_{cm2} = i_{T1} - i_{T2}$$



$$2i_T = \frac{v_s}{[r_{0g} \parallel (r_{0in}/2)]} \approx \frac{v_{cm}}{[r_{0g} \parallel (r_{0in}/2)]}$$

$$i_{cm1} - i_{cm2} \approx \frac{v_{cm}}{[r_{0g} \parallel (r_{0in}/2)]} \frac{\Delta g_{mIN}}{2g_{mIN}} = v_{cm} \frac{2r_{0g} + r_{0in}}{r_{0g}r_{0in}} \frac{\Delta g_{mIN}}{2g_{mIN}}$$

$$= \frac{v_{cm}}{2r_{0g}} \left( 1 + \frac{2r_{0g}}{r_{0in}} \right) \frac{\Delta g_{mIN}}{g_{mIN}}$$

$$\varepsilon = \left( 1 + \frac{2r_{0g}}{r_{0in}} \right) \frac{\Delta g_{mIN}}{g_{mIN}} = \left( 1 + \frac{2r_{0g}}{r_{0in}} \right) \left( \frac{\Delta k_{IN}}{k_{IN}} + \frac{\Delta V_{Tin}}{V_{ovIN}} \right)$$

$$CMRR_{in} = \frac{2g_{m1}r_{0g}}{\left( 1 + \frac{2r_{0g}}{r_{0in}} \right) \frac{\Delta g_{mIN}}{g_{mIN}}} \rightarrow \frac{g_{m1}r_{0i}}{\frac{\Delta g_{mIN}}{g_{mIN}}}$$

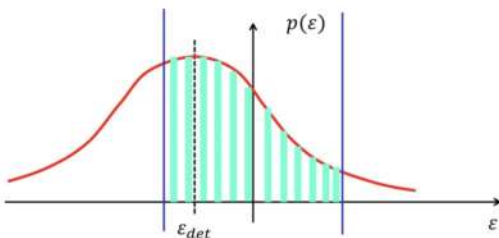
$$i_{cm1} - i_{cm2} \approx 2i_T \frac{g_{m1} - g_{m2}}{g_{m1} + g_{m2}} \approx \frac{v_{cm}}{[r_{0g} \parallel (r_{0in}/2)]} \frac{\Delta g_{mI}}{2g_{mIN}}$$

Dunque nel totale abbazio de :

$$\varepsilon_{stat} \approx \frac{\Delta g_{mM}}{g_{mM}} + \frac{\Delta g_{mIN}}{g_{mI}} = \frac{\Delta k_M}{k_M} + \frac{\Delta V_{TM}}{V_{ovM}} + \left(1 + \frac{2r_{0g}}{r_{0in}}\right) \left(\frac{\Delta k_{IN}}{k_{IN}} + \frac{\Delta V_{TIN}}{V_{ovIN}}\right)$$

Abbiamo visto che  $\varepsilon$  è una somma di un fatto deterministico + 1 statistico, perciò avremo una gaussiana centrata esterna all'errore deterministico.

$$\sigma_{\varepsilon_{stat}} \approx \sqrt{\sigma_{\Delta k_M/k_M}^2 + \frac{\sigma_{\Delta V_{TM}}^2}{V_{ovM}^2} + \left(1 + \frac{2r_{0g}}{r_{0in}}\right)^2 \left[\sigma_{\Delta k_{IN}/k_{IN}}^2 + \frac{\sigma_{\Delta V_{TIN}}^2}{V_{ovIN}^2}\right]^2}$$



$$p(CMRR) = \frac{2g_{m1}r_{0g}}{p(\varepsilon)}$$

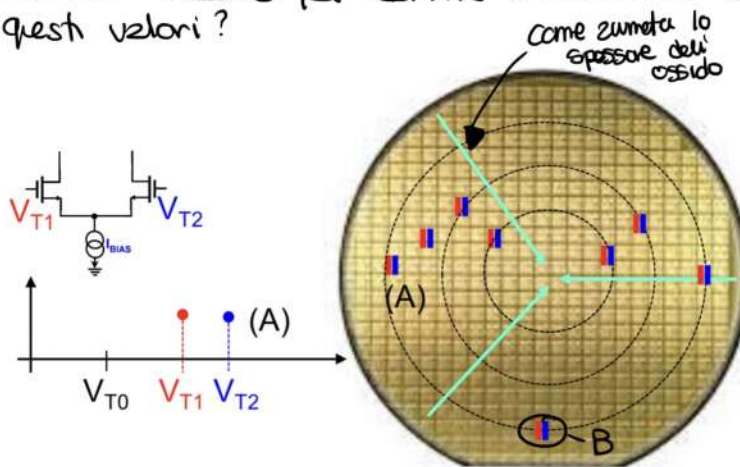
12.11.2021

lezione

2h

Variabilità dei parametri dei device e come ridurre questa variabilità:

C'è un modello per definire il mismatch di VT e di K e da designer possiamo ridurre questi valori?

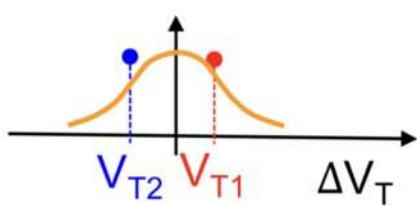


Noi fabbrichiamo i chip su un wafer e su questo avremo degli errori sistematici (tipo la grandezza dell'ossido)

Ad esempio potremo avere che i transistor sul bordo abbiano VT più bassa che quelli al centro.

A noi come designer e nel conto dell'offset ci interessano solo le distanze tra le 2 tensioni di soglia dei 2 transistor.

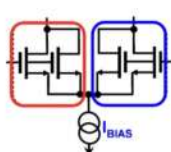
Se vediamo il wafer come a cerchi concentrici di temperatura vediamo che mettendo i transistor a fianchi uno sarà con VT più alta e uno più bassa. (Questo accade quasi sempre come ad esempio nel caso B dove entrambi i MOS sono sullo stesso cerchio termico e quindi la differenza tra VT1 e VT2 è 0)



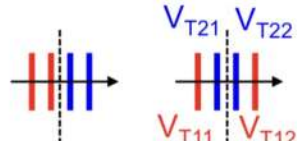
Questa è la distribuzione della ΔVT dei transistor in base a dove si trovano (?)

Per cercare di ridurre questi effetti abbiamo cercato di ridurre gli errori sistematici cioè abbiamo fatto sì che non avesse

sempre il transistor rosso a destra di quello blu. Per fare meglio questo noi facciamo sì di dividere ogni MOS in 2 e lo mettiamo inarocchi



avee 2 transistor così c'è come avere 1 solo, ad esempio se questi 2 hanno  $W/L = 25/1$  c'è come avere 1 da  $W/L = 50/1$

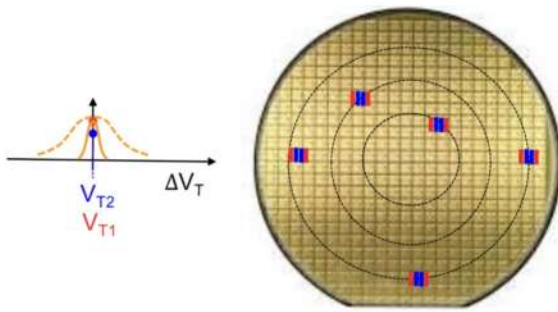


$$V_{T1} = \left( \frac{V_{T11} + V_{T12}}{2} \right)$$

$$V_{T2} = \left( \frac{V_{T21} + V_{T22}}{2} \right)$$

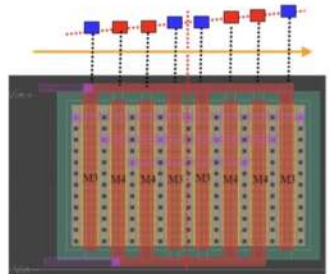
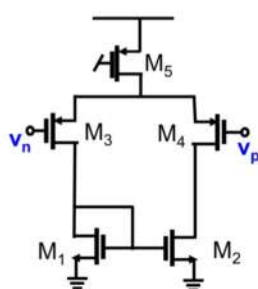
### COMMON CENTROID STRUCTURE

Se la variazione di VT è abbastanza lineare allora mettendo i mos in questo modo simmetrico risolviamo il sistema.



Grazie a questa tecnica lo spread della  $\Delta V_T$  è molto più piccolo rispetto a prima.

Come possiamo modellare questo spread intrinseco?



Systematic term cancelled to first order  
(linear gradient approximation)

Quando abbiamo eliminato gli errori sistematici abbiamo le fluttuazioni statistiche randomiche dello spessore dell'ossido.

Dividiamo il transistor in diverse piccole porci e prendiamo la  $V_T$  di queste, poi facciamo la media

$$\overline{V_{T3}} = \frac{V_{T3,1} + V_{T3,2} + \dots + V_{T3,N}}{N}$$

Facciamo la stessa cosa anche per l'etere MOS e calcoliamo la varianza.

$$\sigma^2[V_{T3} - V_{T4}] = \frac{\sigma^2[V_{T3,1}] + \dots + \sigma^2[V_{T3,N}]}{N^2} + \frac{\sigma^2[V_{T4,1}] + \dots + \sigma^2[V_{T4,N}]}{N^2} =$$

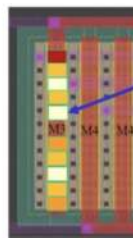
$$\frac{N}{N^2} \sigma^2[V_{Te}] = \frac{1}{N} \sigma^2[V_{Te}] \quad \text{Meno sono porci più grandi! 1/2}$$

Ma noi non sappiamo molti detti, ma non c'importa perché sappiamo che

$$N = WL/A_0$$

dove  $A_{VT}$  è un numero che dipende dal processo (ne lo dà la fonderia)

Questo numero si chiama numero di Pelgram.  $\sigma^2[V_{T3} - V_{T4}] = \frac{2A_0\sigma^2[V_{Te}]}{WL} = \frac{A_{VT}^2}{WL}$

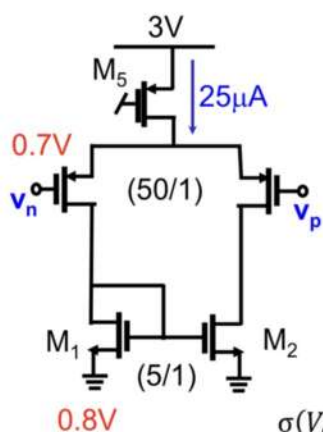


$$N = \frac{WL}{A_0}$$



Per sapere il valore di  $A_{VT}$  possiamo fare due misure della varianza e mettere su una retta, la pendenza della retta sarà  $A_{VT}$ .

### Esempio



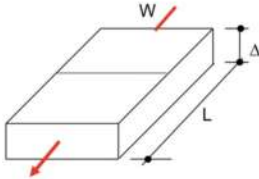
$$V_{OS} = \Delta V_{Tin} + \frac{V_{OVin}}{V_{OVM}} \Delta V_{TM}$$

$$\sigma(\Delta V_{Tin}) = \frac{15 \text{ mV } \mu\text{m}}{\sqrt{50 \mu\text{m}}} = 2.1 \text{ mV}$$

$$\sigma(\Delta V_{TM}) = \frac{10 \text{ mV } \mu\text{m}}{\sqrt{5 \mu\text{m}}} = 4.5 \text{ mV}$$

$$\sigma(V_{OS}) = \sqrt{(2.1)^2 + \left(\frac{10 \cdot 4.5}{92}\right)^2} \text{ mV} = \underline{5 \text{ mV}} \quad \text{Numero sbagliato}$$

Potremmo avere la stessa cosa della variabilità con le resistenze dei MOS.

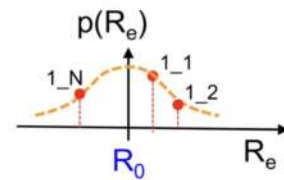
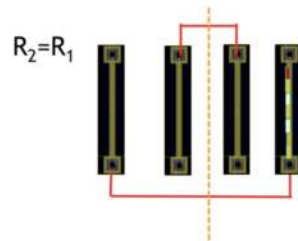


Device	Exp.	Target.	Units
Unsilicided N+ Active	113	115	Ohms/sq
Unsilicided N+ Poly	136	110	Ohms/sq
Silicided N+ Poly	10.18	10	Ohms/sq
HfPO resistor	0.99	1.0	KOhms/sq

$$R = \rho \frac{L}{A} = \rho \frac{L}{\Delta W} = R_{\square} \frac{L}{W}$$

$$\frac{\Delta R}{R} = \frac{\Delta R_{\square}}{R_{\square}} + \frac{\Delta L}{L} - \frac{\Delta W}{W}$$

negligible

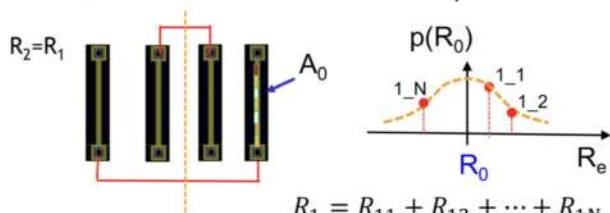


$$R_1 = R_{11} + R_{12} + \dots + R_{1N}$$

$$E[R_1] = N \cdot E[R_e] = N \cdot R_0$$

$$\sigma^2[R_1] = N \cdot \sigma^2[R_e]$$

Se vogliamo 2 resistenze uguali usiamo la tecnica del common centroid per eliminare i termini sistematici e rimanere con la variabilità statistica. Per cui come nel caso prima dobbiamo che:



$$E[R_1 - R_2] = 0$$

$$\frac{\sigma^2[\Delta R]}{R^2} = \frac{2N\sigma^2[R_e]}{N^2R_0^2} = \frac{2\sigma^2[R_e]}{NR_0^2}$$

$$\sigma^2[R_1 - R_2] = 2N\sigma^2[R_e]$$

La media è Ø perché abbiamo tolto gli errori sistematici e quindi la gaussiana è centrata in Ø.

Tuttavia a noi interessa la varianza, più in particolare la varianza relativa

$$\sigma^2[R_1 - R_2] = \sigma^2[\Delta R] = 2N\sigma^2[R_e]$$

$$E[R_1] = E[R_2] = R = NR_0$$

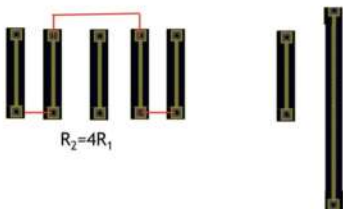
$$\frac{\sigma^2[\Delta R]}{R^2} = \frac{2N\sigma^2[R_e]}{N^2R_0^2} = \frac{2\sigma^2[R_e]}{NR_0^2} = \frac{2A_0\sigma^2[R_e]}{R_0^2} \cdot \frac{1}{WL}$$

$$\sigma^2[\Delta R/R] = \frac{K_R^2}{WL}$$

Abbiamo veduto visto come fare 2 resistenze uguali... ma se io volessi fare  $R_1 = 4R_2$  come faccio?

Potrei fare  $R_1$  4 volte più lungo di  $R_2$  ma non va bene perché i catetti hanno resistenza e semplicemente allungandola la resistenza quest'ora scende.

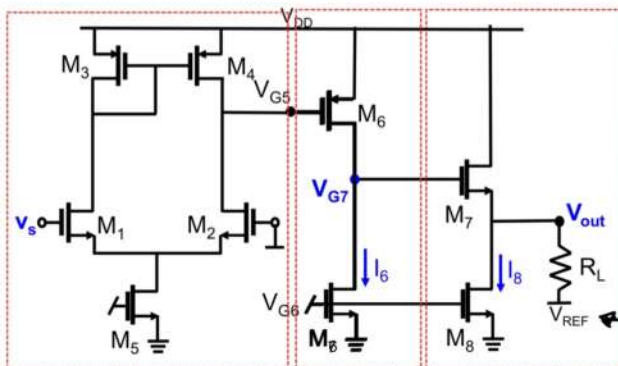
Allora posso sompicante fare 4 volte  $R_2$  e collegarle assieme



## Output stages

Per ora abbiamo visto tutte strutture OTA (cioè con grandi impedenze d'uscita) ma noi vorremo anche fare degli OPAMP.

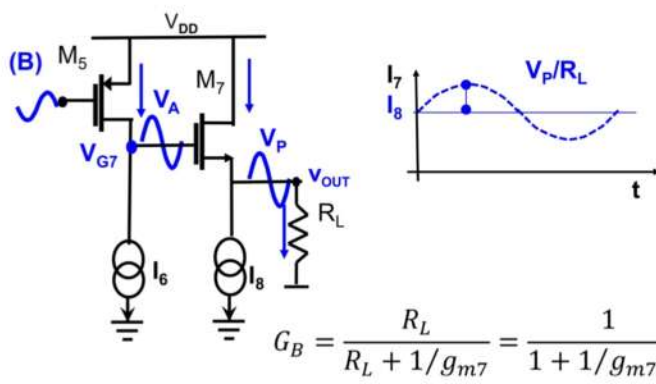
Tutte le volte che vogliamo controllare un output resistivo devo decappare i nodi ad alta impedenza dell'OTA dell'output con un buffer, sennò distruggiamo il gain. Però se ne mettiamo il buffer ebbiamo che questo aumenta di molto la potenza dissipata.



Questo è un esempio di OTA a 2 stadi con il 3° stadio che è un follower.

Vedremo adesso come dimensionare correttamente il circuito

1.5V visto che siamo a  $V_{DD} = 3V$  e GND perciò in DC c'è spettro zero  $V_{out} = 1.5V$  così da su  $R_L$  non passi corrente in DC.

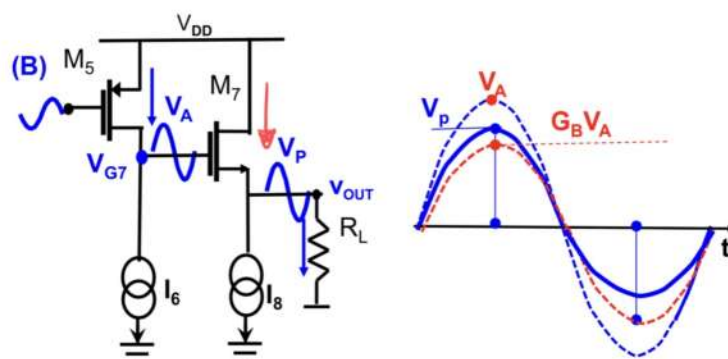


Nella teoria noi c'è spettro zero  $V_{out}$  nella pratica c'è una perdita perché il trasferimento non è 1:1  
Studiamo con Thévenin

Ricavo il guadagno è

$$G = \frac{R_L}{R_L + g_m R_L}$$

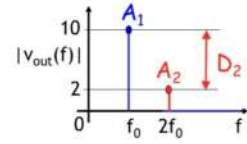
Il fatto che abbiano delle perdite significa che la forma del segnale d'uscita è uguale a quella d'ingresso ma con un picco più basso.  
Ma nella realtà il segnale al gate del mos d'uscita è in pratica quasi un grande segnale perciò noi dobbiamo studiare quello.



Se ho un grande segnale la corrente di  $M_7$  varia molto rispetto a  $I_8$  quindi ho che la transconduttanza di  $M_7$  cambia (se  $I$  cresce anche  $g_m$  cresce) allora ho che il guadagno è + vicino a 1 rispetto a quello calcolato prima. Perciò durante lo swing positivo ho che il picco è + alto di quanto stimato.

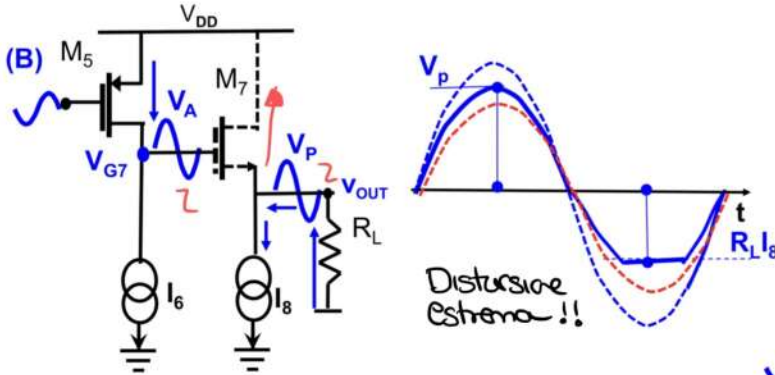
All'opposto durante lo swing negativo ho che la corrente  $\rightarrow g_m$  cala e quindi il picco è + basso. Non ho + quindi una sinusoida ma ho una distorsione armonica.

Possiamo chiamarla 2<sup>nd</sup> harmonic distortion perché è come la somma di sinusoidi che è visibile qui →



$$D_2 = 20 \log \left( \frac{A_2}{A_1} \right)$$

Esiste poi un ulteriore fattore di limitazione



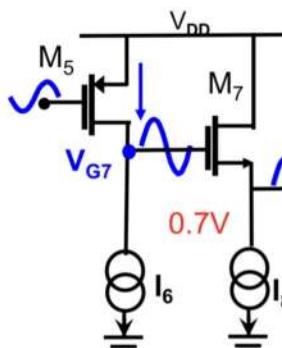
Se  $V_{out}$  si abbassa di potere allora una corrente scarica fun da  $R_L$  e va tutta su  $M_7$  (credo per  $y_{gm}$ ) allora dovo stare attento perché potere che  $M_7$  si sponga.

Consideriamo uno swing di tensione d'uscita di OVS

Allora se  $V_{out}$  scende di OVS rispetto a  $V_{ref}$  (15V) allora

$$I = \frac{OVS}{R_L} = 0.5mA \quad \text{questa corrente scarica su } M_7$$

Ricordi  $I_{M7}$  deve essere > di 0.5mA.



$$\text{Avoiding clipping} \quad I_8 \geq \frac{0.5V}{1k\Omega} = 0.5mA$$

Limiting distortion

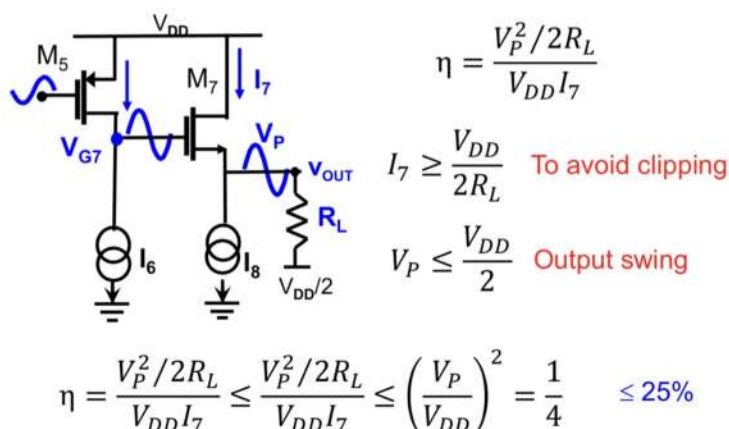
$$\left(\frac{W}{L}\right)_7 = \frac{I_8}{k'V_{ov7}^2} = 1000$$

Performance cost: area, power

La minima tensione di posizionamento a  $V_{out}$  è  $R_L I_8$  (con  $M_7$  spento)  
Capiamo quindi che il buffer sembra tanto facile ma tanto facile non è...

### Power efficiency

Definita come potenza di caccia fritto  
potenza presa dal generatore  
(Power efficiency solo dello stadio finale)



$$\eta = \frac{V_P^2 / 2R_L}{V_{DD} I_7}$$

$$I_7 \geq \frac{V_{DD}}{2R_L} \quad \text{To avoid clipping}$$

$$V_P \leq \frac{V_{DD}}{2} \quad \text{Output swing}$$

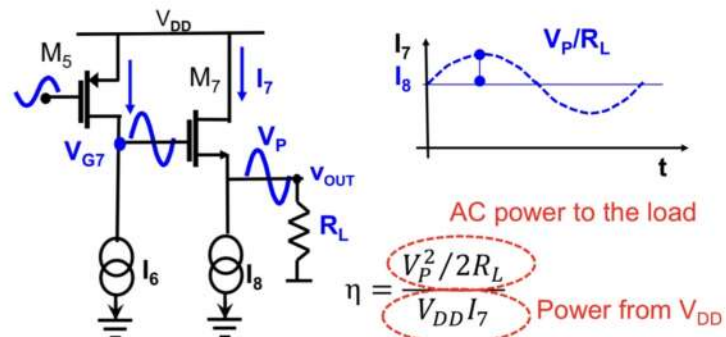
$$\eta = \frac{V_P^2 / 2R_L}{V_{DD} I_7} \leq \frac{V_P^2 / 2R_L}{V_{DD} I_7} \leq \left( \frac{V_P}{V_{DD}} \right)^2 = \frac{1}{4} \leq 25\%$$

Il problema principale è che abbiamo sempre corrente di scarico. Dovremo trovare un modo per avere un follower senza corrente.

L'idea è togliere il gen di corrente

Come nel circuito vediamo che in DC  $M_7$  è spento per cui ho  $V_A = V_S = 15V$ . solo quando  $V_A$  è  $15 + V_T$  allora ho che si comporta da follower.

Inoltre ho che funziona solo nello swing positivo e che visto che si attiva solo con tensioni  $\geq V_T$  allora ho delle distorsioni.



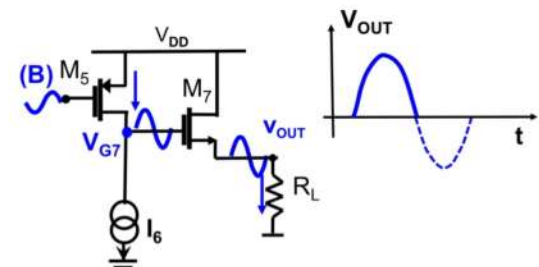
How much power do we really deliver to the load ?

Vediamo quindi che lo stage d'uscita in classe A è abbastanza terribile

Most of the power dissipated across output transistors !!!

Current flowing through the stage even in stand-by

che cosa fare per avere un follower senza corrente



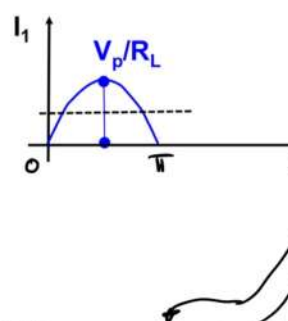
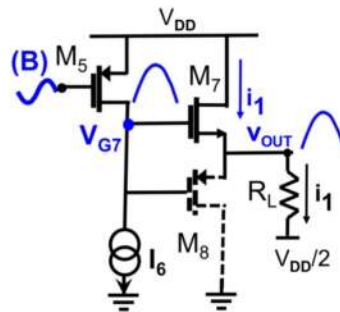
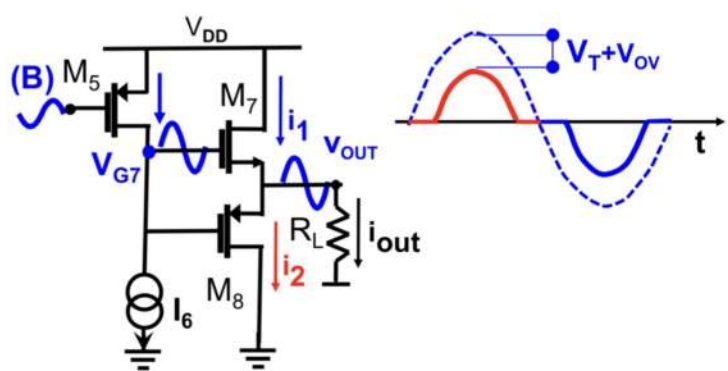
Let's remove the DC current

Active during the positive swing

Per risolvere lo swing negativo facciamo

Ma abbiamo ancora dei problemi: perché  
il valore dell'output è 0 quando  $V_{G7} < \pm V_T$   
il vantaggio è che non consumiamo  
corrente per niente, ma abbiamo molto  
distorsione.

Calcoliamo l'efficienza del sistema:



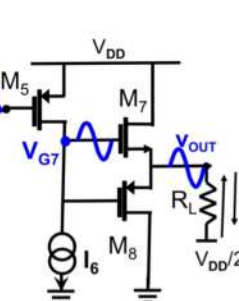
$$\bar{i}_1 = \frac{V_p}{R_L} \cdot \frac{1}{\pi} \int_0^{\pi} \sin(\theta) d\theta = \frac{2V_p}{\pi R_L}$$

$$\bar{P}_d = \frac{V_{DD}}{2} \cdot \frac{2V_p}{\pi R_L}$$

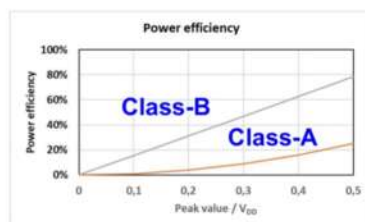
Perciò abbiamo che l'efficienza del circuito  
è:

(Nota la potenza dissipata è sempre  $P_d$  e  
non  $2P_d$  perché non ho lo swing positivo e  
negativo assieme)

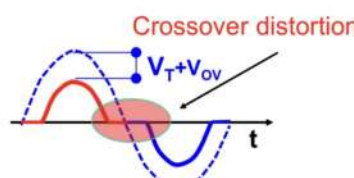
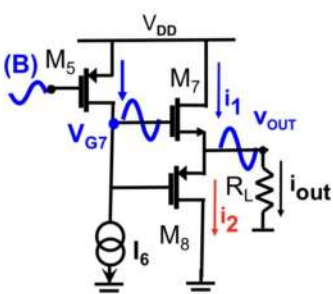
Vediamo che l'efficienza si avvicina al 78%



$$\eta = \frac{\frac{V_p^2}{2R_L}}{\frac{V_{DD}}{2} \cdot \frac{2V_p}{\pi R_L}} = \frac{\pi}{2} \frac{V_p}{V_{DD}} \leq \frac{\pi}{4}$$



La distorsione è però rilevante e va calcolata.



La distorsione di crossover ci dà  
un 3<sup>rd</sup> order harmonic distortion.  
Questa è di 3<sup>a</sup> armonica perché:

Potrei scrivere la corrente M7 come somma  
di Fourier, anche M8 (durante lo swing  
negativo) sarà uguale ma shiftata di  
mezzo periodo.

Se mi shifti di  $\Delta\phi = \omega T/2 = \frac{2\pi}{T} \cdot \frac{T}{2} = \pi$

Perciò la 1<sup>a</sup> armonica sarà shiftata di  $\pi$ .

Per la 2<sup>a</sup> armonica  $\Delta\phi_2 = 2\omega T/2 = 2 \cdot \frac{2\pi}{T} \cdot \frac{T}{2} = 2\pi$

Per la 3<sup>a</sup> armonica  $\Delta\phi_3 = 3\omega T/2 = 3 \cdot \frac{2\pi}{T} \cdot \frac{T}{2} = 3\pi$

Perciò

$$i_1 = A_1 + A_2 \sin(\omega t + \varphi_1) + A_2 \sin(2\omega t + \varphi_2) + A_3 \sin(3\omega t + \varphi_3) + \dots$$

$$i_2 = i_1 \left( t - \frac{T}{2} \right)$$

$$= A_1 + A_2 \sin(\omega t + \varphi_1 + \pi) + A_2 \sin(2\omega t + \varphi_2 + 2\pi) + A_3 \sin(3\omega t + \varphi_3 + 3\pi) + \dots$$

$$i_2 = A_1 - A_2 \sin(\omega t + \varphi_1) + A_2 \sin(2\omega t + \varphi_2) - A_3 \sin(3\omega t + \varphi_3) + \dots$$

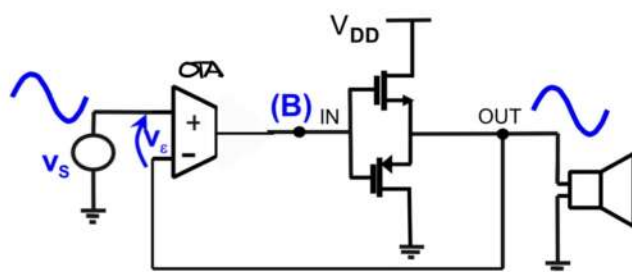
la corrente totale è:

$$i_{out} = i_1 - i_2 = 2A_2 \sin(\omega t + \varphi_1) + 2A_3 \sin(3\omega t + \varphi_3) + \dots$$

Vediamo che ci  
rimangono solo  
armoni distorsi.

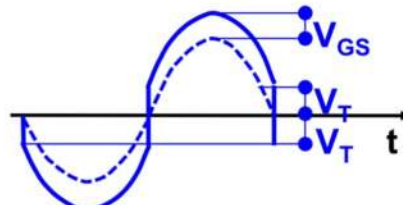
Nella realtà potremo avere armoniche di 2° ordine se i 2 transistor non sono perfettamente matched.

Nella realtà questi circuiti non sono belli per riduzione in circuito aperto ma bensì in feedback, quindi dobbiamo fare conto della distorsione in feedback.

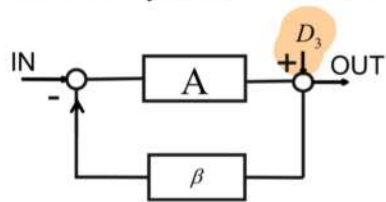


Seppurmo che se il guadagno è molto alto allora  $V_e \rightarrow 0$ , il che significa che non avrei avere distorsione.

Perciò se voglio l'output = input allora la tensione di nodo B deve essere



Noi siamo in un sistema a feedback e stiamo aggiungendo una distorsione allora posso vedere il circuito come



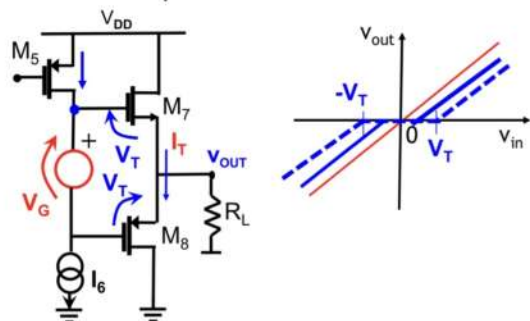
Allora da automatica seppurmo che la distorsione in uscita si può scrivere come

$$D_{3,out} = \frac{D_3}{1 + \beta A}$$

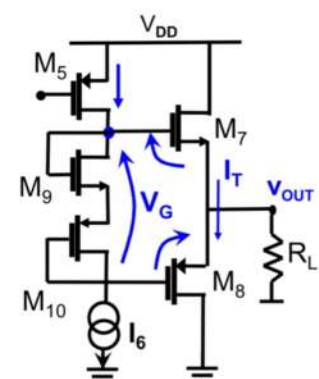
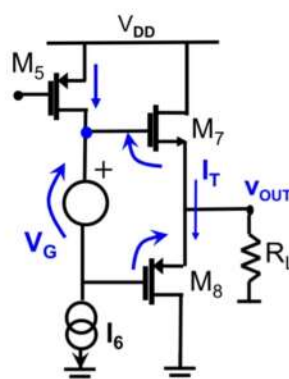
$$D_{3,out} = -\beta A D_{3,out} + D_3$$

$$D_{3,out} = \frac{D_3}{1 + \beta A}$$

Come possiamo fare sì di ridurre queste distorsioni?



Mettiamo una tensione  $V_a$  tra i 2 transistor in modo da tenerli + vicini alla conduttanza così la zonazione risultata più piccola.



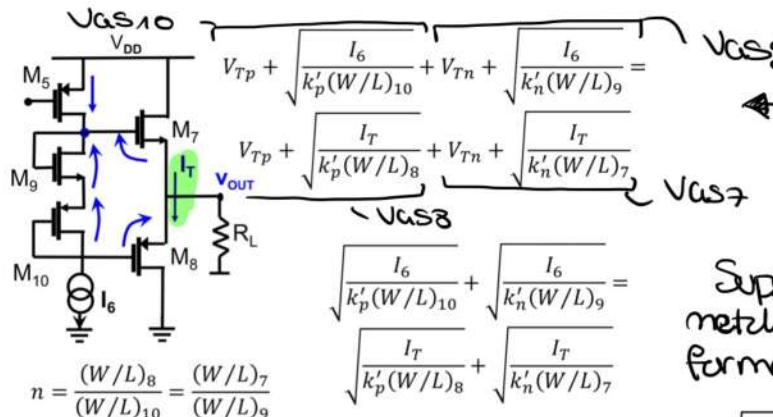
Se metto 2 transistors ho che ho i 2 mos M7 e M8 praticamente sul limite della conduttanza.

Tuttavia abbiamo degli svantaggi, il fatto che sono vicini alla conduttanza farsi che c'è un consumo di corrente continua e questo fa sì che il circuito sia meno efficiente (per questo si chiama studio AB).

Un'altra cosa di cui daremmo altre attenzioni è che lo shift di tensione sia preciso ed è per questo che mettiamo 2 Mosfettransistori e non solo 1 perché con solo 1 sarei che la tensione dipende da  $V_T$  (non buono).

Al coltello con 2 transistors faccio sì che M7 e M8 siano sempre matched.

Vogliamo che lo shift sia preciso perché se non la corrente consumata potrebbe essere molto alta.



$V_{GS10} = V_{DD}$

$$V_{TP} + \sqrt{\frac{I_6}{k'_p(W/L)_{10}}} + V_{Tn} + \sqrt{\frac{I_6}{k'_n(W/L)_9}} = V_{GS7}$$

è il bilanciamento delle tensioni  
vediamo che la direzione da  $V_T$   
vive cancellata

Supponiamo zessso che tra i 2 transistori mettiamo ci sia una differenza di fattore di forma  $n$ , allora

$$\sqrt{\frac{I_6}{k'_p(W/L)_{10}}} + \sqrt{\frac{I_6}{k'_n(W/L)_9}} = \sqrt{\frac{I_T}{k'_p(W/L)_8}} + \sqrt{\frac{I_T}{k'_n(W/L)_7}}$$

$$\sqrt{\frac{I_6}{I_T}} = \frac{\sqrt{\frac{1}{k'_p(W/L)_8}} + \sqrt{\frac{1}{k'_n(W/L)_7}}}{\sqrt{\frac{1}{k'_p(W/L)_{10}}} + \sqrt{\frac{1}{k'_n(W/L)_9}}} = \sqrt{n}$$

Only depending on geometric ratio

$$n = \frac{(W/L)_8}{(W/L)_{10}} = \frac{(W/L)_7}{(W/L)_9} \quad \frac{I_6}{I_T} = n$$

vediamo che il rapporto tra le 2 correnti è dato solo dalla geometric ratio.

Attenzione se  $n=1$  allora  $I_T=I_6$   
(non buono)

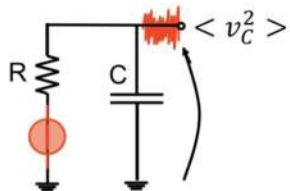
Ricordiamo poi che i fattori di forma dei MOS d'uscita sono molto grandi.

16.11.2021

lezione

2h

Novo argomento!!! Rumore e rumore  
Modelli del rumore



Ludwig Boltzmann  
(1844 - 1906)

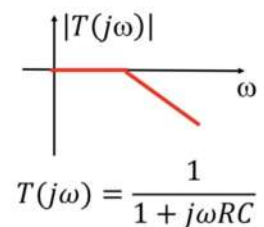
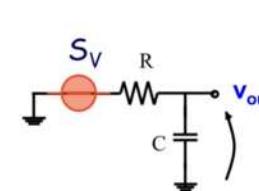
$$\frac{1}{2}C < v_C^2 > = \frac{kT}{2}$$

$$< v_C^2 > = \frac{kT}{C}$$

$$\frac{1}{2}C < v_C^2 > = \frac{KT}{2}$$

Per sottrarre da il rumore è limitato in banda allora possiamo mettere un condensatore in parallelo a  $R$ .

L'energia media immagazzinata nella capacità è



Ma zessso vogliamo vedere come ricavare la Power spectral density

Cioè vogliamo calcolare "il valore medio della tensione ai capi del condensatore.

(In pratica c'è un portatore di tensione per il valore spettrale del rumore  $[SV]$ )

Ma supponiamo lo spettro costante e otteniamo che

$$< v_C^2 > = W \int_0^{+\infty} |T(j\omega)|^2 df = W \int_0^{+\infty} \frac{df}{1 + \omega^2 R^2 C^2} = W \cdot \frac{1}{4RC}$$

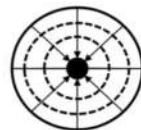
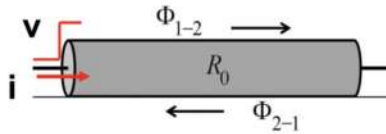
$$< v_C^2 > = \int_0^{+\infty} S_V(\omega) |T(j\omega)|^2 df$$

Allora abbiamo 2 eq per  $< v_C^2 >$  allora le ugualiamo e ricaviamo da

$$< v_C^2 > = \frac{KT}{C} = W \cdot \frac{1}{4RC} \rightarrow W = 4KTR$$

## Esperimento di Nyquist

Consideriamo 2 resistori  $R_0$  idetici e li collegiamo tramite un cavo coassiale.



$$\frac{\partial^2 v(x,t)}{\partial x^2} = \frac{1}{c^2} \cdot \frac{\partial^2 v(x,t)}{\partial t^2}$$

$$\frac{\partial^2 i(x,t)}{\partial x^2} = \frac{1}{c^2} \cdot \frac{\partial^2 i(x,t)}{\partial t^2}$$

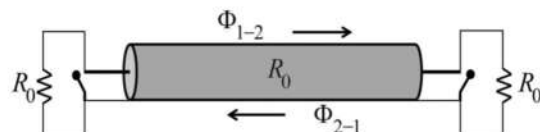
Possiamo vedere il cavo come una serie di induttori e condensatori.

$$i(x+\Delta x, s) = i(x, s) - v(x, s) C' \Delta x$$

(Per la tensione ho una formula simile)

Allora lavorando queste equazioni ricevo queste

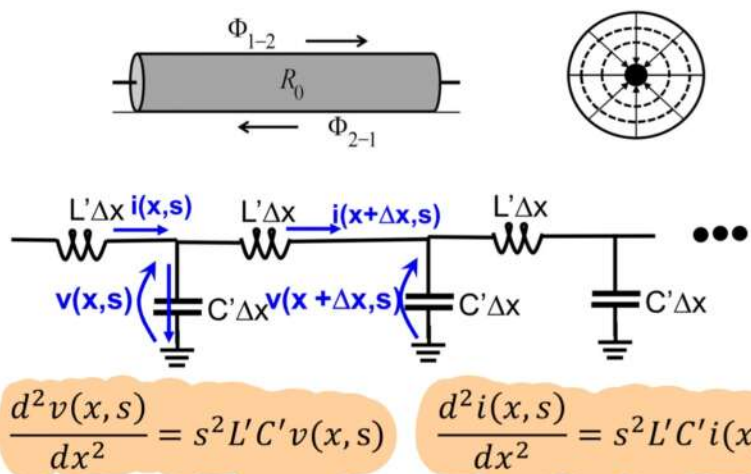
## Resistori in equilibrio



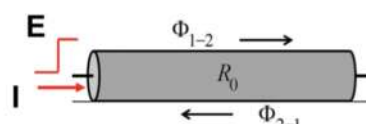
Harry Nyquist  
(1889 - 1976)

Abbiamo 2 funzioni differenziali: una per la corrente e una per la tensione.

## Propagazione in un cavo coassiale



Un'altra cosa rilevante è che se poniamo il cavo coassiale con un'onda quadra che si propaggerà nel cavo a velocità finita data dalla velocità della luce. Stessa cosa per la corrente solo che questa sarà diversa per  $R_0$  che lo chiamo la resistenza caratteristica del cavo coassiale.



$$v(x,t) = E \cdot 1(x - ct) \quad i(x, t) = E \cdot \sqrt{\frac{C'}{L'}} \cdot 1(x - ct)$$

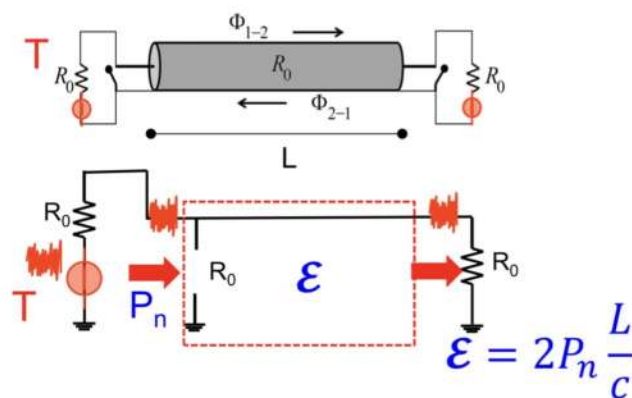
$$c = \frac{1}{\sqrt{L' C'}} = \frac{1}{\sqrt{\mu \epsilon}}$$

$$R_0 = \sqrt{\frac{L'}{C'}}$$

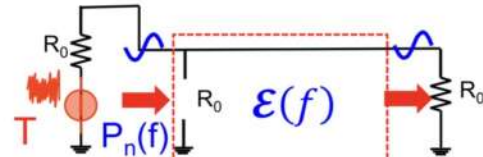
Propagation velocity

Characteristic impedance

Se tutto è matchato questo sistema lo posso vedere come un sistema con solo 2 resistenze. Metà del rumore totale è dato dalla resistenza a destra del cavo e metà da quella a sinistra (in caso di match).



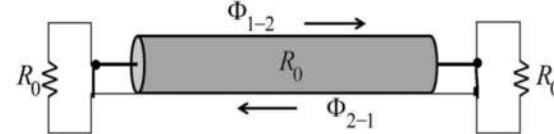
Però l'energia E nel cavo coassiale è data da 2 volte più perché ho 2 resistori per il tempo che sta questa potenza a passare nel cavo ( $\frac{1}{2}c$ ). Questa formula può anche essere scritta per una specifica banda, questo succede perché il sistema è sicuramente lineare e quindi posso scrivere lo stesso esponente per tutte le frequenze.



$$E(f) = 2P_n(f) \frac{L}{c}$$

## Energia intrappolata nel cavo

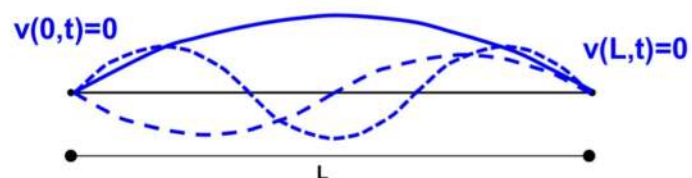
ho dell'energia che scorre nel cavo a velocità finita perché se io in un istante cortocircuito le 2 parti ho dell'energia intrappolata nel cavo.  
Quale saranno le forme della tensione e della corrente nel cavo?  
Posso sapere la forma della tensione perché queste due segnano l'equazione d'onda e perciò ho imposto che i 2 estremi si trovino a tensione uguale (quindi Ø ma co dico uguali)



$$\frac{\partial^2 v(x, t)}{\partial x^2} = \frac{1}{c^2} \cdot \frac{\partial^2 v(x, t)}{\partial t^2}$$

Per avere le soluzioni all'equazione d'onda noi abbiamo:

$$\frac{\partial^2 v(x, t)}{\partial x^2} = \frac{1}{c^2} \cdot \frac{\partial^2 v(x, t)}{\partial t^2}$$



$v(x, t) = X(x)T(t)$  → supponiamo variabili separabili

$$T(t) \frac{d^2 X(x)}{dx^2} = \frac{1}{c^2} X(x) \frac{d^2 T(t)}{dt^2}$$

$$\frac{1}{T(t)} \frac{d^2 T(t)}{dt^2} = c^2 \cdot \frac{1}{X(x)} \frac{d^2 X(x)}{dx^2} = -\omega^2$$

$$k = \frac{\omega}{c}$$

$$\frac{1}{T(t)} \frac{d^2 T(t)}{dt^2} = c^2 \cdot \frac{1}{X(x)} \frac{d^2 X(x)}{dx^2} = -\omega^2$$

$$T(t)X(x) = [A \sin(kx) + B \cos(kx)] \cdot \sin(\omega t + \theta)$$

Non mi è del tutto chiaro di come  
l'onda risuona

$$\begin{cases} v(0,t)=0 \\ v(L,t)=0 \end{cases}$$

$$\text{B=0} \quad \sin(kL)=0 \quad kL = \frac{2\pi}{\lambda_m} L = m\pi$$

$$\lambda_m = \frac{2L}{m} = 2L, L, \frac{2}{3}L \dots$$

Ho queste condizioni di bordo

perciò da queste ricavano le lunghezze d'onda  
che sono soluzioni alla nostra equazione

Perciò ogni volta che cortocircuitiamo il cavo abbiamo che le onde dentro sono spaziate della stessa quantità pari a  $c/2L$ .

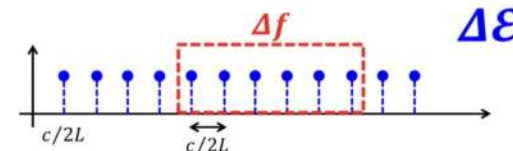
Ma quale sarà la distribuzione di queste energie in frequenza?

Da Boltzmann so che per ogni modo in frequenza ho de l'energia e detta  $kT$

Allora se voglio calcolare l'energia in una determinata banda faccio:

- 1) Prendo la banda e la divido per il n° di modi che sono soluzioni dell'eq d'onda
- 2) moltiplico per  $kT$

$$\Delta E = \frac{\Delta f}{c/2L} \cdot kT = \frac{2L}{c} \Delta f \cdot kT$$

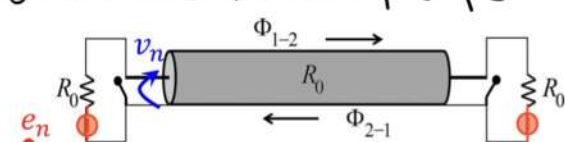


Adesso dobbiamo fare la stessa cosa con i gerarchi di rumore per poi egualare le 2 equazioni e ottenere la PSD.

Velocità media del rumore  $\bar{v}_n$

Perciò capiamo che

$$\frac{e_n^2}{2} = S_n \Delta f \rightarrow e_n^2 = 2 S_n \Delta f \quad \text{e ricaviamo}$$



$$v_n = \frac{e_n}{2} \quad P_n = \frac{1}{2R_0} \left( \frac{e_n}{2} \right)^2 = \frac{e_n^2}{8R_0}$$

$$\langle n^2(t) \rangle = \frac{e_n^2}{2} \rightarrow S_v \Delta f$$

$$\Delta P_n \rightarrow \frac{S_v \Delta f}{4R_0}$$

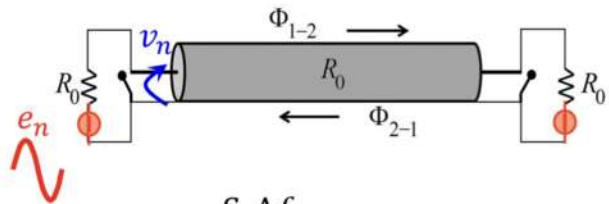
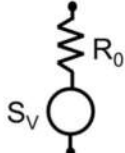
L'energia intrappolata dal cavo sarà quindi:

Perciò poi possiamo scrivere che la PSD è calcolabile come:

$$\Delta E = \frac{S_v \Delta f}{2R_0} \cdot \frac{L}{c}$$

$$\Delta E = \frac{2L}{c} \Delta f \cdot kT$$

$$S_v = 4kTR_0$$

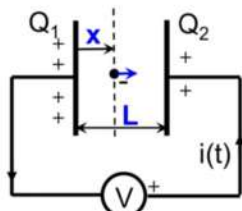


$$\Delta P_n \rightarrow \frac{S_v \Delta f}{4R_0}$$

$$\Delta E = 2 \cdot \Delta P_n \cdot \frac{L}{c} = 2 \cdot \frac{S_v \Delta f}{4R_0} \cdot \frac{L}{c}$$

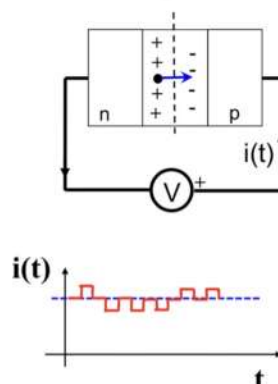
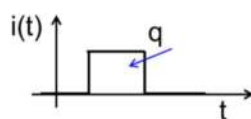
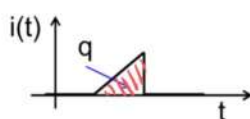
Shot Noise Deriva dalla granularità della carica che si muove su di una barriera di potenziale.

Per ricavare la PSD di questo rumore dobbiamo fare delle approssimazioni:



$$Q_1 = q \frac{L-x}{L} \quad Q_2 = q \frac{x}{L}$$

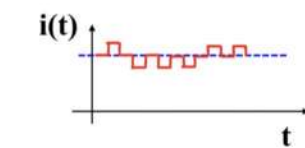
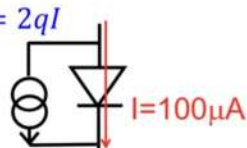
$$i = \frac{dQ_2}{dt} = \frac{q}{L} \cdot \frac{dx}{dt} = \frac{q}{L} \cdot v(x)$$



$$\lambda = \frac{I}{T}$$

$$I = 100 \mu\text{A}$$

$$\lambda = 6.25 \cdot 10^{14} \text{ el./s}$$



Quando un elettrone si sposta dalla zona n alla zona p lascia nella zona p un buco di carica positiva per a q, quando l'elettrone emerse nella

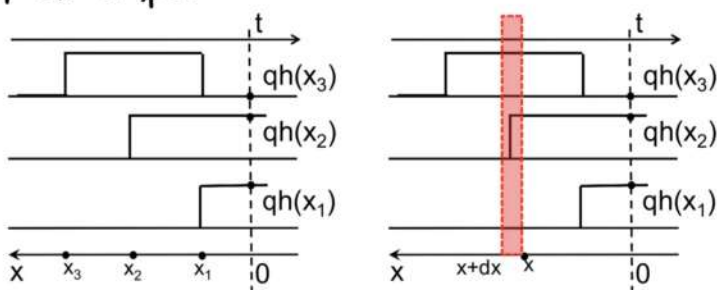
zona p allora ottinerà una carica positiva e quindi la zona p sarà caricata a +q. Cosa importantissima da ricordare è che la carica indotta dipende da dove sono gli elettroni (la zona n andrà da +q a 0 quando l'elettrone se ne va e nella zona p va da 0 a +q quando l'elettrone arriva).

Possiamo dire che la corrente quando ha due cariche che si muovono tra i elettrodi è:

$$i = \frac{q}{L} \cdot v(x)$$

Perciò capiamo che per ogni carica ho un impulso di corrente e l'integrale di questo impulso sarà la carica.

Allora la corrente in ogni punto nel tempo ha di la corrente è una somma di questi impulsi



$$i(t) = qh(x_1) + qh(x_2) + \dots$$

nel continuo

$$\langle i(t) \rangle = q \lambda \int_0^{+\infty} h(x) dx = q \lambda$$

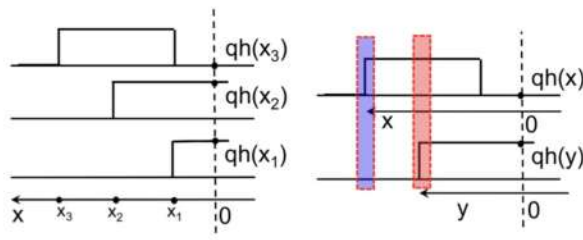
Per un valore di corrente I noi sappiamo questi elettroni zabbiamo e quindi possiamo sapere quanti impulsi ci sono in quel Δ di tempo.

$$\lambda = \text{elettri al secondo}$$

L'integrale è 1 perché non è l'impulso normalizzato al tempo x.

← la corrente parco è questa.

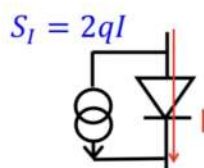
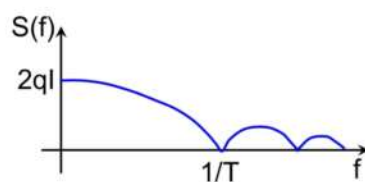
Quale sarà l'averagine square value della corrente?



$$\begin{aligned} \langle i^2(t) \rangle &= q^2 \lambda \int_0^{+\infty} h^2(x) dx + \int_0^{+\infty} q\lambda h(x) dx \cdot \int_0^{+\infty} q\lambda h(x) dx \\ \langle i^2(t) \rangle &= q^2 \lambda \int_0^{+\infty} h^2(x) dx + (q\lambda)^2 = q^2 \lambda \int_0^{+\infty} h^2(x) dx + (\langle i(t) \rangle)^2 \\ \langle i^2(t) \rangle - (\langle i(t) \rangle)^2 &= \sigma_I^2 = q^2 \lambda \int_0^{+\infty} h^2(x) dx \end{aligned}$$

$$\begin{aligned} \langle i^2(t) \rangle &= [qh(x_1) + qh(x_2) + \dots]^2 = \\ &= q^2 h^2(x_1) + q^2 h^2(x_2) + \dots + q^2 h(x_1)h(x_2) + q^2 h(x_2)h(x_1) + \dots \\ \langle i^2(t) \rangle &= q^2 \lambda \int_0^{+\infty} h^2(x) dx + \int_0^{+\infty} q\lambda h(x) dx \cdot \int_0^{+\infty} q\lambda h(y) dy \end{aligned}$$

$$\sigma_I^2 = q^2 \lambda \int_0^{+\infty} h^2(x) dx = \frac{q^2 \lambda}{2\pi} \int_{-\infty}^{+\infty} |H(\omega)|^2 d\omega = 2q^2 \lambda \int_0^{+\infty} |H(f)|^2 df$$



Noi lavoriamo tipicamente molto vicino al picco per questo noi approssimiamo la power spectral density con  $2qI$ .

$$\begin{aligned} \sigma_I^2 &= 2q^2 \lambda \int_0^{+\infty} |H(f)|^2 df = 2qI \int_0^{+\infty} |H(f)|^2 df \\ \sigma_I^2 &= \int_0^{+\infty} S_I(f) df \quad S_I(f) = 2qI |H(f)|^2 \end{aligned}$$

è la formula della Power Spectral Density.

è ad effissime frequenze

19.11.2021

2h

Quando abbiamo calcolato il rumore a capo del MOS abbiamo detto che:



$$S_I = \frac{4kT}{R_{on}} \quad \text{dove } R_{on} = \frac{1}{g_m}$$

Ma questo avviene in strong inversion, ma cosa succede in weak inversion? Seppiamo che in weak inversion gli elettroni saltano nel canale e si diffondono nel canale, infatti la corrente in weak inversion è circa una corrente di diffusione. Visto che gli elettroni saltano una barriera di potenziale allora posso vedere il rumore come quello della shot noise (e come un dodo).

$S = 2qID$  allora vogliamo scrivere questa ea in modo simile all'altra.

Seppiamo che in weak inversion  $g_m = \frac{I_{DS}}{nV_{th}}$ , perciò

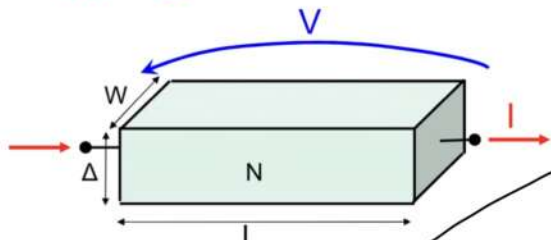
$$S = 2q \frac{ID}{nV_{th}} \cdot nV_{th} = 2q \frac{KT}{q} n g_m = 4kT \frac{n}{2} g_m \quad \text{Sarà il nostro nuovo } \delta$$

Allora il rumore del transistor sarà sempre



$S_I$  ... mi manca un pezzo

## Trapping noise



$$I = \frac{V}{R} = q\mu n \frac{W\Delta}{L} V = q\mu \frac{N}{L^2} V$$

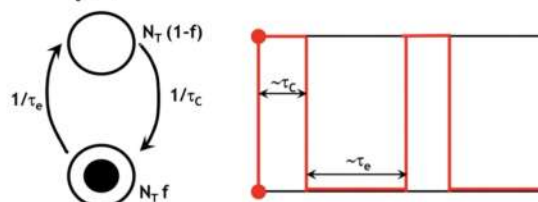
Vediamo il caso di un resistore  
Iniziamo a scrivere la formula della corrente.

Moltiplichiamo numeratore e denominatore per  $L$   
Così ho che

$$nWL = N$$

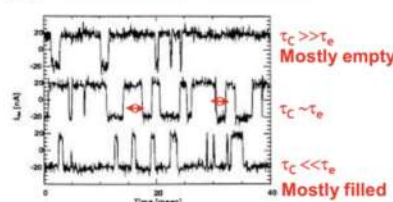
con  $n$  electron density e  $N$  numero elettroni nel conduttore.

In un semiconduttore vediamo delle impurità che possono presi da un elettrone da paura per lui sia intrappolato e si blocca lì per un po' e dopo un po' possono essere rilasciati.  
Questo significa che la corrente può fluttuare, questo tipo di rumore si chiama anche pop-corn noise.



$$\frac{N_T f}{\tau_e} = \frac{N_T (1-f)}{\tau_c}$$

$$\frac{\tau_c}{\tau_e} = \frac{(1-f)}{f}$$



Quando l'elettrone viene bloccato non ha corrente

$\tau_e$ : è la sorgente emissione time cioè il tempo medio prima che l'elettrone venga rilasciato

$1/\tau_e$  mi dà l'emissione rate.

$\tau_c$ : è la sorgente captazione e durata  
 $1/\tau_c$  mi dà il capture rate.

In equilibrio il numero di emissioni deve essere = al numero di capture

Perciò  $= \frac{N_T \cdot f}{\tau_e}$  —  $f$  è la distribuzione di fermi e  $N_T$  è la densità dei difetti (?)  
per moltiplicarmi tutto per l'emissione rate

$$= \frac{N_T (1-f)}{\tau_c}$$

cioè deve essere uguale a 1 capture events.

1 - probabilità di fermi perché voglio sapere se quel livello è libero o no

Ricavo quindi che

$$\frac{\tau_c}{\tau_e} = \frac{(1-f)}{f}$$

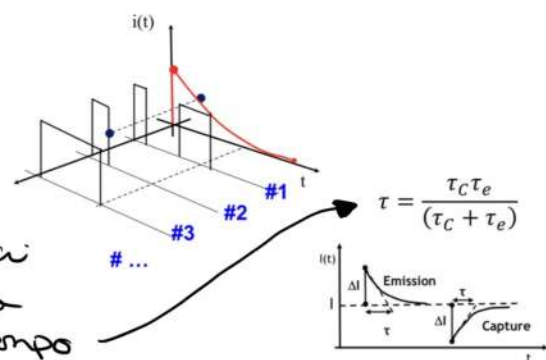
perciò se sono vicino al livello di fermi (che ha  $f=1/2$ ) allora  $\tau_c \approx \tau_e$

mentre se sono lontano dal livello di fermi ho lo stato principalmente vuoto e quindi ho che i livelli sono circa tutti liberi e quindi  $\tau_c \gg \tau_e$ , al contrario sotto al livello di fermi ho che  $\tau_e \gg \tau_c$ .

Capremo che i livelli che hanno più cambiamenti di stato (+ rumore) sono quelli + vicini al livello di Fermi.

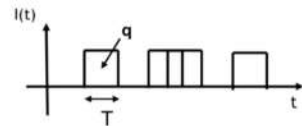
Cosa accade in media in questa fluttuazione di corrente? Supponiamo di avere infiniti resistori da studiare, e studiamo cosa

succede alla corrente. Se facciamo la media tra tutti questi resistori partendo dalle stesse condizioni al centro otengo di vedere che la corrente circa di tenere al suo valore base con costante di tempo

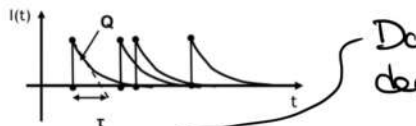


Perciò la corrente che s'ottiene nel resistore possiamo vedersela come somma di esponenziali decrescenti con costante di tempo  $\tau$  che corrispondono all'assorbimento o all'emissione.

Dobbiamo adesso definire la Power Spectral Density. Dovrebbe essere facile perché abbiamo già studiato la shot noise.



$$S_I = 2\lambda q^2 |H(\omega)|^2$$



Dove  $Q$  è l'integrale dell'esponenziale decrescente.

$$S_I = 2\lambda_e Q^2 |H(\omega)|^2$$

emission rate

$$h(t) = \frac{1}{\tau} e^{-t/\tau}$$

$$I = \frac{V}{R} = q\mu n \frac{W\Delta}{L} V = q\mu \frac{N}{L^2} V$$

$$\frac{\Delta I}{I} = \frac{\Delta N}{N} \quad \Delta N = 1 \quad Q = \Delta I \cdot \tau = \frac{I}{N} \cdot \tau$$

Noi sappiamo che la trasformata di Fourier è:

$$|H(\omega)| = \frac{1}{1+j\omega\tau}$$

Allora posso scrivere la PSD come

$$SI = 2Q^2 \lambda_e \frac{1}{1+\omega^2\tau^2} + 2Q^2 \lambda_c \frac{1}{1+\omega^2\tau^2}$$

Perciò abbiamo anche i capture events.

$$= 2Q^2 (\lambda_e + \lambda_c) \cdot \frac{1}{1+\omega^2\tau^2}$$

Noi sappiamo che  $\lambda_c = \lambda_e = \lambda$

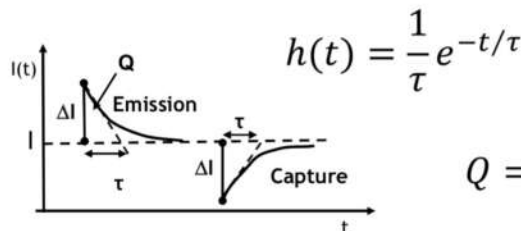
Per questo riguarda  $Q$  sappiamo che è l'area della curva, ma per separare l'area ci sono il current step

$$Q = \tau dI$$

Per separare lo step di corrente siamo fortunati perché abbiamo già scritto  $I$  in funzione di  $N$  perciò  $\frac{\Delta I}{I} = \frac{\Delta N}{N}$

Noi vediamo una singola variazione di un elettrone per cui  $\Delta N = 1 \rightarrow \Delta I = \frac{I}{N}$

Perciò:

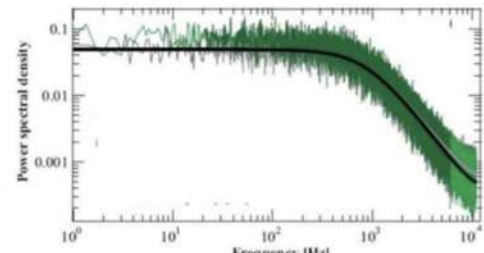


$$Q = \Delta I \cdot \tau = \frac{I}{N} \cdot \tau$$

$$S_I = 2(\lambda_e + \lambda_c) Q^2 |H(\omega)|^2 = 4\lambda \tau^2 \left( \frac{I}{N} \right)^2 \left| \frac{1}{1+j\omega\tau} \right|^2$$

Se studiamo la PSD di una resistenza vediamo che ha un andamento simile a quello basso.

Perciò il rumore ha una lorentzian shape.



Noi sappiamo che l'mission e capture range sono uguali e sono:

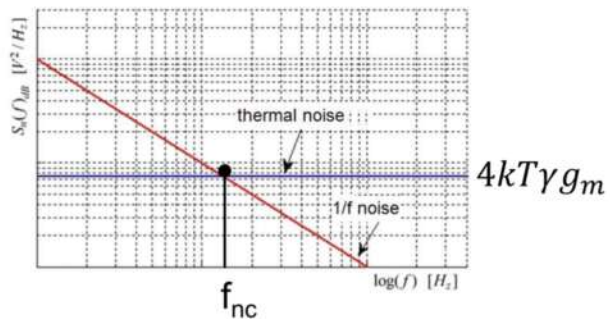
$$\lambda = \beta \frac{NT}{\tau}$$

Noi scegliamo di notare  $\tau$  al denominatore e del riceviamo il numeratore che è proporzionale a  $NT$  (number of traps)

Dove  $\beta$  è un coefficiente di cui non sappiamo niente. Perciò:

$$S_I = uBNT \left(\frac{I}{N}\right)^2 \frac{\tau}{1 + \omega^2 \tau^2}$$

Per meglio sappiamo che al first level abbiamo che  $\beta = 1/u$



Noise corner frequency

Può succedere che i portatori saltino anche dentro l'ossido e ciò fa sì che quel portatore non contribuisca più alla corrente.

Se vediamo quanto tempo media ci mette un portatore ad essere bloccato nell'ossido dipende dalla distanza del difetto dall'interfaccia e il tempo dipende esponenzialmente dalla distanza, inoltre dipende anche da  $\phi$  cioè l'energy barrier.

$$\tau(x) = \tau_0 e^{\gamma x}$$

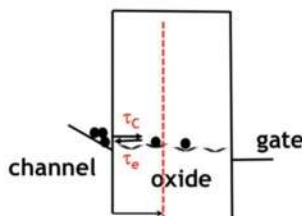
$\tau_0$  ← Trap  
10nm  
ossido /  
INTERFACCIA

Anche se abbiamo lo stesso tipo di trap abbiamo comunque una distribuzione di valori perché

$$S_I = 4\beta N_T \left(\frac{I}{N}\right)^2 \frac{\tau}{1 + \omega^2 \tau^2} \quad \text{Non è una costante ma è una distribuzione}$$

Perciò possiamo estendere la trapping noise ed un transistor finito

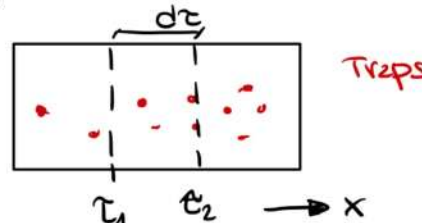
$$S_I = N_T \left(\frac{I}{N}\right)^2 \frac{\tau}{1 + \omega^2 \tau^2}$$



$N_T$  - Total traps into the oxide

$$S_I = \left(\frac{I}{N}\right)^2 \int_{\tau_0}^{\tau_{max}} N_T f(\tau) d\tau \frac{\tau}{1 + \omega^2 \tau^2}$$

Prendiamo una stra di traps nell'ossido  
Altra il contributo di quei traps nella PSD  
Saranno le stesse funce visto fuora mettendo per il numero di traps in  $\tau$  e  $\tau_{max}$   
 $N_T$  è il numero di traps totali zavor moltiplicato per  $f(\tau)$  che è la funzione di traps in  $\tau + d\tau$



Per risolvere questo integrale dobbiamo sapere quanto è  $f(\tau)$

Supponiamo che le traps siano uniformemente distribuite.

Allora le traps in uno sluce dx saranno queste sia e' uguale a quelle in  $\tau + d\tau$  ???

Allora noi leghiamo  $\tau$  a  $dx$  perciò otteremo il valore di  $f(\tau)$ .

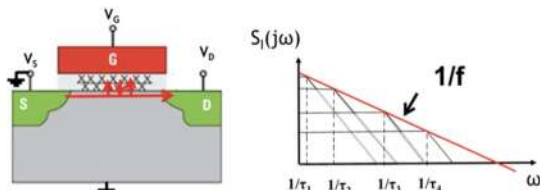
$$S_I = \left(\frac{I}{N}\right)^2 \int_{\tau_0}^{\tau_{max}} N_T f(\tau) d\tau \frac{\tau}{1+\omega^2\tau^2}$$

$$f(\tau) = \frac{1}{\gamma\tau}$$

$$S_I = N_T \left(\frac{I}{N}\right)^2 \frac{1}{\omega\gamma} \int_{\tau_0}^{\tau_{max}} \frac{\omega \cdot d\tau}{1+\omega^2\tau^2} \quad \text{Moltiplico e dividendo per } \omega.$$

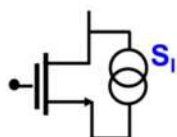
$$S_I = N_T \left(\frac{I}{N}\right)^2 \frac{1}{\gamma\omega} [\operatorname{tg}^{-1} \omega\tau_{max} - \operatorname{tg}^{-1} \omega\tau_0]$$

E così vediamo come viene fuori che la trapping noise dà rumore  $1/f$ .



$$S_I = \left(\frac{I}{N}\right)^2 \int_{\tau_0}^{\tau_{max}} N_T f(\tau) d\tau \frac{\tau}{1+\omega^2\tau^2} = \left(\frac{I}{N}\right)^2 \frac{N_T}{4\gamma} \cdot \frac{1}{f}$$

Visto che  $\tau$  vera posso vedere il rumore  $1/f$  come somma di tanti "inherent shape" (presobasso) se danno poi in uscita il rumore  $1/f$ .



$$S_I = \left(\frac{I}{N}\right)^2 \frac{N_T}{4\gamma} \cdot \frac{1}{f}$$

$$I = \frac{1}{2} \mu C'_{ox} \frac{W}{L} (V_{GS} - V_T)^2$$

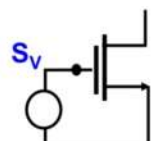
$$N = \frac{WL}{q} C'_{ox} (V_{GS} - V_T)$$

$$N_T = n_T t_{ox} WL$$

$$\frac{I}{N} = \frac{1}{2} \mu C'_{ox} \frac{W}{L} (V_{GS} - V_T)^2$$

$$\frac{I}{N} = \frac{WL}{q} C'_{ox} (V_{GS} - V_T)$$

$$\frac{I}{N} = \frac{q\mu}{2L^2} (V_{GS} - V_T)$$



$$S_V = \frac{S_I}{g_m^2} = \frac{K_I}{L^2} \cdot \frac{I}{g_m^2} \cdot \frac{1}{f}$$

$$I = \frac{1}{2} \mu C'_{ox} \frac{W}{L} (V_{GS} - V_T)^2$$

$$L^2 g_m^2 = \left[ L \mu C'_{ox} \frac{W}{L} (V_{GS} - V_T) \right]^2 \quad \frac{I}{L^2 g_m^2} = \frac{1}{2\mu C'_{ox}} \cdot \frac{1}{WL}$$

$$S_V = \frac{K_V}{C'_{ox} WL} \cdot \frac{1}{f} \quad \text{Independent of bias}$$

$N_T$  - Total traps into the oxide

$$N_T = n_T W L t_{ox}$$

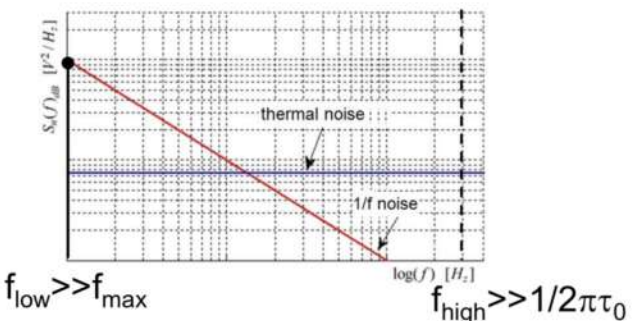
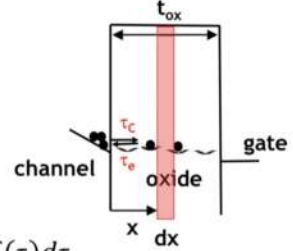
$N_T$  - uniform

$$N_T dx = N_T f(\tau) d\tau$$

$$\tau(x) = \tau_0 e^{\gamma x} \quad d\tau = \gamma \tau_0 e^{\gamma x} dx = \gamma \tau dx$$

$$N_T dx = N_T f(\tau) d\tau = N_T f(\tau) \gamma \tau dx$$

$$f(\tau) = \frac{1}{\gamma\tau}$$



$$S_I = N_T \left(\frac{I}{N}\right)^2 \frac{1}{\gamma\omega} [\operatorname{tg}^{-1} \omega\tau_{max} - \operatorname{tg}^{-1} \omega\tau_0]$$

$$S_I = N_T \left(\frac{I}{N}\right)^2 \frac{1}{\gamma\omega} \left[ \frac{\pi}{2} - 0 \right] = \left(\frac{I}{N}\right)^2 \frac{N_T}{4\gamma} \cdot \frac{1}{f}$$

Facendo un po' di negleggi e vere rate ottengo che

$$S_I = \frac{q^2 \mu n_T t_{ox}}{8\gamma C'_{ox} L^2} \cdot \frac{I}{f} = \frac{K_I}{L^2} \cdot \frac{I}{f}$$

Dove  $K_I$  è una costante che dipende dalla tecnologia,  $L$  è la lunghezza della channel length.

Possiamo vedere che negliando tutto ancora un po' ottengo che  $S_V$  è indipendente dalla tensione di bias.

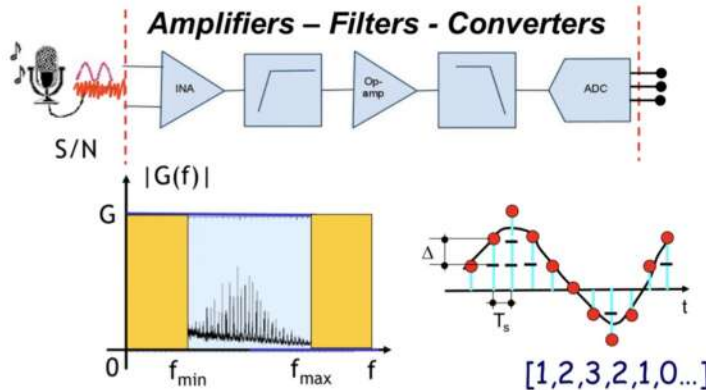
Vedo come che  $S/N$  &  $\%WL$  perciò maggiore è l'area del transistor migliore e il rumore  $\%R$ . C'è la stessa cosa che trovavamo quando vedevamo che la varianza di  $V_T$  &  $\%WL$ .

Questi 2 concetti sono molto legati infatti un trapping di un portatore possiamo vederlo come una varianza di  $V_T$  in quel punto perciò se ho un'area grande verso z redzie d' + questa varianza.

22.11.2021

2h

### Amplifiers - Filters - Converters



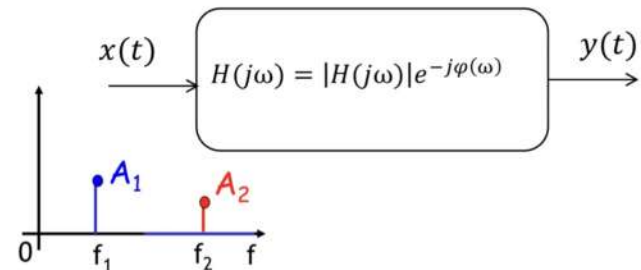
Noi vogliamo mantenere la stessa forma del segnale d'ingresso

Dato l'FDT del filtro ho che ho una varianza di ampiezza e fase  
In genere ho una distorsione

I filtri sono fatti per prendere solo le nostre zone di interesse.

Dopo aver selezionato la banda d'interesse faccio una trasformazione nel dominio digitale

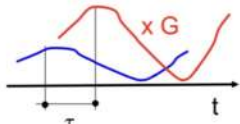
Per un filtro analogico voglio determinare performance



$$x(t) = A_1 \sin(\omega_1 t) + A_2 \sin(\omega_2 t)$$

$$y(t) = A_1 |H(j\omega_1)| \sin(\omega_1 t + \varphi_1) + A_2 |H(j\omega_2)| \sin(\omega_2 t + \varphi_2)$$

il massimo che possiamo accettare è che la forma sia la stessa solo ampliata e al massimo avere un delay di tempo.



$$x(t) = A_1 \sin(\omega_1 t) + A_2 \sin(\omega_2 t)$$

$$y(t) = A_1 |H(j\omega_1)| \sin(\omega_1 t + \varphi_1) + A_2 |H(j\omega_2)| \sin(\omega_2 t + \varphi_2)$$

$$y(t) = A_1 G \sin[\omega_1(t - \tau)] + A_2 G \sin[\omega_2(t - \tau)]$$

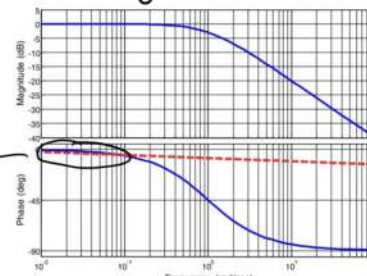
$$|H(j\omega_1)| = |H(j\omega_2)| = G \quad \varphi_1 = \omega_1 \tau, \quad \varphi_2 = \omega_2 \tau$$

$$|H(j\omega)| = G$$

$$\varphi = \omega \tau$$

Perciò il phase shift deve essere proporzionale alla radice frequency specifica del segnale in ingresso al filtro.

Qui vediamo un esempio di quello che non vogliamo avere.



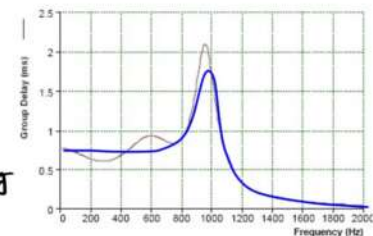
no brickwall amplitude transfer

non linear phase shift

la proporzionalità range è qui a bassa frequenza e non ad alta frequenza.

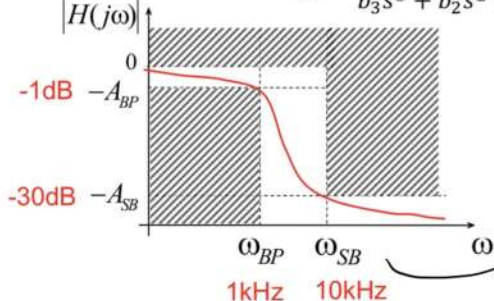
Il Group delay è la derivata dello phase shift rispetto a  $\omega$ , se è lineare vediamo un nuovo, nel nostro caso è così vediamo che è circa costante a basse freq.

$$\tau = \frac{d\varphi(\omega)}{d\omega}$$



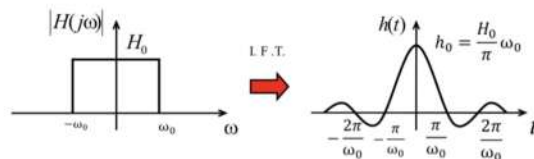
Tipicamente nelle richieste per un filtro c' vengono chiesti questi valori

$$T(s) = \frac{a_2 s^2 + a_1 s + 1}{b_3 s^3 + b_2 s^2 + b_1 s + 1}$$



Stop band

Nella realtà posso creare un filtro a brick wall? No!! perché la sua antitestimata d Fourier sarebbe un sinc



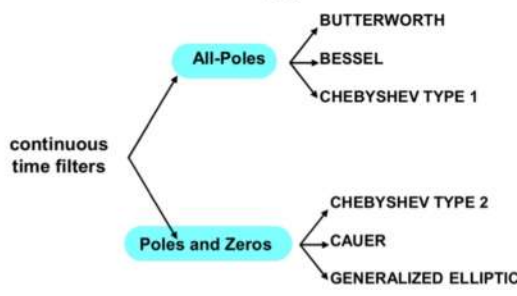
Quindi un impulso passato in un filtro a brick wall dovrebbe come uscita un sinc e quindi la risposta non è causale (cioè da dato un segnale in ingresso a t=∞ riceverà parte da t=∞)

Perciò dovremo usare delle approssimazioni

$$h(t) = \int_{-\omega_0}^{\omega_0} H_0 e^{j\omega t} \frac{d\omega}{2\pi} =$$

$$= \frac{H_0}{2\pi} \left[ \frac{e^{j\omega_0 t}}{jt} \right]_{-\omega_0}^{\omega_0} = \frac{H_0}{2\pi} \frac{e^{j\omega_0 t} - e^{-j\omega_0 t}}{jt} = \frac{H_0}{\pi} \omega_0 \frac{\sin(\omega_0 t)}{\omega_0 t}$$

Ci sono diverse famiglie di filtri

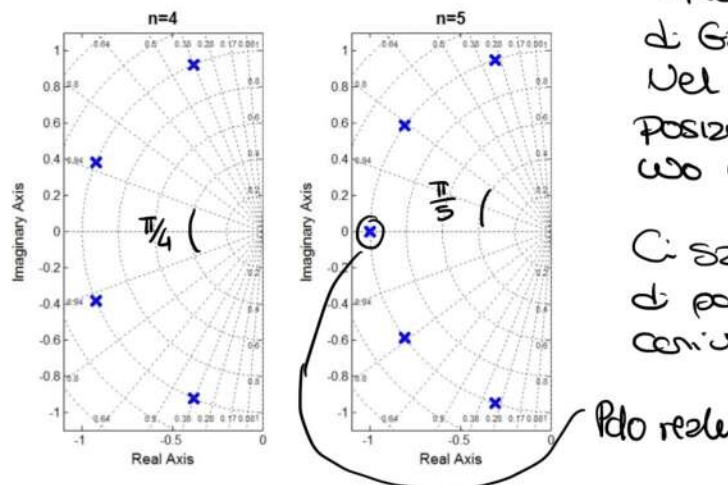


In base a delle richieste dei matematici hanno tirato fuori le FDT per avere le risposte in frequenza che voglio

Butterworth → risposta piatta in guadagno  
Bessel → fase molto lineare  
Chebyshev → sharp cut off ma ho dei ripples (con lo stesso numero di poli degli altri)

$$T(s) = \frac{a_2 s^2 + a_1 s + 1}{b_3 s^3 + b_2 s^2 + b_1 s + 1}$$

Butterworth



Tipicamente usano un grafico normalizzato di Gauss.

Nel caso di butterworth i poli saranno posizionati sul cerchio della radice frequenza ω₀ che vogliono.

Ci saranno in polo reale (che dipende dal numero di poli totali) e gli altri sono complessi e coniugati e sono separati da  $\frac{\pi}{n}$  rad

Noi possiamo scrivere l'FDT come

$$T(s) = \frac{-\dots}{b_3 s^3 + b_2 s^2 + b_1 s + 1} = \frac{-\dots}{(\frac{s}{\omega_1} + 1)(\frac{s^2}{\omega_2^2} + \frac{s}{\omega_2 Q_2} + 1)}$$

ed è per questo che voglio la posizione dei poli (perché mi serve per Q)

Table 1: Butterworth polynomials normalized with respect the -3dB cut-off frequency.

N	$B_n(s)$
1	$s + 1$
2	$s^2 + 1.414s + 1$
3	$(s + 1)(s^2 + s + 1)$
4	$(s^2 + 0.765s + 1)(s^2 + 1.848s + 1)$
5	$(s + 1)(s^2 + 0.618s + 1)(s^2 + 1.618s + 1)$
6	$(s^2 + 0.518s + 1)(s^2 + 1.414s + 1)(s^2 + 1.932s + 1)$

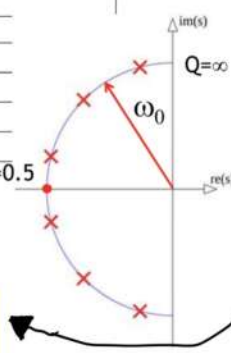
$Q = 1.932$

$Q = 0.707$

$Q = 0.518$

$$s^2 + \frac{s\omega_0}{Q} + \omega_0^2$$

$$Q = \frac{|p|}{2Re(p)}$$



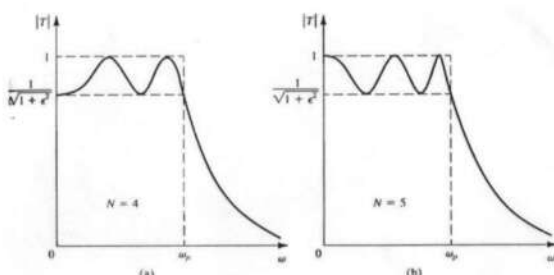
Il fattore di qualità  $Q$  possiamo calcolare con questa formula

Aumentare il numero di poli fa il filtro più pendente ma + poli fa sì che i zeri + vicini alla parte reale e quindi abbiano  $Q$  + alto ma siamo + soggetti alle variazioni degli step.

Qualsiasi polinomio di butterworth io pongo ho che in uscita ho che il quadrato del polinomio mi darà sempre questo valore

Abbiamo sempre un'attenuazione di 3dB tra DC e la nostra frequenza  $\omega_0$

## Chebyshev - I



Ripple in band

Higher selectivity for the same order

I poli non sono messi attorno allo unity circle ma sono messi + vicino all'asse immaginario.

## Bessel

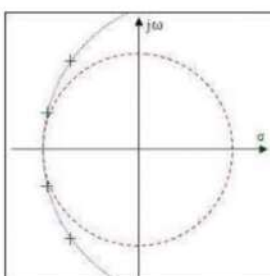


Table 2: Poles of the Bessel filters

Order	Re Part	Im Part	$\Omega$	Q
1	1,0000	0,000	1,000	0,500
2	1,1050	0,637	1,275	0,577
3	1,0509	1,003	1,452	0,691
	1,3270	0,000	1,327	0,500
4	1,3596	0,407	1,419	0,522
	0,9877	1,248	1,591	0,806
5	1,3851	0,720	1,561	0,564
	0,9606	1,476	1,761	0,916
	1,5069	0,000	1,507	0,500

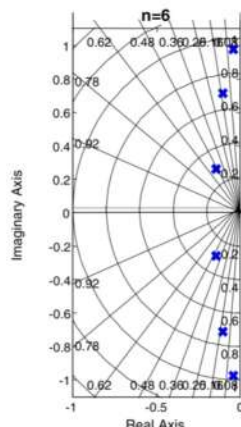


Table 3: Low-pass Chebyshev-I polynomials with 3dB ripple and normalized reference radial frequency.

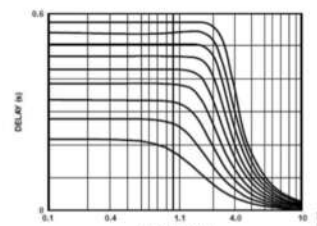
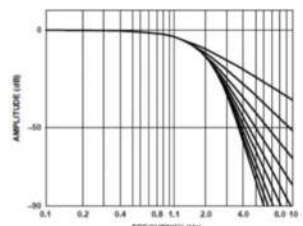
N	$D_n(s)$
1	$s + 1.002$
2	$s^2 + 0.645s + 0.708$
3	$(s + 0.299)(s^2 + 0.299s + 0.839)$
4	$(s^2 + 0.170s + 0.903)(s^2 + 0.441s + 0.196)$
5	$(s + 0.178)(s^2 + 0.110s + 0.936)(s^2 + 0.287s + 0.377)$
6	$(s^2 + 0.077s + 0.955)(s^2 + 0.209s + 0.522)(s^2 + 0.285s + 0.089)$

$Q = 12.987$

$\omega_0 = 0.955$

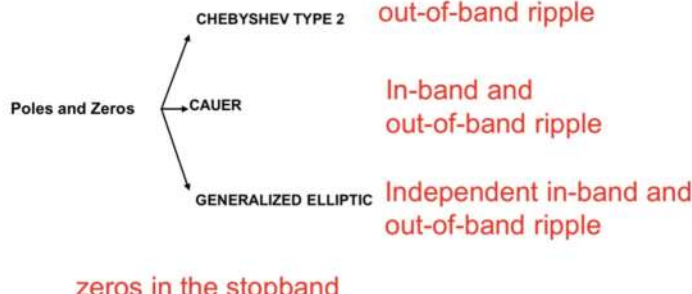
$$\frac{\omega_0}{Q} = 0.077 \rightarrow \text{ricavo } Q$$

La costellazione dei poli è fuori dello unity circle. Dato questo abbiamo meno cattivo ma questo però vuole sì che abbiano + larghezza della base



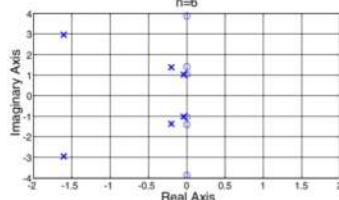
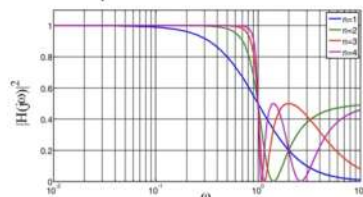
è il grup delay vediamo che è molto grande.

Nella famiglia poli e zeri nella realezza elaborano che:

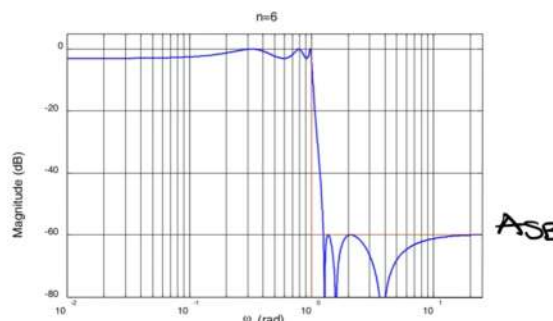


Gli zeri sono immagazzinati e danno delle notevoli riduzioni di zero nella risposta del filtro. Vizmo bene se voglio eliminare un disturbo.

## Chebyshev II

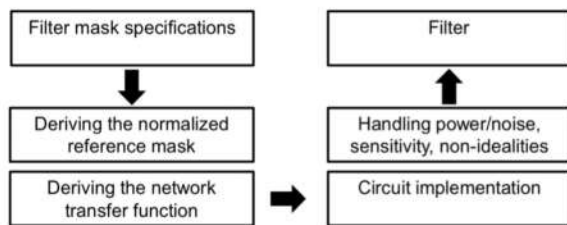


Cauer



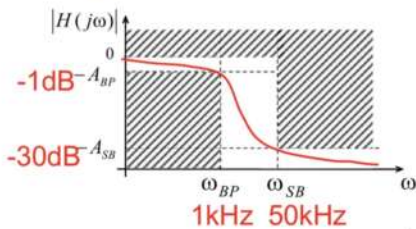
ASB

Come facciamo a creare un filtro?



No una procedura matematica e poi quella di implementazione del circuito.

## Esempio (butterworth)



$$|H(j\omega_{BP})|^2 = \frac{1}{1 + \left(\frac{\omega_{BP}}{\omega_0}\right)^2} \geq \frac{1}{A_{BP}^2} \quad \left(\frac{\omega_{BP}}{\omega_0}\right)^n \leq \sqrt{A_{BP}^2 - 1} = \epsilon_{BP}$$

$$|H(j\omega_{SB})|^2 = \frac{1}{1 + \left(\frac{\omega_{SB}}{\omega_0}\right)^2} \leq \frac{1}{A_{SB}^2} \quad \left(\frac{\omega_{SB}}{\omega_0}\right)^n \geq \sqrt{A_{SB}^2 - 1} = \epsilon_{SB}$$

Attenzione che qui la Band pass Frequency è -1dB e non -3dB perché qui no deciso queste specifiche.

Dopo i 50KHz voglio guadagno < -30dB.  
Ho quindi una filter mask.

$$\left(\frac{\omega_{BP}}{\omega_0}\right)^n \leq \sqrt{A_{BP}^2 - 1} = \epsilon_{BP}$$

$$\left(\frac{\omega_{SB}}{\omega_0}\right)^n \geq \sqrt{A_{SB}^2 - 1} = \epsilon_{SB}$$

$$n \geq \frac{\ln(\epsilon_{BP}/\epsilon_{SB})}{\ln(\omega_{BP}/\omega_{SB})} = \frac{\ln k_\epsilon}{\ln k}$$

$$k = \frac{\omega_{BP}}{\omega_{SB}}$$

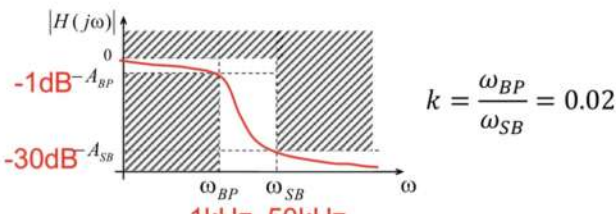
Selectivity index

$$k_\epsilon = \frac{\epsilon_{BP}}{\epsilon_{SB}}$$

Discrimination factor

Grazie a questa diseguaglianza posso ricavare il numero di poli per cui

$$n \log\left(\frac{\omega_{BP}}{\omega_{SB}}\right) \leq \ln\left(\frac{\epsilon_{BP}}{\epsilon_{SB}}\right)$$



$$k = \frac{\omega_{BP}}{\omega_{SB}} = 0.02$$

$$\epsilon_{BP} = \sqrt{A_{BP}^2 - 1} = \sqrt{10^{1/10} - 1} = 0.509 \quad k_\epsilon = \frac{\epsilon_{BP}}{\epsilon_{SB}} = 0.016$$

$$\epsilon_{SB} = \sqrt{A_{SB}^2 - 1} = \sqrt{10^{30/10} - 1} = 31.607$$

$$n \geq \frac{\ln k_\epsilon}{\ln k} = 2.57 \rightarrow 3$$

Allora calcolato tutto ma non il veloce di uscire da mettere la frequenza a -3dB.

Sicuramente questa frequenza dovrà essere maggiore di ω\_BP.

Allora ricordando che

$$H(j\omega) = \frac{1}{1 + \left(\frac{\omega}{\omega_0}\right)^2}$$

$$\left(\frac{\omega_{BP}}{\omega_0}\right)^n \leq \sqrt{A_{BP}^2 - 1} = \epsilon_{BP}$$

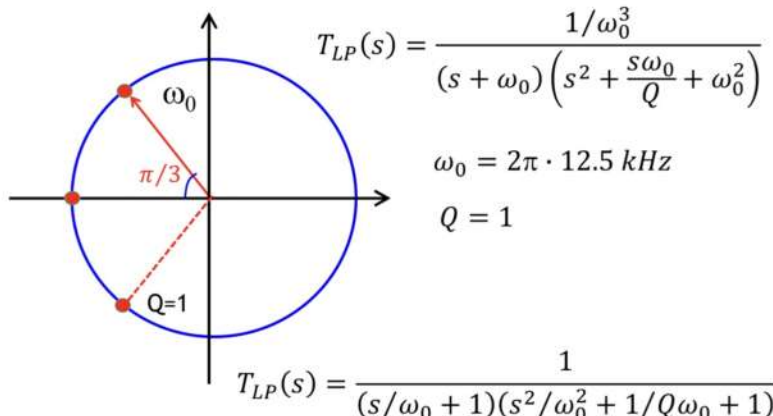
$$\omega_0 \geq \frac{\omega_{BP}}{\sqrt[n]{\epsilon_{BP}}}$$

$$\left(\frac{\omega_{SB}}{\omega_0}\right)^n \geq \sqrt{A_{SP}^2 - 1} = \epsilon_{SB}$$

$$\omega_0 \leq \frac{\omega_{SB}}{\sqrt[n]{\epsilon_{SB}}}$$

$$\frac{\omega_{BP}}{\sqrt[n]{\epsilon_{BP}}} \leq \omega_0 \leq \frac{\omega_{SB}}{\sqrt[n]{\epsilon_{SB}}}$$

$$2\pi \cdot 12.5 \text{ kHz} \leq \omega_0 \leq 2\pi \cdot 15.8 \text{ kHz}$$



$$\omega_0 = 2\pi \cdot 12.5 \text{ kHz}$$

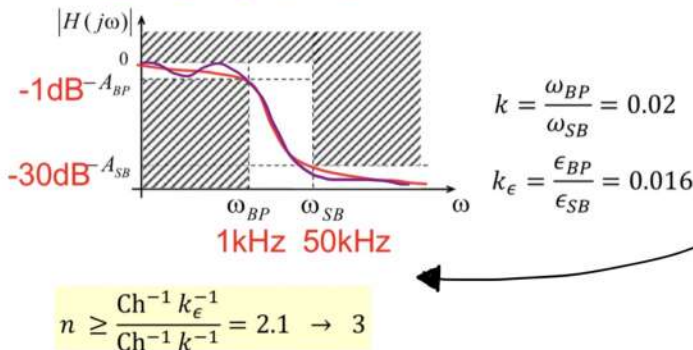
$$Q = 1$$

$$T_{LP}(s) = \frac{1}{(s/\omega_0 + 1)(s^2/\omega_0^2 + 1/Q\omega_0 + 1)}$$

23.11.2021

2h

Facciamo lo stesso esercizio di veri solo con Chebychev.

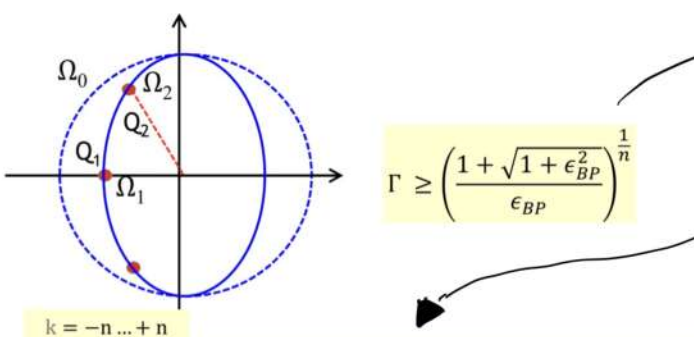


$$k = \frac{\omega_{BP}}{\omega_{SB}} = 0.02$$

$$k_e = \frac{\epsilon_{BP}}{\epsilon_{SB}} = 0.016$$

Non è la stessa d'sequenza d'Butterworth ma non so cosa sia Ch⁻¹.

Noto che comunque mi servono 3 poli.  
Dopo aver ricavato il numero di poli divido questi nel piano di Gauss.



$$\Gamma \geq \left( \frac{1 + \sqrt{1 + \epsilon_{BP}^2}}{\epsilon_{BP}} \right)^{\frac{1}{n}}$$

Calcoliamo questo coefficiente  $\Gamma$  usando i valori di zerro calcolati.  
Questa sarà una variabile intermedia.

I poli saranno dati da questa eq

Dove  $K$  è una serie di numeri interi che vanno da  $-n^{\circ}$  poli a  $+n^{\circ}$  poli. Nel nostro caso otteremo 6 poli. 3 avranno parte reale positiva e li scartiamo e prendiamo

quelli con parte reale negativa.

Il problema è che questi poli sono normalizzati su una circonferenza unitaria dobbiamo denormalizzarli. Per cui dobbiamo sottrarre questi poli da quei nostre frequenze d'interesse.

Chebychev - type I						
N=	3	filter order				
eBP=	1.0000	maximum in-band attenuation [dB]				
Gamma=	0.5088	0.5096				
Re(p)	1: -0.2471	2: -0.4942	3: -0.247	4: 0.247	5: 0.494	6: 0.247
Im(p)	1: 0.9660	2: 0.0000	3: 0.9660	4: -0.966	5: 0.000	6: 0.966
p	1: 0.9971	2: 1.000	3: 0.9971	4: 0.997	5: 0.994	6: 0.997
Phase [rad]	1: 0.580	2: 0.500	3: 0.580	4: -0.208	5: -0.500	6: -0.208
Q	1: 2.0177	2: 0.5000	3: 2.0177	4: -0.208	5: -0.500	6: -0.208

$$\omega_1 = 0.4942\omega_{BP} = 2\pi \cdot 0.4942 \text{ kHz}$$

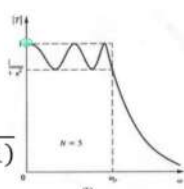
$$\omega_2 = 0.9971\omega_{BP} = 2\pi \cdot 0.9971 \text{ kHz}$$

Dobbiamo quindi fare questo lavoro qua!

Questo è il modulo del polo da tralasciare.

$$T_{LP}(s) = \frac{1/\omega_1 \omega_2^2}{(s + \omega_1)(s^2 + \frac{s\omega_2}{Q_2} + \omega_2^2)}$$

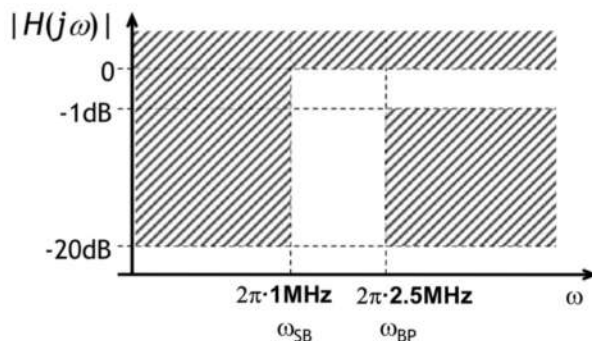
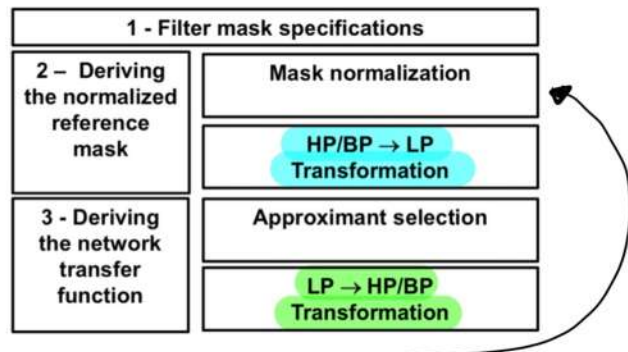
$$T_{LP}(s) = \frac{1}{(s/\omega_1 + 1)(s^2/\omega_2^2 + 1/Q_2\omega_2 + 1)}$$



E per Bessel? Bestimmi perché non c'sono equazioni!! Dobbiamo fare un'altra 2nd error.

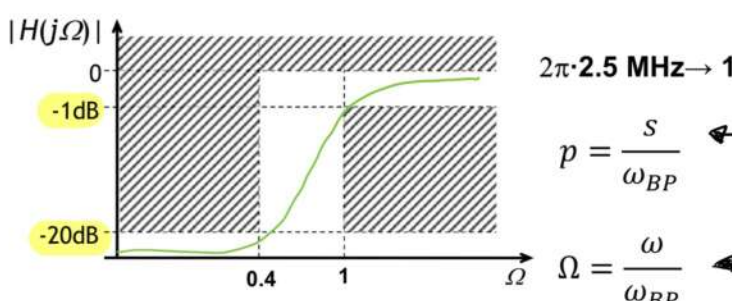
Come faccio a implementare un HPF se ho solo un LPF?

La nostra procedura sarà:



Mask normalizzata a 1 rad/s così possiamo usare le eq d prima senza normalizzazione.

Step 1) Normalizziamo la mask



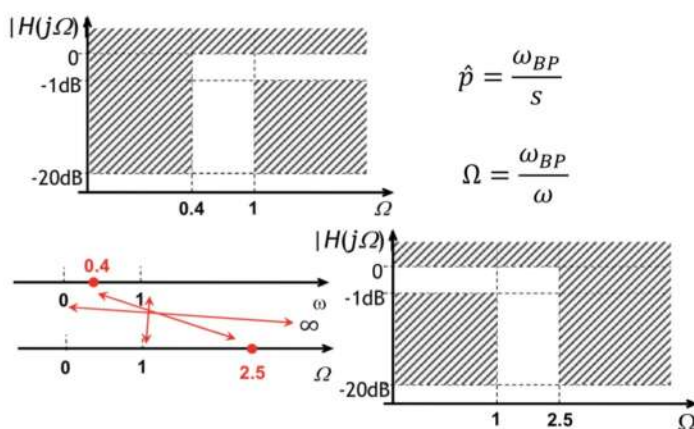
Portiamo i  $2\pi \cdot 2.5 \text{ MHz}$  a 1

$$2\pi \cdot 2.5 \text{ MHz} \rightarrow 1$$

$$p = \frac{s}{\omega_{BP}} \quad \leftarrow \text{S viene normalizzata in } p \text{ dividendo per } \omega_{BP}.$$

$$\Omega = \frac{\omega}{\omega_{BP}} \quad \leftarrow \text{è il nuovo asse delle } \omega \text{ normalizzato.}$$

Step 2) trasformazione



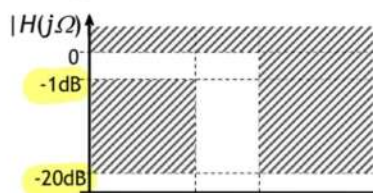
Spostano quello che è vicino a  $\infty$  a 0 e quello che è vicino a 0 a  $\infty$ .

In pratica perdiamo l'inverso.  
L'inverso di 1 è  $-1$ , l'inverso di  $2.5$  è  $-0.4$ .

Poi dato questo LPF calcoliamo la giusta FDT per questo filtro normalizzato  $T(\hat{p})$

Quando al posto di  $\hat{p}$  rimettiamo il suo valore reale  $\hat{p} = \frac{\omega_{BP}}{s}$  allora

ottengo  $T(s)$  cioè' now la FDT per il dominio non normalizzato.



$$k = \frac{\Omega_{BP}}{\Omega_{SB}} = \frac{1}{2.5} = 0.4$$

Usiamo queste formule perché siamo nel dominio normalizzato

$$\epsilon_{BP} = \sqrt{A_{BP}^2 - 1} = \sqrt{10^{1/10} - 1} = 0.509$$

$$\epsilon_{SB} = \sqrt{A_{SB}^2 - 1} = \sqrt{10^{20/10} - 1} = 9.94$$

$$n \geq \frac{\ln k_\epsilon}{\ln k} = 3.24 \rightarrow 4$$

$$n \geq \frac{\text{Ch}^{-1} k_\epsilon^{-1}}{\text{Ch}^{-1} k^{-1}} = 2.33 \rightarrow 3$$

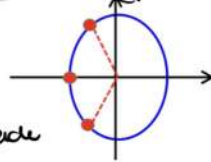
Se calcoliamo con chebycew

$$\Gamma = \left( \frac{1 + \sqrt{1 + \varepsilon_{BP}^2}}{\varepsilon_{BP}} \right)^{\frac{1}{3}} = 1.610$$

$$s_k = -\sin \left[ (2k-1) \frac{\pi}{2n} \right] \cdot \frac{\Gamma^2 - 1}{2\Gamma} + j \cos \left[ (2k-1) \frac{\pi}{2n} \right] \cdot \frac{\Gamma^2 + 1}{2\Gamma}$$

n.	Re(p)	Im(p)	p	Q
#1	-0.494	0	0.494	0.5
#2,3	-0.247	$\pm 0.966$	0.997	2.018

Ricordarsi come si calcola il Q di un numero immaginario  
(l'ha scritto nella slide da qualche parte quando neanche)



low pass equivalent domain

$$T(\hat{p}) = \frac{1}{\left( \frac{\hat{p}}{\Omega_1} + 1 \right) \left( \frac{\hat{p}^2}{\Omega_2^2} + \frac{\hat{p}}{\Omega_2 Q_2} + 1 \right)}$$

con gesto tampono el dominio reale

$$T(s) = \frac{1}{\left( \frac{\omega_{BP}}{\Omega_1 s} + 1 \right) \left( \frac{\omega_{BP}^2}{\Omega_2^2 s^2} + \frac{\omega_{BP}}{\Omega_2 Q_2 s} + 1 \right)} =$$

$$= \frac{s^2}{\left( s + \frac{\omega_{BP}}{\Omega_1} \right) \left( s^2 + \frac{\omega_{BP}}{\Omega_2 Q_2} s + \frac{\omega_{BP}^2}{\Omega_2^2} \right)}$$

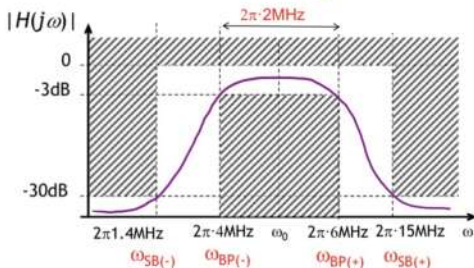
Però in generale è indispensabile sapere che:

LP( $\omega$ ) $\rightarrow$ LP( $\Omega$ )	$\hat{p} = s/\omega_{BP}$
HP( $\omega$ ) $\rightarrow$ LP( $\Omega$ )	$\hat{p} = \omega_{BP}/s$
BP( $\omega$ ) $\rightarrow$ LP( $\Omega$ )	$\hat{p} = Q(s^2 + \omega_0^2)/s\omega_0$

Per passare dal dominio normale a quello normalizzato e viceversa

Questo è il Q del Band pass filter.

## Facciamo il Band pass filter



$$\omega_0 = \sqrt{\omega_{BP(+)} \omega_{BP(-)}} = 2\pi \cdot 4.89 \text{ MHz}$$

$$Q = \frac{\omega_0}{2\pi BW} = \frac{f_0}{BW} = 2.45$$

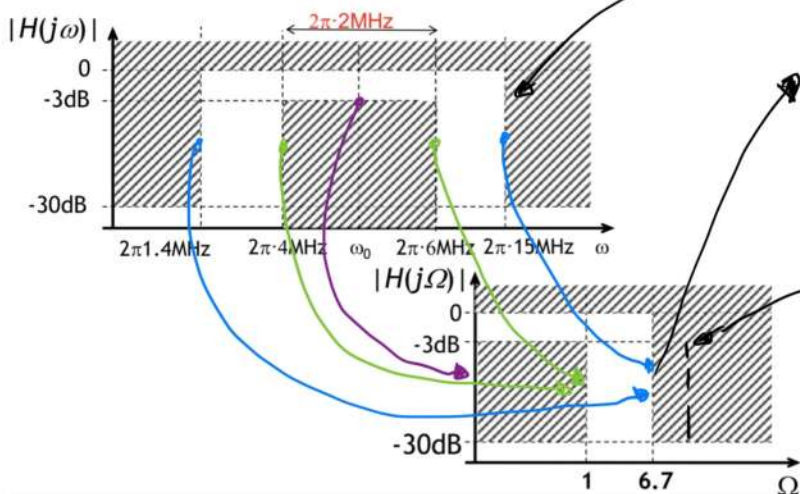
Attenzione che la central frequency  $\omega_0$  non è la media aritmetica tra  $\omega_{BP(+)}$  e  $\omega_{BP(-)}$  ma è la radice dei logaritmi:

$$\log \omega_0 = \frac{\log(\omega_{BP}(+)) + \log(\omega_{BP}(-))}{2}$$

Perciò è un grafico logaritmico

$$\log \omega_0 = \log \sqrt{\omega_{BP+} \cdot \omega_{BP-}}$$

## Trasformiamo in un LPF



Attenzione le 2 bande esterne non è detto che siano allo stesso valore (in questo caso specifico sì, quindi può essere che vengano a valori diversi come ad esempio una coda qui)

Per la normalizzazione invece dobbiamo fare che

$$\hat{p} = Q \frac{(s^2 + \omega_0^2)}{s\omega_0} \quad \hat{p} = j\Omega \quad s = j\omega$$

$$\Omega = Q \frac{(\omega^2 - \omega_0^2)}{\omega\omega_0}$$

Per  $\omega = \omega_0$

$$\Omega_0 = 0$$

$$\Omega_{BP(+)} = 2.45 \frac{(6^2 - 4.89^2)}{6 \cdot 4.89} = 1$$

$$\Omega_{BP(-)} = 2.45 \frac{(4^2 - 4.89^2)}{4 \cdot 4.89} = -1$$

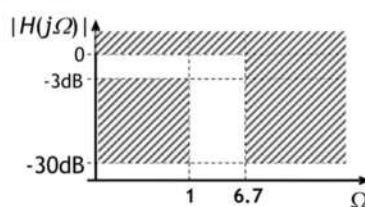
$$\Omega_{SB(+)} = 2.45 \frac{(15^2 - 4.89^2)}{15 \cdot 4.89} = 6.7$$

$$\Omega_{SB(+)} = 2.45 \frac{(2^2 - 4.89^2)}{2 \cdot 4.89} = -6.7$$

Queste sono le 2 Band pass edges  
(credo che queste siano sempre uguali)

Come detto prima questo è solo uno ma la stop band può essere diversa

e come ci salta:



$$k = \frac{\Omega_{BP}}{\Omega_{SB}} = \frac{1}{6.7} = 0.149$$

$$\epsilon_{BP} = \sqrt{A_{BP}^2 - 1} = \sqrt{10^{3/10} - 1} = 0.998$$

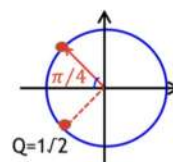
$$\epsilon_{SB} = \sqrt{A_{SB}^2 - 1} = \sqrt{10^{30/10} - 1} = 31.51$$

$$n \geq \frac{\ln k_\epsilon}{\ln k} = 1.81 \rightarrow 2$$

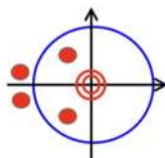
FDT nel dominio del LTF

$$T(\hat{p}) = \frac{1}{(\hat{p}^2 + \sqrt{2}\hat{p} + 1)}$$

$$\hat{p} = Q \frac{(s^2 + \omega_0^2)}{s\omega_0}$$



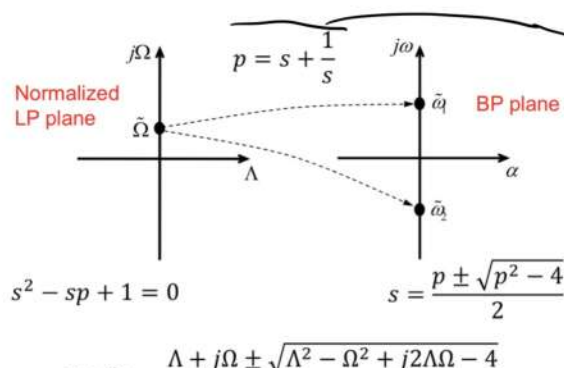
$$T(s) = \frac{1}{\left[ Q \left( \frac{s^2 + \omega_0^2}{\omega_0 s} \right) \right]^2 + \sqrt{2} Q \left( \frac{s^2 + \omega_0^2}{\omega_0 s} \right) + 1}$$



FDT del band pass filter

Ma come dimostrare abbiamo ricevuto il valore di normalizzazione tra BP e LP?

Il BPF è una sovrapposizione tra un LPF e un HPF



Perciò posso vedere P come la sovrapposizione di  $S + 1/S$

Possiamo moltiplicare per S l'equazione di P perciò ottieniamo

$$S^2 - SP + 1 = 0$$

Ora proviamo di per ogni punto nel LPF ne troviamo 2 punti nel BPF plane. (perciò è un eq d'ordine 2).

d = 20 gradi).

Un'altra cosa succede se prendo un punto dell'asse immaginario nel piano del LPF

$\hat{p} = \Lambda + j\Omega$  e dall'eq ricevuta prima calcolo S mettendo al posto

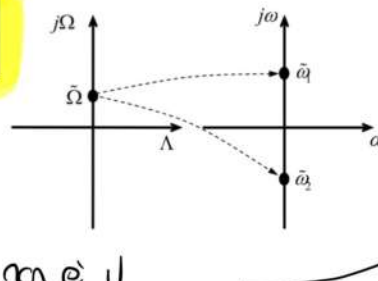
d =  $\hat{p}$ , allora ottieniamo questa:

Sai che voglio punti solo immaginari perciò considero  $\Lambda = 0$ , dall'eq sopra vediamo subito che il punto nel dominio del BPF non ha parte reale

$$\alpha + j\omega = \frac{\Lambda + j\Omega \pm \sqrt{\Lambda^2 - \Omega^2 + j2\Lambda\Omega - 4}}{2} \rightarrow \text{Impongo } \Lambda = 0$$

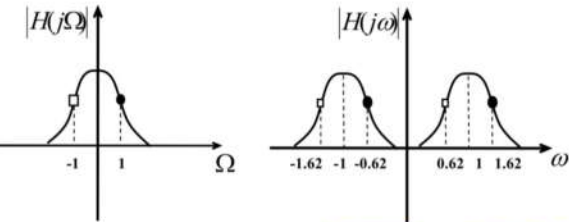
$$j\omega = \frac{j\Omega \pm \sqrt{-\Omega^2 - 4}}{2} = j \left[ \frac{\Omega \pm \sqrt{\Omega^2 + 4}}{2} \right]$$

$$\omega_{1,2} = \left[ \left( \frac{\Omega}{2} \right) \pm \sqrt{\left( \frac{\Omega}{2} \right)^2 + 4} \right]$$



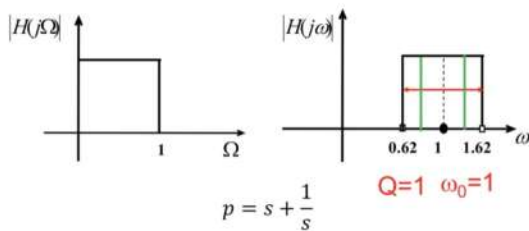
Perciò ottengo leq da mappa i valori nel dominio del BPF.

Da questa eq otteremo quindi che



Occhio che gesto non è il piano di gauss

Perciò se dessimo un LPF con taglio verticale avremo che



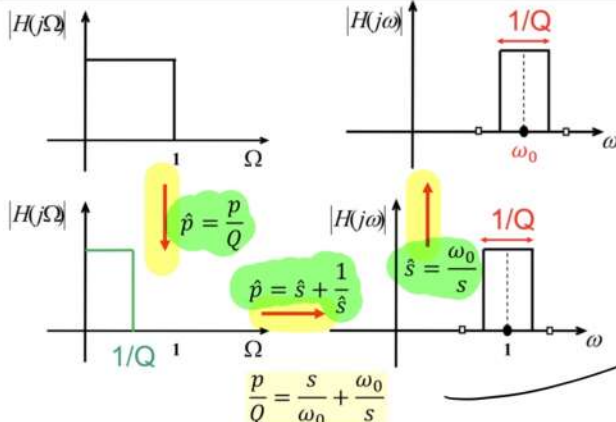
$$Q = \frac{f_0}{BN} = \frac{1}{1}$$

$$p = s + \frac{1}{s}$$

$$Q=1 \quad \omega_0=1$$

Per rendere questa eq utile nel caso più generale

ad esempio se vogliamo Q più alto del bordo passa allora posso partire da un LPF che ha banda  $1/Q$  e non più 1



Cioè in pratica posso da cui altro normalizzazione Bordello!!!!

$$P = Q \cdot \frac{s^2 + \omega_0^2}{s \omega_0}$$

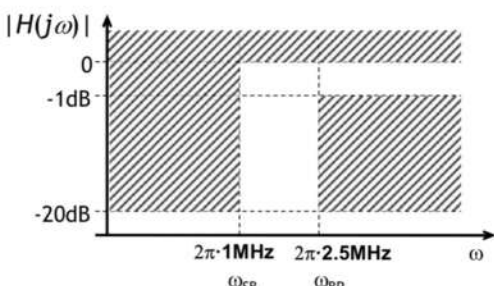
che è quello da ottenere con normalizzazione per un BPF per portarlo a LPF.

26.11.2021

lezioni

2h

Circuit implementation.



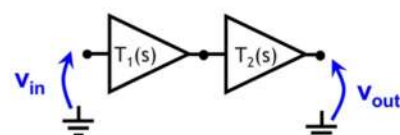
$$\omega_1 = \frac{\omega_{BP}}{0.494} = 2\pi \cdot 2.024 \text{ MHz}$$

$$\omega_2 = \frac{\omega_{BP}}{0.007} = 2\pi \cdot 1.003 \text{ MHz}$$

$$Q_2 = 2.018$$

$$T(s) = \frac{s^3}{(s + \omega_1)(s^2 + \frac{\omega_2}{Q_2}s + \omega_2^2)}$$

Usiamo i dati del filtro passato calcolato in precedenza.



$$T_1(s) = \frac{s}{(s + \omega_1)}$$

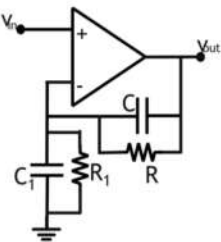
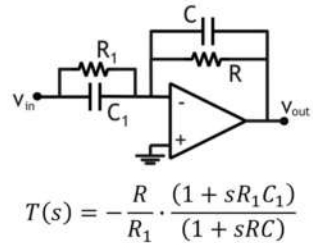
$$T_2(s) = \frac{s^2}{(s^2 + \frac{\omega_2}{Q_2}s + \omega_2^2)}$$

First order

Biquad HP

Mettiamo in cascata più amplificatori

La first order cell è un semplice integratore

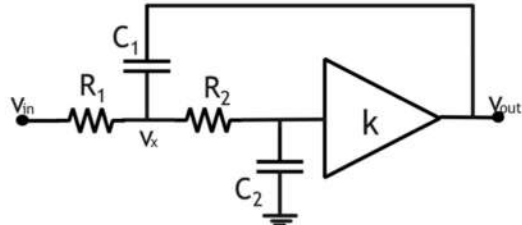


Vediamo che è lo standard

$$T(s) = -\frac{R}{R_1} \cdot \frac{(1 + sR_1C_1)}{(1 + sRC)}$$

$$T(s) = \left(1 + \frac{R}{R_1}\right) \cdot \frac{[1 + s(R_1||R)(C_1 + C)]}{(1 + sRC)}$$

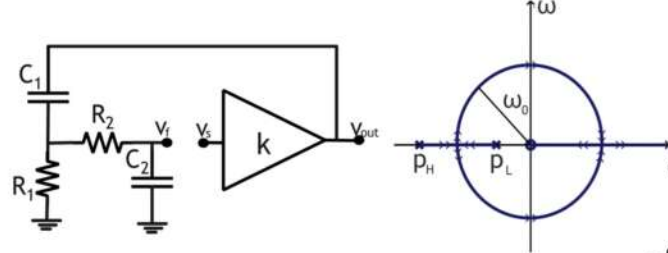
Per la biquad cell facciamo una cella con una retroazione



Questo è un esempio di cella Sallen Key a basso feed back.

$k$  è positivo quindi elaboro del loop è positivo.

Perciò calcoliamo il Gloop.

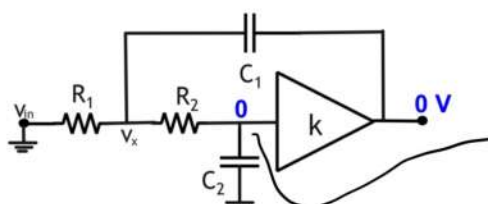


Non facciamo i conti ma vediamo subito che  $C_1$  dà uno zero in DC e  $C_1$  e  $C_2$  danno 2 poli (tipicamente reali)

a) Facciamo il luogo delle radici e ottieniamo che i poli si spostano sulla circonferenza dipendendo dal valore del guadagno  $K$ .

Perciò variando  $K$  posso mettere i poli dove voglio sulla circonferenza  $\omega_0$ . Il valore di  $\omega_0$  è dato dalle capacità e resistenze

Ricaviamo la funzione di trasferimento a circuito chiuso:



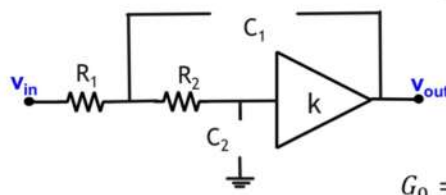
Usiamo il metodo standard delle costanti di tempo

Impongo l'output a zero ma quindi così anche l'ingresso dell'amp deve essere a 0V.

$$T(s) = G_0 \frac{a_1 s + 1}{b_2 s^2 + b_1 s + 1} =$$

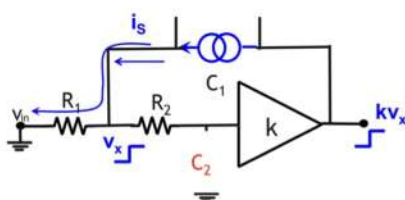
$$= G_0 \frac{sC_1R_{01} + 1}{s^2C_1C_2R_1^{(0)}R_2^{(1)} + s[C_1R_1^{(0)} + C_2R_2^{(0)}] + 1}$$

Iniziamo calcolando il guadagno in DC

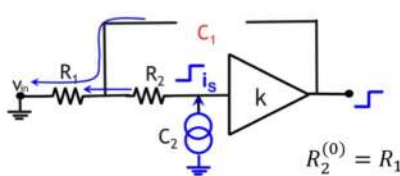


$$G_0 = k$$

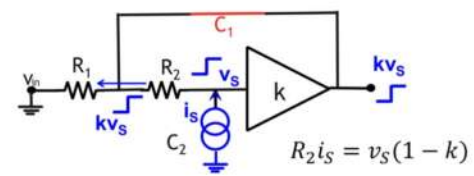
E poi...



$$R_1^{(0)} = \frac{(v_x - kv_x)}{i_s} = R_1(1 - k)$$

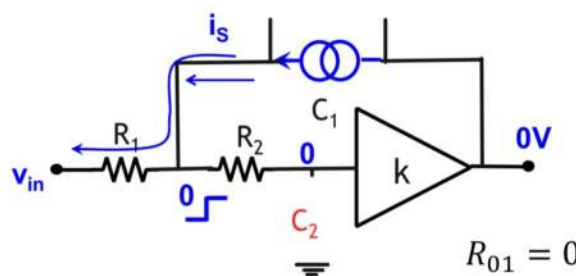


$$R_2^{(0)} = R_1 + R_2$$



$$R_2^{(1)} = \frac{R_2}{(1 - k)}$$

## Trasferimento dello zero



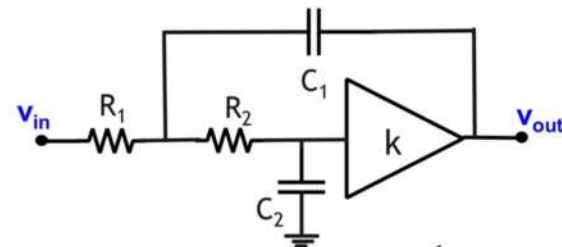
Dunque ottieniamo che:

$$G_0 = k \quad R_1^{(0)} = R_1(1 - k) \quad R_{01} = 0$$

$$R_2^{(0)} = R_1 + R_2$$

$$R_2^{(1)} = \frac{R_2}{(1 - k)}$$

$$T(s) = G_0 \frac{sC_1R_{01} + 1}{s^2C_1C_2R_1^{(0)}R_2^{(1)} + s[C_1R_1^{(0)} + C_2R_2^{(0)}] + 1} = \\ = k \frac{1}{s^2C_1C_2R_1R_2 + s[C_1R_1(1 - k) + C_2(R_2 + R_1)] + 1}$$



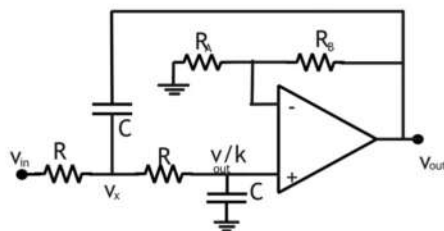
$$T(s) = k \frac{1}{s^2C_1C_2R_1R_2 + s[C_1R_1(1 - k) + C_2(R_2 + R_1)] + 1}$$

$$\omega_0 = \frac{1}{\sqrt{C_1C_2R_1R_2}} \quad Q = \frac{1}{\omega_0[C_1R_1(1 - k) + C_2(R_2 + R_1)]} = \frac{\sqrt{C_1C_2R_1R_2}}{[C_1R_1(1 - k) + C_2(R_2 + R_1)]}$$

Notiamo che

Ho dipendenze dei valori assoluti delle resistenze e condensatori, questo è un problema perché questi sono valori variabili. Perciò dobbiamo trarre in mano per tunare il sistema.

Possiamo usare tutte le capacità e i resistori uguali



$$\omega_0 = \frac{1}{\sqrt{C_1C_2R_1R_2}} = \frac{1}{CR}$$

$$Q = \frac{\sqrt{C_1C_2R_1R_2}}{[C_1R_1(1 - k) + C_2(R_2 + R_1)]} = \frac{1}{3 - k}$$

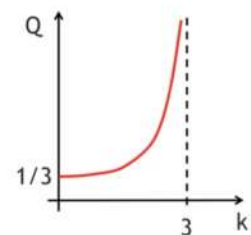
Perciò in questo caso veramente il fattore di qualità dipende solo da K.

Noi siamo tanto felici perché perché se plotteremo la sensitività C accorgiamo che è una linea e divergete.

$$Q = \frac{1}{3 - k}$$

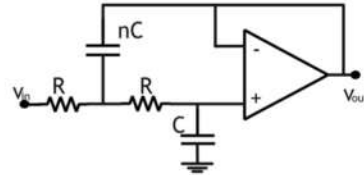
$$dQ = -\frac{dk}{(3 - k)^2}$$

$$\frac{dQ}{Q} = -Q \frac{dk}{k}$$



Ogn' volta che ho una variazione di Q  
è peggio che avere una variazione di ω₀  
perché se varia Q si varia la forma del fattore di qualità.  
Un modo per togliere questa dipendenza di Q da K facciamo

Dai per queste gradi di libertà nel dimensionamento  
uso un C e un nC.



$$\omega_0 = \frac{1}{\sqrt{C_1C_2R_1R_2}} = \frac{1}{CR\sqrt{n}}$$

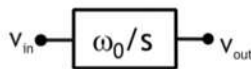
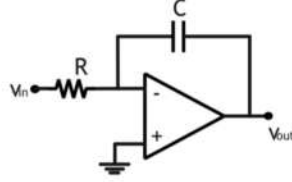
$$Q = \frac{\sqrt{C_1C_2R_1R_2}}{[C_1R_1(1 - k) + C_2(R_2 + R_1)]} = \frac{\sqrt{n}}{2} \quad n = 4Q^2$$

Vediamo che Q non dipende tanto da n il  
che C va molto bene.

Il costo di questa topologia è dato dal costo dell'  
area delle capacità.

## Altra opzione

Possiamo usare gli integratori  $\omega_0/s$  dove quindi portare le FDT tutte in forma  $1/s$ .



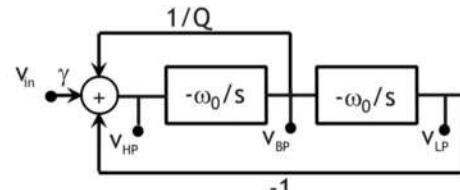
$$\frac{v_{HP}}{v_{in}} = \gamma \frac{s^2}{s^2 + s \frac{\omega_0}{Q} + \omega_0^2} = \frac{\gamma}{1 + \frac{\omega_0}{Qs} + \left(\frac{\omega_0}{s}\right)^2}$$

Ho raccolto  $s^2$  e semplificato

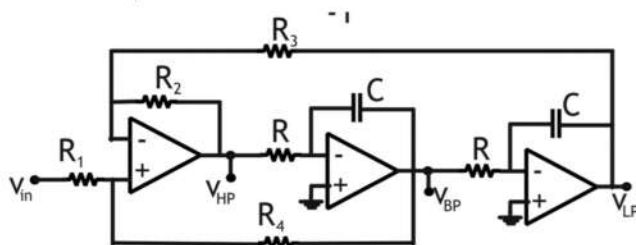
Poi posso fare che:

$$\frac{v_{HP}}{v_{in}} = \frac{\gamma}{1 + \frac{\omega_0}{Qs} + \left(\frac{\omega_0}{s}\right)^2}$$

$$v_{HP} = \gamma v_{in} - \frac{1}{Q} \cdot \frac{\omega_0}{s} v_{HP} - \left(\frac{\omega_0}{s}\right)^2 v_{HP}$$

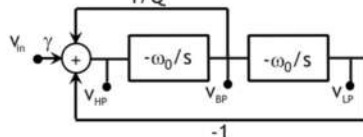


Perciò possiamo vedere il circuito così:



$$v_{HP} = -v_{LP} \frac{R_2}{R_3}$$

$$R_2 = R_3 = R$$



$$v_{HP} = v_{BP} \frac{2R_1}{R_1 + R_4} = \frac{1}{Q}$$

$$Q = \frac{R_1 + R_4}{2R_1}$$

Vedo perciò che non posso settare indipendentemente  $Q$  e  $\gamma$

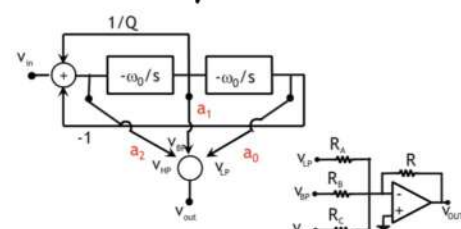
tipicamente mettiamo  $\gamma=1$  quindi

$$Q = \frac{R_1 + R_4}{2R_1}$$

Notiamo che il circuito è pieno di feedback e quindi gli altri tre di tensore delle opamp saranno valori finiti in uscita (e non infinito)

Ci servono 3 OPAMP perciò abbiano tutte e 3 le FDT

Poi se usico i 3 valori d'uscita delle 3 FDT posso adeguatamente posso fare anche una fdt con gli zeri.

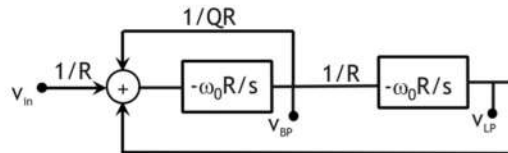


$$v_{out} = v_{in} \frac{a_2 s^2 - a_1 s + a_0}{s^2 + s \frac{\omega_0}{Q} + \omega_0^2}$$

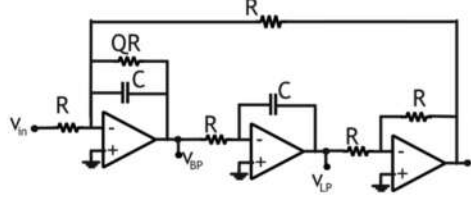
Possiamo ridurre il numero di opamp da 3 a 2 (nello  $\Delta$  2 non posso usare un  $S^2$ ) allora posso fare la somma senza un opamp.

Al posto di sommare le tensioni devo solo sommare le correnti.

Potrei dividere la tensione che arriva per  $R$ , visto che il 2° opamp era per fare trasferimento tensione/tensione debbono cambiare anche lui in modo che faccia 2 amplificazione corrente/tensione, perciò devo mettere una  $R$ .

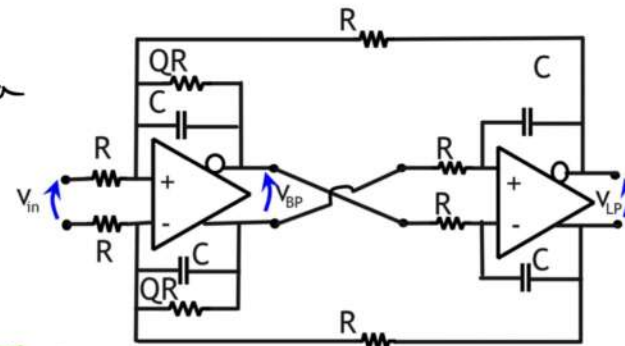


Tutto molto bello finqui non mi accorgo che mi serve un OPAMP per invertire la tensione per fare in modo che la corrente sia  $-1/R$ .



Nella realtà questo non è un problema perché nella realtà noi usiamo topologie fully differential e quindi possiamo invertire 2 correnti e usare 2 opamp.

Notiamo però che con questa tecnica perdo output che mi faceva da posetto.



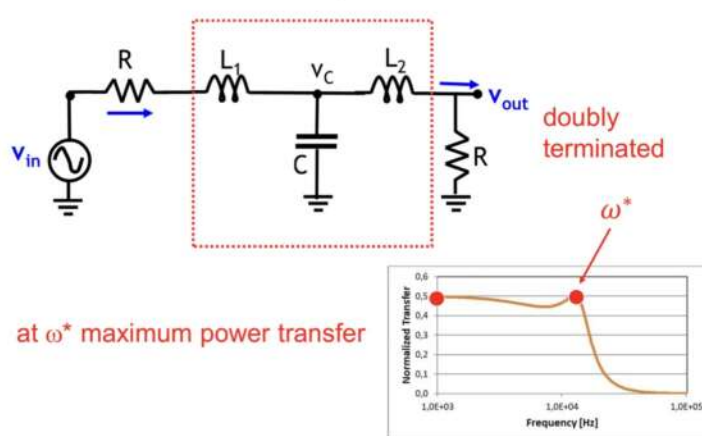
C'È UNA PARTE SU RESISTOR MATCHING CHE HO DAVANTI MEGLIO DI NIENTE.

29.11.2021

2h

La soluzione della scorsa settimana non dà una soluzione robusta perché la variazione dei parametri porta troppo variazione. Possiamo usare questa soluzione ad esempio quando abbiamo 3/4 poli.

Oggi studieremo la topologia a ladder network. con questa topologia riceveremo soluzioni più robuste.



Vedo che è un LPF perché in DC le induttori sono corti.

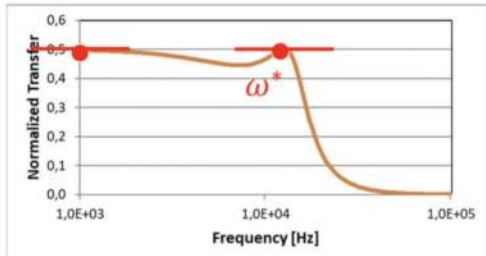
Questa circuito è dimensionato per avere chebichean FDT.

Ci sono delle regole nelle quali ho che le componenti reattive si annullano e quindi ho che ho il massimo trasferito di potenza

$$P_{out} = \frac{|V_{out}|^2}{2R} = \frac{|V_{in}|^2 |T(j\omega, X)|^2}{2R}$$

Questa è la potenza trasmessa

Se noi vogliamo calcolare la derivata della potenza facciamo:



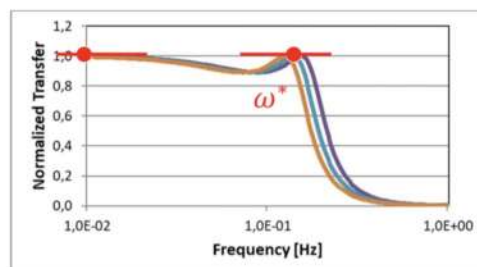
è visto che vogliamo il picco la impedenza a  $\omega$ .

Ma abbiamo che  $T$  dipende anche da  $L$  e  $C$  quindi dobbiamo studiare anche la derivata di  $T$  in funzione di  $X$  e mettiamo insieme a  $\omega$ .

$$\frac{\partial}{\partial \omega} \frac{|V_{in}|^2 |T(j\omega, X)|^2}{2R} = \frac{|V_{in}|^2}{2R} \frac{\partial}{\partial \omega} |T(j\omega, X)|^2$$

$$= \frac{|V_{in}|^2}{R} |T(j\omega, X)| \frac{\partial}{\partial \omega} |T(j\omega, X)| \quad \left. \frac{\partial}{\partial \omega} |T(j\omega, X)| \right|_{\omega=\omega^*} = 0$$

Ogni volta che ho una rete a ladder e le node le componenti reattive si annullano e quindi ho che le sensibilità alle variazioni di  $C$  e  $L$  è nulla a quelle frequenze vicine a quelle variazioni ho poca sensitività a queste variazioni.

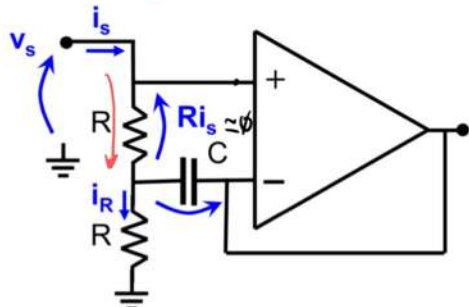


$$\frac{\partial}{\partial X} \frac{|V_{in}|^2 |T(j\omega, X)|^2}{2R} = \frac{|V_{in}|^2}{2R} \frac{\partial}{\partial X} |T(j\omega, X)|^2$$

$$= \frac{|V_{in}|^2}{R} |T(j\omega, X)| \frac{\partial}{\partial X} |T(j\omega, X)| \quad \left. \frac{\partial}{\partial X} |T(j\omega, X)| \right|_{\omega=\omega^*} = 0$$

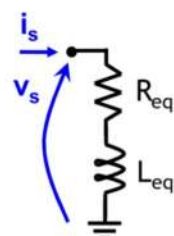
Il problema è che abbasso induttori e sono difficili da ottenere integrali, posso fare questo topologia senza usare gli induttori? La risposta è sì con i gyratori. Oppure visto che questa proprietà è della PDT allora posso implementare la PDT in modo solido tanto la sua sensitività è dotta solo alla PDT.

## Gyrators



$$v_s = Ri_s + R(1 + sCR)i_s$$

$$Z = 2R + sCR^2$$



$$L_{eq} = CR^2$$

$$C = 1\text{pF}$$

$$R = 10k\Omega$$

$$L = 0.1\text{mH}$$

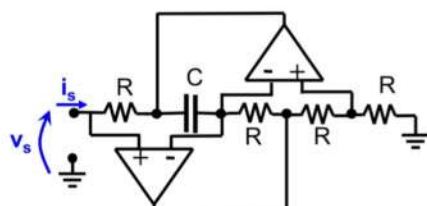
A causa della terra virtuale anche sul condensatore ho una caduta di tensione data da  $Ri_s$

Però la corrente sul condensatore è

$$i_C = \frac{Ri_s}{1/sC} = SCRi_s$$

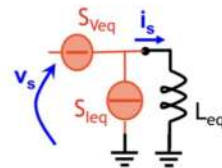
Ottieniamo quindi l'impedenza equivalente

## Antinomous gyrator



$$L_{eq} = CR^2$$

$$\omega \ll GBWP$$



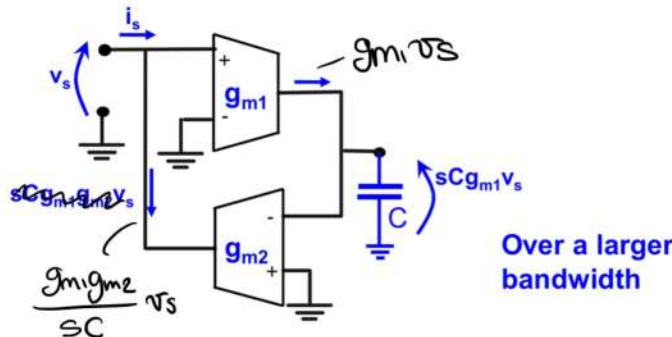
Con questa topologia abbasso induttori senza resistenze in serie.

Quel'è il lato negativo di queste topologie? Il rumore!! Infatti L'ideale non fa rumore.

Un altro problema è che questi sono circuiti retroazionati e quindi quello che abbiamo detto vale. Poi ci il Gloop è abbastanza grande.

Allora possiamo provare a usare un open-stage gyrator.

### Gm-C gyrators

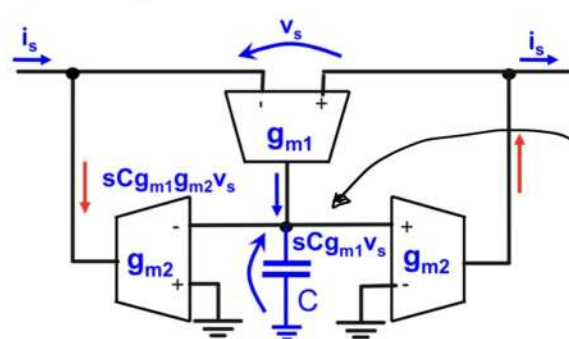


Usa 2 OTA collegati così in modo da

$$\frac{V_o}{V_s} = \frac{SC}{g_m_1 g_m_2} \rightarrow L_{eq} = \frac{C}{g_m_1 g_m_2}$$

In questo caso non ho un feedback locale e quindi nessuna zera + banda (fino al GBPWP degli OTA).

Visto che non abbiamo un feedback abbiamo che abbiamo variabilità nel sistema.



Suspended inductances  
è un altro modo per ottenere un induttore

Le correnti scritte qui sono sbagliate.  
Ricontrolare tutti i valori.

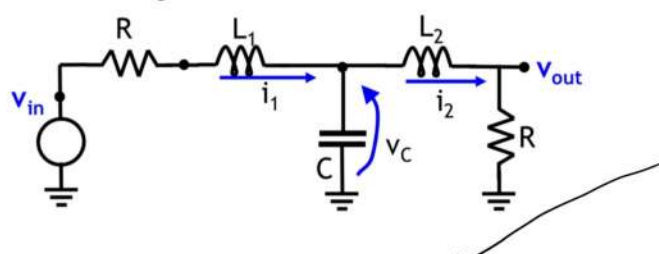
$$L_{eq} = \frac{g_m_1 g_m_2 v_s}{SC} \rightarrow L_{eq} = \frac{C}{g_m_1 g_m_2}$$

(Anche qui abbiamo che i parametri sono soggetti a variabilità)

### Altro modo di realizzazione

Vogliamo implementare la stessa FDT con gli integratori.

Fare la stessa FDT significa avere le stesse state variabili (le quel dipendono dall'energia del circuito). Perciò:



In questo caso le variabili di stato sono  $i_1$ ,  $i_2$  e  $v_C$ .

Questa è la relazione tra le variabili di stato.

Per semplificare le relazioni noi prendiamo le relazioni che dicono tutte le tensioni o correnti così lavoriamo con un solo tipo di variabile

← Abbiamo scritto tutte le equazioni per avere tutto nella forma di tensione

$$\begin{cases} v_{in} - v_C = (sL_1 + R) \cdot \frac{v_1}{R^*} \\ v_C - v_{out} = sL_2 \frac{v_2}{R^*} \\ \frac{v_1}{R^*} - \frac{v_2}{R^*} = sCv_C \end{cases}$$

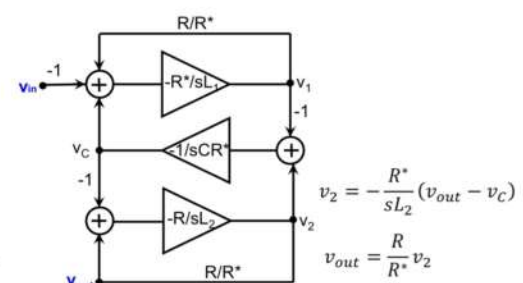
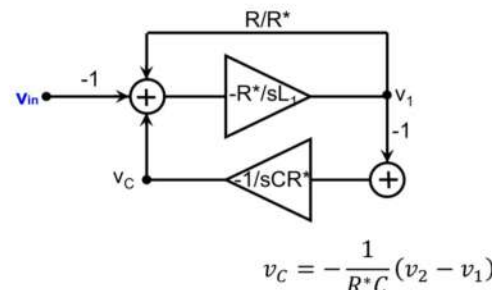
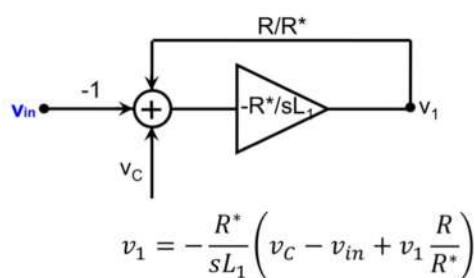
$$v_{out} = \frac{R}{R^*} v_2$$

Noi vogliamo due integratori zavorzati noi risolviamo le equazioni e cerchiamo di far uscire gli integratori.

$$\begin{cases} v_1 = -\frac{R^*}{sL_1} \left( v_C - v_{in} + v_1 \frac{R}{R^*} \right) \\ v_2 = -\frac{R^*}{sL_2} (v_{out} - v_C) \\ v_C = -\frac{1}{sR^*C} (v_2 - v_1) \end{cases}$$

Tiriamo fuori zavorze il meno da una parte e noi sappiamo come do gli integratori invertenti.

Allora abbiamo che:

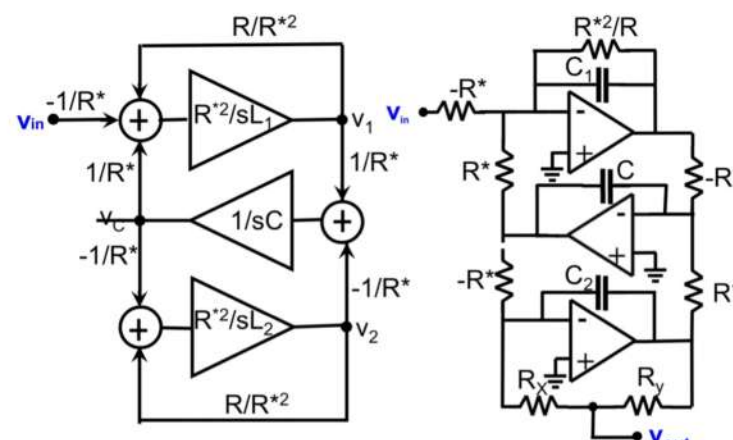
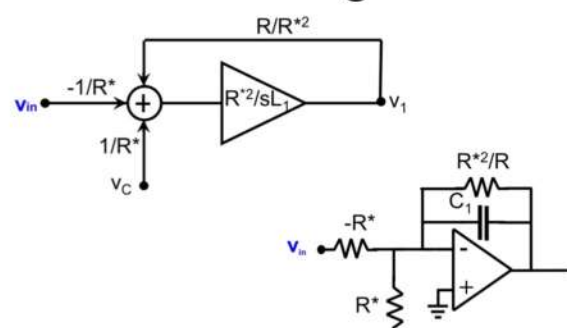


Mi servono 3 amplificatori per fare gli integratori e 3 per fare le somme.

Per ridurre il numero di amplificatori posso sommare comuni su una terra virtuale.

Per gestire comuni mettiamo una resistenza (potremo mettere come resistenza  $R^*$ )

Perciò la topologia sarà:



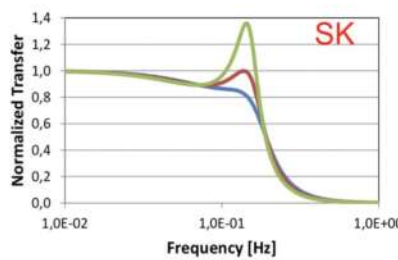
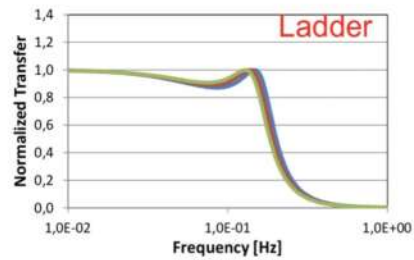
Anche in questo caso come ci aspettavamo a frequenze specifiche la sensitività della FDT a variazioni è zero o comunque molto piccola.

$$v_{out} = v_2 \frac{R}{R^{*2}} R_x$$

$$v_{out} = v_2 \frac{R}{R^*}$$

$$R_x = R^*$$

Vediamo un esempio tra Ladder e Sallen Key data una variazione di C.



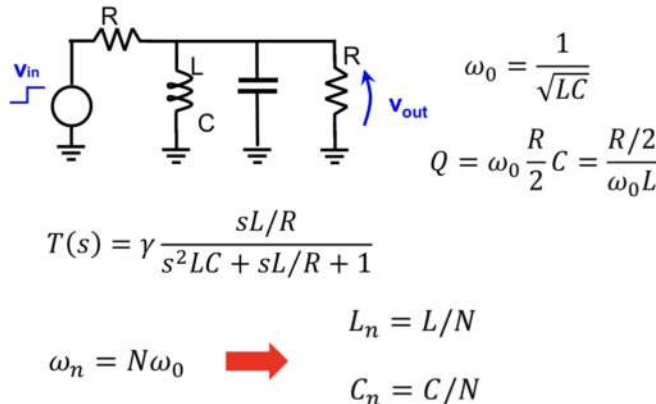
Vedo che ha un po' di variazioni ma gestisce bene le variazioni dei valori di inibend.

Attenzione però la non sensitività è data dalle componenti resistive quindi se variano le resistenze ho una variazione del trascinatore d'uscita.

## Come selezioniamo la rete ladder?

Devo usare una tabella (la trovo online). Devo stare attento perché la tabella ha valori normalizzati e noi dobbiamo denormalizzare.

Tipicamente abbiamo 2 tipi di topologie a ladder. Quelle dove il primo componente resistivo è un condensatore e quelle dove ho un induttore. Come facciamo a denormalizzare? Lo vediamo con un esempio.



$$\text{Dove } \gamma = \frac{1}{2}.$$

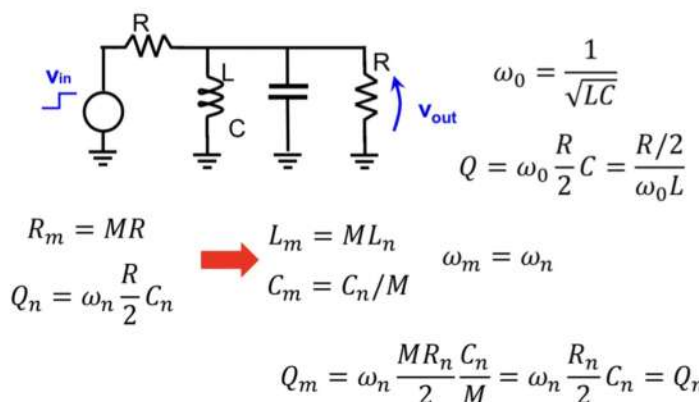
Perciò se iniziamo con un  $\omega_0 = 1/\text{rad}$  e devo andare a  $N = 2\pi f_0 K$  allora come denormalizzo?

La prima cosa che faccio è dividere L e C per N.

Cosa succede al fattore di qualità?

Vediamo che non cambia niente al fattore di qualità.

Dobbiamo fare attenzione perché è troppo poco perché dobbiamo aumentare. Supponiamo di aumentare R di un fattore M.



Notiamo che se aumentiamo R di M allora devo anche aumentare L di M e dividere C per M.

Anche in questo caso il fattore di qualità non cambia.

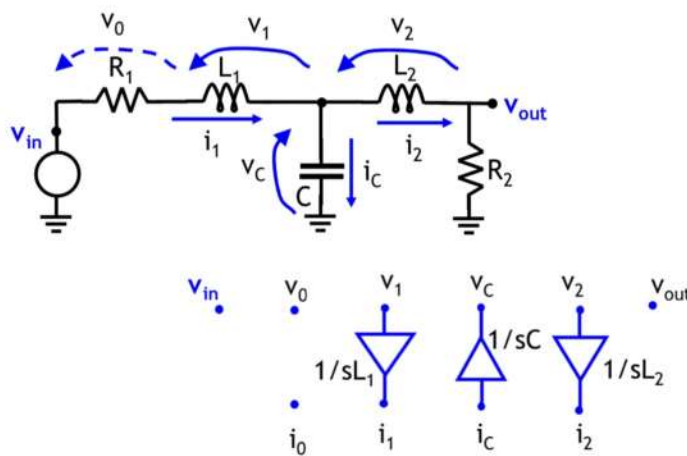
Perciò come tabella di denormalizzazione usiamo:

Normalized values	Pass band frequency XN	Resistance values XM
R(0)	X 1	X M
C(0)	1/N	1/NM
L(0)	1/N	M/N

1.12.2021

2h

Procedura alternativa per trovare gli integratori

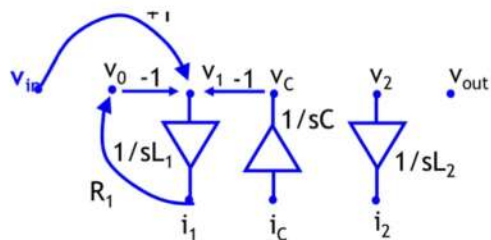


Iniziamo evidenziando le variabili d' stato della mia rete

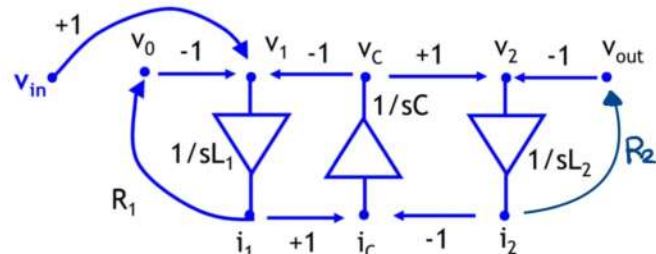
Noi sappiamo che  $v_C = \frac{i_C}{sC}$

Possiamo scrivere le tensioni o le correnti dei componenti resittivi come integratori/differenziatori. Vediamo che ottengo 3 integratori. Adesso cerchiamo di leggere i valori delle tensioni d'ingresso.

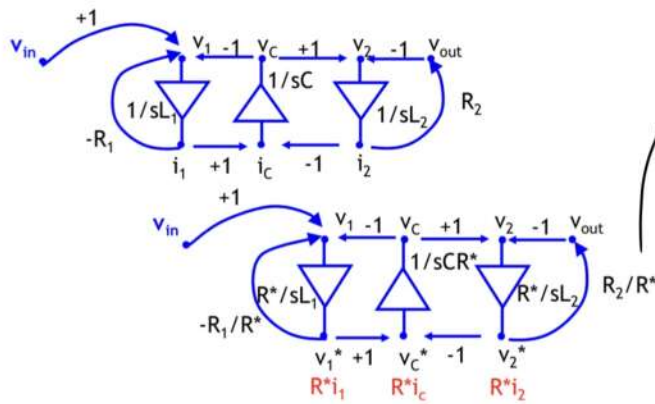
Sappiamo che  $V_{IN} - V_0 - V_C = V_1$ , dove  $\omega_0 = \frac{1}{LC}$ , allora posso fare un grafico del tipo:



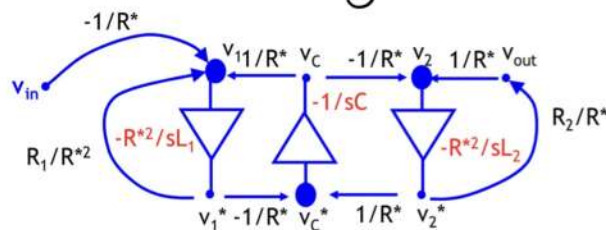
Poi posso fare la stessa identica cosa con  $i_c$  e  $v_2$  (in pratica sto relazionando tra loro tutte le variabili di stato)



Ancora più comodo sarebbe tutto il grafico messo in tensore. Allora moltiplichiamo tutte le correnti per il valore  $R^*$

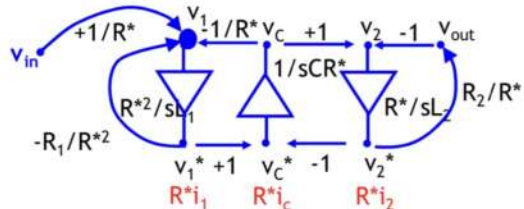


Noi vorremo integratori negativi perciò cambiamo il segno e regoliamo i vari valori



Dobbiamo dividere per  $R^*$  perché abbiamo recuperato il valore delle corrente che avevamo prima (e che dimensionalmente ora è tutto OK)

Poi lui divide in ultime volti per  $R^*$  tutte le grandezze che entrano in un nodo e dicono per quale da uscire?

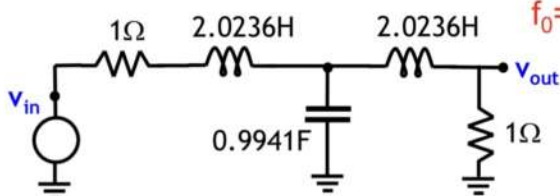


Perciò una volta ricevuto questo grafico possiamo ricavare il circuito.

Allora trovato in modo + facile per tracciare il circuito.

Ora però dobbiamo calcolare i valori dimensionizzati

Doubly-terminated RLC ladder values for Normalized Chebyshev										
n	L1	C2	L3	C4	L5	C6	L7	C8	R2	n
(C) Ripple = 1.0dB										
3	2.0236	0.9941	2.0236						1.0000	
3	2.1369	1.0911	3.0059	1.0911	2.1369				1.0000	
7	2.1666	1.1115	3.0936	1.1735	3.0936	1.1115	2.1666		1.0000	7
G1	L2	C3	L4	C5	L6	C7	L8		R2	



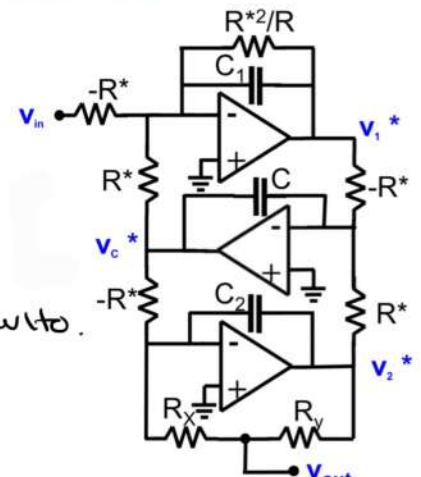
$$f_0 = 10\text{kHz}$$

Noi vogliamo  $f_0 = 100\text{K}$ , allora

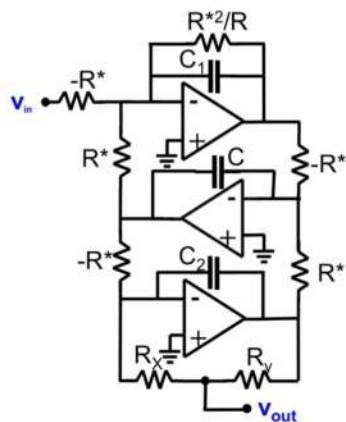
$N = 2\pi \cdot 100\text{K}$  e dividiamo sia induttanza che capacità per  $N$ .

Allora da comunque questi valori sono troppo grandi da implementare e  $R$  è ancora 1Ω che è troppo difficile da implementare

Allora abnormalizziamo per  $R$  moltiplicando  $R$  per  $M$  e dividendo  $C$  per  $M$  e moltiplicando  $L$  per  $M$ .



Noi sappiamo che le circuitali realizzabili questi valori.  
il problema è che L ci aumenta perché viene moltiplicato per R. Però abbiamo ancora un grado di libertà dato da  $R^*$ .



$$C_1 = L_1 / R^{*2} / R$$

$$C \rightarrow 15\text{pF}$$

$$C_2 = L_2 / R^{*2}$$

$$R^* = 100\text{k}\Omega$$

$$C_1 = 322 \text{ mH} / R^{*2}$$

$$= 32.2\text{pF}$$

$$C = 15.8\text{pF}$$

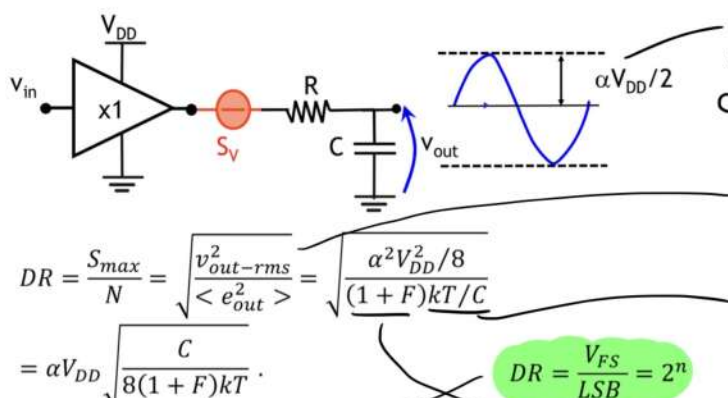
$$C_2 = C_1$$

Ricordo che nel circuito io non ho inductanze ma tramite  $R^*$  riduco i valori delle capacità legati a L nel nostro circuito, così che io posso implementare queste capacità nel circuito.

Un altro motivo di questa tecnica con integratori è quella che per frequenze  $< 100\text{kHz}$  è quella che dobbiamo comandare resistenze molto grandi  $> 100\text{k}\Omega$  e questo è molto critico.

### Noise/Power trade off.

Per reference prendiamo una configurazione di un filtro LPF basato su un integratore.



è  $\alpha V_{DD}/2$  perché è una frazione della tensione d'uscita perché dipende dall'output range del buffer.

$$\frac{(V_{MAX})^2}{2} = \frac{\alpha^2 V_{DD}^2}{2 \cdot 4}$$

Rumore del condensatore

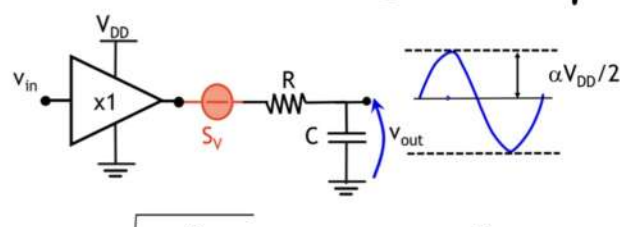
è la noise figura dipende dal buffer e da quanto degrada il rumore (?).

è il range dinamico

$$LSB = \frac{V_{Full\ Scale}}{2^n} \rightarrow DR = \frac{V_{FS}}{LSB} = 2^n$$

Sappiamo che LSB deve essere dell'ordine del rumore non ha senso farlo + piccolo perché non ha vantaggi.

Maggiorate è il range dinamico allora maggiore è il numero di bit che possiamo mettere. Ma il costo di tutto questo è l'energia.



$$DR = \alpha V_{DD} \sqrt{\frac{C}{8(1+F)kT}}$$

$$DR = \frac{V_{FS}}{LSB} = 2^n$$

1V Full Scale  
12 bit resolution  
DR=72dB

La potenza di dissipazione è

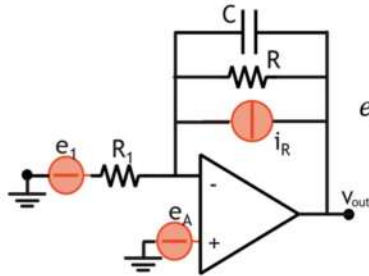
$$P = \frac{\alpha V_{DD}^2 C}{T} = \alpha V_{DD} C f$$

che è la potenza dinamica che c'è se ne per comandare un condensatore.

Vediamo che aumentare C migliora il dinamico

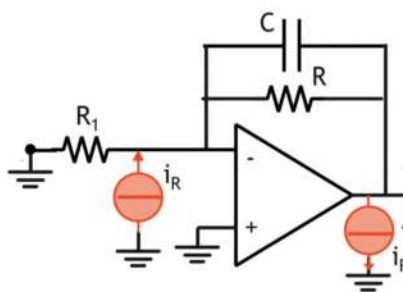
range ma ruba molta potenza.

## Noise transfer in una struttura bese



$$e_{out,1} = e_1 \frac{R}{R_1} \cdot \frac{1}{1+sRC}$$

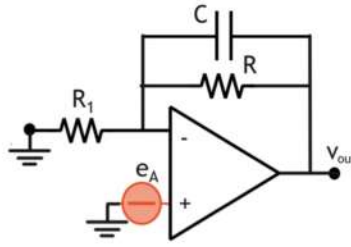
$$v_{out,1}^2 = S_{v,R1} \left( \frac{R}{R_1} \right)^2 \cdot \int_0^{+\infty} \left| \frac{1}{1 + \frac{s}{\omega_0}} \right|^2 df = S_{v,R1} \left( \frac{R}{R_1} \right)^2 \cdot \frac{\omega_0}{4}$$



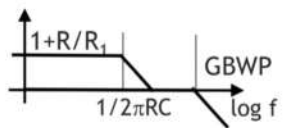
Usano il teorema dello spettro dei generatori di corrente

questo non ha effetto perché si divide tutto sull'uscita a bassa impedenza del circuito.

$$v_{out,2}^2 = S_{I,R2} R^2 \cdot \int_0^{\infty} \left| \frac{1}{1 + \frac{s}{\omega_0}} \right|^2 df = 4kTR \cdot \frac{\omega_0}{4}$$



$$e_{out,A} = e_A \left( 1 + \frac{R}{R_1} \cdot \frac{1}{1+sRC} \right)$$



$$e_{out,A} \approx e_A \left( 1 + \frac{R}{R_1} \cdot \frac{1}{1+sRC} \right) \cdot \frac{1}{(1+\frac{s}{\omega_u})} = e_A \cdot \left( 1 + \frac{R}{R_1} \right) \cdot \frac{1 + \frac{s}{\omega_z}}{(1+\frac{s}{\omega_0})(1+\frac{s}{\omega_u})}$$

Per calcolare questi valori degli integrali abbiamo la tabella

System	Integral	Equivalent bandwidth [Hz]
1 <sup>st</sup> order LP	$\int_0^{+\infty} \left  \frac{1}{\frac{s}{\omega_0} + 1} \right ^2 df$	$\frac{\omega_0}{4}$
2 <sup>nd</sup> order LP	$\int_0^{+\infty} \left  \frac{1}{\left( \frac{s}{\omega_0} \right)^2 + \frac{s}{\omega_0 Q} + 1} \right ^2 df$	$\frac{\omega_0 Q}{4}$
2 <sup>nd</sup> order LP with zero	$\int_0^{+\infty} \left  \frac{1 + s/\omega_z}{\left( \frac{s}{\omega_0} \right)^2 + \frac{s}{\omega_0 Q} + 1} \right ^2 df$	$\frac{\omega_0 Q}{4} \left[ 1 + \left( \frac{\omega_0}{\omega_z} \right)^2 \right]$
2 <sup>nd</sup> order BP	$\int_0^{+\infty} \left  \frac{s/\omega_0}{\left( \frac{s}{\omega_0} \right)^2 + \frac{s}{\omega_0 Q} + 1} \right ^2 df$	$\frac{\omega_0 Q}{4}$
3 <sup>rd</sup> order LP with zeros	$\int_0^{+\infty} \left  \frac{n_2 s^2 + n_1 s + n_0}{d_3 s^3 + d_2 s^2 + d_1 s + d_0} \right ^2 df$	$\frac{n_2^2 d_1 d_0 + d_3 (n_1^2 d_0 + n_0^2)}{4 d_3 (d_2 d_1 - d_3)}$

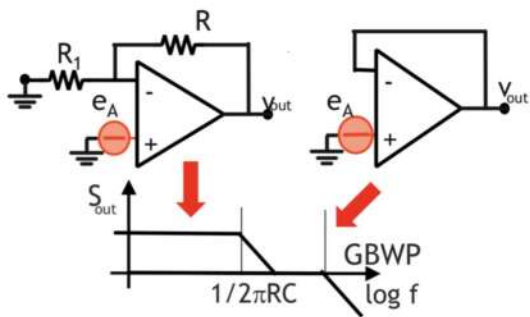
Attenzione questi integrali sono riferiti solo al rumore bianco.

Ottieniamo uno zero e 2 poli

$$v_{out,3}^2 = S_A \cdot \left( 1 + \frac{R}{R_1} \right)^2 \cdot \int_0^{\infty} \left| \frac{1 + \frac{s}{\omega_z}}{\left( 1 + \frac{s}{\omega_0} \right) \left( 1 + \frac{s}{\omega_u} \right)} \right|^2 df = S_A \cdot \left( 1 + \frac{R}{R_1} \right)^2 \cdot BW_{eq}$$

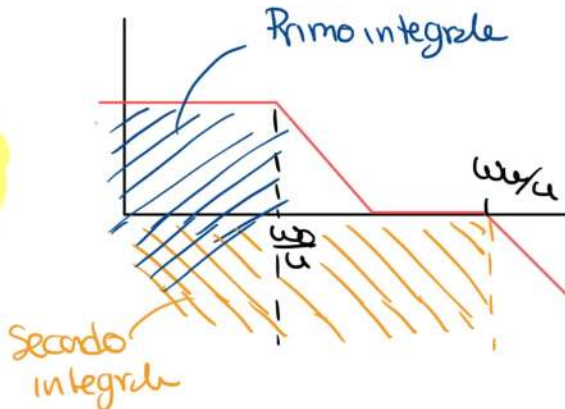
la vedo come banda equivalente

Possiamo ricevere una soluzione ad occhio senza fare tutti gli fatti calcoli?

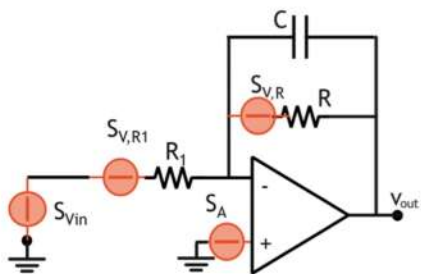


Possiamo vedere il rumore totale come l'integrale tra  $S_A$  moltiplicato per il guadagno DC fino a  $\omega_{u/l}$  e poi con  $S_A$  moltiplicato per un guadagno 1 fino a  $\omega_{u/l}$ .

$$v_{out,3}^2 = S_A \cdot \left( 1 + \frac{R}{R_1} \right)^2 \cdot BW_{eq} \rightarrow S_A \cdot \left[ \left( 1 + \frac{R}{R_1} \right)^2 \frac{\omega_0}{4} + \frac{\omega_u}{4} \right]$$



Perciò posso utilizzare questa approssimazione

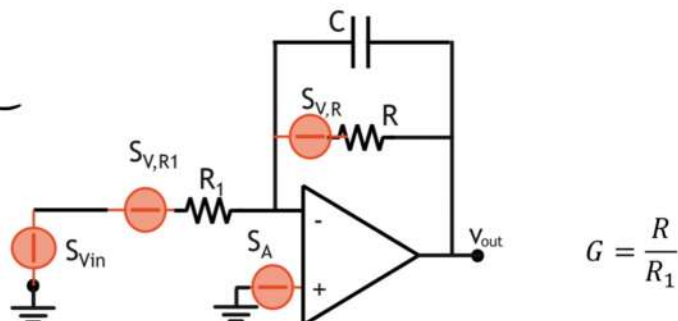


$$v_{out}^2 \approx \left[ S_{V,in} \left( \frac{R}{R_1} \right)^2 + S_{V,R1} \left( \frac{R}{R_1} \right)^2 + S_{V,R} \right] \cdot \frac{\omega_0}{4} + S_A \cdot \left[ \left( 1 + \frac{R}{R_1} \right)^2 \frac{\omega_0}{4} + \frac{\omega_u}{4} \right]$$

*oreo da rumore  
out of band.*

Vediamo che tutti i rumori sono ridotti passabasso al rumore (SA). Ho rumore out of Band.

Tipicamente usiamo la Noise Figure per vedere il rapporto tra output noise e input noise



$$G = \frac{R}{R_1}$$

$$1 + F \approx \left[ 1 + \frac{S_{V,R1}}{S_{V,in}} + \frac{S_{V,R}}{S_{V,in} G^2} \right] + \frac{S_A}{S_{V,in} G^2} \cdot \left[ (1 + G)^2 + \frac{\omega_u}{\omega_0} \right]$$

Per minimizzare il rumore sul SNR cosa dobbiamo fare?

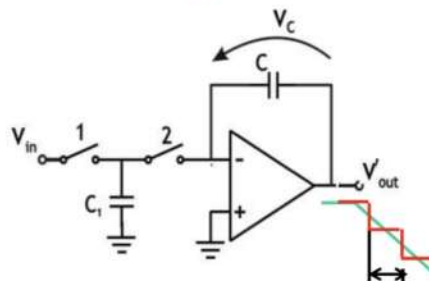
1) Riducendo del guadagno così riduciamo il rumore.

2) Vediamo che il rumore di R\_1 va a confrontarsi direttamente con quello di Vin, allora dimensioniamo R\_1 per avere lo stesso rumore di Vin.

3) Se abbiamo lo rumore out of band vogliamo un alto filtro semplice LPF per fare un cut off

Ho belzato la lezione di venerdì - 10/12/2021

## Switched capacitor



Facciamo un integratore con i 2 transistor che si attivano in controtensione. (la cosa rilevante è che i 2 switch non devono essere attivi insieme)

Sappiamo  $V_{IN}$  costante.

Allora 1 si chiude e mette carica in  $C_1$

Apriamo 1 e chiudiamo 2 allora la carica di  $C_1$  va verso la terza virtuale e carica la capacità di feedback.

$$V_C = \frac{Q_C(t)}{C} + \frac{A V_{IN}}{C}$$

Se facciamo questa roba una serie di volte vediamo che la tensione ai capi di  $C$  cresce e sfiorasse e quindi abbiano che l'output scende a sfiorare a sua volta.

La pendenza di questa discesa è  $\frac{A V_{IN}}{C \cdot T}$ , dove  $T$  è il periodo degli interruttori.

Confrontando con un integratore normale possiamo dire che questa struttura



$$\text{va a implementare una } R_{eq} = \frac{T}{C_1}$$

(Questo perché ricordiamo che l'integratore ha uscita  $\frac{V_{IN}}{RC}$  imponendo queste uguale a quella calcolata ottieniamo  $R_{eq}$ )

Questo conviene molto perché possono creare resistenze equivalenti molto grandi.

Inoltre in questo caso la unity gain frequency è

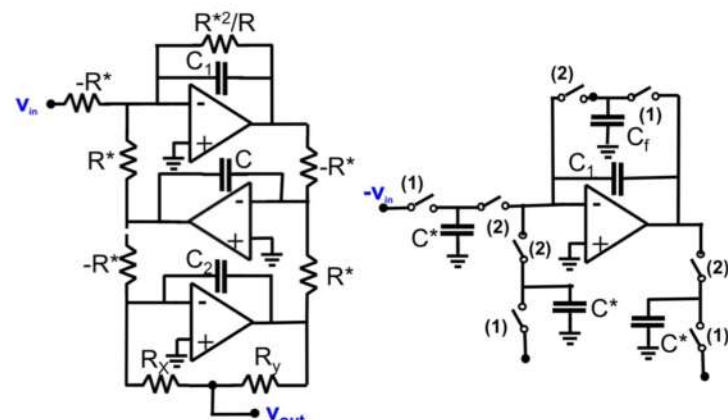
$$\omega_0 = \frac{1}{R_{eq} C} = \frac{C_1}{T C}$$

Questo ci va da dio perché possiamo comporre le voci acci tra i vari wiper cui parci dipende dal rapporto tra 2 componenti che va molto meglio rispetto al valore singolo, che dipende dal dock che è molto stabile anche in rispetto alla temperatura.

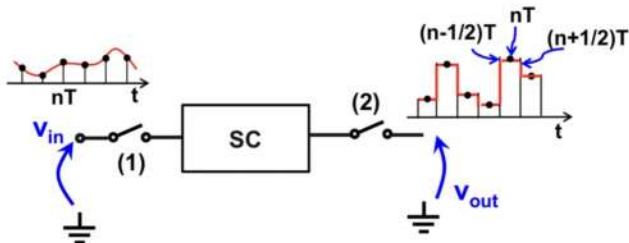
Questo è un esempio di implementazione:

Rimuoviamo tutte le resistenze

Notiamo che non abbiamo più resistenze e quindi non ci sono più un OPAMP ci basta un OTA e quindi consumiamo meno energia.



Occhio però che questo è un sistema samplificato quindi abbiamo che lo spettro d'uscita cambia:



Abbiamo che l'uscita è un'approssimazione della reale fatta a step

Calcoliamo l'uscita:

$$V_{out}(t) = \sum_{n=0}^{+\infty} V_{out}(nT) \{1[t - (n - 1/2)T] - 1[t - (n + 1/2)T]\}$$

$$V_{out}(s) = \sum_{n=0}^{+\infty} V_{out}(nT) \frac{1}{s} [e^{-s(n-1/2)T} - e^{-s(n+1/2)T}]$$

$$V_{out}(s) = \sum_{n=0}^{+\infty} V_{out}(nT) \frac{1}{s} [e^{-s(n-1/2)T} - e^{-s(n+1/2)T}]$$

$$V_{out}(j\omega) = \sum_{n=0}^{+\infty} V_{out}(nT) \frac{e^{-j\omega nT}}{j\omega} [e^{+j\omega T/2} - e^{-j\omega T/2}]$$

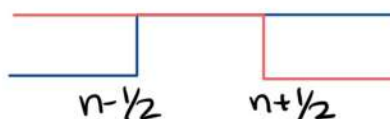
$$= \sum_{n=0}^{+\infty} V_{out}(nT) e^{-j\omega nT} \cdot T \sin c(\omega T/2)$$

$$V_{out}(j\omega) = \sum_{n=0}^{+\infty} V_{out}(nT) e^{-j\omega nT} \cdot T \sin c(\omega T/2)$$

$$V_{out}(z) = \sum_{n=0}^{+\infty} V_{out}(nT) z^{-n}$$

$$V_{out}(j\omega) = V_{out}(z) \Big|_{z=e^{j\omega T}} T \sin c(\omega T/2)$$

Si vede che 2 step fanno una positiva e una negativa in modo che:



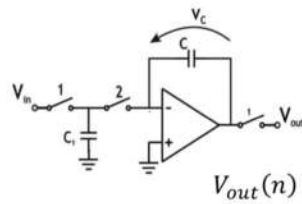
Abbiamo calcolato la place

Passiamo a Fourier e vediamo che questo possiamo portarlo al seno, infatti otteremo (moltiplicando e dividendo)

$$\frac{\sin(\omega T/2)}{\omega T/2}$$

Non ho capito un cazzo

Facciamo un esempio



è la trasformata Z  
 $z^{-1}$  corrisponde allo shift di uno step

$$V_{out}(n) = V_{out}(n-1) - \frac{C_1}{C} V_{in}(n-1)$$

$$V_{out}(z) = z^{-1} V_{out}(z) - \frac{C_1}{C} z^{-1} V_{in}(z)$$

$$V_{out}(z) = -V_{in}(z) \frac{C_1 z^{-1}}{C 1 - z^{-1}} = -V_{in}(z) \frac{C_1}{C} \frac{1}{z - 1}$$

$$V_{out}(z) = V_{in}(z) H(z)$$

è la sampled transfer function

$$V_{out}(j\omega) = V_{out}(z) \Big|_{z=e^{j\omega T}} T \sin c(\omega T/2)$$

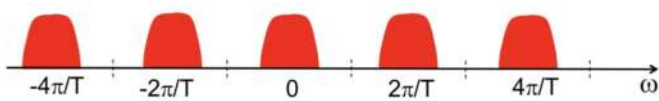
$$V_{out}(z) = V_{in}(z)H(z)$$

$$V_{out}(j\omega) = V_{in}(z)H(z) \Big|_{z=e^{j\omega T}} T \sin c(\omega T/2)$$

$$\begin{aligned} V_{in}(z) \Big|_{z=e^{j\omega T}} &= \sum_{n=0}^{+\infty} V_{in}(nT) e^{-jn\omega T} \\ \sum_{n=0}^{+\infty} V_{in}(nT) e^{-jn\omega T} &= F \left\{ V_{in}(t) \sum_{n=-\infty}^{+\infty} \delta(t - nT) \right\} \\ F \left\{ V_{in}(t) \sum_{n=-\infty}^{+\infty} \delta(t - nT) \right\} &= \int_{-\infty}^{+\infty} V_{in}(t) \sum_{n=-\infty}^{+\infty} \delta(t - nT) \cdot e^{-jn\omega t} dt \\ &= \sum_{n=-\infty}^{+\infty} V_{in}(nT) \cdot e^{-jn\omega nT} \end{aligned}$$

Ottengo che l'uscita è la trasf. di Fourier di queste stesse moltiplicazioni Ricordiamo che la moltiplicazione detta una convoluzione prod

$$\begin{aligned} V_{in}(z) \Big|_{z=e^{j\omega T}} &= V_{in}(\omega) * \frac{2\pi}{T} \sum_{k=-\infty}^{+\infty} \delta\left(\omega - k \frac{2\pi}{T}\right) = \\ &= \frac{2\pi}{T} \sum_{k=-\infty}^{+\infty} V_{in}\left(\omega - k \frac{2\pi}{T}\right) \end{aligned}$$



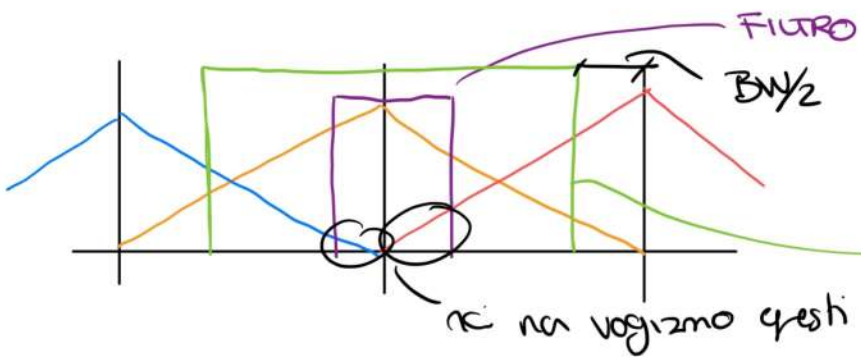
Notiamo che anche la transfer function è periodica

Ma riga noi facciamo tutto sto bordello per avere banda bassa ma poi dobbiamo comunque usare una resistenza enorme per fare il filtro anti aliasing? Nella realtà lo perci' anti aliasing sarà un po' più molto.



Supponiamo di semplicificare il circuito a 100kHz

Noi dobbiamo solo evitare di avere aliasing nella banda del filtro. Capiamo quindi che il filtro anti aliasing deve togliere tutto almeno  $BW/2$  prima della replica

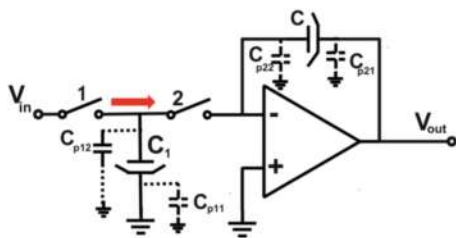
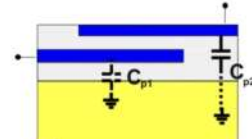
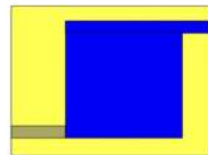


Filtro anti aliasing  
Basta da vedere a distanza almeno  $BW/2$  della replica così quando si riporta il segnale non ci rompe

## Non idealità

Non idealità dei condensatori

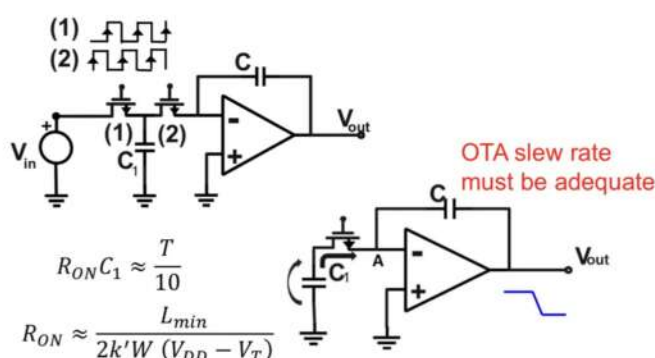
Sono presenti due capacitors parassite che esistono in batti e palle.



$$I_{IN} = \frac{Q_1}{T} = \frac{C_1 + C_{p12}}{T} V_{in} \quad \Delta V_{out} = \frac{(C_1 + C_{p12})}{C} V_{in}$$

$$\rightarrow R_{eq} = \frac{T}{C_1 + C_{p12}}$$

Nella rete traendo gli switch non sono ideali ma sono fatti da MOSFET

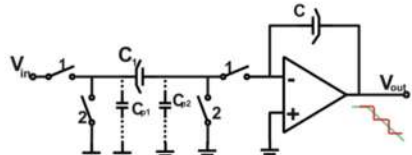


The higher the clock frequency the larger the switches are

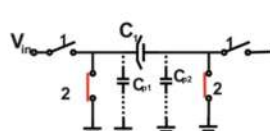
15.12.2021

Ultima lezione !!!!!

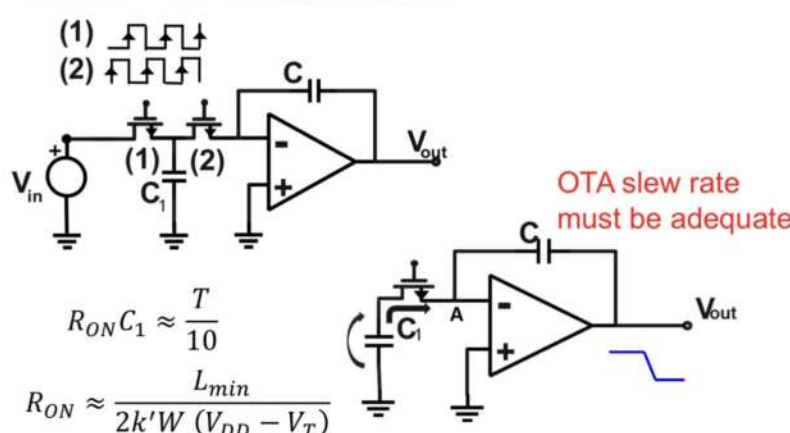
2h



Tramite questa tecnica riusciamo a essere indipendenti dalle capacità parassite.



Mosfet come interruttori



The higher the clock frequency the larger the switches are

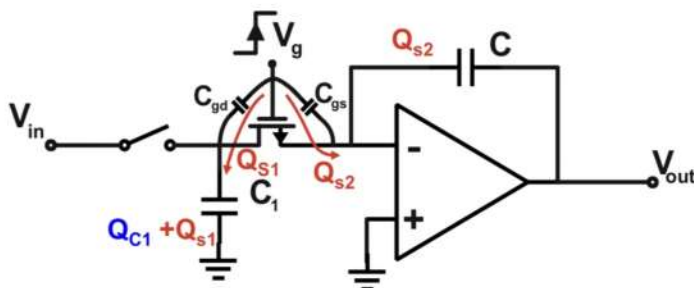
Per dimensionare i mos in primo ordine prendiamo la resistenza standard di un mos in triodo

$$R_{ON} = \frac{L_{min}}{2k'W(V_{DD} - V_T)}$$

vediamo che per vere  $R_{ON}$  piccolo L deve essere minimo e W massimo.

Poi per dimensionare  $R$  setto che riesca a scaricare completamente la capacità in un ciclo di clock ( $5T = RC$ )  $\rightarrow R_{ONA} = T/10$

Attenzione Non posso aumentare la capacità  $C$  perché ho che il mio mos è in pratica un condensatore e quindi ho della reale tipo charge injection.



Questa cerca in più va in più su  $C$  e in più su  $C$  e questo fa sì che va in più accanto.

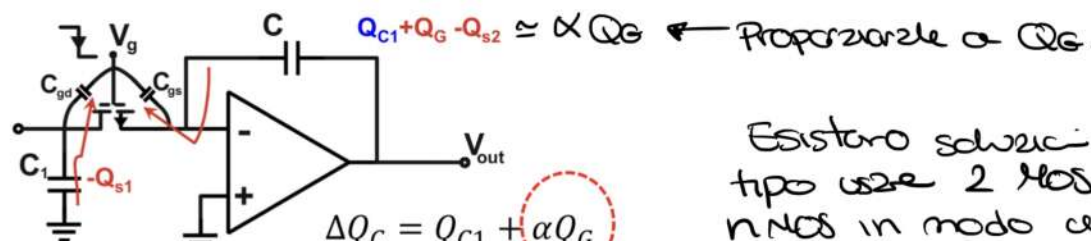
Quindi alla fine del sampling sei condensatori no: questa cerca:

$$Q_{C1} + Q_{S1} + Q_{S2}$$

Quindi abbiamo sia la cerca di  $C$  che quella dei condensatori spenti.

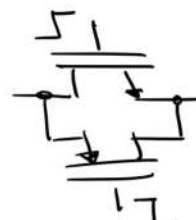
Più grande è  $w$  del transistor maggiore sarà l'errore.

Ma non è finita qui, abbiamo anche uno switch off del transistor che fa sì che il transistor prenda corrente.

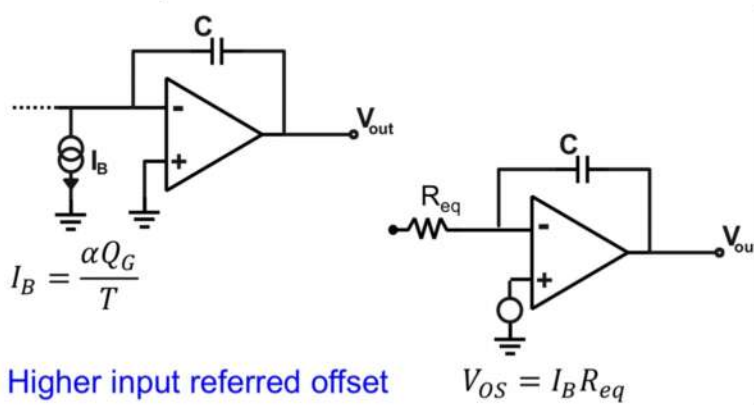


- Additional charge injection
- Proportional to transistor width
- Increasing with operating frequency

Esistono soluzioni circa a questi fenomeni tipo usare 2 MOS uno P mos e uno N mos in modo che uno dia corrente e l'altro lo prenda.



Questo errore delle cercate corrisponde ad un offset.



In generale possiamo ridurre tutto con:

- SC filter provides a discrete-time approximation of the continuous-time filter.
- The spectrum is characterized by replicas shifted by the sampling frequency, attenuated by a zero-order hold.
- An anti-alias continuous-time filter is placed before the SC filter.
- A reconstruction filter follows the SC filter to clean from the high frequency replicas.
- Requirements relaxed for large  $f_{ck}/f_0$ .